

Introduction au Deep Synergy Learning

Chapitre 1

Mohammed Bouayoun

Chapitre 1 : Introduction au Deep Synergy Learning (DSL)

1.1.	Contexte et Motivation	5
1.1.1.	Bref Historique de l'IA	5
1.1.2.	Émergence des Réseaux Profonds (Deep Learning) et Limites	6
1.1.3.	Des Approches Conventionnelles à la Synergie Informationnelle	7
1.1.4.	Positionnement du DSL dans le Panorama de l'IA	8
1.1.5.	Rôle Potentiel du DSL vers l'IA Forte (IAG)	9
1.1.6.	Objectifs et Contributions Clés du DSL.....	11
1.1.7.	Plan Général du Chapitre	13
1.2.	Définitions et Concepts Préliminaires	20
1.2.1.	Qu'est-ce qu'une "Entité d'Information" ?.....	20
1.2.2.	Notion de "Synergie Informationnelle"	22
1.2.3.	Différence entre Interaction, Synergie et Corrélacion	24
1.2.4.	Approche Hiérarchique vs Approche Auto-Organisée	27
1.2.5.	Réseaux Neuronaux Traditionnels vs Réseaux Synergiques.....	30
1.2.6.	Terminologies Employées dans le DSL	33
1.2.7.	Exemples Illustratifs de la Synergie dans la Nature	38
	Problèmes	Erreur ! Signet non défini.
1.3.	Importance de l'Auto-Organisation.....	41
1.3.1.	Inspirations Biologiques et Cognitives	41
1.3.2.	Concepts Clés : Émergence, Auto-Régulation, Feedback	44
1.3.3.	Comparaison avec les Méthodes d'Apprentissage Classiques	46
1.3.4.	Le Rôle des Flux d'Information Multimodaux.....	49
1.3.5.	Évolution Dynamique et Adaptation en Continu	52
1.3.6.	Impacts sur la Robustesse et la Résilience des Modèles	55
1.3.7.	Perspectives pour une Approche plus Globale de l'Apprentissage	59
1.4.	Architecture Générale du DSL.....	67
1.4.1.	Principe de Base : Entités et Liens Synergiques	67
1.4.2.	Présentation du Synergistic Connection Network (SCN).....	69
1.4.3.	Notion de Cluster et de Macro-Cluster	71
1.4.4.	Fonctions de Synergie : Distance, Similarité et Co-Information	76

1.4.5. Pondérations Adaptatives et Évolution Temporelle	79
1.4.6. Interactions Directes et Indirectes.....	82
1.4.7. Synergie binaire et n-aire : au-delà des relations deux à deux.....	84
1.5. Pourquoi une Approche Synergique ?	88
1.6. Applications Pressenties et Domaines Impactés.....	123
1.6.1. Vision Artificielle et Reconnaissance d'Objets Complexes.....	123
1.6.2. Analyse Audio et Traitement du Langage Naturel.....	127
1.6.3. Robotique et Systèmes Intelligents Évolutifs.....	131
1.6.4. Recommandation Personnalisée et Systèmes de Décision.....	136
1.6.5. Surveillance, Diagnostic Médical et Anomalies	141
1.6.6. Planification et Optimisation dans l'Industrie 4.0.....	145
1.6.7. Perspectives pour la Recherche Fondamentale en IA Forte.....	150
1.7. Défis, Contraintes et Ouvertures.....	156
1.7.1. Complexité Computationnelle et Scalabilité.....	157
1.7.2. Qualité et Disponibilité des Données	160
1.7.3. Développement d'Algorithmes d'Optimisation Appropriés	163
1.7.4. Contrôle et Stabilité des Processus Auto-Organisés.....	168
1.7.5. Interprétabilité et Explicabilité pour l'Humain.....	172
1.7.6. Considérations Éthiques et Réglementaires	176
1.7.7. Comparaisons Expérimentales avec d'Autres Approches	180
1.8. Positionnement du DSL dans l'Évolution de l'IA.....	185
1.8.1. IA Symbolique vs IA Sub-symbolique : Intégration Potentielle.....	185
1.8.2. DSL et Apprentissage Profond : Collaboration ou Substitution ?.....	188
1.8.3. Approches Hybrides : DSL, RL (Reinforcement Learning) et Logique.....	192
1.8.4. Rôle de la Mémoire et de l'Attention dans le DSL	196
1.8.5. Tendances Futures : Vers une IA Forte, Consciente ?.....	199
1.8.6. Effet Sur la Recherche Interdisciplinaire	203
1.8.7. Exemple de Convergence : DSL & Neurosciences	206
1.9. Méthodologie, Ressources et Outils	211
1.9.1. Approche de Recherche : Théorique, Expérimentale, Hybride	211
1.9.2. Bases de Données et Plates-formes de Test pour le DSL	214
1.9.3. Frameworks de Développement : Python, C++, Bibliothèques spécialisées.....	220
1.9.4. Environnements de Simulation et d'Évaluation	226

1.9.5. Protocoles de Validation : Qualitatifs et Quantitatifs	232
1.9.6. Collaboration et Partage de Ressources (Open Source)	239
1.9.7. Gestion du Cycle de Vie d'un Projet DSL.....	245

1.1. Contexte et Motivation

1.1.1. Bref Historique de l'IA

L'intelligence artificielle (IA) constitue un domaine de recherche qui s'inscrit dans une longue tradition, remontant à la première moitié du XXe siècle. Son évolution a été marquée par des jalons fondamentaux qui ont façonné la discipline telle qu'elle se présente aujourd'hui. Pour mieux appréhender l'émergence de l'Apprentissage Profond Synergétique (APS), ou **Deep Synergy Learning (DSL)** en anglais, il est essentiel d'examiner les principaux courants qui ont successivement vu le jour ou cohabité.

Les premières réflexions autour de l'intelligence artificielle trouvent leur origine dans les travaux d'Alan Turing, notamment à travers son article de 1950, *Computing Machinery and Intelligence*. Dans ce texte fondateur, il introduit le célèbre test de Turing, conçu pour évaluer la capacité d'une machine à simuler l'intelligence humaine dans le cadre d'une interaction textuelle.

C'est lors de la conférence de Dartmouth en 1956 que l'IA est officiellement définie comme un champ scientifique. Cette rencontre, organisée par John McCarthy, Marvin Minsky, Claude Shannon et Nathan Rochester, marque l'acte fondateur de la discipline. Elle établit les bases conceptuelles et méthodologiques nécessaires à la création de systèmes intelligents.

Les premières approches de l'IA reposaient sur la manipulation de symboles et de règles logiques pour modéliser la pensée humaine. Ces travaux, regroupés sous l'appellation **IA symbolique**, cherchaient à reproduire des processus cognitifs à travers des systèmes de règles formelles. Des programmes tels que *Logic Theorist* (1956) et *General Problem Solver* (1959) illustrent cette démarche en appliquant des algorithmes de recherche pour résoudre des problèmes mathématiques ou généraux.

Cependant, bien que performante dans des environnements fermés, l'IA symbolique montrait des limites lorsqu'il s'agissait de traiter des situations complexes ou incertaines. Cette incapacité à généraliser au-delà de scénarios spécifiques a révélé la nécessité d'approches complémentaires.

Parallèlement à l'IA symbolique, le courant connexionniste, basé sur les réseaux de neurones artificiels, gagne en popularité. Des chercheurs comme Frank Rosenblatt, Bernard Widrow et Marcian Hoff ont exploré le potentiel des réseaux d'unités élémentaires capables d'apprendre à partir de données, comme en témoigne le Perceptron (1958). Cependant, les travaux de Marvin Minsky et Seymour Papert, publiés en 1969, ont mis en lumière les limites des réseaux de neurones monocouches, incapables de traiter des problèmes non linéaires. Cette critique, combinée à l'absence de méthodes efficaces pour entraîner des réseaux multicouches, a conduit au déclin temporaire de l'intérêt pour le connexionnisme, marquant le premier "hiver de l'IA".

Le milieu des années 1980 voit la renaissance des réseaux de neurones grâce à la découverte de la rétropropagation, une méthode permettant d'entraîner efficacement des réseaux multicouches. Ce renouveau est accompagné d'une montée en puissance des approches statistiques de l'apprentissage automatique, telles que les modèles graphiques probabilistes et les machines à vecteurs de support (SVM). Ces outils élargissent les applications de l'IA à des domaines variés, notamment la vision par ordinateur et le traitement du langage naturel.

La fin des années 2000 marque l'avènement du Deep Learning, rendu possible par la convergence de trois facteurs majeurs. L'abondance des données massives issues d'Internet et des technologies numériques a offert un terrain fertile pour l'entraînement des modèles. L'émergence de ressources de calcul performantes, telles que les GPU et les TPU, a permis de traiter des volumes de données colossaux. Enfin, des progrès méthodologiques, incluant de nouvelles fonctions d'activation et des stratégies d'optimisation, ont renforcé l'efficacité des réseaux de neurones profonds. Ces avancées ont conduit à des percées significatives dans des domaines comme la reconnaissance d'images, la traduction automatique et les jeux stratégiques, illustrées notamment par le succès d'AlphaGo.

Malgré ces réussites, le Deep Learning présente certaines limites, notamment une forte dépendance aux données annotées, un manque d'interprétabilité et des difficultés à généraliser. Ces contraintes mettent en évidence la nécessité d'approches complémentaires.

Face aux limitations des méthodes actuelles, de nouveaux paradigmes ont émergé, mettant l'accent sur l'auto-organisation et les interactions dynamiques entre sources d'information. Le **Deep Synergy Learning (DSL)** s'inscrit dans cette dynamique en intégrant des notions de coopération et de coévolution au sein des systèmes intelligents. Cette approche vise à dépasser les modèles existants en favorisant une intelligence plus adaptable et autonome, ouvrant ainsi la voie à l'intelligence artificielle générale (IAG).

1.1.2. Émergence des Réseaux Profonds (Deep Learning) et Limites

L'émergence des réseaux profonds, ou **Deep Learning**, constitue un tournant fondamental dans l'histoire de l'intelligence artificielle. Bien que les réseaux de neurones artificiels aient été introduits dès les années 1960, ce n'est qu'au début des années 2010 qu'ils se sont imposés comme une technologie centrale grâce à plusieurs avancées majeures. Ces progrès incluent l'accroissement massif des données numériques, le développement de ressources matérielles puissantes comme les GPU, et l'introduction de méthodologies innovantes. Cependant, malgré ces succès, le Deep Learning continue de présenter des limitations importantes qui suscitent l'exploration de nouvelles approches.

Commenté [MB1]: OK

L'avènement du Deep Learning repose sur plusieurs éléments déterminants. D'une part, l'ère numérique a produit une quantité sans précédent de données issues de diverses sources, telles que des images, des vidéos, des textes ou des signaux. Ces ensembles de données volumineux, comme le dataset ImageNet, ont permis d'entraîner des réseaux plus profonds et plus complexes. D'autre part, l'utilisation des GPU, conçus initialement pour le traitement graphique, a permis d'accélérer les calculs massivement parallèles nécessaires à l'entraînement des modèles. Ces avancées matérielles ont été accompagnées de progrès méthodologiques, comme l'introduction de fonctions d'activation avancées, la régularisation par dropout ou encore la normalisation de lots (batch normalization). Enfin, les succès visibles dans des applications telles que la reconnaissance d'images, la traduction neuronale et les jeux stratégiques ont renforcé l'intérêt pour cette technologie.

Les réseaux de neurones profonds ont apporté des avantages significatifs dans le traitement des données complexes. L'une de leurs principales forces réside dans leur capacité à extraire automatiquement des caractéristiques pertinentes à partir des données brutes, ce qui simplifie considérablement les tâches d'ingénierie des features. De plus, leur performance dans des domaines

tels que la classification d'images ou la reconnaissance vocale dépasse de loin celle des méthodes traditionnelles. Lorsqu'ils sont entraînés avec suffisamment de données pertinentes, ces réseaux montrent une certaine aptitude à généraliser en identifiant des motifs complexes que d'autres approches ne peuvent pas détecter.

Malgré leurs performances impressionnantes, les réseaux profonds présentent plusieurs limites. Tout d'abord, leur dépendance aux données annotées est problématique, car l'annotation de grands volumes de données est coûteuse et parfois impraticable dans certains contextes. Ensuite, leur nature de boîte noire rend difficile l'interprétation des décisions prises, ce qui pose des problèmes d'explicabilité, notamment dans des secteurs critiques comme la santé ou la justice. Les réseaux profonds sont également vulnérables aux attaques adversariales, où des perturbations mineures peuvent induire des erreurs majeures. De plus, leur capacité de généralisation reste limitée lorsqu'ils sont confrontés à des contextes différents de ceux rencontrés durant l'apprentissage. Enfin, le coût énergétique élevé de l'entraînement de ces modèles soulève des préoccupations en termes de durabilité et d'accessibilité.

Face à ces limitations, de nouvelles approches visent à repousser les frontières du Deep Learning. L'apprentissage peu supervisé ou auto-supervisé, qui réduit la nécessité de données annotées, est en plein essor. Par ailleurs, l'intégration du raisonnement symbolique avec les réseaux de neurones, dans une approche neuro-symbolique, pourrait permettre une intelligence plus transparente et explicable. Enfin, des recherches explorent des architectures auto-organisées où les informations interagissent de manière dynamique, rompant avec la rigidité des modèles actuels. Ces évolutions pourraient ouvrir la voie à des systèmes plus robustes, adaptatifs et proches d'une véritable intelligence artificielle générale.

1.1.3. Des Approches Conventionnelles à la Synergie Informationnelle

L'histoire de l'intelligence artificielle témoigne de la succession de grandes tendances méthodologiques, chacune cherchant à reproduire ou modéliser certains aspects de l'intelligence humaine ou animale. Parmi ces approches, les approches symboliques et les approches statistiques ou connexionnistes ont dominé. Les premières s'appuient sur la formalisation explicite de la connaissance à travers des règles et des faits, tandis que les secondes reposent sur l'apprentissage à partir de grandes quantités de données via des modèles tels que les réseaux de neurones artificiels. Bien que ces paradigmes aient permis des avancées considérables, ils montrent leurs limites lorsqu'il s'agit de traiter des systèmes complexes, dynamiques ou émergents. La synergie informationnelle s'inscrit dans une tentative de dépasser ces restrictions en proposant une approche inspirée des systèmes naturels.

Les systèmes naturels, tels que les écosystèmes, les colonies d'insectes ou le cerveau humain, illustrent un principe fondamental selon lequel l'ensemble dépasse la somme de ses parties. Ces systèmes se caractérisent par l'auto-organisation, où des structures émergent sans planification globale, la robustesse grâce à la redondance des composants, et la capacité d'adaptation en réponse à des variations environnementales. Les entités locales interagissent dynamiquement à travers des signaux ou des mécanismes simples, conduisant à des comportements collectifs complexes. Transposé à l'intelligence artificielle, ce principe propose de considérer les informations comme des entités actives capables d'interagir, de coopérer et de s'adapter en permanence.

Les approches classiques du Deep Learning, bien qu'efficaces, restent enfermées dans une structure hiérarchique rigide où les données circulent de manière linéaire ou avec des boucles limitées. Cela restreint leur capacité à modéliser des interactions complexes ou des phénomènes émergents. En particulier, dans des scénarios multi-modaux combinant des flux hétérogènes comme la vision, le texte ou l'audio, l'intégration repose souvent sur des mécanismes de fusion statiques qui ne permettent pas une réelle interaction entre les modalités. Ces architectures peinent également à s'adapter à des environnements dynamiques ou partiellement inconnus.

La synergie informationnelle propose une vision radicalement différente. Les entités d'information, au lieu d'être des entrées passives dans un modèle prédéfini, deviennent des acteurs autonomes capables d'interagir et d'évoluer. Elles peuvent évaluer leur synergie avec d'autres entités, c'est-à-dire mesurer leur capacité à produire ensemble des informations plus riches que la somme de leurs contributions individuelles. En fonction de cette évaluation, elles peuvent nouer, rompre ou modifier des connexions, favorisant l'émergence de structures auto-organisées et dynamiques. Ce processus dépasse la simple adaptation des pondérations traditionnelles en permettant des changements topologiques dans les réseaux, où de nouvelles entités peuvent apparaître, fusionner ou disparaître.

Le **Deep Synergy Learning (DSL)** s'inscrit dans cette continuité en cherchant à unifier et enrichir les paradigmes existants. Alors que le Deep Learning met l'accent sur la profondeur des représentations, le DSL valorise la richesse et la dynamique des interactions entre les entités d'information. Les bénéfices attendus incluent une meilleure intégration des modalités multiples, une résilience accrue face à l'incertitude et une capacité d'apprentissage continu où le réseau peut évoluer en réponse à de nouvelles données sans nécessiter un réapprentissage complet. En favorisant des interactions flexibles et adaptatives, le DSL ambitionne de jeter les bases d'une intelligence artificielle plus proche des capacités cognitives humaines.

1.1.4. Positionnement du DSL dans le Panorama de l'IA

Le **Deep Synergy Learning (DSL)** s'inscrit dans la continuité des avancées en intelligence artificielle, tout en introduisant une approche novatrice fondée sur la coopération dynamique et l'auto-organisation des entités d'information. Pour mieux comprendre son originalité, il convient de le situer par rapport aux grandes tendances historiques et actuelles. L'IA symbolique, le connexionnisme incarné par le Deep Learning, ainsi que les approches hybrides ou émergentes offrent un cadre permettant d'analyser sa place et son évolution dans le paysage des modèles d'intelligence artificielle.

Le DSL se distingue des systèmes classiques d'IA symbolique, qui reposent sur la formalisation explicite de règles logiques et de bases de connaissances, en permettant l'émergence spontanée de structures et d'organisations adaptées au contexte. Contrairement à la rigidité des approches symboliques, il s'appuie sur des mécanismes auto-adaptatifs qui modifient les interactions en fonction des données disponibles. Par ailleurs, il prolonge l'héritage connexionniste en mettant l'apprentissage au centre de son fonctionnement. Alors que le Deep Learning repose sur des architectures statiques et hiérarchiques comme les CNN ou Transformers, le DSL introduit une dynamique d'interaction entre les entités, permettant une réorganisation continue des connexions en fonction de leur synergie.

Le DSL puise son inspiration dans les systèmes naturels complexes tels que les écosystèmes ou les réseaux neuronaux biologiques. Ces systèmes se caractérisent par des propriétés globales qui émergent de l'interaction locale d'éléments simples, sans planification centrale. Dans cette perspective, chaque entité d'information dans le DSL peut établir, rompre ou renforcer des connexions en fonction de la synergie qu'elle partage avec d'autres entités. Cette dynamique dépasse les schémas hiérarchiques classiques en introduisant des boucles de rétroaction et en intégrant des structures internes évolutives. Contrairement aux approches traditionnelles où les flux d'information sont souvent indépendants et combinés à un stade tardif, le DSL favorise un tissage constant des flux, améliorant ainsi la robustesse et l'adaptabilité.

Le DSL se distingue également des approches neuro-symboliques qui intègrent explicitement des règles logiques dans des systèmes neuronaux. Bien qu'il ne repose pas directement sur des formalismes logiques, il permet l'émergence de règles implicites via des interactions coopératives et des clusters auto-organisés. De plus, il participe à la quête d'un apprentissage continu en permettant l'évolution permanente des connexions et en favorisant une réorganisation constante en réponse aux nouveaux contextes. Cela en fait une solution prometteuse pour surmonter le problème de l'oubli catastrophique souvent rencontré dans l'apprentissage automatique.

L'IA forte, ou intelligence générale, se caractérise par sa capacité à s'adapter de manière flexible à des environnements variés et non balisés. Le DSL offre une contribution unique à cet objectif en introduisant le principe de coévolution des entités d'information. Cette adaptabilité intrinsèque repose sur l'auto-organisation et la synergie, qui sont considérées comme des éléments essentiels pour l'émergence d'une intelligence créative et autonome. Plutôt que de remplacer le Deep Learning, le DSL peut s'y intégrer en tant que niveau supplémentaire, enrichissant les représentations neuronales classiques par une interactivité et une plasticité accrue.

1.1.5. Rôle Potentiel du DSL vers l'IA Forte (IAG)

L'**Intelligence Artificielle Forte (IAG)**, également désignée par intelligence artificielle générale, se définit comme la capacité d'une machine à réaliser des tâches cognitives humaines de manière autonome, flexible et adaptative, en s'appuyant sur une compréhension et un apprentissage comparable à ceux d'un être humain. Cet objectif ultime de l'intelligence artificielle reste encore largement théorique, malgré les avancées impressionnantes des systèmes actuels, notamment ceux basés sur le **Deep Learning**. Ces modèles, bien que performants dans des tâches spécialisées, peinent à atteindre le niveau de polyvalence et de plasticité requis pour prétendre à une véritable IA générale. Le **Deep Synergy Learning (DSL)** se positionne comme une approche novatrice et prometteuse, offrant un cadre conceptuel pour dépasser les limites des modèles traditionnels.

Une intelligence générale ne se limite pas à exceller dans une tâche unique, mais doit pouvoir évoluer dans des environnements variés et imprévisibles. Le DSL se distingue par son aptitude à favoriser l'apprentissage multi-contextuel grâce à ses mécanismes d'**auto-organisation** et de **synergie informationnelle**. Ces mécanismes permettent au système de s'adapter en temps réel à des situations inédites, en reconfigurant les relations entre entités d'information. Contrairement aux systèmes conventionnels, qui restent figés dans leurs architectures ou nécessitent une ingénierie lourde pour évoluer, le DSL peut ajuster sa structure de manière dynamique.

La richesse des interactions entre les entités est une autre caractéristique essentielle du DSL. Plutôt que de juxtaposer des modules spécialisés sans réelle interaction, il propose une approche où chaque flux d'information, qu'il soit visuel, textuel ou sensoriel, interagit et co-évolue avec les autres. Ce type d'interconnexion fluide permet l'émergence de représentations conceptuelles globales, essentielles pour traiter la complexité du monde réel.

Enfin, le DSL intègre une dimension d'**adaptabilité évolutive**, permettant au système de non seulement apprendre, mais également désapprendre, réviser et transformer ses structures en fonction de nouvelles expériences. Cette adaptabilité dépasse celle des architectures classiques, qui, bien qu'elles ajustent leurs pondérations, conservent généralement une topologie statique.

L'un des principes fondamentaux du DSL est l'**auto-organisation**, inspirée des systèmes biologiques. À l'image du cerveau humain, il privilégie une architecture ouverte, où les entités d'information ne suivent pas une trajectoire linéaire prédéfinie, mais interagissent selon des schémas dynamiques et adaptatifs. Cette capacité à reconfigurer les flux internes permet au système de s'auto-réguler et d'évoluer en fonction des besoins contextuels.

La **plasticité dynamique** du DSL constitue un autre levier crucial pour atteindre l'IA forte. Elle dépasse l'ajustement traditionnel des pondérations en introduisant la possibilité de créer de nouvelles connexions, d'en supprimer d'obsolètes ou de réorganiser des clusters entiers. Cette plasticité ouvre la voie à une exploration continue et à une innovation constante, des caractéristiques indispensables pour développer une intelligence véritablement générale.

Les systèmes d'apprentissage profond ont démontré leur capacité à exceller dans des domaines spécifiques, comme la reconnaissance d'images ou la traduction automatique. Cependant, cette spécialisation s'accompagne d'une incapacité à transférer efficacement les connaissances d'un domaine à un autre. Le DSL propose une alternative en favorisant une **coopération dynamique** entre différentes modalités ou tâches, permettant une synergie globale entre sous-systèmes.

Ce paradigme ouvre la possibilité d'un transfert de connaissances fluide, où les acquis d'une modalité, comme l'analyse visuelle, enrichissent l'apprentissage dans une autre, telle que la compréhension du langage. Cette capacité de réutilisation et de réorganisation constitue une avancée majeure vers une **flexibilité généralisée**, essentielle pour le développement de l'IAG.

Le cerveau humain se distingue par son haut degré d'interconnexion et sa capacité à faire émerger des significations à partir de l'interaction entre différentes aires sensorielles et associatives. Le DSL s'inspire de ce modèle en proposant une architecture où les interactions dynamiques entre les entités d'information jouent un rôle central. Cette approche favorise non seulement l'émergence de comportements complexes, mais également celle de **schémas cognitifs** riches et adaptatifs, proches de ceux observés dans les processus humains.

De plus, le DSL vise à dépasser la simple corrélation statistique en permettant l'émergence de concepts et de significations. Les interactions entre entités d'information, structurées par des mécanismes d'auto-organisation, contribuent à la construction de **nœuds sémantiques**, amorçant ainsi une véritable compréhension du monde environnant.

Bien que le DSL représente une avancée prometteuse, plusieurs défis doivent être relevés pour qu'il puisse concrétiser son potentiel en tant que moteur de l'IAG. L'**efficacité algorithmique**

constitue un premier enjeu, car les processus d'auto-organisation et de réorganisation dynamique peuvent être coûteux en termes de calcul. Trouver des solutions d'optimisation est donc essentiel.

L'**équilibre entre stabilité et plasticité** est également un aspect critique. Le système doit éviter de se réorganiser de manière excessive, ce qui pourrait nuire à la cohérence de ses apprentissages, tout en maintenant une capacité suffisante d'adaptation.

Enfin, les questions d'**interprétabilité** et de **sécurité** demeurent cruciales. Une architecture aussi dynamique et complexe pourrait poser des problèmes de traçabilité et de contrôle, notamment dans des domaines sensibles comme la santé ou la finance.

1.1.6. Objectifs et Contributions Clés du DSL

Le **DSL** s'inscrit comme une évolution fondamentale dans le domaine de l'**intelligence artificielle (IA)**, mettant en avant une **approche dynamique** et hautement **adaptative** pour surmonter les limites des architectures hiérarchiques classiques, telles que celles du **Deep Learning**. Cette nouvelle méthodologie repose sur l'idée centrale de **synergie informationnelle**, où les entités d'information interagissent et s'organisent de manière autonome pour produire des représentations plus riches et efficaces. L'objectif principal du DSL est d'intégrer les principes issus du **connexionnisme** et des **systèmes complexes**, tout en introduisant des mécanismes avancés d'**auto-organisation** et d'**apprentissage évolutif**.

A. Cadre théorique et objectifs fondamentaux

Le DSL repose sur une modélisation qui privilégie les interactions **synergiques** entre les entités d'information. Contrairement aux architectures fixes, où les flux d'information sont généralement dirigés et figés, le DSL permet une **reconfiguration continue** des liens internes. Cette flexibilité est rendue possible grâce à des mécanismes d'**évaluation dynamique** de la synergie, notée $S(i, j)$, entre deux entités i et j . Mathématiquement, la synergie entre deux entités peut être décrite comme une fonction dépendant de leurs représentations respectives x_i et x_j :

$$S(i, j) = \Phi(x_i, x_j),$$

où Φ est une fonction d'évaluation qui peut être basée sur la corrélation, l'entropie conjointe, ou toute autre mesure adaptée au contexte.

L'objectif fondamental est de maximiser cette synergie globale dans le système, définie comme une somme pondérée des synergies individuelles :

$$\text{Synergie totale} = \sum_{i \neq j} w_{ij} S(i, j),$$

où w_{ij} représente les poids ajustables des connexions entre i et j . En optimisant cette fonction, le DSL favorise des **interactions pertinentes** et élimine les connexions inutiles ou redondantes, améliorant ainsi l'efficacité computationnelle et la robustesse des représentations générées.

L'un des objectifs clés du DSL est également d'offrir une plateforme pour l'**intégration multimodale**. En incorporant des données issues de différentes modalités, comme le texte, les

images ou les signaux temporels, le système est capable d'unifier ces informations de manière **contextuelle**. Chaque modalité contribue activement à l'apprentissage global, tout en bénéficiant des enrichissements apportés par les autres, dans un cadre coopératif.

B. Contributions principales et innovations méthodologiques

Le DSL propose une contribution notable en introduisant un mécanisme d'**auto-organisation** et de **plasticité structurelle**. Contrairement aux approches classiques où les architectures sont déterminées à l'avance, le DSL permet une **reconfiguration dynamique** des connexions entre entités, suivant des critères d'efficacité synergiques. Cette adaptabilité repose sur un processus d'optimisation continue où chaque entité ajuste ses liens en fonction de la pertinence des informations échangées. Ce mécanisme peut être formalisé comme suit :

$$\frac{\partial w_{ij}}{\partial t} = \alpha \cdot \nabla S(i, j),$$

où α est un facteur d'apprentissage, et $\nabla S(i, j)$ désigne le gradient de la synergie entre i et j .

Une autre innovation majeure réside dans la gestion des **clusters auto-organisés**, qui sont des regroupements spontanés d'entités hautement synergiques. Ces clusters peuvent émerger, se fusionner ou se dissoudre en fonction des interactions observées, offrant une **modularité naturelle** au système. Cette capacité de création et de dissolution des clusters renforce la **résilience** et l'**évolutivité**, deux qualités cruciales pour les environnements complexes et dynamiques.

Enfin, le DSL se distingue par sa capacité à capturer des **représentations sémantiques profondes**, en favorisant l'émergence de **patrons globaux** à partir d'interactions locales. Cette propriété rapproche le DSL des processus cognitifs humains, où la compréhension découle souvent d'une synthèse d'informations contextuelles et émergentes.

C. Avantages du DSL

Le DSL présente des avantages significatifs par rapport aux paradigmes d'apprentissage traditionnels. L'un des principaux bénéfices est sa capacité à **maximiser la synergie informationnelle**, ce qui améliore la richesse et la robustesse des représentations apprises. Cette optimisation synergique permet au système d'exploiter pleinement la diversité des données, y compris dans des environnements multi-modaux. Par ailleurs, la **plasticité dynamique** du DSL garantit une adaptabilité exceptionnelle face à des scénarios évolutifs ou imprévisibles, tout en réduisant les besoins en supervision humaine. En outre, son cadre auto-organisé favorise une meilleure **résilience** aux perturbations, grâce à la redondance et à la flexibilité des connexions internes.

D. Limites et défis à surmonter

Malgré ses nombreux atouts, le DSL n'est pas exempt de défis. L'un des obstacles majeurs est la **complexité computationnelle** inhérente à l'évaluation continue des synergies et à la reconfiguration des connexions. Cette complexité pourrait limiter son application à grande échelle, en particulier dans des contextes où les ressources en calcul sont contraintes. De plus, la nature hautement dynamique et adaptative du DSL pose des **problèmes d'interprétabilité**, car il devient difficile de tracer ou d'expliquer précisément les décisions prises par le système. Enfin, le maintien

d'un **équilibre entre stabilité et plasticité** est une question délicate, trop de plasticité peut entraîner une instabilité, tandis qu'une structure trop rigide pourrait nuire à l'efficacité globale.

Conclusion

Le **Deep Synergy Learning** se présente comme une avancée majeure dans le domaine de l'IA, en introduisant des mécanismes d'interaction et d'adaptation qui rompent avec les approches classiques. Grâce à sa capacité à maximiser les synergies informationnelles et à favoriser une auto-organisation dynamique, il ouvre de nouvelles perspectives pour la création de systèmes intelligents, flexibles et robustes. Cependant, pour atteindre son plein potentiel, il sera nécessaire de surmonter les défis liés à sa complexité computationnelle et à son explicabilité, tout en explorant des applications pratiques dans des environnements réels.

1.1.7. Plan Général du Chapitre

La présente section a pour objectif de donner une vision d'ensemble de la **structure** et de la **logique** qui sous-tendent le Chapitre 1 dans son intégralité. Après avoir introduit le contexte et la motivation du Deep Synergy Learning (DSL) dans la section 1.1, nous poursuivrons en explorant les différents volets nécessaires pour comprendre et situer le DSL dans l'écosystème de l'intelligence artificielle.

1.2. Définitions et Concepts Préliminaires

- 1.2.1. Qu'est-ce qu'une "Entité d'Information" ?
- 1.2.2. Notion de "Synergie Informationnelle"
- 1.2.3. Différence entre Interaction, Synergie et Corrélation
- 1.2.4. Approche Hiérarchique vs Approche Auto-Organisée
- 1.2.5. Réseaux Neuronaux Traditionnels vs Réseaux Synergiques
- 1.2.6. Terminologies Employées dans le DSL
- 1.2.7. Exemples Illustratifs de la Synergie dans la Nature

Cette partie clarifie les notions de base liées au **DSL**. Elle définit les **entités d'information**, explicite la distinction entre une **simple interaction** et une **synergie**, et propose des **exemples concrets** afin d'illustrer la pertinence de cette approche.

1.3. Importance de l'Auto-Organisation

- 1.3.1. Inspirations Biologiques et Cognitives
- 1.3.2. Concepts Clés : Émergence, Auto-Régulation, Feedback
- 1.3.3. Comparaison avec les Méthodes d'Apprentissage Classiques

- **1.3.4. Le Rôle des Flux d'Information Multimodaux**
- **1.3.5. Évolution Dynamique et Adaptation en Continu**
- **1.3.6. Impacts sur la Robustesse et la Résilience des Modèles**
- **1.3.7. Perspectives pour une Approche plus Globale de l'Apprentissage**

Nous soulignerons ici pourquoi l'auto-organisation est cruciale pour le DSL, en nous inspirant notamment des systèmes biologiques et cognitifs. Nous verrons en quoi elle se distingue des méthodes d'apprentissage habituelles et comment elle améliore robustesse et résilience.

1.4. Architecture Générale du DSL

- **1.4.1. Principe de Base : Entités et Liens Synergiques**
- **1.4.2. Présentation du Synergistic Connection Network (SCN)**
- **1.4.3. Notion de Cluster et de Macro-Cluster**
- **1.4.4. Fonctions de Synergie : Distance, Similarité et Co-Information**
- **1.4.5. Pondérations Adaptatives et Évolution Temporelle**
- **1.4.6. Interactions Directes et Indirectes**
- **1.4.7. Cas Particuliers : Synergie binaire et n-aire**

Cette section décrit la structure interne du DSL. Nous y découvrirons notamment le **Synergistic Connection Network (SCN)**, ainsi que les mécanismes de mise à jour et de formation des clusters d'entités d'information.

1.5. Pourquoi une Approche Synergique ?

- **1.5.1. Avantages par Rapport aux Réseaux Neuronaux Profonds**
- **1.5.2. Gestion Naturelle de la Multi-modalité**
- **1.5.3. Flexibilité vis-à-vis des Données Incomplètes ou Bruitées**
- **1.5.4. Potentiel d'Auto-Évolution et d'Adaptation Continue**
- **1.5.5. Réduction de la Dépendance à la Supervision Humaine**
- **1.5.6. Création de Représentations Riches et plus Interprétables**
- **1.5.7. Intégration de Dimensions Symboliques ou Cognitives**

Ici, nous discutons des bénéfices concrets du DSL par rapport aux approches traditionnelles. Nous verrons comment la synergie facilite la fusion de modalités, l'adaptation aux données bruitées et la création de représentations plus expressives.

1.6. Applications Pressenties et Domaines Impactés

- 1.6.1. Vision Artificielle et Reconnaissance d'Objets Complexes
- 1.6.2. Analyse Audio et Traitement du Langage Naturel
- 1.6.3. Robotique et Systèmes Intelligents Évolutifs
- 1.6.4. Recommandation Personnalisée et Systèmes de Décision
- 1.6.5. Surveillance, Diagnostic Médical et Anomalies
- 1.6.6. Planification et Optimisation dans l'Industrie 4.0
- 1.6.7. Perspectives pour la Recherche Fondamentale en IA Forte

Nous dresserons un panorama des domaines susceptibles de bénéficier du DSL, en soulignant pour chacun d'entre eux comment la synergie et l'auto-organisation peuvent apporter des solutions nouvelles ou plus performantes.

1.7. Défis, Contraintes et Ouvertures

- 1.7.1. Complexité Computationnelle et Scalabilité
- 1.7.2. Qualité et Disponibilité des Données
- 1.7.3. Développement d'Algorithmes d'Optimisation Appropriés
- 1.7.4. Contrôle et Stabilité des Processus Auto-Organisés
- 1.7.5. Interprétabilité et Explicabilité pour l'Humain
- 1.7.6. Considérations Éthiques et Réglementaires
- 1.7.7. Comparaisons Expérimentales avec d'Autres Approches

Malgré son **potentiel**, le **DSL** rencontre plusieurs **obstacles**, notamment la **complexité des calculs**, les **difficultés de collecte de données** et les **incertitudes éthiques**. Cette section propose une **synthèse** de ces problématiques et explore des **pistes** permettant d'y remédier.

1.8. Positionnement du DSL dans l'Évolution de l'IA

- 1.8.1. IA Symbolique vs IA Sub-symbolique : Intégration Potentielle
- 1.8.2. DSL et Apprentissage Profond : Collaboration ou Substitution ?
- 1.8.3. Approches Hybrides : DSL, RL (Reinforcement Learning) et Logique
- 1.8.4. Rôle de la Mémoire et de l'Attention dans le DSL
- 1.8.5. Tendances Futures : Vers une IA Forte, Consciente ?

- **1.8.6. Effet Sur la Recherche Interdisciplinaire**
- **1.8.7. Exemple de Convergence : DSL & Neurosciences**

Nous reviendrons sur la relation du DSL avec les grands axes de l'IA (symbolique, connexionniste, hybride) et discuterons de sa place actuelle et future dans l'avancée de la discipline vers l'IA générale.

1.9. Méthodologie, Ressources et Outils

- **1.9.1. Approche de Recherche : Théorique, Expérimentale, Hybride**
- **1.9.2. Bases de Données et Plates-formes de Test pour le DSL**
- **1.9.3. Frameworks de Développement : Python, C++, Bibliothèques spécialisées**
- **1.9.4. Environnements de Simulation et d'Évaluation**
- **1.9.5. Protocoles de Validation : Qualitatifs et Quantitatifs**
- **1.9.6. Collaboration et Partage de Ressources (Open Source)**
- **1.9.7. Gestion du Cycle de Vie d'un Projet DSL**

Cette partie expose les moyens pratiques pour mettre en œuvre et évaluer le DSL : choix des plateformes logicielles, types de données disponibles, protocoles de validation... Elle servira de guide méthodologique pour les projets s'appuyant sur la synergie informationnelle.

1.10. Structure du Livre et Lecture Conseillée

- **1.10.1. Vue d'Ensemble des Chapitres Suivants**
- **1.10.2. Lien entre Chapitres et Cohérence Globale**
- **1.10.3. Logique Pédagogique : Progression des Concepts**
- **1.10.4. Conseils de Lecture en Fonction des Profils (Débutants, Experts)**
- **1.10.5. Renvois vers des Ressources Complémentaires**
- **1.10.6. Planification du Lecteur : Stratégie d'Étude**
- **1.10.7. Perspectives de Recherche à Long Terme**

Ici, nous présenterons la trame globale de l'ouvrage, en expliquant comment chaque chapitre s'articule pour apporter une compréhension complète du DSL, que l'on soit débutant ou spécialiste confirmé.

1.11. Conclusion du Chapitre

- **1.11.1. Synthèse des Points Clés**

- **1.11.2. Contributions du Chapitre à la Compréhension du DSL**
- **1.11.3. Liaison avec le Chapitre 2 : Fondements Théoriques Avancés**
- **1.11.4. Points de Discussion et Questions Ouvertes**
- **1.11.5. Réflexion sur la Place du DSL dans l'IA Généralisée**
- **1.11.6. Mot de Fin et Transition vers la Suite**

Enfin, nous dresserons le bilan des notions abordées, mettrons en évidence les contributions majeures de ce premier chapitre, et préparerons la transition vers le chapitre suivant, qui approfondira les fondements théoriques et mathématiques du **Deep Synergy Learning**.

Ce **Plan Général du Chapitre 1** doit permettre au lecteur de repérer rapidement les différentes thématiques abordées et de comprendre la **progression logique** qui va du contexte initial de l'IA (sections 1.1 à 1.2) aux **concepts structurels** du DSL (sections 1.3 à 1.5), puis à leurs **applications** (1.6), défis (1.7), positionnement (1.8) et **méthodologies** (1.9), avant de conclure sur l'organisation globale de l'ouvrage (1.10) et de refermer le chapitre (1.11).

1.1. Contexte et Motivation

Cette section introduit les raisons d'être du Deep Synergy Learning. Elle part d'un historique de l'IA (1.1.1) pour montrer l'émergence du Deep Learning (1.1.2) et ses limites, puis explique la transition vers l'idée de synergie informationnelle (1.1.3). Le **positionnement** du DSL dans l'écosystème de l'IA (1.1.4), son **rôle potentiel** dans la quête d'une IA forte (1.1.5) et ses **objectifs et contributions clés** (1.1.6) y sont détaillés. La sous-section 1.1.7 conclut en résumant la structure globale de cette partie introductive.

1.2. Définitions et Concepts Préliminaires

Après avoir cerné les motivations du DSL, on aborde ici les **fondations conceptuelles**. L'accent est mis sur la définition des "entités d'information" (1.2.1), la notion de "synergie informationnelle" (1.2.2), et les différences entre interaction, synergie et corrélation (1.2.3). On compare également l'**approche hiérarchique** traditionnelle aux mécanismes **auto-organisés** (1.2.4), en distinguant les **réseaux neuronaux classiques** des **réseaux synergiques** (1.2.5). Un point terminologique (1.2.6) clarifie le vocabulaire clé, avant de donner quelques **exemples illustratifs** de synergie dans la nature (1.2.7) pour mieux ancrer ces concepts.

1.3. Importance de l'Auto-Organisation

Le **DSL** met fortement l'accent sur l'**auto-organisation**, un principe fondamental de son fonctionnement. Cette section en précise la **portée** ainsi que ses **inspirations** (1.3.1), en mettant en lumière des **concepts clés** tels que l'**émergence** et l'**auto-régulation** (1.3.2). On y compare la démarche auto-organisée avec les méthodes d'apprentissage classiques (1.3.3), en insistant sur le rôle crucial des **flux multimodaux** (1.3.4). L'**évolution dynamique** (1.3.5) et l'impact sur la **robustesse** (1.3.6) figurent parmi les arguments forts pour justifier ce choix d'organisation. La

section se termine sur une réflexion quant à l'adoption d'une approche plus globale de l'apprentissage (1.3.7).

1.4. Architecture Générale du DSL

On explore ensuite la **structure interne** du Deep Synergy Learning. On démarre par les **principes de base** (1.4.1), puis on décrit le **Synergistic Connection Network (SCN)** (1.4.2), pivot du DSL, mettant l'accent sur la **notion de cluster** (1.4.3). Les **fonctions de synergie** et les mesures de distance ou similarité (1.4.4) sont présentées, suivies des **pondérations adaptatives** (1.4.5) qui évoluent au fil du temps. On souligne ensuite la distinction entre **interactions directes et indirectes** (1.4.6), et on conclut en mentionnant les **cas particuliers** (1.4.7) comme la synergie binaire ou n-aire, ouvrant la voie à des extensions plus avancées.

1.5. Pourquoi une Approche Synergique ?

Cette section développe les avantages potentiels du DSL. Elle souligne par exemple sa plus-value par rapport aux **réseaux neuronaux profonds** (1.5.1), sa gestion naturelle de la **multi-modalité** (1.5.2), et la **flexibilité** qu'il apporte face aux données bruyantes ou incomplètes (1.5.3). Viennent ensuite des points sur l'**auto-évolution** (1.5.4), la réduction de la **dépendance à la supervision** (1.5.5), l'émergence de **représentations plus riches** (1.5.6) et, enfin, l'éventuelle intégration de **dimensions symboliques** (1.5.7).

1.6. Applications Pressenties et Domaines Impactés

Ici, on brosse un **tableau des champs d'application** où le DSL peut exceller. On commence par la **vision artificielle** et la **reconnaissance d'objets** (1.6.1), l'**analyse audio** et le **traitement du langage** (1.6.2), la **robotique** (1.6.3), les **systèmes de recommandation** (1.6.4), la **surveillance** et le **diagnostic médical** (1.6.5), puis on aborde les problématiques de **planification** et d'**optimisation** dans l'industrie (1.6.6). La section s'achève en évoquant les implications pour l'**IA forte** (1.6.7).

1.7. Défis, Contraintes et Ouvertures

Même si le DSL est porteur de promesses, il soulève nombre de **défis**. On évoque notamment la **complexité computationnelle** (1.7.1), la qualité des **données** (1.7.2), la nécessité de **nouveaux algorithmes** (1.7.3), et les questions de **stabilité** dans les processus auto-organisés (1.7.4). Des enjeux d'**interprétabilité** (1.7.5) et d'**éthique** (1.7.6) sont également soulevés, avant de proposer des pistes de comparaison expérimentale (1.7.7) avec d'autres approches.

1.8. Positionnement du DSL dans l'Évolution de l'IA

On approfondit ici la **place** du DSL dans la grande histoire de l'IA, soulignant les possibilités d'**intégration** entre IA symbolique et sub-symbolique (1.8.1), les relations entre DSL et **Deep Learning** (1.8.2), et les perspectives d'**approches hybrides** (1.8.3). Le **rôle de la mémoire** et de l'**attention** (1.8.4), les pistes vers l'**IA forte et consciente** (1.8.5), ainsi que l'influence sur la **recherche interdisciplinaire** (1.8.6) sont passés en revue. Enfin, un **exemple de convergence** (1.8.7) montre comment le DSL peut s'enrichir des neurosciences.

1.9. Méthodologie, Ressources et Outils

Cette section vise à orienter le lecteur sur la façon de **mettre en œuvre** le DSL. On y aborde les approches de recherche (1.9.1), les **bases de données** disponibles (1.9.2) et les **frameworks** courants (1.9.3), ainsi que les environnements de **simulation** et d'**évaluation** (1.9.4). Des **protocoles de validation** (1.9.5), la **collaboration open source** (1.9.6), et la **gestion de projet** (1.9.7) sont enfin exposés, pour accompagner toute personne souhaitant expérimenter avec le DSL.

1.10. Structure du Livre et Lecture Conseillée

Avant de clore le chapitre, on donne ici un **aperçu global** de l'enchaînement des chapitres du livre (1.10.1), en expliquant la **cohérence** d'ensemble (1.10.2) et la **logique pédagogique** adoptée (1.10.3). On propose également des **conseils** selon les profils de lecteurs (1.10.4), indique des **ressources complémentaires** (1.10.5) et suggère une **stratégie d'étude** (1.10.6). La section se termine par quelques **perspectives de recherche** (1.10.7).

1.11. Conclusion du Chapitre

Enfin, la conclusion du chapitre (1.11) dresse une **synthèse** (1.11.1) des points essentiels et met en évidence la **contribution** (1.11.2) de ce chapitre à la compréhension du DSL. On y établit une **liaison** claire avec le chapitre suivant (1.11.3), en soulignant les **questions ouvertes** (1.11.4) et les **réflexions** (1.11.5) sur la place du DSL dans l'IA généralisée. Un **mot de fin** (1.11.6) assure la transition vers la suite du livre, où seront approfondis les fondements théoriques et les premières implémentations concrètes.

1.2. Définitions et Concepts Préliminaires

Dans cette partie, nous allons introduire les notions fondamentales qui sous-tendent le **Deep Synergy Learning (DSL)**. Alors que la section précédente (1.1) portait sur le contexte historique, les motivations et la place du DSL dans l'écosystème de l'IA, le présent segment (1.2) est consacré à la **structure conceptuelle** du DSL et aux **fondements** qui permettent d'en comprendre les mécanismes profonds.

Nous débuterons par la définition de ce qu'est une **"Entité d'Information"** (1.2.1), pierre angulaire du paradigme DSL. Nous poursuivrons en expliquant le concept de **"Synergie Informationnelle"** (1.2.2) et en clarifiant la différence entre interaction, synergie et simple corrélation (1.2.3). Nous verrons ensuite comment le DSL se démarque d'une **approche strictement hiérarchique** (1.2.4) et en quoi il diverge des **réseaux neuronaux traditionnels** (1.2.5). Enfin, nous préciserons la **terminologie** spécifique (1.2.6) et illustrerons les principes de synergie par des **exemples concrets** (1.2.7).

1.2.1. Qu'est-ce qu'une "Entité d'Information" ?

Le concept d'**entité d'information** constitue l'un des piliers fondamentaux du **Deep Synergy Learning**. Dans le DSL, une entité d'information n'est pas un simple point de données isolé, mais plutôt un "objet d'apprentissage" possédant :

- Une **représentation interne** (généralement un vecteur, un tenseur ou une fonction).
- Les **caractéristiques dynamiques** d'une entité lui permettent d'**évoluer**, de se **modifier** et d'**entretenir** des **liens synergiques** avec d'autres entités.
- Un **historique** (ou une mémoire partielle) de ses interactions antérieures, pouvant impacter son comportement futur.

Pour formaliser une entité d'information \mathcal{E} , on se place dans un espace vectoriel (ou parfois un espace de Hilbert plus général) :

$$\mathcal{E}_k \in \mathbb{R}^d, \quad \text{ou} \quad \mathcal{E}_k \in \mathbb{R}^{n_1 \times n_2 \times \dots \times n_p},$$

suivant la nature des données (vecteur, matrice, tenseur, etc.). Par exemple, une image peut être encodée en tant que tenseur 3D (hauteur \times largeur \times canaux de couleur), tandis qu'un signal audio pourra être représenté sous forme de séries temporelles dans \mathbb{R}^d .

Dans certains cas, la représentation peut également être probabiliste. Ainsi, \mathcal{E}_k peut être décrite par une distribution de probabilité $\mathcal{P}_k(\mathbf{x})$ sur un certain espace $\mathbf{x} \in \mathcal{X}$. L'important est de conserver la possibilité de **mesurer** la distance, la similarité ou la divergence entre deux entités :

$$\text{dist}(\mathcal{E}_k, \mathcal{E}_m) \quad \text{ou} \quad \text{sim}(\mathcal{E}_k, \mathcal{E}_m).$$

Outre la représentation brute, une entité peut avoir des **paramètres internes** (poids, biais, etc.) qui se modifient selon le temps ou selon les interactions :

$$\theta_k = \{\theta_{k,1}, \theta_{k,2}, \dots, \theta_{k,\ell}\}.$$

Ces paramètres influent sur le “comportement” de l’entité, c’est-à-dire sa manière de calculer des **scores de similarité** ou des **fonctions de sortie**. On peut aussi décrire un **état** interne $\mathbf{s}_k(t)$ évoluant avec t , le temps (ou la phase d’apprentissage) :

$$\mathbf{s}_k(t) \in \mathbb{R}^d,$$

indiquant, par exemple, le niveau de confiance ou les caractéristiques discriminantes apprises jusqu’à l’instant t . Cet état peut servir de base à la mise à jour des **connexions synergiques** entre l’entité \mathcal{E}_k et d’autres entités \mathcal{E}_m .

Dans le cadre du DSL, nous pouvons associer à chaque entité \mathcal{E}_k un **ensemble** de composants :

$$\mathcal{E}_k = (\mathbf{x}_k, \mathbf{s}_k, \theta_k, \dots),$$

où :

- $\mathbf{x}_k \in \mathbb{R}^d$ est la représentation courante (ex. : vecteur de caractéristiques, image encodée).
- \mathbf{s}_k est l’état interne dynamique (optionnel ou modulable).
- θ_k représente des **paramètres d’ajustement** ou d’apprentissage.
- D’autres composants pourraient inclure la **mémoire** (historique), les **métadonnées**, etc.

Cette formulation a pour but de **généraliser** la notion de “neurone” ou de “vecteur de données” pour en faire une entité d’apprentissage **active** et **adaptative**, au cœur des mécanismes d’interaction synergiques.

Pour illustrer concrètement la notion d’entité d’information, considérons la tâche de **reconnaissance de situations** dans une vidéo associée à un flux audio. Dans ce scénario, l’entité $\mathcal{E}_{\text{visuelle}}$ peut représenter un **descripteur d’image** extrait par un réseau de neurones convolutionnel (CNN), enrichi de **paramètres** relatifs à la forme ou à la pose des objets détectés. De son côté, l’entité $\mathcal{E}_{\text{auditive}}$ peut regrouper une **carte d’intensité fréquentielle** (spectrogramme) et un **état** décrivant la tonalité ou le niveau de bruit ambiant.

Ces deux entités ne constituent pas de simples “blocs” de données isolés, elles sont conçues pour **interagir, se synchroniser** ou même **fusionner**, dès lors que leur **synergie** (au sens de la section 1.2.2) est suffisamment élevée. Autrement dit, si les informations issues des canaux visuel et auditif s’enrichissent mutuellement, elles ont la possibilité de renforcer leurs liens et, potentiellement, de s’intégrer au point de former une entité commune, apte à traiter des signaux audiovisuels de manière coordonnée. Cette démarche souligne la **plasticité** du Deep Synergy Learning, qui autorise une reconfiguration permanente des relations entre entités pour améliorer la représentation globale de la scène.

En définitive, l’entité d’information constitue le **nœud élémentaire** du DSL. C’est à **travers** elle et **par** elle que les mécanismes de synergie prennent forme, permettant l’émergence de structures d’apprentissage plus complexes. Le **design** même de chaque entité, qu’il s’agisse de sa représentation (vecteur, tenseur, distribution de probabilité), de son état ou de ses paramètres d’ajustement, détermine directement l’**expressivité** et l’**efficacité** de l’apprentissage au sein du réseau. Le choix judicieux de ces attributs, adapté à la modalité (vision, audio, texte, etc.) et à la

tâche visée, facilite la formation de **liaisons synergiques** fructueuses et, par conséquent, contribue à la robustesse et à la performance globale du système DSL.

1.2.2. Notion de “Synergie Informationnelle”

L’un des concepts centraux du Deep Synergy Learning (DSL) est la **synergie informationnelle**. Il s’agit de la capacité de deux (ou plusieurs) entités d’information à produire, ensemble, un **contenu** ou une **performance** impossible à atteindre (ou significativement moins bonne) si elles agissaient de manière isolée. Dans un cadre mathématique, la synergie se formalise par une mesure qui évalue l’**apport mutuel** entre les entités. Plus cette mesure est élevée, plus les entités concernées s’enrichissent mutuellement, amplifiant leur pouvoir de représentation ou de décision.

Définition générale. Considérons deux entités d’information, \mathcal{E}_i et \mathcal{E}_j . En première approximation, on peut définir la **synergie** $S(\mathcal{E}_i, \mathcal{E}_j)$ comme une fonction qui quantifie à quel point la prise en compte conjointe de \mathcal{E}_i et de \mathcal{E}_j **améliore** un critère d’apprentissage (la prédiction d’une variable cible, la qualité d’une représentation, etc.).

$$S(\mathcal{E}_i, \mathcal{E}_j) = f(\mathcal{E}_i, \mathcal{E}_j),$$

où $f(\cdot)$ peut être :

- Une **mesure d’entropie conjointe** (ou de co-information) en théorie de l’information,
- Un **gain de performance** par rapport à une référence (p. ex. différence de log-vraisemblance),
- Une **fonction de similarité/distance** qui prend en compte des aspects non linéaires et adaptatifs.

Cette fonction f doit être conçue pour refléter la notion que “le tout est plus que la somme des parties”. Ainsi, il est d’usage de considérer qu’une **haute synergie** indique que l’association $\{\mathcal{E}_i, \mathcal{E}_j\}$ est nettement plus informative que chacune des entités prise isolément.

En théorie de l’information, on peut s’appuyer sur l’**entropie conjointe** et la **co-information**. Par exemple, si \mathbf{X}_i et \mathbf{X}_j sont les variables aléatoires (représentant respectivement les entités \mathcal{E}_i et \mathcal{E}_j), on définit :

$$I(\mathbf{X}_i; \mathbf{X}_j) = H(\mathbf{X}_i) + H(\mathbf{X}_j) - H(\mathbf{X}_i, \mathbf{X}_j),$$

où $H(\cdot)$ est l’entropie (de Shannon, ou d’autres formes d’entropie plus générales). Cette quantité $I(\mathbf{X}_i; \mathbf{X}_j)$ mesure l’**information mutuelle** entre \mathbf{X}_i et \mathbf{X}_j . Toutefois, l’information mutuelle standard ne distingue pas toujours la **synergie** de la **redondance**.

Pour caractériser la synergie stricto sensu, plusieurs travaux de théorie de l’information proposent des mesures de **co-information** plus élaborées, voire des “Partial Information Decomposition” (PID), qui visent à séparer la part de redondance et la part de synergie :

$$\text{Synergie}(\mathbf{X}_i, \mathbf{X}_j) = I_{\text{PID}}^{(\text{syn})}(\mathbf{X}_i; \mathbf{X}_j \mid \mathbf{Y}),$$

où \mathbf{Y} peut être une troisième variable (cible à prédire) ou un contexte. Dans le cadre du DSL, il est donc pertinent d'utiliser, lorsque c'est possible, des **métriques entropiques** pour quantifier la contribution **non triviale** de chaque couple d'entités.

Une autre approche consiste à définir la synergie comme le **gain** (en termes de fonction objectif ou de performance) obtenu lorsqu'on associe deux entités, par rapport à leur utilisation séparée :

$$S(\mathcal{E}_i, \mathcal{E}_j) = \Delta(\mathcal{E}_i, \mathcal{E}_j) = \Phi(\{\mathcal{E}_i, \mathcal{E}_j\}) - [\Phi(\{\mathcal{E}_i\}) + \Phi(\{\mathcal{E}_j\})],$$

où $\Phi(\cdot)$ est un **score** ou une **mesure** de la qualité du système (ex. : taux de classification, log-likelihood, etc.). Dans ce cas :

- $S(\mathcal{E}_i, \mathcal{E}_j) > 0$ signifie qu'il y a véritablement une **valeur ajoutée** à combiner \mathcal{E}_i et \mathcal{E}_j .
- $S(\mathcal{E}_i, \mathcal{E}_j) < 0$ indique qu'il y a **inhibition** ou dégradation mutuelle.
- $S(\mathcal{E}_i, \mathcal{E}_j) = 0$ suggère une **indépendance** ou une simple addition sans synergie.

Cette formulation est souvent utilisée en pratique, car elle s'aligne directement sur un **objectif** (objectif supervisé, critère d'optimisation non supervisé, etc.). On peut de plus pondérer cette synergie par un facteur adaptatif, en tenant compte du **contexte temporel** ou **des autres entités** impliquées.

Contrairement aux approches linéaires ou statiques, le DSL prévoit que la synergie $S(\mathcal{E}_i, \mathcal{E}_j)$ soit **évolutive** au cours du temps. En d'autres termes, le réseau peut réévaluer en continu la contribution mutuelle de \mathcal{E}_i et \mathcal{E}_j . Matériellement, cela se traduit par la mise à jour d'une **pondération synergiques** $\omega_{i,j}(t)$:

$$\omega_{i,j}(t+1) = \omega_{i,j}(t) + \eta \cdot [S(\mathcal{E}_i, \mathcal{E}_j) - \tau \cdot \omega_{i,j}(t)],$$

où η est un taux d'apprentissage, τ un terme de régularisation (ou d'oubli). Plus la synergie entre deux entités est forte, plus leur lien s'intensifie. Au contraire, si ce lien n'apporte guère de valeur ajoutée (ou est carrément nuisible), sa pondération peut diminuer et aller jusqu'à **rompre** la connexion.

Définition Synergie binaire, ternaire, et n-aire. Dans sa version la plus simple, on considère la synergie entre **paires** d'entités ($\mathcal{E}_i, \mathcal{E}_j$). Toutefois, nombre de scénarios exigent d'évaluer la synergie entre plusieurs entités simultanément. Dans ce cas, on généralise S à un ensemble $\{\mathcal{E}_{k_1}, \dots, \mathcal{E}_{k_m}\}$. On parle alors de **synergie n-aire**, dont la mesure n'est pas forcément la somme des synergies binaires. En effet, il se peut qu'**une triple** $\{\mathcal{E}_a, \mathcal{E}_b, \mathcal{E}_c\}$ dégage une synergie supérieure à la somme des synergies de ses paires :

$$S(\mathcal{E}_a, \mathcal{E}_b, \mathcal{E}_c) > S(\mathcal{E}_a, \mathcal{E}_b) + S(\mathcal{E}_b, \mathcal{E}_c) + S(\mathcal{E}_a, \mathcal{E}_c).$$

Ce phénomène traduit la nature **émergente** du DSL, où des ensembles d'entités peuvent coopérer de manière non triviale pour engendrer de nouvelles représentations ou actions.

Exemple scénario multimodal.

Soit $\mathcal{E}_{\text{visuelle}}$ (extraction de caractéristiques d’une image), $\mathcal{E}_{\text{auditives}}$ (traits de voix, intonation) et $\mathcal{E}_{\text{textuelles}}$ (mots-clés extraits d’une transcription).

Si $\mathcal{E}_{\text{visuelle}}$ et $\mathcal{E}_{\text{textuelle}}$ ont peu d’information en commun, leur **information mutuelle** peut être faible. Pourtant, prises ensemble, elles peuvent produire un **contexte** (ex. : “lieu de la scène + thèmes abordés verbalement”) qui aide à l’interprétation des sons (détection d’émotion). Autrement dit, c’est l’**intersection** de ces informations qui devient cruciale, expliquant une **synergie** plus forte lorsqu’on combine ces trois entités plutôt que deux à deux.

Importance pour le DSL.

Le concept de synergie informationnelle est ce qui **différencie** le DSL d’un système où l’on se contenterait de propager les données entre couches. Au contraire, dans le DSL :

Les entités **cherchent** activement des partenaires synergiques,

Les **pondérations** entre elles **s’ajustent** en fonction de la synergie,

Les **clusters** ou micro-réseaux émergent autour des synergies les plus fortes,

Les entités peuvent **fusionner** ou **évoluer** pour mieux exploiter la coopération (nous verrons ces points dans les chapitres suivants).

Ainsi, la synergie agit comme un **moteur** d’auto-organisation et de **dynamique adaptative**, permettant au réseau de se **restructurer** au fil du temps, en valorisant les combinaisons d’entités les plus porteuses d’information ou de gain de performance.

1.2.3. Différence entre Interaction, Synergie et Corrélation

Lorsqu’on étudie les relations entre différentes entités d’information, il est essentiel de faire la distinction entre **interaction**, **corrélation** et **synergie**. Ces notions sont parfois utilisées de façon interchangeable, mais elles renvoient à des réalités mathématiques et conceptuelles différentes. Comprendre ces nuances permet de mieux cerner l’originalité du Deep Synergy Learning (DSL) et la portée de son concept de « synergie informationnelle ».

1.2.3.1. Interaction : une relation générique

Le terme **interaction** désigne de manière générale l’influence mutuelle que peuvent exercer deux éléments (ou plus) l’un sur l’autre. D’un point de vue mathématique, on parle souvent d’**interaction** lorsque le comportement (ou la fonction) d’un système dépend de l’état de plusieurs variables de manière **non indépendante** :

$$f(\mathbf{x}_1, \mathbf{x}_2) \neq f_1(\mathbf{x}_1) + f_2(\mathbf{x}_2).$$

Par exemple, dans un modèle statistique de type régression, l’**effet d’interaction** entre deux variables se traduit par la présence d’un terme produit $\mathbf{x}_1 \times \mathbf{x}_2$.

Une interaction ne garantit pas nécessairement un effet bénéfique ou un « plus » collectif ; elle se borne à signaler que l'état ou la valeur prise par \mathbf{x}_2 modifie l'effet de \mathbf{x}_1 (et inversement).

Ainsi, dans le DSL, de simples **interactions** peuvent exister entre des entités d'information sans pour autant impliquer une **synergie** (cette dernière requérant un effet d'émergence véritable, voir plus bas).

1.2.3.2. Corrélation : dépendance statistique (souvent linéaire)

La **corrélation** (au sens commun) mesure le degré de **dépendance statistique** entre deux variables, souvent réduit à la **corrélation linéaire** de Pearson :

$$\rho(\mathbf{X}, \mathbf{Y}) = \frac{\text{cov}(\mathbf{X}, \mathbf{Y})}{\sigma_{\mathbf{X}} \cdot \sigma_{\mathbf{Y}}}$$

avec $\text{cov}(\cdot, \cdot)$ représente la covariance, $\sigma_{\mathbf{X}}$ et $\sigma_{\mathbf{Y}}$ désignent l'écart-type de \mathbf{X} et \mathbf{Y} .

Une corrélation élevée ($\rho \approx 1$ ou $\rho \approx -1$) signifie que deux variables évoluent de façon similaire (linéairement liée), tandis qu'une corrélation nulle ($\rho \approx 0$) indique l'absence de dépendance linéaire (mais pas forcément l'absence de dépendance tout court).

Remarque : Dans un cadre non linéaire, d'autres mesures (mutual information, distance correlation, etc.) peuvent s'avérer plus pertinentes que la simple corrélation linéaire.

Corrélation \neq synergie.

Dans le cas d'une corrélation forte, on observe souvent une **redondance**. Si \mathbf{X} prédit bien \mathbf{Y} , alors \mathbf{Y} n'apporte pas nécessairement de nouvelle information. La corrélation peut aussi être trompeuse (corrélation de variables bruitées, effet de causalité inverse, variables cachées...).

Dans le DSL, deux entités très corrélées peuvent d'ailleurs être moins intéressantes (peu de gain) que deux entités faiblement corrélées, mais dont la **combinaison** génère un contenu supplémentaire.

Ainsi, une **corrélation forte** n'implique pas forcément une **synergie** ; et inversement, deux entités peuvent ne pas être corrélées mais créer, ensemble, un effet émergent.

La **synergie**, telle que définie dans le DSL, suppose un **gain** ou une **valeur ajoutée** lorsque les entités se combinent, au-delà de ce qu'elles apportent chacune de leur côté. Autrement dit :

$$S(\mathcal{E}_i, \mathcal{E}_j) > 0 \Rightarrow \text{La combinaison } \{\mathcal{E}_i, \mathcal{E}_j\} \text{ vaut plus que la somme séparée.}$$

- **Synergie \neq simple interaction** : L'interaction signale simplement une dépendance réciproque, alors que la synergie suppose qu'un nouveau niveau de fonctionnalité ou d'information émerge.
- **Synergie \neq redondance** : Deux variables très similaires (corrélées) ont peu de synergie, car prendre l'une ou l'autre n'ajoute pas grand-chose à la décision globale.

- **Synergie \neq coïncidence** : Les coïncidences peuvent être éphémères et non reproductibles. La synergie implique un **effet régulier et réel** sur l'optimisation ou la représentation interne du système.

Matériellement, dans un modèle où la fonction de coût \mathcal{L} est à minimiser (ou la fonction de performance Φ à maximiser), la synergie entre \mathcal{E}_i et \mathcal{E}_j s'exprime souvent comme :

$$\Delta_{ij} = \Phi(\{\mathcal{E}_i, \mathcal{E}_j\}) - [\Phi(\{\mathcal{E}_i\}) + \Phi(\{\mathcal{E}_j\})].$$

- Si $\Delta_{ij} > 0$, on parle de **synergie positive** (la combinaison est plus utile que la simple juxtaposition).
- Si $\Delta_{ij} < 0$, il y a **inhibition** ou **redondance néfaste**, et le couplage des entités se révèle contre-productif.
- Si $\Delta_{ij} \approx 0$, cela signifie qu'elles n'apportent pas grand-chose l'une à l'autre au regard de la tâche considérée.

Pour mieux illustrer ces différences, on peut imaginer un **diagramme** représentant trois situations :

1. **Corrélation (redondance)** : Les deux entités (A et B) apportent presque la même information.
2. **Interaction** : A et B se modifient mutuellement, mais sans forcément créer une nouvelle dimension.
3. **Synergie** : La combinaison A + B engendre un nouveau potentiel (ex. : l'ajout d'un flux audio + flux visuel crée un contexte multimodal plus riche que n'importe lequel des flux pris isolément).

Cas concrets.

- **Cas de redondance sans synergie** : Deux capteurs de température placés au même endroit, fournissant des mesures quasi identiques. Ils sont très corrélés, mais en prendre un seul est aussi informatif que d'en prendre deux.
- **Cas d'interaction sans synergie** : En biologie, certaines protéines interagissent (l'une bloque l'autre, par exemple), mais cela ne produit pas nécessairement un comportement globalement plus efficace pour l'organisme.
- **Cas de synergie forte** : En traitement de la parole, combiner la lecture labiale (analyse des mouvements des lèvres, entité visuelle) et le signal acoustique (entité auditive) améliore considérablement la reconnaissance par rapport à l'utilisation du signal audio seul ou de l'image seule, surtout en environnement bruyant.

Dans le **Deep Synergy Learning**, on cherche précisément à **favoriser** la création de synergies positives et à **réduire** (voire éliminer) les liens qui relèvent de la simple redondance ou d'interactions stériles. Les règles de mise à jour des **pondérations synergiques** (voir plus loin dans les chapitres dédiés) sont conçues pour :

- **Renforcer** les liens entre entités ayant un $\Delta_{ij} > 0$.
- **Diminuer** ou rompre les liens entre entités dont la corrélation ne procure aucun gain ou, pire, engendre un effet négatif ($\Delta_{ij} < 0$).
- Permettre la **détection** de synergies n-aires, où plusieurs entités coopèrent pour former des micro-réseaux auto-organisés.

Cette démarche permet d'éviter l'explosion combinatoire (en évaluant toutes les combinaisons) grâce à un **mécanisme dynamique** où les liens se forment ou se défont au fil de l'apprentissage, suivant les feedbacks de performance ou des indicateurs entropiques.

Dans le DSL, c'est précisément cette notion de synergie, mesurée et mise à jour en continu, qui permet de construire des **clusters** d'entités coopératives, de faire émerger de **nouvelles représentations**, et de potentialiser la **résilience** du système face à la variabilité des données. Les sections ultérieures reviendront sur la façon dont ce mécanisme de synergie se met en place dans une **approche auto-organisée** (1.2.4) et comment il se distingue des **réseaux neuronaux** traditionnels (1.2.5).

1.2.4. Approche Hiérarchique vs Approche Auto-Organisée

Les approches hiérarchiques traditionnelles, largement utilisées dans le Deep Learning, reposent sur la succession de **couches** (layers) qui transforment progressivement les données d'entrée jusqu'à aboutir à une sortie (une prédiction, une classification, etc.). À chaque couche, on opère une **composition** de fonctions (le plus souvent linéaires, suivies de non-linéarités comme ReLU ou sigmoid). Par opposition, l'**approche auto-organisée** (telle qu'on la retrouve dans le Deep Synergy Learning, DSL) met l'accent sur la **capacité du réseau à reconfigurer** ou **réorganiser** sa structure interne en fonction des synergies détectées, plutôt que de s'en tenir à une architecture rigide et prédéfinie.

Dans cette section, nous allons approfondir cette différence en examinant les principes fondamentaux de l'approche hiérarchique, pour mieux comprendre comment le DSL, en tant qu'approche auto-organisée, propose une alternative à la fois plus **dynamique** et plus **adaptative**.

Fondements de l'approche hiérarchique

Dans un **réseau hiérarchique** traditionnel (tel qu'un réseau de neurones profond), le **principe du traitement en cascade** impose aux données \mathbf{x} de traverser une succession de transformations linéaires et non linéaires :

$$\mathbf{h}^{(1)} = f^{(1)}(\mathbf{x}), \quad \mathbf{h}^{(2)} = f^{(2)}(\mathbf{h}^{(1)}), \quad \dots, \quad \mathbf{h}^{(L)} = f^{(L)}(\mathbf{h}^{(L-1)}),$$

où $\mathbf{h}^{(\ell)}$ représente la "représentation cachée" extraite à la couche ℓ , et $f^{(\ell)}$ désigne un opérateur paramétrique (incluant poids et fonction d'activation). Dans ce schéma, l'information **circule** essentiellement **de bas en haut**, et les éventuelles boucles de rétroaction (feedback top-down) demeurent limitées ou spécialisées, comme dans les architectures RNN ou LSTM.

Cette organisation induit une **séparation des rôles** :

- Les **premières couches** traitent des descripteurs “bas niveau” (par exemple, repérer des bords pour une image, des phonèmes pour un signal audio, etc.).
- Les **couches intermédiaires** approfondissent la combinaison de ces descripteurs, extrayant des motifs plus complexes.
- Les **dernières couches** produisent la **décision finale** (classe, score, etc.).

Toutefois, cette hiérarchie s’accompagne d’une **certaine rigidité**. Une fois le nombre de couches, la taille de chacune, et la nature des connexions (dense, convolutionnelle, récurrente...) choisis, la **structure** du réseau reste figée pendant la phase d’apprentissage. Seuls les **poids** sont ajustés par descente de gradient ou par l’une de ses variantes, tandis que la topologie globale demeure invariable.

Les **réseaux hiérarchiques** classiques présentent plusieurs limites marquantes. D’abord, ils demeurent fortement **dépendants** à la supervision, ils requièrent souvent de larges quantités de données annotées pour “régler” leurs poids internes. Par ailleurs, au fur et à mesure que l’architecture croît, on assiste à une **prolifération** exponentielle du nombre de paramètres, alourdissant le coût en calcul et en mémoire, tout en rendant le réseau plus difficile à **interpréter** et à **déboguer**.

En outre, ces réseaux manifestent un **manque d’adaptabilité**. Face à un “domain shift” (changement de distribution des données), il s’avère nécessaire de procéder à un réapprentissage (ou un ajustement considérable), faute de mécanismes internes pour **reconfigurer** ou **réorganiser** dynamiquement la structure. Enfin, ils souffrent d’une **faible modularité**, bien que les couches s’empilent, elles ne peuvent guère “échanger” librement en dehors des cheminements établis dans l’architecture.

Dans une **approche auto-organisée**, caractéristique du DSL, la **plasticité topologique** occupe une place centrale. Plutôt que de fonctionner avec des couches fixes, les **entités d’information** peuvent spontanément **former des clusters**, **créer** ou **rompre** des liaisons, et même **fusionner** si la synergie s’avère suffisamment élevée (cf. sections 1.2.2 et 1.2.3). Ainsi, l’**architecture** ne se trouve plus **imposée**, mais se **construit** et se **reconstruit** au fil de l’**apprentissage**, en fonction des **besoins** et de l’**évolution** des **données**.

Cette **évolution dynamique** repose sur l’adaptation continue des pondérations synergiques $\omega_{i,j}$ suivant une règle telle que

$$\omega_{i,j}(t+1) = \omega_{i,j}(t) + \eta [S(\mathcal{E}_i, \mathcal{E}_j) - \tau \omega_{i,j}(t)],$$

où η est un taux d’apprentissage, τ un coefficient de régularisation et $S(\mathcal{E}_i, \mathcal{E}_j)$ la synergie entre les entités \mathcal{E}_i et \mathcal{E}_j . Dans ce cadre, une synergie **positive** renforce la connexion, tandis qu’une synergie **négative** l’affaiblit. Ainsi, les entités dont la coopération est bénéfique sont encouragées à établir (ou consolider) leurs liens, tandis que les connexions moins productives s’éteignent naturellement.

Au fil de ce processus d’ajustement, des **micro-réseaux** ou **clusters auto-organisés** émergent dès lors que les synergies mutuelles s’élèvent entre certaines entités. Ces agrégats peuvent apparaître, se scinder ou disparaître, reflétant les évolutions des données ou l’arrivée d’interactions nouvelles. Par ailleurs, cette liberté structurelle favorise une **coopération multi-flux**, en autorisant les entités

visuelles, auditives, textuelles, etc. à s’influencer **directement**, sans passer par un chemin prédéfini de “couches”. Par exemple, une entité auditive peut détecter à l’instant t une forte synergie avec une entité visuelle et, de ce fait, former un cluster pour la durée nécessaire ; plus tard, si les conditions changent, elle peut s’éloigner de ce groupe pour établir d’autres coopérations plus pertinentes.

Dans une **architecture auto-organisée**, on ne définit plus un enchaînement linéaire $\mathbf{h}^{(1)} \rightarrow \mathbf{h}^{(2)} \rightarrow \dots$; à la place, on conçoit un **graphe** $G(t)$ dont les **nœuds** sont les entités $\{\mathcal{E}_1, \dots, \mathcal{E}_n\}$ et dont les **arêtes** représentent les pondérations synergiques $\omega_{i,j}(t)$. L’évolution du réseau se décrit alors par une fonction de mise à jour :

$$G(t+1) = \mathcal{U}[G(t), S(\cdot, \cdot)],$$

où \mathcal{U} tient compte des **critères de synergie** $S(\mathcal{E}_i, \mathcal{E}_j)$. Le système prend ainsi la forme d’un **Système Dynamique Non Linéaire**, se réorganisant de manière à privilégier les **combinatoires** d’entités jugées les plus utiles ou performantes.

Il est fréquent d’ajouter un mécanisme d’**énergie libre** ou de **coût global** :

$$\mathcal{J}(G) = - \sum_{i,j} \omega_{i,j} S(\mathcal{E}_i, \mathcal{E}_j) + \alpha \|\omega\|^2,$$

de façon à **régulariser** la taille du réseau et à éviter que le nombre de connexions ne “flambe” de manière excessive. Dans ce cadre, la mise à jour peut s’effectuer via une **descente de gradient** (ou un algorithme d’optimisation inspiré des systèmes complexes, comme un algorithme génétique ou un recuit simulé), conduisant progressivement à une **organisation** qui valorise les synergies tout en restreignant les liaisons redondantes.

Dans une **approche auto-organisée**, l’**adaptabilité** représente un atout majeur ; le réseau peut s’ajuster en continu face à l’arrivée de nouvelles données ou au changement d’une distribution, sans qu’il faille repenser entièrement son architecture. En outre, la **multi-modalité** y est gérée de façon native, les entités issues de différentes sources (audio, image, texte, etc.) ont la possibilité de **s’influencer** directement et de **former des clusters** multimodaux, ce qui facilite la **fusion** des divers flux et l’exploitation de leurs synergies. Par ailleurs, cette dynamique ouverte autorise un **potentiel créatif**, l’**émergence** de combinaisons inédites entre entités peut révéler des **patterns** jusque-là invisibles, que des architectures hiérarchiques classiques ne parviendraient pas à capturer aussi spontanément.

Néanmoins, cet avantage s’accompagne de plusieurs **défis** importants. D’abord, la **complexité** de **contrôle** peut s’avérer **élevée**. Sans **mécanismes** de **régulation** tels que le **facteur** τ ou certaines **pénalités**, le réseau risque de basculer vers un **excès** de **connexions** ou de **boucles** pouvant engendrer des **oscillations**. Le **coût** de **calcul** constitue également un défi, car **évaluer** la **synergie** entre un grand **nombre** d’entités requiert souvent des **heuristiques** ou des **méthodes** parcimonieuses afin de rester **tractable** en **pratique**. Enfin, l’**interprétabilité** peut devenir une **problématique** importante. Bien que l’**auto-organisation** tende à faire émerger des **clusters** plus **significatifs**, l’**évolution** permanente de la **structure** rend plus **complexe** une **analyse** en **profondeur** du fonctionnement **interne** du réseau.

Comparaison synthétique

Caractéristique	Approche Hiérarchique	Approche Auto-Organisée (DSL)
Architecture	Fixe (définie a priori)	Flexible (graphe évolutif)
Propagation de l'info	Principalement feed-forward	Libre (coopération directe entre entités)
Formation des connexions	Statique (paramètres ajustés)	Dynamique (création / rupture de liens)
Apprentissage	Descente de gradient classique	Mise à jour des synergies (pondérations)
Multimodalité	Fusion tardive (généralement)	Intégration native, clusters multimodaux
Adaptation continue	Limité (fine-tuning, transfert)	Fort (reconfiguration à la volée)
Exemples	CNN, RNN, Transformers	Synergistic Connection Network (SCN)

Les sections suivantes (1.2.5 et suivantes) reviendront sur la comparaison plus directe entre les **réseaux neuronaux** traditionnels et les **réseaux synergiques**, tout en introduisant la terminologie spécifique (1.2.6) et des **exemples** (1.2.7) illustrant la pertinence de l'auto-organisation dans différents contextes naturels.

1.2.5. Réseaux Neuronaux Traditionnels vs Réseaux Synergiques

Dans les sections précédentes, nous avons présenté les notions de **synergie informationnelle**, de **corrélation** et de **plasticité** structurelle dans une approche **auto-organisée**. Il est maintenant temps de faire un **parallèle** entre, d'une part, les **réseaux neuronaux profonds** (ou traditionnels) tels qu'on les connaît en apprentissage profond (Deep Learning) et, d'autre part, les **réseaux synergiques** comme envisagés dans le DSL (Deep Synergy Learning). Cette comparaison aidera à mettre en lumière ce que le DSL apporte de différent par rapport aux architectures classiques (CNN, RNN, Transformers, etc.).

Dans les réseaux neuronaux traditionnels, la structure est définie à l'avance. Le nombre de couches, leur type (convolutionnelles, récurrentes, fully-connected, etc.) et leur agencement sont fixés dès le départ, déterminant ainsi l'architecture du modèle avant même l'apprentissage. Chaque couche s'appuie sur la représentation produite par la précédente, imposant une **hiérarchie** explicite. L'apprentissage se fait en ajustant les poids et les biais via une descente de gradient ou l'une de ses variantes (Adam, RMSProp, etc.), tandis que la **propagation de l'information** suit principalement un chemin **feed-forward** ; même lorsque des boucles internes existent (RNN, LSTM), elles demeurent cantonnées à la topologie imposée.

À l'inverse, dans les **réseaux synergiques** au sein du **DSL**, la **topologie** se veut **flexible** et **évolutive**. Il ne s'agit plus de **couches** définies de manière **stricte**, mais d'un **ensemble d'entités d'information** reliées entre elles par des **pondérations synergiques**. Ces **liens** ne sont pas figés et

peuvent évoluer en fonction de la **dynamique** du réseau, comme évoqué dans les sections **1.2.2** et **1.2.4**.

Ces pondérations ne sont pas seulement ajustées ; elles peuvent aussi être créées, renforcées ou rompues, selon la synergie détectée. Cette **possibilité** de **reconfiguration** permanente marque une **différence** fondamentale. Le **réseau** ne se limite pas à une **simple superposition** de couches fixes, mais il s'**auto-organise** en **clusters** dès lors que la **synergie** entre entités le justifie. De plus, l'information ne circule pas selon une progression linéaire ; elle peut **transiter** entre toutes les entités jugées “synergiques”, adoptant ainsi une **approche distribuée** plus proche d'un écosystème vivant que d'un pipeline hiérarchisé.

Dans les **objectifs classiques** du Deep Learning, on minimise une **fonction de coût** $\mathcal{L}(\theta)$ (par exemple, l'entropie croisée ou la MSE), à l'aide d'une **backpropagation** qui calcule les gradients. Les performances sont ensuite mesurées selon des métriques comme la **précision**, le **rappel** ou le **F1-score**, en fonction du type de tâche (classification, régression, etc.).

En revanche, dans une **approche DSL**, ces **objectifs traditionnels** (par exemple, la précision en classification) coexistent avec des **fonctions de synergie** $S(\mathcal{E}_i, \mathcal{E}_j)$ qui orientent l'apprentissage. Les mises à jour des pondérations synergiques $\omega_{i,j}$ tiennent compte de ces scores de synergie, **favorisant** les liaisons dont la synergie s'avère significative, tout en permettant la **création**, le **renforcement** ou la **dissolution** de connexions. On peut également définir une **fonction globale** $\mathcal{J}(G)$, laquelle agrège la **somme** (ou autre forme d'agrégation) des synergies et **pénalise** la multiplication de connexions redondantes. Le réseau se comporte alors comme un **système dynamique**, visant à concilier la **minimisation** d'une perte liée aux tâches classiques (p. ex. une fonction de classification) et la **maximisation** de la synergie informationnelle au sens large.

Dans les **réseaux neuronaux traditionnels**, la **multimodalité** est prise en charge en définissant à l'avance des **voies de traitement distinctes** pour chaque type de donnée, qu'il s'agisse d'**audio**, d'**image** ou de **texte**. Ces flux séparés sont ensuite **fusionnés** à un certain **stade** du traitement, soit à travers des **couches intermédiaires**, soit par une **fusion tardive**, généralement réalisée vers la **fin du pipeline**. L'architecture doit donc être **explicitement conçue** pour chaque canal (par exemple, un CNN dédié à l'image, un RNN ou un Transformer pour le texte, puis un module spécialisé pour agréger les différents flux). La synergie potentielle entre ces canaux se découvre **indirectement**, via la backpropagation, mais la structure globale du réseau — et la manière dont les canaux se croisent — reste imposée de l'extérieur.

À l'inverse, dans les **réseaux synergiques** du DSL, les **entités** associées à divers canaux (audio, visuel, textuel, etc.) ont la possibilité de se “**découvrir**” **mutuellement** au fil de l'apprentissage. Si l'audio et l'image présentent une forte synergie, elles peuvent **former un cluster multimodal** de manière autonome, sans qu'une couche de fusion spécifique ne soit paramétrée au préalable. Cette approche favorise la **co-évolution** des **représentations**. Lorsqu'un flux, tel que le **visuel**, est perturbé par du bruit, l'entité correspondante peut alors s'appuyer davantage sur les **canaux texte ou audio**, à condition qu'une **synergie élevée** soit détectée entre ces modalités. Ainsi, la multimodalité se développe de façon **organique**, guidée par la recherche de gains effectifs de performance ou d'information.

Dans les **réseaux neuronaux profonds** classiques, la **rétropropagation** constitue le mécanisme standard pour ajuster les **poids** de couche en couche ; on dispose alors d'une **architecture**

explicitement définie de bout en bout et d'un **objectif** scalaire unique qui oriente la descente de gradient (p. ex. l'entropie croisée). En revanche, dans un **DSL**, les **misés à jour** des pondérations synergiques se réalisent de manière **distribuée**, souvent selon des règles plus locales (inspirées, par exemple, d'approches "Hebbiennes généralisées" ou d'une évaluation directe des gains de performance obtenus). Un **objectif global** peut persister (comme un taux de reconnaissance), mais la **découverte** de synergies s'opère fréquemment dans des configurations plus indépendantes du gradient global.

La **rétropropagation** n'est pas pour autant exclue. Il est possible d'envisager un **système hybride** où la **backpropagation** s'applique à certains **sous-modules**, tandis que la **formation** et la **reconfiguration** du graphe **synergique** suivent des lois d'**auto-organisation** distinctes. Ainsi, on bénéficie d'une **flexibilité accrue**. Il est possible de continuer à **ajuster** finement certaines parties du réseau via le **gradient**, tout en permettant au système de **découvrir** et de **renforcer** localement des **liaisons synergiques** au-delà du cadre strict imposé par une **architecture fixe**.

Dans les **réseaux neuronaux traditionnels**, la **robustesse** dépend essentiellement de la qualité du jeu d'entraînement et de plusieurs mécanismes de **régularisation** (dropout, batch normalization, etc.). L'**adaptation** à un nouveau domaine s'effectue souvent par un transfert d'apprentissage (transfer learning), suivi d'un **fine-tuning** partiel ou complet des poids du réseau. Cependant, ce procédé peut exposer le système au risque de **catastrophic forgetting** lorsqu'on l'emploie pour apprendre de façon continue une succession de tâches. Les poids ajustés pour les nouvelles données tendent alors à **effacer** ce qui avait été **acquis** auparavant.

Dans les **réseaux synergiques**, au contraire, la **structure évolutive** permet au système d'**allouer** de nouvelles entités ou de **renforcer** certains liens pour absorber plus facilement un **changement** de données, sans exiger un réapprentissage complet de l'ensemble du réseau. Les **clusters** déjà formés pour des tâches précédentes peuvent coexister dans la nouvelle configuration, au lieu d'être remplacés ou écrasés. Ainsi, un réseau synergique peut mieux **retenir** l'expérience passée (réduisant d'autant le **catastrophic forgetting**) et faire preuve d'une plus grande **flexibilité** quand son environnement ou sa mission évoluent.

Les **réseaux synergiques** n'ont pas vocation à **remplacer** purement et simplement les architectures neuronales traditionnelles. Au contraire, divers **scénarios de cohabitation** sont envisageables. On peut, par exemple, adopter une **approche hybride**, dans laquelle un pipeline CNN (pour l'image) ou Transformer (pour le texte) extrait des **représentations** initiales ; ces représentations deviennent ensuite des **entités** au sein d'un réseau synergique, lequel peut alors coopérer et se reconfigurer de manière plus libre.

Dans certains **systèmes complexes**, on peut aussi instaurer une **transition progressive**, en commençant par des couches de feature extraction classiques, puis en insérant une **couche synergique** à un stade où les divers canaux se croisent. De cette façon, on préserve la puissance des modèles traditionnels pour l'extraction de caractéristiques tout en intégrant la logique auto-organisée et adaptative du DSL à un niveau plus élevé.

Enfin, il est possible de développer des **extensions spécialisées**, par exemple un composant auto-organisé dédié à la **fusion multimodale** ou à la **gestion de multiples contextes**, tandis que la classification finale demeure assurée par un réseau fully-connected ordinaire. L'essentiel est d'exploiter la **flexibilité** des réseaux synergiques dans les domaines où ils excellent — par exemple,

l'émergence dynamique de clusters — tout en s'appuyant sur l'expérience accumulée des architectures neuronales traditionnelles.

Synthèse et perspectives

Aspect	Réseaux Traditionnels	Neuronaux Réseaux Synergiques (DSL)
Topologie	Fixe, pré-spécifiée	Évolutive, auto-organisée
Propagation	Hiérarchique, feed-forward	Dispersée, multidirectionnelle
Apprentissage	Backpropagation end-to-end	Règles locales + mise à jour synergie
Évolution temporelle	Nécessite du re-training pour s'adapter	Adaptation dynamique à la volée
Gestion multimodale	Fusion tardive ou intermédiaire, souvent manuelle	Fusion spontanée via synergie et création de clusters
Robustesse	Vulnérabilité à l'overfitting, besoin de régulariser	Auto-régulation via le feedback de synergie
Applications	Classification, régression, vision, NLP...	Idem, mais avec en plus la souplesse et l'auto-organisation

En conclusion, les **réseaux neuronaux traditionnels** et les **réseaux synergiques** diffèrent principalement par la **structure**, la **dynamique d'apprentissage** et la **capacité d'auto-organisation**. Le **Deep Synergy Learning** apporte une philosophie plus **organique**, inspirée des systèmes complexes, pour que l'intelligence artificielle puisse gérer la **variabilité**, la **multimodalité**, et s'auto-adapter en continu.

La section suivante (1.2.6) clarifiera la **terminologie** propre au DSL — notamment les notions de **clusters**, **entités**, **pondérations synergiques**, etc. — puis nous verrons (1.2.7) des **exemples illustratifs** tirés de la nature ou d'applications concrètes, afin de matérialiser les principes évoqués dans ce chapitre.

1.2.6. Terminologies Employées dans le DSL

Au fil des sections précédentes, plusieurs notions-clés sont apparues pour décrire les principes du **Deep Synergy Learning (DSL)**. Il est important de les clarifier et de les organiser en un vocabulaire cohérent, car ces termes forment la **boîte à outils conceptuelle** indispensable pour aborder les mécanismes internes et les applications pratiques du DSL. Dans cette section, nous passons en revue les principaux termes et leur signification, en soulignant les liens entre eux.

Entité d'Information (ou “Information Entity”) : Dans le DSL, une **entité d'information** (souvent notée \mathcal{E}_i) représente l'unité fondamentale du système. Contrairement à un simple vecteur de données, une entité est un *objet d'apprentissage* pouvant inclure :

- Une **représentation** (par ex. un vecteur, un tenseur, ou même une distribution).

- Des **paramètres internes** (θ_i) et un **état** ($\mathbf{s}_i(t)$).
- Un **historique** (ou “mémoire”) de ses interactions passées.

C’est à travers ces entités que s’établissent les **synergies** et que se construit la dynamique de l’apprentissage. En pratique, toute source d’information (une image, un signal audio, un embedding textuel, etc.) peut être encapsulée sous forme d’entité.

Synergie (ou “Synergy”) : La **synergie** entre deux (ou plusieurs) entités est la mesure de la **valeur ajoutée** qu’elles obtiennent en coopérant, par rapport à ce qu’elles pourraient réaliser indépendamment (voir 1.2.2). Elle se note souvent $S(\mathcal{E}_i, \mathcal{E}_j)$ pour les paires, et peut être généralisée à des ensembles $\{\mathcal{E}_{k_1}, \dots, \mathcal{E}_{k_m}\}$.

Formes de mesure.

- **Informationnelle** : Basée sur l’entropie, l’information mutuelle, ou d’autres métriques de la théorie de l’information.
- **Basée sur la performance** : Différence de score (classification, regression, etc.) quand on associe \mathcal{E}_i et \mathcal{E}_j .
- **Hybride** : Combinaison d’un critère d’information et d’un critère de performance.

La synergie est la **“force motrice”** du DSL. Elle guide la création, la rupture ou le renforcement des connexions entre entités (voir ci-dessous “pondérations synergiques”).

Pondérations Synergiques (ou “Synergistic Weights”) : Les **Pondérations Synergiques** notées $\omega_{i,j}(t)$, ce sont les **coefficients** qui caractérisent la relation dynamique entre deux entités \mathcal{E}_i et \mathcal{E}_j à l’instant t .

Souvent modélisée par une équation du type

$$\omega_{i,j}(t+1) = \omega_{i,j}(t) + \eta [S(\mathcal{E}_i, \mathcal{E}_j) - \tau \omega_{i,j}(t)],$$

où η est un taux d’apprentissage, τ un terme de régularisation, et $S(\mathcal{E}_i, \mathcal{E}_j)$ la synergie entre les entités.

Les pondérations synergiques constituent la **matrice d’adjacence** d’un *graphe évolutif* :

$$W(t) = [\omega_{i,j}(t)]_{i,j}.$$

Elles déterminent quelles entités sont fortement liées (hautes synergies) et lesquelles le sont moins voire pas du tout (synergie quasi nulle).

Cluster (ou “Micro-Réseau”) : Un *cluster* est un **sous-ensemble** d’entités qui présentent entre elles une synergie élevée, formant ainsi une structure cohérente et **auto-organisée**.

Les entités $\{\mathcal{E}_1, \dots, \mathcal{E}_k\}$ tendent à se regrouper si leurs **pondérations synergiques** mutuelles sont supérieures à un certain seuil θ , ou si elles maximisent un critère global (p. ex. somme des synergies internes au cluster).

Les **clusters synergiques** formés au sein d'un **DSL** jouent un **rôle** essentiel à deux niveaux. D'abord, ils **favorisent** la **coopération locale**, en permettant aux entités d'un même cluster d'échanger de manière intensive ; chaque entité contribue ainsi ses données ou compétences spécifiques, renforçant la synergie collective.

Ensuite, ils facilitent l'**adaptation** du réseau. Ces clusters peuvent fusionner pour s'ajuster à de nouveaux contextes si leur compatibilité est élevée, ou se scinder lorsqu'un manque de **synergie interne** se manifeste.

Grâce à ce double mécanisme — coopération accrue et flexibilité structurelle —, le système demeure résilient et à même d'évoluer face aux changements de tâches ou d'environnements.

Synergistic Connection Network (SCN) : Le **SCN** représente l'**infrastructure** du **DSL**. C'est un **réseau** dont les *nœuds* sont les entités $\{\mathcal{E}_i\}$ et dont les *arêtes* sont les pondérations $\{\omega_{i,j}\}$.

Contrairement à un réseau de neurones statique, le **SCN** est **dynamique** : au fil du temps (ou au fil des itérations d'apprentissage), de nouvelles connexions apparaissent, d'autres se suppriment ou s'affaiblissent, et des clusters émergent.

L'**objectif** central du **SCN** consiste à **exploiter** les **synergies** entre entités de manière à *auto-organiser* le flot d'information et, ce faisant, à optimiser la **performance** globale du système, qu'il s'agisse d'une tâche supervisée ou non supervisée. L'idée est de permettre aux liens synergiques les plus pertinents de se renforcer, afin que le réseau dirige spontanément les informations vers les chemins les plus efficaces. Ainsi, l'architecture se réagence en fonction des besoins (ou des données) pour offrir un apprentissage et un traitement des informations plus rapide et plus robuste, sans nécessiter de contrôle externe permanent.

Auto-Organisation : **Auto-organisation** désigne la **capacité** d'un réseau à *se structurer* et *se reconfigurer* de façon autonome, sans intervention ou contrôle direct de l'extérieur (cf. section 1.2.4). Ce phénomène repose sur une **évaluation continue** de la synergie entre l'ensemble (ou une partie) des entités : à chaque itération, les pondérations $\omega_{i,j}$ sont **mises à jour** selon une règle d'adaptation, et des **clusters** peuvent se **former** ou se **dissoudre** en fonction des tendances observées.

L'**objectif** de ce mécanisme est triple. D'abord, il s'agit d'acquérir une **robustesse** accrue face aux perturbations, car le réseau peut se réorganiser spontanément lorsque des défaillances ou des changements surviennent. Ensuite, cette approche permet une gestion **naturelle** de la multimodalité. Plutôt que de cloisonner les entités visuelles, auditives ou autres, elle les laisse s'associer ou se dissocier dynamiquement en fonction de leurs **synergies**. Enfin, l'auto-organisation ouvre la voie à un **apprentissage continu**, dans lequel de nouvelles représentations émergentes se forment au fil du temps, sans imposer la rigidité d'un schéma hiérarchique figé.

État (ou “State”) d’une Entité : Chaque entité \mathcal{E}_i dispose d’un **état interne** $\mathbf{s}_i(t)$, souvent représenté par un vecteur de dimension d , qui synthétise son “histoire” ou son “contexte” à l’instant t . Cet état évolue selon une **fonction d’actualisation** F , de la forme

$$\mathbf{s}_i(t+1) = F(\mathbf{s}_i(t), \{\omega_{i,j}(t)\}_j, \dots),$$

inspirée, par exemple, de modèles dynamiques ou de mécanismes de type RNN ou “Hebb étendu”. Le rôle de $\mathbf{s}_i(t)$ est essentiel pour la **réactivité** de l’entité. Une entité ayant déjà établi de **fortes coopérations** avec une autre \mathcal{E}_j est naturellement plus encline à se **synchroniser** à nouveau avec elle. La mémoire des interactions passées renforce ainsi la probabilité d’une **synergie future**.

Mécanismes de Fusion et de Dissociation : Deux (ou plusieurs) entités $\{\mathcal{E}_i, \mathcal{E}_j, \dots\}$ peuvent **fusionner** s’il s’avère qu’elles sont presque systématiquement dans un même cluster et qu’elles partagent une forte synergie dans la durée. Cette fusion se modélise par la création d’une **nouvelle entité** $\mathcal{E}_{\text{fusion}}$, qui combine leurs états, leurs mémoires et leurs représentations.

Lorsqu’une entité \mathcal{E}_k se trouve dans un cluster peu cohérent (synergie moyenne ou négative), elle peut se **retirer** du cluster ou rompre une fusion antérieure.

Ces mécanismes confèrent au DSL une **plasticité structurale** comparable à celle de certains systèmes biologiques (cerveau, colonies d’insectes, etc.), favorisant l’adaptation face à de nouveaux contextes ou de nouvelles tâches.

Énergie ou Fonction Globale \mathcal{J} : On peut parfois définir une **fonction** $\mathcal{J}(G)$ — parfois appelée “énergie libre” ou “coût global” — qui regroupe, d’une part, les **synergies** positives entre les entités et, d’autre part, un **terme** de pénalisation destiné à éviter une **surabondance** de connexions. Par exemple :

$$\mathcal{J}(G) = - \sum_{i,j} \omega_{i,j} S(\mathcal{E}_i, \mathcal{E}_j) + \alpha \|\boldsymbol{\omega}\|^2,$$

où $\boldsymbol{\omega}$ désigne le vecteur de toutes les pondérations synergiques, et α un coefficient de régulation. **Minimiser** $\mathcal{J}(G)$ revient alors à **maximiser** la somme de synergies utiles tout en **limitant** la prolifération de liens non pertinents. Il s’agit ainsi d’une démarche **globale** pour piloter l’auto-organisation du réseau, puisqu’elle encourage les connexions réellement productives tout en imposant un frein à celles qui n’apporteraient aucun gain substantiel.

Apprentissage Continu (ou “Lifelong Learning”) : Dans le **DSL**, l’apprentissage ne se limite pas à une **phase offline** unique ; le réseau peut, au contraire, **évoluer** continuellement face à un flux de données **online**, en réajustant de façon permanente les pondérations $\omega_{i,j}(t)$ ainsi que la configuration des clusters.

Cet **apprentissage continu** présente plusieurs **avantages** : d’une part, il offre une **tolérance** accrue aux perturbations (bruit, changements dans la distribution des données, apparition de nouvelles

classes ou contextes), ce qui lui permet de s'adapter plus aisément à des environnements non stationnaires. D'autre part, il contribue à la **réduction** du phénomène de “forgotten knowledge”, puisque les clusters formés pour des tâches antérieures peuvent être préservés et ainsi servir de base à des transferts de connaissances ultérieurs.

Terminologies récurrentes (Synthèse)

Pour faciliter la lecture et l'implémentation, voici un **récapitulatif** des principales terminologies :

1. \mathcal{E}_i : Entité d'information numéro i .
2. $S(\mathcal{E}_i, \mathcal{E}_j)$: Synergie entre entités i et j .
3. $\omega_{i,j}(t)$: Pondération synergique (ou lien) entre entités i et j à l'instant t .
4. $W(t) = [\omega_{i,j}(t)]$: Matrice (ou graphe) des pondérations synergiques.
5. **Cluster** : Sous-groupe d'entités fortement liées (hautes $\omega_{i,j}$).
6. **SCN** : *Synergistic Connection Network*, la structure dynamique qui évolue selon les lois d'adaptation.
7. **Auto-organisation** : Processus par lequel la structure $W(t)$ se réarrange spontanément.
8. **Fonction \mathcal{J}** : Mesure globale de la qualité ou de l'état du réseau (peut inclure la somme des synergies, des pénalités, etc.).

Conclusion

Ces termes — **entité, synergie, pondération synergique, cluster, SCN, auto-organisation**, etc. — forment le *lexique de base* du DSL. Chaque concept est **interdépendant**. Les entités interagissent à travers des **pondérations synergiques**, qui façonnent la structure du **SCN**. Celui-ci se réorganise en **clusters** sous l'effet d'un mécanisme d'**auto-organisation**, guidé par la **synergie** et, éventuellement, par une fonction globale \mathcal{J} .

Dans la section suivante (1.2.7), nous illustrerons ces principes par des **exemples concrets**, qu'ils proviennent de la nature (inspirations biologiques) ou d'applications pratiques (cas d'études multimodales, émergence de schémas cognitifs, etc.). Ce sera l'occasion de vérifier comment l'utilisation rigoureuse de cette terminologie peut clarifier la **logique** et la **mise en œuvre** du Deep Synergy Learning.

1.2.7. Exemples Illustratifs de la Synergie dans la Nature

Les principes de **synergie informationnelle** et d'**auto-organisation** que promeut le Deep Synergy Learning (DSL) trouvent de nombreux échos dans les systèmes naturels. Qu'il s'agisse de colonies d'insectes, de réseaux neuronaux biologiques, d'écosystèmes ou de synchronisations collectives, on observe des processus où l'**ensemble** dépasse la **somme de ses parties**, grâce à des mécanismes coopératifs distribués. Les sous-sections suivantes illustrent comment ces phénomènes naturels inspirent l'approche synergiques du DSL.

Colonies d'Insectes et Intelligence Collective

Les colonies de **fourmis**, d'**abeilles** ou de **termites** illustrent parfaitement le principe de l'**intelligence collective**. Chaque individu, bien que doté de capacités limitées, participe à l'accomplissement de tâches complexes, telles que la construction de **nids sophistiqués** ou l'**optimisation** de la recherche de nourriture. Ces interactions reposent sur des **signaux locaux** (phéromones, contacts antennaires, etc.), sans qu'aucune entité centrale ne dirige l'ensemble. L'émergence d'une organisation globale, comme le traçage de pistes ou la réparation du nid, résulte donc d'une **coopération** distribuée entre entités locales.

Dans le **DSL**, les **entités d'information** adoptent un comportement similaire à celui de ces insectes. Elles établissent ou rompent des **liens** en fonction de la **pertinence** ou de la **synergie** qu'elles y perçoivent. Ces **connexions synergiques** évoluent continuellement, à l'image des **fourmis** qui renforcent ou abandonnent certains chemins selon leur **utilité**.

La formation de "clusters" d'entités synergiques dans le DSL évoque les **micro-sociétés** existant au sein d'une colonie d'insectes, où chaque groupe se spécialise dans une tâche particulière. Cette **auto-organisation** spontanée illustre la force d'un système distribué : sans planification rigide, l'ensemble se coordonne pour atteindre un objectif global.

Synergies dans le Cerveau et les Réseaux Neuronaux Biologiques

Dans le **cerveau** humain ou animal, la **plasticité synaptique** illustre la puissance d'un réseau extrêmement **connecté**, dans lequel les synapses s'ajustent en fonction des interactions locales. Lorsque deux neurones s'associent régulièrement pour traiter un même stimulus, leur **synapse** se renforce (potentialisation à long terme) ; ce phénomène rappelle la **mise à jour** des liaisons synergiques dans le DSL, où les liens forts se consolident à mesure que les entités coopèrent efficacement.

Les neurosciences démontrent également la formation d'**assemblées neuronales** associées à un concept ou à un stimulus précis. Ces assemblées se créent ou se dissolvent selon le **contexte** ou la **tâche** du moment. De la même manière, le DSL autorise la **création** et la **dissolution** de **clusters** d'entités d'information, la synergie entre ces entités évoluant dans le temps pour s'adapter aux besoins et aux données.

Enfin, ce **parallèle** s'étend à la **mémoire** et à l'**apprentissage**. Dans le **cerveau**, les **synapses** permettent à un neurone de **se souvenir** des connexions consolidées lors d'apprentissages

antérieurs. De manière analogue, dans le **DSL**, chaque entité conserve un **état interne** et un **historique** (section 1.2.1), ce qui lui confère une **mémoire contextuelle** et renforce la **cohérence** de l'apprentissage sur le long terme.

Écosystèmes et Coopérations Symbiotiques

Les **écosystèmes** offrent de nombreux exemples de **coopération** interspécifique : insectes pollinisant les plantes, lichens nés de la symbiose entre algues et champignons, ou encore le mycorhize qui associe champignons et racines de plantes. Dans chacun de ces cas, les organismes trouvent un **bénéfice mutuel**, qu'il s'agisse d'un accès accru aux ressources, d'une protection renforcée ou d'une capacité d'adaptation élargie. Cette notion de **"gain commun"** illustre parfaitement la **synergie**. La coexistence de deux **entités** ou **espèces** génère une **valeur ajoutée** qui n'existerait pas si chacune agissait de manière **isolée**.

Dans le **Deep Synergy Learning (DSL)**, ce principe s'incarne à travers la **mesure de synergie** $S(\mathcal{E}_i, \mathcal{E}_j)$ (voir section 1.2.2) et l'**ajustement** adapté des pondérations $\omega_{i,j}(t)$. De la même façon que deux espèces coopérantes se renforcent l'une l'autre, deux entités informationnelles voient leurs liens se consolider lorsqu'elles interagissent efficacement. Les **écosystèmes** diversifiés, riches en symbioses, font preuve d'une **résilience** considérable face aux menaces comme la sécheresse ou la prédation, grâce aux ressources complémentaires que chaque espèce apporte. Un **réseau synergique** (DSL) réunissant des entités variées (visuelles, textuelles, auditives, etc.) gagne, lui aussi, en **robustesse** et en **flexibilité** : en modulant continuellement ses interactions, il peut mieux réagir aux imprévus ou aux évolutions de l'environnement.

Synchronisation Collective : Bancs de Poissons et Nuées d'Étourneaux

Les bancs de poissons et les vols d'oiseaux, tels que les nuées d'étourneaux, illustrent un phénomène de synchronisation remarquable : de larges groupes se meuvent de façon presque chorégraphiée, sans chef unique. Chaque individu ajuste sa trajectoire en fonction de celle de ses voisins, engendrant ainsi un **effet émergent** de cohésion et d'harmonisation.

Ce type d'organisation se comprend généralement à travers quelques **règles simples** (alignement de la vitesse, distance de sécurité, attraction) qui, une fois agrégées, aboutissent à des comportements collectifs complexes. Dans le cadre du **Deep Synergy Learning (DSL)**, la **synergie** et la **mise à jour des liens** remplissent un rôle similaire. Lorsque la coopération entre deux entités s'avère bénéfique, elles se **synchronisent**, renforçant ainsi leurs connexions. Cette adaptation dynamique contribue à l'**optimisation** du réseau global.

Les bancs ou les nuées font également preuve d'une grande **plasticité**, se reconfigurant rapidement face à un prédateur ou un obstacle. De façon parallèle, un **réseau synergique** peut, à tout instant, **adapter** sa structure dès lors que le contexte ou les données évoluent, sans nécessiter de "réentraînement" global et figé.

Conclusion

Les exemples précédents – colonies d’insectes, cerveau, écosystèmes ou synchronisations collectives – démontrent que la synergie émerge lorsque des entités locales et relativement simples **coopèrent** selon des **règles d’interaction** et d’**adaptation**. Sans supervision centrale et sans plan préconçu, il se forme souvent des **structures** ou des **comportements** remarquablement organisés et robustes, capables de s’ajuster aux contraintes du milieu.

Ces observations, empruntées à la nature, guideront la formulation plus formelle des **algorithmes** et la mise en place de **protocoles d’évaluation** pour le DSL. Dans les chapitres suivants, nous verrons comment concrétiser ces analogies sous la forme de modèles mathématiques, de règles de mise à jour et d’applications pratiques, visant à faire du Deep Synergy Learning un **paradigme opérationnel** pour une **IA forte** (ou du moins plus autonome et plus générale).

1.3. Importance de l'Auto-Organisation

Dans le cadre du **Deep Synergy Learning (DSL)**, l'un des aspects les plus novateurs réside dans sa capacité d'**auto-organisation**. Alors que les approches d'IA traditionnelles s'appuient souvent sur des architectures hiérarchiques fixes, le DSL encourage un processus dynamique où les **entités d'information** établissent et révisent en continu leurs relations, en fonction de la **synergie** qu'elles détectent entre elles (voir sections précédentes). Cette section (1.3) aborde l'importance de l'auto-organisation sous plusieurs angles, depuis les sources d'inspiration biologiques (1.3.1) jusqu'à l'impact sur la résilience des modèles (1.3.6) et les perspectives globales (1.3.7).

1.3.1. Inspirations Biologiques et Cognitives

L'auto-organisation, au sens où l'entend le DSL, n'est pas un concept nouveau. En réalité, de



nombreux **systèmes naturels** (organismes vivants, écosystèmes, cerveau, etc.) démontrent d'extraordinaires facultés d'organisation **spontanée et adaptative**. Le **Deep Synergy Learning** cherche à exploiter ces principes, en transposant aux systèmes informatiques des mécanismes qui ont fait leurs preuves dans le vivant.

Le cerveau comme paradigme de plasticité

Le cerveau humain compte des centaines de milliards de neurones, reliés par des synapses dont les forces (poids synaptiques) évoluent selon l'activité, un phénomène désigné par "plasticité synaptique". On peut symboliser ce principe via une équation de type Hebbien généralisée, par exemple :

$$w_{ij}(t+1) = w_{ij}(t) + \eta[A_{ij}(t) - \lambda w_{ij}(t)],$$

où w_{ij} est la "force" de la synapse reliant le neurone i au neurone j , η un taux d'apprentissage, $A_{ij}(t)$ l'activité conjointe des neurones i et j (ou une mesure de leur association), et λ un terme de régulation. L'important est de voir comment la synapse se renforce si l'activité commune est significative, rappelant la **mise à jour des pondérations synergiques** dans le DSL (cf. section 1.2.6).

Dans le cerveau, des regroupements (ou *assemblées*) de neurones se forment lorsque leurs synapses se renforcent mutuellement. Le concept de cluster auto-organisé dans le DSL (où les entités se regroupent pour exploiter leur synergie) ressemble à cette idée :

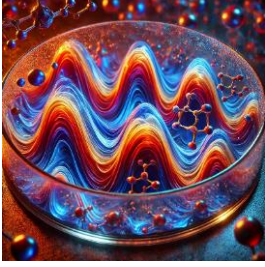
$$\mathcal{C}^* = \operatorname{argmax}_{\mathcal{C} \subset \{\varepsilon_1, \dots, \varepsilon_n\}} \sum_{(i,j) \in \mathcal{C} \times \mathcal{C}} \omega_{i,j},$$

c'est-à-dire la recherche d'un sous-ensemble \mathcal{C} maximisant la somme des pondérations entre ses membres, analogiquement à des neurones qui s'assemblent pour traiter un même stimulus.

La cognition résulte du fait que certains assemblages persistent dans le temps et renforcent leur "*autoroute synaptique*" (par exemple, mémorisation d'un stimulus répété). Dans le DSL, l'émergence de **micro-réseaux** stables autour d'entités synergiques reflète ce même phénomène d'**apprentissage distribué**, favorisant la récurrence de schémas pertinents.

1.3.1.2. Colonies d'insectes et intelligence collective

Les colonies de fourmis s'illustrent souvent par leur capacité à trouver des chemins optimaux pour la recherche de nourriture. Ce comportement repose sur des **interactions locales** (dépôt de phéromones, etc.), et non sur un plan global. L'analogie avec le DSL se fait sentir lorsque l'on considère que chaque fourmi incarne une "entité" prenant des décisions locales qui, agrégées, produisent une optimisation globale.



On peut modéliser la concentration de phéromones le long d'un chemin par une fonction $\phi(t)$ obéissant à un mécanisme de renforcement/dissipation, par exemple :

$$\frac{d\phi}{dt} = \alpha I(\text{fourmis}) - \beta \phi,$$

où α modélise l'ajout de phéromones (si des fourmis passent) et β la vitesse d'évaporation. Le DSL retrouve un concept similaire quand il gère l'**intensité** d'une liaison synergique via des règles de renforcement ou de décroissance (cf. équations de mise à jour des pondérations, section 1.2.4).

À l'instar de chemins de phéromones qui "naissent" (s'ils sont utiles) et "disparaissent" (s'ils ne sont plus empruntés), les connexions synergiques $\omega_{ij}(t)$ du DSL se renforcent ou s'étioient, entraînant la **création** ou la **rupture** de clusters d'entités d'information. Cette dynamique **auto-organisée** ne requiert pas de commande centrale.

1.3.1.3. Systèmes dynamiques et attracteurs auto-organisés

De nombreux systèmes auto-organisés (réacteurs chimiques de type Belousov-Zhabotinsky, réactions oscillantes, etc.) peuvent s'exprimer par des **équations différentielles** à plusieurs variables, où les interactions locales créent des **boucles de rétroaction** positives ou négatives. Les motifs qui émergent (ondes chimiques, spirales...) sont des exemples d'**attracteurs** dynamiques.

Dans le DSL, on peut considérer que l'**état global** du réseau est donné par la matrice $\Omega(t) = [\omega_{i,j}(t)]$. L'évolution de $\Omega(t)$ suit des règles de type :

$$\omega_{i,j}(t+1) = \omega_{i,j}(t) + \eta [S(\mathcal{E}_i, \mathcal{E}_j) - \tau \omega_{i,j}(t)].$$



Cette équation peut se voir comme un **système dynamique** discret, susceptible de converger vers un attracteur (une configuration stable) ou d'entrer dans des régimes oscillatoires, reflétant l'**auto-**

organisation.

Dans un cadre mathématique plus poussé, on peut étudier la **stabilité** de l'état Ω^* en résolvant :

$$\omega_{i,j}(t+1) - \omega_{i,j}(t) = 0,$$

pour tous (i, j) . On obtient alors une condition d'équilibre, ce qui, dans un contexte du DSL, correspond à un réseau où chaque liaison a atteint une valeur stable en regard des synergies (sous réserve que l'on n'introduise pas de nouvelles entités ou de nouvelles données). Une **analyse de la Jacobienne** locale pourrait prédire si cet état Ω^* est un **point d'attraction**, un **cycle limite** ou un **chaos**.

1.3.1.4. Vers un transfert de ces principes au DSL

Les systèmes biologiques et cognitifs décrits ci-dessus mettent en avant quatre qualités fondamentales :

- **Plasticité** (adaptation continue)
- **Robustesse** (résistance au bruit ou à la perturbation)
- **Emergence** (apparition de structures non planifiées)
- **Auto-régulation** (équilibre entre renforcement et inhibition)

Le DSL s'inspire de ces qualités pour proposer un **apprentissage distribué**, dans lequel les entités d'information se comportent comme des agents qui renforcent leurs liens lorsqu'ils détectent un **gain** (cf. notion de synergie) et les relâchent sinon. Matériellement, on transpose ces mécanismes via :

$$\omega_{i,j}(t+1) = \omega_{i,j}(t)\eta\left(S(\mathcal{E}_i, \mathcal{E}_j) - \tau \omega_{i,j}(t)\right),$$

et des **clusters** se forment spontanément si le gain est significatif.

Contrairement aux réseaux neuronaux profonds classiques, où seule la valeur des poids évolue dans une architecture figée, l'**auto-organisation** du DSL laisse la structure du réseau se **recomposer** en fonction des synergies détectées. Les entités elles-mêmes peuvent évoluer, en modifiant leur **représentation** ou leur **état** interne, et donc modifier indirectement la dynamique globale du réseau.

1.3.1.5. Conclusion partielle : fondements biologiques de l'auto-organisation

Cette section a illustré, par des références à la **plasticité synaptique**, à l'**intelligence collective** chez les insectes et à divers **systèmes dynamiques**, l'importance des mécanismes d'auto-organisation en biologie et en cognition. Le **Deep Synergy Learning** cherche à exploiter ces mêmes principes pour créer des modèles d'intelligence artificielle moins dépendants d'une structure hiérarchique imposée, plus adaptatifs, et potentiellement plus proches d'une **IA générale**. Les sections suivantes (1.3.2 à 1.3.7) mettront en évidence des concepts plus généraux d'**émergence**, de **feedback**, et détailleront comment l'auto-organisation du DSL se compare aux méthodes d'apprentissage classiques, avant de conclure sur la pertinence de cette approche pour des architectures globales et multimodales.

1.3.2. Concepts Clés : Émergence, Auto-Régulation, Feedback

La dynamique **auto-organisée** que promeut le Deep Synergy Learning (DSL) repose sur plusieurs notions fondamentales, à la fois conceptuelles et mathématiques, qui permettent de comprendre comment un système d'entités peut s'ajuster et se coordonner sans planification centrale. Trois d'entre elles sont particulièrement essentielles : l'**émergence**, l'**auto-régulation** et le **feedback** (rétroaction). Les sous-sections ci-après détaillent la signification de chacun de ces concepts et leur importance dans le cadre du DSL.

Émergence

Le terme **émergence** décrit la situation où un **phénomène global** ou une **structure** à l'échelle macroscopique naît de l'interaction de **composants** à l'échelle microscopique, sans qu'il n'y ait de plan explicite ni de chef d'orchestre. Par exemple, la forme d'une nuée d'oiseaux ou l'organisation complexe d'une ruche peuvent être vus comme des propriétés émergentes d'un grand nombre d'interactions locales.

Dans le Deep Synergy Learning, l'**émergence** se manifeste par la formation de **clusters** (ou micro-réseaux) d'entités d'information, que l'on peut qualifier de "sous-systèmes cohérents" au sein du grand réseau synergique. Ces **clusters** ne sont pas **prédéfinis**, mais émergent et disparaissent dynamiquement en fonction de la **synergie** détectée entre les entités.

Un cluster $\mathcal{C} \subset \{\mathcal{E}_1, \dots, \mathcal{E}_n\}$ peut s'illustrer par une somme de pondérations internes $\sum_{(i,j) \in \mathcal{C} \times \mathcal{C}} \omega_{i,j}$ qui se trouve **maximisée** à un certain moment t .

De plus, ces clusters émergents peuvent générer de nouvelles **représentations** ou entités "conjointes", lesquelles elles-mêmes nourrissent l'**évolution** du réseau.

Sur le plan formel, on peut lier l'émergence au fait que la **dynamique** des pondérations synergiques $\omega_{i,j}(t)$ conduit le système vers des **attracteurs** (états stables ou semi-stables). L'apparition d'un cluster correspond alors à un **bassin d'attraction** particulier, où les liens internes se renforcent suffisamment pour maintenir l'entité groupée, un phénomène typique des **systèmes dynamiques complexes**.

Auto-Régulation

Dans un **système auto-organisé**, chaque **composant** ou **lien** s'ajuste en fonction de **règles locales**. Lorsque la coopération est jugée **bénéfique**, le lien se **renforce**, tandis que s'il devient **néfaste** ou **inutile**, il s'atténue. Ce mécanisme d'**auto-régulation** fonctionne sans intervention externe, aucune autorité centrale n'imposant les connexions ou les séparations, celles-ci émergent naturellement des interactions entre entités.

Comme décrit en section 1.2.4, une règle fréquemment utilisée dans le DSL pour modéliser l'évolution des pondérations synergiques $\omega_{i,j}(t)$ est :

$$\omega_{i,j}(t+1) = \omega_{i,j}(t) + \eta [S(\mathcal{E}_i, \mathcal{E}_j) - \tau \omega_{i,j}(t)].$$

- η représente un taux d'apprentissage (contrôle la rapidité de l'ajustement).
- $S(\mathcal{E}_i, \mathcal{E}_j)$ est la **synergie** calculée entre les entités i et j .
- τ agit comme un terme de décroissance ou de “frottement”, évitant que les pondérations ne croissent indéfiniment.

Le paramètre τ et le choix de la fonction $S(\cdot)$ permettent d'**éviter les dérives** (ex. explosion des connexions) et de stabiliser le système dans un régime d'**énergie** ou de **coût** relativement bas (voir fonction J discutée en 1.2.6). Ce mécanisme d'**auto-régulation** élimine le besoin de redéfinir manuellement la topologie du réseau. Celle-ci s'adapte automatiquement aux contraintes et aux données entrantes.

Feedback (Rétroaction)

Le **feedback** désigne le processus par lequel la **sortie** d'un système ou l'**état** d'une partie du système **retourne** sur lui-même, influençant à son tour la configuration ou le comportement du système. Dans le DSL, le feedback se matérialise surtout à travers l'**apprentissage** des synergies : la façon dont deux entités ont coopéré à l'instant t affecte la pondération $\omega_{i,j}(t+1)$, qui influencera à son tour leur coopération future.

Le **feedback positif** est un mécanisme par lequel une forte synergie entre deux entités, notée $S(\mathcal{E}_i, \mathcal{E}_j)$, conduit à un renforcement mutuel de leur connexion. En d'autres termes, si la synergie initiale entre deux entités est élevée, leur interaction devient progressivement plus forte, renforçant encore davantage leur synergie. Ce processus peut continuer jusqu'à atteindre un certain plafond, au-delà duquel la connexion ne peut plus croître, stabilisant ainsi leur relation synergique.

À l'inverse, le **feedback négatif** intervient lorsque la synergie entre deux entités est faible ou nulle, voire négative. Dans ce cas, la pondération de leur lien décroît progressivement, réduisant la probabilité qu'elles interagissent à l'avenir. Cependant, ce mécanisme n'est pas figé. Un changement de **contexte** ou d'**état** peut, à terme, améliorer la compatibilité entre les entités et rétablir leur capacité à **collaborer** ou à **former une connexion**.

Outre les liens binaires (entre paires d'entités), il peut exister des **boucles de rétroaction plus complexes** à l'échelle de plusieurs clusters. Par exemple, un cluster \mathcal{C}_1 peut influencer la formation ou la dissolution d'un autre cluster \mathcal{C}_2 en modifiant le contexte, les ressources partagées, etc. Sur le plan mathématique, cela équivaut à considérer des **fonctions de synergie n-aire**, où les “coûts” ou “gains” de chaque liaison dépendent aussi des états des autres liens et entités.

$$S(\mathcal{E}_i, \mathcal{E}_j \mid \{\mathcal{E}_k\}_{k \neq i,j}), \quad \omega_{i,j}(t+1) = f(\omega_{i,j}(t), \{S(\mathcal{E}_i, \mathcal{E}_j \mid \dots)\}, \dots).$$

Synthèse

Les trois concepts d'**émergence**, d'**auto-régulation** et de **feedback** interagissent étroitement dans le Deep Synergy Learning :

- L'**émergence** se produit parce que les liens (pondérations synergiques) se développent localement sans qu'aucun schéma global ne soit imposé.

- L’**auto-régulation** assure que chaque lien est entretenu ou affaibli en fonction de la **pertinence** mesurée (synergie), maintenant ainsi une forme de **plasticité** dans l’ensemble du réseau.
- Le **feedback** perpétuel, tant au niveau des paires d’entités que des ensembles plus larges, crée un **cycle** où l’état du réseau à l’instant t influence les coopérations à l’instant $t + 1$, et ainsi de suite.

Ce mode de fonctionnement “bouclé” et distribué est très différent de la logique hiérarchique classique (voir 1.2.4). Il rappelle davantage les **systèmes biologiques** et autres **systèmes complexes**, où la stabilité et les structures apparaissent comme le fruit d’interactions locales répétées, produisant parfois des schémas surprenants d’ordre (ou de désordre) global.

Comprendre les notions d’**émergence**, d’**auto-régulation** et de **feedback** est crucial pour saisir pourquoi le **DSL** peut offrir des capacités d’adaptation et de créativité supérieures à celles des architectures figées. Loin d’être un simple attribut de “design” théorique, ces concepts constituent la **dynamique interne** qui permet au réseau synergique de se **reconfigurer** en permanence, de **fusionner** ou de **séparer** des entités en clusters, et d’**apprendre** sans devoir figer sa topologie.

Dans la section suivante (1.3.3), nous mettrons en perspective ces mécanismes d’auto-organisation avec les **méthodes d’apprentissage classiques**, afin d’explorer les gains potentiels (et les défis) qu’apporte l’introduction de ces idées dans le champ de l’intelligence artificielle.

1.3.3. Comparaison avec les Méthodes d’Apprentissage Classiques

Les principes d’**auto-organisation** et de **synergie** du Deep Synergy Learning (DSL) contrastent fortement avec les schémas employés par les méthodes d’apprentissage les plus courantes, qu’il s’agisse d’algorithmes supervisés, non supervisés ou même de certaines approches en renforcement. Dans la présente section, nous mettons en lumière les principales différences entre ces paradigmes “classiques” (tels que le **Deep Learning** hiérarchique, la **clustering** statique ou la **rétropropagation de gradient** end-to-end) et le **DSL**, qui s’appuie avant tout sur une **construction dynamique** du réseau via la synergie informationnelle.

Dans un **cadre supervisé** classique, on dispose d’un ensemble de données $\{(\mathbf{x}_i, y_i)\}_{i=1, \dots, N}$, où \mathbf{x}_i constitue l’entrée (vecteur de caractéristiques, image, etc.) et y_i le label associé (catégorie, valeur numérique, etc.). Un **modèle** (par exemple, un réseau de neurones) est alors **entraîné** à minimiser une **fonction de coût** :

$$\mathcal{L}(\theta) = \frac{1}{N} \sum_{i=1}^N L(f_{\theta}(\mathbf{x}_i), y_i),$$

où f_{θ} désigne le modèle paramétré par θ (poids et biais), et $L(\cdot)$ une fonction de perte (entropie croisée, MSE, etc.).

La plupart du temps, l’**architecture** du réseau reste figée. Un nombre de **couches** et une **topologie** (CNN, MLP, etc.) sont définis dès le départ et conservés tout au long de l’entraînement. La

rétropropagation ajuste les poids internes θ sans modifier la structure, aucune suppression ni création de neurones n'ayant lieu, et aucune reconfiguration des connexions n'étant effectuée.

Dans un réseau **DSL**, l'adaptation ne se limite pas à la mise à jour des **paramètres**. La **topologie** elle-même évolue, permettant la création, le renforcement, la fusion ou la rupture de liens, en fonction de la mesure de **synergie** $S(\mathcal{E}_i, \mathcal{E}_j)$. Dans un modèle supervisé classique, la structure reste **inchangée** tout au long de l'apprentissage.

Dans l'approche **supervisée** traditionnelle, l'effort se concentre sur la **réduction de l'erreur** par rapport aux labels y . À l'inverse, le **DSL** se concentre sur les **relations** entre les données elles-mêmes. La formation de **clusters** et l'**auto-organisation** émergent spontanément, même en l'absence de labels, dès lors que le réseau détecte des **synergies fructueuses**.

Un **modèle supervisé** doit souvent être **réentraîné** (ou au moins fine-tuné) dès lors qu'apparaissent de nouveaux types de données ou qu'une **distribution** se modifie. Dans le DSL, la structure s'**auto-réorganise** en intégrant ou en écartant certaines entités, en fonction de la synergie relevée, ce qui apporte davantage de **souplesse** et de **plasticité** face aux environnements changeants.

Dans l'apprentissage **non supervisé**, on cherche généralement à regrouper des points \mathbf{x}_i en clusters. Des méthodes comme **k-means** démarrent avec un nombre de clusters (k) et une mesure de distance (par exemple euclidienne ou cosinus), puis procèdent à une série d'itérations visant à minimiser

$$\sum_{i=1}^N \min_{1 \leq c \leq k} \|\mathbf{x}_i - \boldsymbol{\mu}_c\|^2,$$

où $\boldsymbol{\mu}_c$ sont les centres de clusters. Dans **k-means**, le paramètre k doit être défini **a priori**, et même si d'autres algorithmes (tels que DBSCAN ou le clustering agglomératif) peuvent estimer le nombre de groupes, ils reposent néanmoins sur une **logique statique**, c'est-à-dire qu'on exécute l'algorithme une fois et on obtient une unique partition.

Dans les approches **classiques**, les points ou vecteurs restent statiques et ne possèdent aucune **dynamique interne**. Leur représentation et leurs connexions ne se modifient pas au fil du temps, même si une collaboration potentielle pourrait émerger.

Le **DSL** se distingue précisément sur ce point. Les **clusters** ne sont pas figés et peuvent apparaître ou se dissoudre progressivement en fonction des **pondérations synergiques** $\omega_{i,j}(t)$. Aucun paramètre k fixe ne limite la formation des regroupements, laissant la **structure du réseau** évoluer en continu sous l'effet de la dynamique d'apprentissage.

En outre, chaque entité \mathcal{E}_i du réseau DSL peut être **active**, c'est-à-dire posséder un **état interne** et évoluer au cours du temps. Dans un clustering **statique**, les points demeurent figés dans leurs coordonnées, sans aucun mécanisme de feedback local ou de synergie émergente. Enfin, lorsqu'apparaissent de nouvelles données ou qu'un changement de distribution survient, le DSL est capable de **réévaluer** les synergies et de **reconfigurer** automatiquement les clusters, tandis qu'un clustering non supervisé traditionnel exigerait la relance complète de l'algorithme, ignorant dans la foulée toute information antérieure.

Dans le **Reinforcement Learning**, un **agent** interagit avec un environnement, perçoit des **récompenses** (positives ou négatives) selon ses actions, et cherche à **maximiser** un **cumul de récompenses**. Les algorithmes de RL (Q-learning, SARSA, méthodes basées sur une politique) visent souvent à estimer la fonction de valeur $Q(s, a)$ ou la politique optimale $\pi(a|s)$. De nombreux scénarios de RL (par ex. Deep Q-Network) s'appuient sur un **réseau profond** paramétré, dont les poids sont ajustés via un **objectif** portant sur la récompense cumulée.

Dans la plupart des implémentations RL traditionnelles, la **structure** du réseau reste fixée, on ne modifie pas, au cours de l'apprentissage, le nombre de couches, ni la forme du modèle.

Alors que le RL privilégie l'action menant à la **maximisation** de la récompense, le DSL promeut la **coopération** (ou la connexion) qui maximise la **synergie**. Il est possible d'envisager un "DSL-RL" où la synergie devient une composante de la **fonction de récompense** : plus la **collaboration** entre entités est jugée fructueuse, plus les liens correspondants se consolident.

Dans le RL classique, on n'ajoute ni ne supprime spontanément des neurones ou des liaisons durant l'apprentissage. À l'inverse, le DSL autorise une **recomposition** de l'architecture si cela contribue à améliorer la performance (ou la cohérence). Les pondérations peuvent émerger, se renforcer, ou disparaître au fil du temps.

Les **entités** du **DSL** peuvent être vues comme des "**agents partiels**", s'accordant entre eux par le biais de la **synergie**, plutôt que de dépendre d'un **agent unique** doté d'un **policy network** fixe. Cette approche se distingue du **RL centralisé**, où une seule stratégie guide l'ensemble du système. Ici, l'**organisation** émerge directement des **interactions locales** entre entités, plutôt que d'être imposée par une unique politique globale.

Synthèse

Commenté [MB2]: OK

Les approches **classiques**, qu'elles relèvent du **supervisé**, du **non supervisé** ou du **renforcement**, reposent généralement sur une **architecture prédéfinie** ou un ensemble d'hypothèses fixées à l'avance. Il peut s'agir d'un **réseau feed-forward**, d'un **nombre de clusters** à déterminer ou d'une **paramétrisation imposée**.

À l'inverse, le **DSL** ne fixe pas la **structure** dès le départ. Celle-ci se forme et se modifie **de manière autonome**, en s'appuyant uniquement sur les **mesures de synergie** et les **règles d'auto-organisation**.

Dans les **méthodes classiques**, l'objectif est souvent d'aligner les **données** avec des **labels** (apprentissage supervisé) ou de les répartir dans des **groupes** prédéfinis (apprentissage non supervisé). Le **DSL**, en revanche, met l'accent sur les **relations entre entités**, qu'il s'agisse de leur **coexistence** ou de leur **synergie**. C'est ce **mécanisme relationnel** qui façonne l'**organisation** globale du réseau.

Ce **renversement de perspective** constitue une **marque distinctive** du DSL. Contrairement aux approches traditionnelles, il ne considère pas les **données** comme de simples **inputs passifs**, mais comme des **acteurs dynamiques** cherchant activement à établir des **connexions pertinentes**.

De plus, les **algorithmes traditionnels** sont souvent conçus pour un **entraînement en batch**. On collecte un ensemble de **données**, on entraîne le **modèle**, puis on **fige** la configuration. Des versions **en ligne** existent, mais elles se limitent à l'**ajustement des poids**, sans modifier la **structure** du

modèle. Le **DSL**, en revanche, permet une **réorganisation continue**, où la **topologie évolue** en fonction des **interactions dynamiques** entre entités.

Le **DSL** s'adapte naturellement à un **flux continu** de données. À mesure que de **nouvelles informations** émergent, le réseau se **reconfigure** dynamiquement pour s'ajuster aux **conditions changeantes** et intégrer de **nouvelles entités**. Plutôt que de s'en tenir à un **schéma figé**, il favorise une **adaptation permanente**, garantissant ainsi une organisation évolutive en phase avec l'environnement.

Conclusion

La comparaison avec les **méthodes classiques** met en évidence le caractère **révolutionnaire** de l'**auto-organisation** prônée par le **DSL**. Plutôt que de s'appuyer sur des **architectures fixes**, il permet de **faire évoluer la carte du réseau** en fonction des interactions entre entités. Cette approche repose sur l'**intégration dynamique de la synergie mesurée**, la **facilité d'apprentissage continu** et une **résistance accrue aux changements de distribution**.

Toutefois, ces différences ne signifient pas que le **DSL** doive nécessairement remplacer l'ensemble des **paradigmes existants**. Au contraire, des **approches hybrides** peuvent tirer parti à la fois de la **puissance des algorithmes classiques**, qu'ils soient supervisés ou issus du **RL**, et de la **plasticité** ainsi que de la **coévolution** propre au **DSL**.

Les sections suivantes (**1.3.4 à 1.3.7**) approfondiront cette vision en expliquant comment une **auto-organisation multimodale** influence la **robustesse** et la **résilience** des modèles. Cette perspective ouvre ainsi la voie vers une **IA plus générale et plus souple**, capable de s'adapter en permanence aux dynamiques de son environnement.

1.3.4. Le Rôle des Flux d'Information Multimodaux

Parmi les avantages majeurs de l'**auto-organisation** telle que proposée dans le **Deep Synergy Learning (DSL)** figure la capacité à gérer efficacement des **flux d'information** variés (image, texte, audio, données sensorielles, etc.). En effet, l'idée de **synergie informationnelle** (développée aux sections 1.2.2 et 1.2.3) s'applique de manière particulièrement féconde dès lors que plusieurs modalités sont en jeu, car chaque flux peut **renforcer** ou **compléter** les autres. Cette sous-section (1.3.4) illustre la manière dont l'auto-organisation des entités d'information s'adapte à la **multi-modalité**, et pourquoi cela peut conférer au DSL une **puissance d'intégration** hors de portée des architectures classiques, souvent cloisonnées.

Dans un système multimodal, on distingue plusieurs sources de données :

- **Modalité visuelle** : images, vidéos (entité $\mathcal{E}_{\text{visuelle}}$)
- **Modalité auditive** : signaux sonores, musique, parole (entité $\mathcal{E}_{\text{auditive}}$)
- **Modalité textuelle** : séquences de mots, documents, balises sémantiques (entité $\mathcal{E}_{\text{textuelle}}$)
- **Modalités sensorielles complémentaires** : capteurs physiques (température, distance, pression), signaux biométriques, etc.

Dans le **Deep Synergy Learning**, chaque flux peut être représenté par une ou plusieurs **entités d'information** (voir section 1.2.1). Ainsi, un flux visuel pourra donner naissance à plusieurs entités – par exemple, une entité pour la “carte de caractéristiques” (feature map) d’une image, une autre pour son histogramme de couleurs, etc. Ces entités ne sont pas cloisonnées dans une couche unique : elles peuvent potentiellement interagir avec toutes les autres entités (visuelles, textuelles, auditives...), en fonction de leur **synergie**.

La **synergie** est particulièrement critique en multi-modalité :

$$S(\mathcal{E}_{\text{visuelle}}, \mathcal{E}_{\text{auditive}}) > 0$$

⇒ l’information visuelle et l’information auditive se complètent efficacement.

Par exemple, dans une scène vidéo où l’on entend quelqu’un parler, la composante auditive (voix) et la composante visuelle (mouvements de lèvres, expressions faciales) coopèrent pour renforcer la compréhension globale.

Lorsqu’une modalité est dégradée (par exemple, l’audio est parasité par du bruit de fond), une autre modalité (l’image) peut prendre le relais, augmentant la **tolérance aux perturbations**. Dans un **réseau synergique**, cela se traduit par une réduction dynamique du poids $\omega_{\text{audio,visuel}}(t)$ si l’audio devient momentanément peu fiable, et par le renforcement d’autres liens synergiques.

Les entités associées à différentes modalités peuvent créer des **clusters** communs si leur synergie mutuelle est élevée. Mathématiquement, on peut repérer un cluster \mathcal{C}_m formé d’entités $\{\mathcal{E}_{\text{visuelle}}^a, \mathcal{E}_{\text{auditive}}^b, \mathcal{E}_{\text{textuelle}}^c\}$ tel que

$$\sum_{(i,j) \in \mathcal{C}_m \times \mathcal{C}_m} \omega_{i,j} > \theta_{\text{seuil}},$$

où θ_{seuil} est un paramètre symbolisant la cohésion requise pour se constituer en cluster. Ce regroupement favorise l’**intégration sémantique** de différents types de signaux.

Dans un réseau hiérarchique classique, la fusion multimodale est généralement réalisée dans une “couche” dédiée (p. ex. concaténation de features). Dans le DSL, la fusion naît **spontanément** :

$$\omega_{\text{visuelle,textuelle}}(t+1) = \omega_{\text{visuelle,textuelle}}(t) \eta [S(\mathcal{E}_{\text{visuelle}}, \mathcal{E}_{\text{textuelle}}) - \tau \omega_{\text{visuelle,textuelle}}(t)].$$

Plus la coopération entre les deux modalités est jugée bénéfique (ex. augmentation de la performance ou de l’information mutuelle), plus ce lien se consolide.

Le caractère **évolutif** d’un **cluster multimodal** joue un rôle fondamental. Selon le **contexte**, certaines modalités prennent plus ou moins d’importance. Par exemple, la modalité **audio** devient prépondérante lors d’un **concert de musique**, tandis qu’elle reste marginale dans un **environnement silencieux**.

Les **liens synergiques inter-modaux** fluctuent alors au fil du temps, ce qui entraîne l’**émergence** ou la **disparition** de sous-ensembles cohérents, adaptant ainsi la structure du réseau en fonction des conditions observées.

On peut également enrichir la mesure de synergie S par un **contexte** $\mathbf{c}(t)$, de sorte qu’il y ait des synergies conditionnelles :

$$S(\varepsilon_i, \varepsilon_j \mid \mathbf{c}(t)).$$

Dans une scène nocturne, par exemple, la vision est moins fiable, tandis que l’audio reste pertinent. Le contexte “nuit” pourrait diminuer certaines liaisons visuelles et renforcer des liaisons audio ou thermiques, mettant l’accent sur la modalité la plus fiable.

Exemples

Imaginez un système de surveillance qui reçoit en continu des flux vidéo, audio, et des capteurs de mouvement. Dans une approche classique, il faudrait concevoir à l’avance un schéma de fusion ; dans le DSL, les **entités** correspondant à chaque flux s’**auto-organisent** pour détecter des patrons communs (ex. détection d’un intrus combinant une silhouette anormale et des sons inhabituels).

Le **renforcement** des liens entre un flux “caméra infrarouge” et un flux “microphones” peut se produire si ces deux modalités se complètent pour la détection nocturne.

Dans le cadre des **interfaces multimodales** intégrant la **voix**, les **gestes** et les **expressions faciales**, chaque modalité est captée par une **entité DSL**. Lorsqu’un utilisateur parle tout en effectuant des gestes, le cluster “**voix + gestes**” se renforce grâce à une synergie élevée, permettant d’interpréter plus précisément la signification globale de l’interaction, qu’il s’agisse d’une **commande** ou d’une **intention**.

L’**auto-organisation** du réseau facilite l’adaptation aux préférences individuelles. Si un utilisateur possède une diction peu claire mais accompagne ses paroles de **gestes très expressifs**, les pondérations liées à la **modalité gestuelle** se renforceront naturellement, compensant ainsi l’ambiguïté de la parole.

Le **DSL** peut également traiter des associations entre **image et texte**, notamment sous la forme de couples “**image + légende textuelle**”. Une entité dédiée à l’**extraction de texte** peut découvrir qu’elle établit une **synergie croissante** avec une entité spécialisée dans la **détection d’objets** dans l’image, en particulier lorsque certains **mots-clés** coïncident avec des **formes reconnues**.

Les entités **texte** et **image** peuvent alors former un **cluster spécifique** associant un **concept visuel** et un **label textuel**, facilitant ainsi des tâches comme l’**annotation automatique** ou la **recherche d’images par mots-clés**, et inversement, la **génération de descriptions à partir d’images**.

Forces et défis de l’approche synergique multimodale

L’**absence de couche de fusion prédéfinie** confère au **DSL** une **grande flexibilité**. Plutôt que d’imposer un schéma fixe de combinaison entre les **flux** (visuel, audio, texte, etc.), le réseau s’auto-organise et **décide lui-même** quelles modalités sont les plus pertinentes à associer.

Cette **adaptabilité** renforce également la **robustesse**. Lorsqu’un flux devient **bruité** ou se **perd** (par exemple, un microphone défectueux), le système peut se **reconfigurer dynamiquement** et s’appuyer davantage sur d’autres canaux d’information.

L'**auto-organisation** ouvre aussi la voie à la **découverte spontanée de combinaisons inédites**. Deux modalités a priori **peu corrélées** peuvent révéler une **synergie forte** dans un certain contexte, une relation qu'un **pipeline classique**, plus rigide, aurait pu manquer.

Cependant, cette **approche adaptative** s'accompagne de **défis computationnels**. À mesure que le **nombre de modalités et d'entités** augmente, l'évaluation du **gain de synergie** entre plusieurs canaux devient **coûteuse**, nécessitant l'emploi d'**heuristiques** ou d'**approximations**.

De plus, un **enchaînement rapide de contextes** (passage d'une scène extérieure à une scène intérieure, par exemple) peut induire une **volatilité élevée des connexions synergiques**. Il devient alors nécessaire d'introduire des **coefficients de régulation** (τ) ou des **mécanismes de mémorisation** pour stabiliser la configuration du réseau.

Enfin, assurer une **interopérabilité efficace** entre les flux impose de concevoir des **représentations comparables** ou un **espace commun adapté**. Une **métrique partagée** est souvent indispensable pour évaluer la **similarité** entre un **vecteur d'image** et un **vecteur de texte**, garantissant ainsi une mise en relation pertinente entre différentes modalités.

Conclusion

Le **Deep Synergy Learning** apparaît particulièrement adapté à l'intégration de **flux multimodaux**. Là où les méthodes classiques imposent généralement une architecture de fusion fixe (par exemple, concaténer l'output d'un CNN d'image et d'un RNN de texte), le DSL laisse les **entités** (issues de différentes modalités) **explorer** leurs synergies possibles. Les liens synergiques se **crystallisent** ou se **dissolvent** en fonction de leur valeur ajoutée, permettant une **adaptation dynamique** aux contextes et aux sources de bruit.

Cette approche auto-organisée favorise l'**émergence** (voir section 1.3.2) de clusters multimodaux plus ou moins stables, qui peuvent évoluer au fil du temps. Sur le plan applicatif, il en résulte une **robustesse** et une **flexibilité** uniques, aussi bien pour la reconnaissance d'événements complexes, la détection d'anomalies, ou encore la mise en place d'interactions homme-machine riches. Les sections suivantes (1.3.5, 1.3.6, 1.3.7) examineront l'**évolution dynamique** de ces réseaux, l'**impact** sur la **résilience** des modèles, et la perspective d'une **approche plus globale** de l'apprentissage.

1.3.5. Évolution Dynamique et Adaptation en Continu

Le **Deep Synergy Learning (DSL)** se distingue des approches classiques de l'IA par sa capacité à laisser les entités d'information et leurs connexions **évoluer** en permanence, au gré de la synergie détectée entre les flux de données. Cette caractéristique d'**évolution dynamique** et d'**adaptation en continu** s'inspire directement de divers phénomènes naturels (cerveau, écosystèmes, colonies d'insectes...) et confère au DSL une **plasticité** inhabituelle dans le domaine de l'apprentissage automatique. Dans cette section, nous analysons pourquoi cette évolution constante est essentielle, quels sont ses principes fondamentaux et comment elle se formalise mathématiquement.

Dans le **DSL**, l'apprentissage ne se cantonne pas à une phase d'entraînement figée ; il se présente comme un **processus d'auto-organisation** continu, actif tant que le réseau demeure en service. Chaque entité peut ainsi **affiner** ou **redéfinir** ses connexions et son rôle lorsqu'affluent de nouvelles données, ou même de nouvelles entités.

Contrairement à un réseau neuronal classique, la **structure** du réseau n'est pas fixée : les pondérations synergiques $\omega_{i,j}(t)$ peuvent **croître** ou **décroître**, au point de passer sous un **seuil** de rupture ω_{\min} qui entraîne la disparition effective de la liaison entre \mathcal{E}_i et \mathcal{E}_j . Ce mécanisme libère des ressources et prévient l'encombrement du réseau. À l'inverse, si une synergie autrefois négligeable devient significative, une **nouvelle liaison** peut se former pour consolider la coopération entre entités (voir la section 1.2.6 concernant les notations).

L'**environnement** ou la **distribution des données** évolue en permanence, qu'il s'agisse d'une **augmentation du bruit**, de l'**apparition de nouvelles classes** ou d'une **transformation du contexte**. Dans un **schéma statique**, ces changements nécessiteraient un **réentraînement complet** ou un **fine-tuning** coûteux en temps et en ressources. Dans le DSL, au contraire, l'**adaptation** est **naturellement** assurée par la mise à jour permanente des **liens synergiques** :

$$\omega_{i,j}(t+1) = \omega_{i,j}(t) + \eta [S(\mathcal{E}_i, \mathcal{E}_j) - \tau \omega_{i,j}(t)].$$

Si les informations nouvellement introduites modifient la synergie entre entités, la **topologie** du réseau se **recompose** spontanément, sans nécessité de réapprentissage global.

On peut représenter le réseau synergique à l'instant t par le graphe $G(t)$, constitué de nœuds $\{\mathcal{E}_1, \dots, \mathcal{E}_n\}$ et d'arêtes pondérées $\omega_{i,j}(t)$. L'évolution dans le temps se décrit par :

$$G(t+1) = \mathcal{F}(G(t), \mathcal{D}(t), \Theta),$$

où $\mathcal{D}(t)$ désigne les **données reçues** à l'instant t (ou sur la fenêtre $[t, t + \Delta]$), et Θ englobe les paramètres de mise à jour (taux η , régularisation τ , etc.).

Chaque entité \mathcal{E}_i peut maintenir un **état** $\mathbf{s}_i(t)$ permettant d'intégrer une forme de **mémoire** (cf. 1.2.1). Cet état influe sur la synergie :

$$S(\mathcal{E}_i, \mathcal{E}_j) = f(\mathbf{s}_i(t), \mathbf{s}_j(t), \mathcal{D}(t), \dots).$$

On a donc un **système dynamique couplé**, dans lequel la mise à jour des connexions $\omega_{i,j}(t)$ et celle des états $\mathbf{s}_i(t)$ interagissent :

$$\begin{cases} \omega_{i,j}(t+1) = \omega_{i,j}(t) + \eta [S(\mathcal{E}_i, \mathcal{E}_j) - \tau \omega_{i,j}(t)], \\ \mathbf{s}_i(t+1) = \mathbf{s}_i(t) + \gamma g(\mathbf{s}_i(t), \{\omega_{i,k}(t)\}, \dots). \end{cases}$$

On obtient alors un **couplage** entités-réseau qui peut donner naissance à des attracteurs, des cycles limites ou même des phénomènes de bifurcation.

Au-delà de la simple création/suppression de liens, il est possible que deux entités \mathcal{E}_a et \mathcal{E}_b **fusionnent** si leur collaboration est très constante, formant une **nouvelle entité** \mathcal{E}_{ab} . De même, une

entité fortement hétérogène peut se **scinder** en plusieurs entités spécialisées si cela améliore la synergie globale. Ces mécanismes se décrivent par des règles de type :

$$\text{Fusion}(\mathcal{E}_a, \mathcal{E}_b) \Leftrightarrow \sum_{t=t_0}^{t_1} \omega_{a,b}(t') > \delta_{\text{fusion}},$$

avec δ_{fusion} un seuil de stabilité sur une durée $[t_0, t_1]$. De tels phénomènes rappellent les “assemblées neuronales” durables ou la “spéciation” dans un contexte évolutionniste.

De nombreux problèmes réels (prévision financière, capteurs industriels, suivi de l’activité cérébrale, etc.) impliquent des distributions de données qui **changent** dans le temps. Le DSL, grâce à son **évolution dynamique**, s’ajuste progressivement plutôt que de s’en tenir à un modèle figé.

Dans un réseau traditionnel, apprendre une nouvelle tâche (ou un nouveau domaine) peut faire oublier les acquis précédents, faute de mécanisme de préservation structurelle. Dans le **DSL**, il n’est pas nécessaire de redémarrer l’optimisation. Les **clusters utiles** peuvent se maintenir, tandis que de **nouvelles entités** s’intègrent et ajustent leur **synergie** pour s’adapter à un **contexte évolutif**.

Au fur et à mesure de l’évolution, si certaines liaisons n’apportent plus de gain, elles s’effacent ou diminuent. Ce phénomène **régule** la complexité du réseau en évitant une explosion exponentielle du nombre de liens. On peut donc voir le DSL comme un réseau à **topologie parcimonieuse** autorégulée.

Exemples

Un **système DSL** qui reçoit en continu des mesures (température, pression, vibrations) peut servir à détecter des anomalies ou à anticiper des pannes. Lorsque les **conditions d’usage** évoluent progressivement, que ce soit en raison de l’**usure** des équipements ou d’une **transformation de la chaîne de production**, le réseau **réorganise** ses **liens synergiques**. Certains **capteurs** établissent de nouvelles **complémentarités**, tandis que d’autres liens, devenus moins pertinents, s’affaiblissent progressivement. Cette **auto-organisation** garantit une **alerte fiable**, sans nécessiter un **réentraînement global** à intervalles réguliers.

L’**adaptabilité** d’un réseau évolutif se retrouve également dans le cas d’un **chatbot multimodal**, capable de traiter **la voix, le texte et l’image du visage** via une webcam. À mesure que l’**utilisateur** se familiarise avec le système, introduisant de **nouveaux termes** ou modifiant ses **habitudes gestuelles**, les entités “**voix**” et “**vision**” ajustent leurs **connexions** et peuvent, si nécessaire, former un **cluster spécialisé** pour mieux reconnaître cet utilisateur.

Les **anciennes tâches**, comme l’identification d’autres utilisateurs, ne sont pas effacées. Elles persistent au sein de **clusters distincts**, garantissant ainsi la **préservation des connaissances acquises** sur le long terme.

Limites et défis de l'évolution continue

Si le réseau cherche à suivre de trop près les **fluctuations** de la synergie, il peut devenir **instable**, oscillant sans cesse ou détruisant prématurément des liens pertinents. Les paramètres η , τ , δ_{fusion} , etc., exigent donc un **calibrage** soigné pour maintenir un **équilibre** entre plasticité et stabilité (c'est le "dilemme stabilité-plasticité").

Par ailleurs, dans un **modèle statique**, on fige les poids après l'apprentissage et on évalue la performance sur un ensemble de test. Dans le cadre d'un **réseau évolutif**, la performance est **susceptible de varier** au fil du temps, rendant nécessaire l'adoption de **métriques d'apprentissage continu** (p. ex. une mesure de l'erreur sur une fenêtre glissante).

Enfin, la reconfiguration permanente des liens implique un **coût de calcul**. Si le réseau compte n entités et que la synergie est évaluée entre toutes les paires, on fait face à $O(n^2)$ opérations. Des stratégies de **parsimonie** (seuil de rupture, mise à jour partielle, échantillonnage) sont souvent indispensables pour demeurer **scalable** dans des systèmes de grande ampleur.

Conclusion

L'**évolution dynamique** et l'**adaptation en continu** font du **Deep Synergy Learning** une forme de réseau "vivant", capable de remodeler son organisation interne au fur et à mesure que l'environnement (ou les données) se transforment. Ce **changement de paradigme** – de l'entraînement ponctuel et figé à une auto-organisation permanente – ouvre la voie à des **applications** de l'IA plus flexibles et plus robustes, réduisant la dépendance à la supervision humaine et accroissant la **longévité** des modèles dans des scénarios réels et évolutifs.

Les sections suivantes (1.3.6 et 1.3.7) approfondiront deux aspects fondamentaux de cette approche. La section 1.3.6 explorera la **robustesse** et la **résilience** offertes par l'**auto-organisation**, tandis que la section 1.3.7 examinera les perspectives d'un **apprentissage plus général**, ouvrant la voie à une **IA plus proche de la cognition** ou de l'**intelligence générale**.

1.3.6. Impacts sur la Robustesse et la Résilience des Modèles

L'une des conséquences les plus marquantes de l'**auto-organisation** et de la **synergie informationnelle** dans le **Deep Synergy Learning (DSL)** réside dans l'**amélioration** de la **robustesse** et de la **résilience** des systèmes d'apprentissage. Contrairement aux approches classiques, souvent vulnérables aux perturbations, aux changements de distribution ou aux défaillances partielles, le DSL tire parti de sa structure **évolutive** et **coopérative** pour mieux absorber ces aléas. Dans la présente section, nous examinons les notions de robustesse et de résilience, puis montrons comment elles s'expriment dans un réseau synergique.

1.3.6.1. Définitions et enjeux

La **robustesse** d'un modèle désigne sa capacité à **maintenir** un niveau de performance élevé malgré la présence de **perturbations** ou d'**incertitudes**. Dans le contexte de l'IA, ces perturbations peuvent inclure :

- Du **bruit** dans les données (capteurs défectueux, images floues, signaux audio corrompus, etc.).
- Des **attaques adversariales** (petites perturbations “adversarial noise” rendant le modèle confus).
- Des **incohérences** ou **lacunes** dans les échantillons (valeurs manquantes, distribution très variée).

Un système robuste parvient à faire face à ces dégradations sans “collapsus” brutal de la performance.

La **résilience** va plus loin que la robustesse en impliquant non seulement la résistance aux perturbations, mais aussi la **capacité à récupérer** ou à **se réorganiser** après un choc. En IA, cela signifie que si la distribution des données change, ou si le système subit une panne partielle (certains capteurs tombent en panne, certains flux de données disparaissent), la résilience se manifeste par la **reconfiguration** interne permettant de continuer la tâche ou de s'en rapprocher au mieux.

1.3.6.2. Mécanismes de robustesse dans un réseau synergique

Dans le DSL, plusieurs entités d'information peuvent recouvrir partiellement la même “zone de compétence” ou la même modalité, tout en se distinguant suffisamment pour apporter une **valeur ajoutée**. Du point de vue de la robustesse, cela signifie qu'un flux corrompu (ou une entité dysfonctionnelle) n'est pas catastrophique, car d'autres entités peuvent **prendre le relais**.

$$\omega_{i,j}(t) \rightarrow \omega_{k,j}(t+1), \quad \text{si } \mathcal{E}_i \text{ défaille, alors } \mathcal{E}_k \text{ peut compenser.}$$

Lorsque la synergie entre une entité défectueuse \mathcal{E}_{def} et les autres entités chute (bruit, erreur répétée, etc.), les pondérations $\omega_{\text{def},j}(t)$ s'affaiblissent progressivement. Le réseau “apprend” ainsi à **alléger** la connexion avec la source fautive et à **rediriger** l'information vers des entités plus fiables. Ce mécanisme évite un fort impact d'une entité isolée dysfonctionnelle.

Les entités réagissent localement au **bruit** ou aux **incohérences** en resserrant leurs liens synergiques avec celles qui restent cohérentes. On observe alors la création de **clusters** (voir 1.2.6) qui s'auto-assemblent autour de flux fiables ou complémentaires, renforçant la robustesse globale.

$$\mathcal{C}^* = \arg \max_{\mathcal{C}} \sum_{(i,j) \in \mathcal{C} \times \mathcal{C}} \omega_{i,j}, \quad \text{en excluant } \mathcal{E}_{\text{def}}.$$

1.3.6.3. Résilience via l'adaptation en continu

Le DSL met en œuvre un apprentissage **continu** (section 1.3.5), ce qui signifie que le réseau s'ajuste aux nouvelles données ou aux nouveaux contextes sans nécessiter une refonte globale. Ainsi, si une modalité devient soudainement imprécise (caméra saturée de lumière, micro exposé à un fort bruit ambiant), le réseau réorganise ses **pondérations synergiques** pour ne plus dépendre de cette source.

$$\omega_{\text{camera}, \mathcal{E}_j}(t+1) = \omega_{\text{camera}, \mathcal{E}_j}(t) - \eta \left[\tau \omega_{\text{camera}, \mathcal{E}_j}(t) \right] \quad \text{si } S(\mathcal{E}_{\text{camera}}, \mathcal{E}_j) \approx 0 \text{ (bruit élevé)}.$$

La résilience suppose la **récupération** ou le maintien d'une performance acceptable même après un choc. Le fait de **supprimer** ou d'**affaiblir** les liens inutiles (ou trompeurs) et de **renforcer** les liens pertinents génère une reconfiguration topologique :

$$G(t+1) = \mathcal{U}[G(t), \{\omega_{i,j}\}, \text{nouveaux contextes}].$$

Ainsi, le réseau peut se redessiner sans qu'on doive recourir à une procédure hors-ligne complexe.

Les **entités** et **clusters** ayant démontré leur efficacité sur d'anciennes tâches peuvent continuer d'exister en parallèle, formant ainsi une **mémoire** exploitable pour de **futurs scénarios**. Cette **cohabitation** entre anciens et nouveaux liens renforce la **résilience**, car le réseau ne supprime pas systématiquement ses **connaissances passées**. Il les conserve tant qu'elles restent **synergiques**, limitant ainsi le risque de **catastrophic forgetting** et permettant une **adaptation progressive** sans perte d'informations essentielles.

1.3.6.4. Exemples d'Applications Robustes et Résilientes

Le **Deep Synergy Learning (DSL)** se révèle particulièrement adapté aux situations où la robustesse et la résilience constituent des critères essentiels. Deux scénarios illustrent la manière dont la **synergie informationnelle** et la **dynamique auto-organisée** du DSL permettent d'absorber des pannes, de réagir à des anomalies et de préserver la continuité opérationnelle. Dans chaque cas, la structuration coopérative du réseau offre une forme de **tolérance aux défaillances**, car l'affaiblissement d'un module ou d'un capteur ne remet pas en cause l'ensemble de la configuration. Les **exemples** ci-dessous mettent en évidence ces mécanismes de résilience et soulignent les **bienfaits** d'un réseau qui se **reconfigure** en temps réel.

A. Robotique et Systèmes Autonomes

Considérons un **robot** doté de multiples capteurs, tels que des caméras, un LIDAR, des gyroscopes, ainsi que d'autres senseurs spécialisés. Dans ce contexte, un modèle DSL peut absorber la défaillance partielle ou totale d'un capteur, sans qu'il soit nécessaire de procéder à un réapprentissage global. Cette propriété découle du caractère **auto-adaptatif** du Synergistic Connection Network (SCN) sous-jacent, où chaque capteur \mathcal{C}_i est traité comme une **entité** de l'ensemble, tandis que les liens $\omega_{i,j}$ mesurent la **coopération** ou la **complémentarité** de deux capteurs i et j .

Dans le cas d'une **défaillance**, supposons que le capteur \mathcal{C}_k soit victime d'un bruit extrême ou d'une panne soudaine. Le **score de synergie** $S(\mathcal{C}_k, \mathcal{C}_m)$ avec les autres capteurs \mathcal{C}_m diminuerait alors, ce qui provoquerait une mise à jour négative des liens $\omega_{k,m}$ par l'équation

$$\omega_{k,m}(t+1) = \omega_{k,m}(t) + \eta[S(\mathcal{C}_k, \mathcal{C}_m) - \tau \omega_{k,m}(t)],$$

où η désigne le taux d'apprentissage local et τ le coefficient de régulation. À mesure que la **synergie** s'affaiblit, la pondération $\omega_{k,m}$ décroît, de sorte que ce capteur devient quasi inactif au sein du SCN. Les autres capteurs, préservant des liens ω élevés entre eux s'ils demeurent fiables et cohérents, continuent de coopérer pour fournir les informations nécessaires à la navigation ou à la réalisation des tâches robotiques. L'ajustement s'effectue en continu, sans qu'un entraînement complet soit relancé, montrant ainsi la **résilience** inhérente au DSL.

B. Surveillance Critique

Dans les domaines de la **surveillance** ou du **monitoring** (installations sensibles, applications médicales, détection d'intrusions), il est fréquent de recourir à un grand nombre de capteurs hétérogènes. Un système basé sur le DSL peut y déployer ses mécanismes d'**auto-organisation** de manière à détecter plus vite d'éventuelles anomalies et à tolérer les dysfonctionnements partiels d'un ou plusieurs capteurs. Le déploiement s'opère suivant la logique où chaque capteur \mathcal{D}_i constitue un **nœud** du SCN, et où le **score de synergie** $S(\mathcal{D}_i, \mathcal{D}_j)$ quantifie la correspondance ou la complémentarité entre deux capteurs.

Lorsque l'un de ces nœuds présente une anomalie ou se déconnecte, la **pondération** $\omega_{i,j}$ chute au fil des itérations, car la synergie mesurée devient faible. Mathématiquement, le processus de mise à jour

$$\omega_{i,j}(t+1) = \omega_{i,j}(t) + \eta[S(\mathcal{D}_i, \mathcal{D}_j) - \tau \omega_{i,j}(t)]$$

réduit progressivement les liens inutilisables ou compromis. La structure globale demeure néanmoins cohérente, car les capteurs restant fiables maintiennent des valeurs de ω importantes, ce qui préserve la capacité du réseau à **fonctionner**. Le phénomène inverse se produit lorsqu'une alarme est déclenchée de façon synchronisée entre plusieurs capteurs. Dès lors que ceux-ci fournissent un signal convergent sur la présence d'un événement inhabituel, leur **synergie** augmente, et ils forment un **cluster** spécialisé dans l'analyse d'un risque potentiel. Cette coopérative rapide et flexible permet au SCN de hiérarchiser l'information critique. L'avantage repose sur l'**absence de réapprentissage intégral** et sur la capacité du système à s'**auto-réorganiser** pour mettre en avant les flux les plus pertinents.

Conclusion

Que ce soit dans un scénario de **robotique** multi-capteurs ou dans un dispositif de **surveillance** critique, le **Deep Synergy Learning** démontre ainsi son **aptitude** à gérer la panne ou la perte de fiabilité d'un sous-module sans perturber l'ensemble de l'architecture. La dynamique de **mise à jour** des synergies et des liens ω assure une continuité de service et un renforcement rapide des signaux valides, ce qui illustre la solidité opérationnelle et l'efficacité de cette **approche auto-organisée** pour la gestion des situations critiques ou complexes.

1.3.7. Perspectives pour une Approche plus Globale de l'Apprentissage

Les sections précédentes (1.3.1 à 1.3.6) ont mis en évidence l'importance de l'**auto-organisation** dans le Deep Synergy Learning (DSL), ses fondements biologiques et cognitifs (1.3.1), les concepts d'émergence et de feedback (1.3.2), la comparaison avec les méthodes classiques (1.3.3), le rôle crucial de la multi-modalité (1.3.4), la dynamique adaptative (1.3.5) et l'impact sur la robustesse/résilience (1.3.6). Nous abordons maintenant une question centrale. Dans quelle mesure cette **architecture auto-organisée** peut-elle favoriser une **approche plus globale de l'apprentissage** ? Cette perspective ouvre la voie à une **IA plus générale**, moins cloisonnée, capable d'intégrer et de transférer des connaissances de manière fluide. En s'éloignant des schémas rigides et préconçus, elle se rapproche d'une **intelligence adaptative**, potentiellement plus proche des **mécanismes cognitifs humains**.

1.3.7.1. Vers une intégration de multiples paradigmes

L'un des attraits majeurs du DSL réside dans sa **flexibilité** structurelle, permettant l'intégration simultanée de tâches variées (reconnaissance d'images, traitement du langage, analyse de signaux). Plutôt que de multiplier les sous-modules indépendants, le DSL **mutualise** la capacité d'adaptation et de co-évolution. Cela ouvre la voie à des systèmes capables d'aborder des **problèmes multi-domaines** de façon unifiée.

Beaucoup de chercheurs s'interrogent sur la possibilité de combiner une **représentation symbolique** (logique, règles, ontologies) et des **réseaux neuronaux** (approche sub-symbolique). Le DSL offre un espace où des **entités symboliques** (représentant des concepts, des règles) pourraient coexister avec des **entités sub-symboliques** (features non supervisées, clusters contextuels), et forger des **liens synergiques** si ces représentations s'avèrent mutuellement bénéfiques.

$$\omega_{\text{symbolique,sub-symbolique}}(t+1) = \omega_{\text{symbolique,sub-symbolique}}(t)\eta[S(\mathcal{E}_{\text{symbolique}}, \mathcal{E}_{\text{sub-symbolique}})].$$

Une autre piste consiste à inclure des **boucles de récompense** (façon apprentissage par renforcement) à l'intérieur du DSL, de manière à ce que la **synergie** prenne en compte non seulement l'interaction entre entités, mais aussi un **signal de performance** plus global. Cela pourrait mener à des architectures où l'**exploration** et la **sélection** des connexions synergiques s'effectuent au service d'une stratégie d'agent, par exemple dans un environnement en évolution (robotique, jeux, etc.).

1.3.7.2. Apprentissage contextuel et raisonnement adaptatif

Dans de nombreux problèmes (analyse de scène, dialogue, diagnostic médical), l'**environnement** ou la **situation** évolue. Le DSL permet de faire émerger des **clusters contextuels**, regroupant les entités les plus pertinentes pour un contexte donné. Ces clusters peuvent ensuite se **désagréger** ou se **recombinaer** quand le contexte change, offrant un niveau de **contextualisation dynamique** qu'on retrouve rarement dans les modèles hiérarchiques figés.

Plutôt que de raisonner par règle (“si A alors B”), le réseau peut **découvrir** que certaines combinaisons d’entités $\{\mathcal{E}_i, \mathcal{E}_j, \dots\}$ produisent un **effet global** pertinent. On pourrait formaliser cette découverte comme un **raisonnement émergent**, où l’apparition d’un cluster synergique équivaut à la création d’un “concept” ou d’une “hypothèse” confirmée par l’amélioration de la performance ou de la cohérence.

$$\text{Concept}_\alpha \leftrightarrow \{\mathcal{E}_i, \mathcal{E}_j, \dots\} \quad \text{avec} \quad \sum_{(i,j) \in \alpha} \omega_{i,j} > \theta.$$

Les entités dans le DSL peuvent porter un **état interne** (1.2.1), ce qui permet de **mémoriser** certains événements, associations ou transitions. Couplé à l’idée de clusters, on obtient une forme de mémoire **distribuée** et **adaptative**, capable de se ré-agencer au fil du temps, au lieu d’être confinée dans des architectures rigides (ex. LSTM).

1.3.7.3. Ouverture vers une IA plus proche de la cognition biologique

Nous avons déjà souligné les parallèles entre la synapse biologique et les connexions synergiques (sections 1.3.1, 1.3.2). Un système auto-organisé qui évolue au fil du temps, fusionne ou dissocie des entités, renforce ou supprime des liens, **s’approche** d’une **dynamique neuronale** élémentaire. Il est donc envisageable que des **architectures DSL** se montrent plus aptes à **simuler** ou **comprendre** certains phénomènes cognitifs.

Bien que spéculative, la question d’une **conscience artificielle** ou d’une **auto-consistance** cognitive pourrait trouver dans le DSL un champ d’exploration. Certains travaux suggèrent qu’un degré d’**intégration d’information** (comme l’approche de la “Phi measure” de Giulio Tononi) est requis pour émerger une forme de conscience. Si le DSL parvient à développer des **clusters** hautement connectés et persistants (au sens “informationnellement intégrés”), il pourrait servir de terrain expérimental pour avancer sur ces hypothèses.

L’IA forte (IAG) ou Intelligence Artificielle Générale se définit par la capacité d’un système à maîtriser un large éventail de tâches, à apprendre de manière autonome et à faire face à des environnements variés. La **plasticité** et la **co-évolution** du DSL, sa manière de laisser chaque entité s’adapter, fusionner, se spécialiser, suggèrent un potentiel pour **surmonter** les obstacles auxquels se heurtent les méthodes rigides (catastrophic forgetting, absence de transfert, etc.). Cela ne garantit pas l’émergence d’une IAG, mais en offre une piste conceptuelle plus proche du fonctionnement adaptatif du vivant.

1.3.7.4. Principaux défis et voies de recherche

Le **Deep Synergy Learning (DSL)** introduit un cadre inédit, reposant sur une **interaction dynamique** et une **auto-organisation** continue des entités d’information. Malgré l’attrait de cette proposition, il subsiste plusieurs défis mathématiques, algorithmiques et pratiques, dont la résolution s’avère essentielle pour la généralisation à grande échelle. Sur le plan **computationnel**, l’évaluation des synergies entre un nombre important d’entités peut impliquer une complexité en $O(n^2)$, où n désigne le nombre d’entités. Cette explosion combinatoire requiert des stratégies de

parsimonie et de **sparsification** afin de restreindre la croissance du nombre de connexions à évaluer. Des techniques d'**échantillonnage** adaptatif peuvent aussi être envisagées, de manière à ne considérer que les paires d'entités présentant une synergie potentiellement élevée. D'un point de vue plus formel, on peut réduire la densité des connexions actives en imposant un mécanisme de seuil sur les poids ω_{ij} , de sorte qu'une liaison (i, j) ne soit conservée que si

$$\omega_{ij} > \omega_{\min},$$

avec ω_{\min} un paramètre choisi pour garantir la structure globale du réseau.

S'agissant de l'**interprétabilité** et de l'**explicabilité**, la capacité du DSL à faire émerger des **clusters** et à redessiner en continu ses connexions favorise une organisation plus fluide, mais rend ardue l'analyse a posteriori des décisions. Pour éclairer la nature d'une prédiction, il devient nécessaire de retracer l'historique des synergies et d'examiner l'état interne des entités concernées. La mise à jour de chaque poids ω_{ij} peut être décrite par une équation de type

$$\omega_{ij}(t+1) = \omega_{ij}(t) + \eta [S(\mathcal{E}_i, \mathcal{E}_j) - \tau \omega_{ij}(t)],$$

où η désigne le taux d'apprentissage et τ le coefficient de décroissance. Cette dynamique rend possible l'apparition ou la suppression de liens dont la contribution n'est plus jugée pertinente, tout en renforçant ceux qui semblent les plus profitables au regard de la synergie mesurée. Cependant, un tel fonctionnement rend la **traçabilité** plus complexe. Pour extraire des **règles** ou des **justifications**, il serait nécessaire de **stocker** ou de **synthétiser** l'ensemble des **états successifs**, ainsi que les **évaluations** de $S(\mathcal{E}_i, \mathcal{E}_j)$.

La question de la **convergence** suscite également un vif intérêt. L'étude de la stabilité et des attracteurs potentiels liés aux mises à jour des poids dans le cadre d'un **système dynamique** exige d'analyser l'évolution de l'**énergie** du réseau ou d'une **fonction de Lyapunov** associée. Si l'on considère une énergie

$$E(t) = - \sum_{i \neq j} \omega_{ij}(t) S(\mathcal{E}_i, \mathcal{E}_j),$$

la décroissance de $E(t)$ au fil des itérations peut servir d'indicateur de convergence vers un état stable où les pondérations cessent d'évoluer de manière significative. L'identification de conditions garantissant l'existence d'un minimum global ou local, ainsi que la caractérisation de la vitesse de convergence, demeurent des questions ouvertes pour la communauté scientifique. La présence de boucles de rétroaction complexes, de reconfigurations topologiques et d'interactions non linéaires peut engendrer des comportements oscillatoires, voire chaotiques, si aucune **régularisation** adéquate n'est mise en place.

Dans les **domaines critiques** (santé, finance, transport, sécurité), le DSL pourrait apporter une meilleure **robustesse** grâce à la **fusion multimodale** et à la **répartition adaptative** des informations, permettant de gérer des données hétérogènes ou partiellement manquantes. Toutefois, de telles applications exigent des garanties fortes sur la fiabilité et la sûreté de fonctionnement, impliquant des **processus de certification** exigeants. Il devient essentiel d'y intégrer des mécanismes de **sécurité** contre d'éventuelles attaques adversariales, où de subtiles perturbations de l'entrée peuvent tromper même des systèmes neuronaux performants. La

dynamique adaptative et coopérative du DSL pourrait, d'un côté, renforcer la **résilience** en détectant des incohérences via les synergies internes, mais de l'autre côté, elle complique l'établissement de **bornes** de sûreté ou de **preuves** formelles de robustesse.

Ainsi, malgré un potentiel considérable, le DSL fait face à des enjeux théoriques et pratiques déterminants pour son adoption à grande échelle. La **réduction de la complexité algorithmique**, l'**amélioration de l'interprétabilité**, l'**étude minutieuse de la convergence** et l'**adaptation aux environnements critiques** constituent autant de pistes de recherche centrales pour consolider ce paradigme. Les avancées futures consisteront notamment à concevoir des **stratégies d'approximation** limitées en ressources de calcul, à développer des **méthodes d'exploration** et de **visualisation** capables d'exposer la structure émergente du réseau, et à établir des **cadres mathématiques** plus complets validant la stabilité et la fiabilité du processus d'**auto-organisation**. L'ensemble de ces travaux pourra contribuer à faire du Deep Synergy Learning un jalon clé dans l'évolution de l'IA vers une plus grande **plasticité**, **résilience** et **intelligence**.

1.3.7.5. Conclusion : vers un nouveau paradigme d'apprentissage

En somme, l'auto-organisation et la synergie, éléments centraux du **Deep Synergy Learning**, ouvrent la voie à une **approche plus globale** de l'apprentissage, susceptible d'englober plusieurs paradigmes existants (supervisé, non supervisé, renforcement, symbolique, etc.) tout en proposant des mécanismes d'évolution continue, de raisonnement contextuel et de mémorisation distribuée.

Cette vision ne constitue pas un **aboutissement** définitif. De nombreux **défis** scientifiques, méthodologiques et éthiques restent à relever, qu'il s'agisse de **scalabilité**, d'**interprétabilité** ou de **robustesse**.

Néanmoins, le **DSL** offre déjà un **cadre unificateur** pour concevoir une **IA adaptative**, capable d'intégrer divers **flux d'information** et d'évoluer de **manière organique**. En s'inspirant des **systèmes vivants**, il ouvre la voie à des architectures plus **flexibles** et **résilientes**, adaptées aux environnements dynamiques et changeants.

Les chapitres suivants approfondiront encore la **formulation mathématique** du DSL, ses **algorithmes** et ses **applications pratiques**, en vue de concrétiser ce nouveau paradigme et d'explorer son potentiel pour des systèmes intelligents, au-delà des limites imposées par les architectures hiérarchiques classiques.

Problème 1 : Analyse de la Dynamique des Pondérations Synergiques

On considère un réseau de n entités $\{\mathcal{E}_1, \dots, \mathcal{E}_n\}$. Les pondérations synergiques $\omega_{i,j}(t)$ évoluent selon la règle suivante :

$$\omega_{i,j}(t+1) = \omega_{i,j}(t) + \eta [S(\mathcal{E}_i, \mathcal{E}_j) - \tau \omega_{i,j}(t)],$$

où $\eta > 0$ et $\tau > 0$ sont des constantes, et $S(\mathcal{E}_i, \mathcal{E}_j)$ représente une mesure (constante) de synergie entre les entités \mathcal{E}_i et \mathcal{E}_j .

- Équilibre local.** Montrez qu'à temps long, pour chaque paire (i, j) , la pondération $\omega_{i,j}(t)$ peut atteindre un point d'équilibre $\omega_{i,j}^*$. Exprimez $\omega_{i,j}^*$ en fonction de $S(\mathcal{E}_i, \mathcal{E}_j)$, η et τ .
- Stabilité linéaire.** Établissez la condition (en termes de η et τ) sous laquelle l'équilibre $\omega_{i,j}^*$ est **stable** dans le cadre d'une analyse linéaire (linéarisation autour de $\omega_{i,j}^*$).
- Convergence globale.** Proposez une justification ou un argument (non nécessairement exhaustif) permettant d'expliquer la **convergence** globale du système $\{\omega_{i,j}(t)\}$ vers un ensemble d'états d'équilibre, en supposant que tous les couples (i, j) obéissent à la même loi de mise à jour.
- Impact de la régularisation.** Supposons qu'on introduise un terme quadratique supplémentaire dans la mise à jour :

$$\omega_{i,j}(t+1) = \omega_{i,j}(t) + \eta [S_{i,j} - \tau \omega_{i,j}(t)] - \alpha \omega_{i,j}(t)^3,$$

avec $\alpha > 0$. Discutez l'impact potentiel de ce terme "cubic" sur la stabilité et la répartition finale des $\omega_{i,j}(t)$. Quelles questions mathématiques (bifurcations, multiplicité des équilibres) cela soulève-t-il ?

- Extension n-aire.** Généralisez la dynamique ci-dessus à une **synergie n-aire**, $S(\mathcal{E}_{i_1}, \dots, \mathcal{E}_{i_n})$, où la mise à jour de $\omega_{i_1, \dots, i_n}(t)$ dépend d'un terme commun $\tau \omega_{i_1, \dots, i_n}(t)$. Proposez une formulation des équations et discutez le principal défi analytique pour montrer la convergence dans ce cas.

Problème 2 : Émergence de Clusters et Attracteurs de Graphe

Soit un graphe $G(t)$ dont les sommets sont les entités $\{\mathcal{E}_1, \dots, \mathcal{E}_n\}$ et les arêtes sont pondérées par $\omega_{i,j}(t)$. On se propose d'étudier l'**émergence** de sous-graphes fortement connectés (clusters) en tant qu'attracteurs de la dynamique.

a) Fonction de coût globale

Introduisez une fonction "énergie" ou "coût" globale :

$$\mathcal{J}(G(t)) = - \sum_{(i,j)} \omega_{i,j}(t) S_{i,j} + \beta \sum_{(i,j)} [\omega_{i,j}(t)]^2,$$

- où $S_{i,j}$ est la synergie (positive ou négative) et $\beta > 0$ un paramètre de régularisation. Expliquez pourquoi minimiser \mathcal{J} favorise la **création de clusters** de liens positifs (forte synergie) et la **suppression** de liens inutiles.

b) État stable et clusterisation

Montrez qu'un **état stable** (un minimum local de \mathcal{J}) peut correspondre à la formation d'un sous-ensemble \mathcal{C} tel que $\omega_{i,j}$ est élevé si $i, j \in \mathcal{C}$, et faible sinon. Expliquez, sur un plan mathématique, comment on peut interpréter \mathcal{C} comme un **cluster**.

c) Analyse de la multiplicité

Justifiez l'existence possible de **plusieurs** configurations d'équilibre local, chacune correspondant à un partitionnement différent du graphe. Quels outils d'optimisation ou de théorie des graphes peut-on invoquer pour analyser la multiplicité de ces minima ?

d) Transitions entre attracteurs

Décrivez un scénario mathématique permettant à un **sous-ensemble de sommets** \mathcal{C} de se dissocier en deux clusters \mathcal{C}_1 et \mathcal{C}_2 . Quelle condition sur la somme des synergies (interne vs. externe) pourrait induire la scission ? Dans quel cas obtient-on une fusion ?

Problème 3 : Analyse de la Stabilité–Plasticité dans l'Auto-Organisation

On considère la double contrainte **stabilité–plasticité**, qui impose un **équilibre** essentiel. Le réseau doit rester **suffisamment plastique** pour intégrer de **nouveaux signaux**, tout en conservant une **stabilité suffisante** afin de ne pas **détruire systématiquement** les connaissances **acquises** précédemment.

a) Formulation d'un critère mathématique

Proposez une formalisation où la "stabilité" \mathcal{S} et la "plasticité" \mathcal{P} sont deux fonctions mesurant respectivement la conservation des liens existants et la facilité de créer/supprimer des liens. Définissez un **objectif** $\Gamma(\mathcal{S}, \mathcal{P})$ à maximiser et discutez l'arbitrage mathématique qui en découle.

b) Stabilité locale vs. stabilité globale

Montrez comment on peut distinguer **stabilité locale** (analogue à la dérivée de $\omega_{i,j}$ près d'un équilibre) et **stabilité globale** (résilience à de grandes perturbations). Proposez un schéma d'analyse linéaire pour la stabilité locale des pondérations, et un schéma plus qualitatif pour la stabilité globale.

c) Équation couplée avec un taux de plasticité

Introduisez un **taux de plasticité** $\alpha(t)$ qui peut varier dans le temps :

$$\omega_{i,j}(t+1) = \omega_{i,j}(t)\alpha(t)\eta[S_{i,j} - \tau\omega_{i,j}(t)].$$

- Identifiez les conditions sur $\alpha(t)$ pour que le réseau n'entre pas dans des oscillations permanentes.

d) Compromis entre exploitation et exploration

Interprétez le rôle de $\alpha(t)$ comme un **compromis** entre “exploitation” (stabilité) et “exploration” (plasticité). Montrez, par un raisonnement mathématique ou par une étude de fonctions de Lyapunov, qu'un **décroissement progressif** de $\alpha(t)$ peut favoriser la convergence vers un cluster stable à long terme.

Problème 4 : Modélisation de la Multi-modalité et de la Synergie Conditionnelle

On souhaite étudier un système où chaque entité \mathcal{E}_i appartient à l'une de plusieurs **modalités** (par exemple : visuel, auditif, textuel). La synergie entre deux entités dépend aussi d'un **contexte** \mathbf{c} .

a) Synergie conditionnelle

Formalisez la mesure :

$$S(\mathcal{E}_i, \mathcal{E}_j \mid \mathbf{c}),$$

- où $\mathbf{c} \in \mathcal{C}$ est une variable contextuelle. Quels axiomes mathématiques (monotonie, symétrie partielle, etc.) peut-on imposer à $S(\cdot \mid \mathbf{c})$ pour qu'elle reste cohérente ?

b) Mise à jour des pondérations selon le contexte

Proposez une loi d'évolution contextuelle :

$$\omega_{i,j}(t+1) = \omega_{i,j}(t) \eta \left[S(\mathcal{E}_i, \mathcal{E}_j \mid \mathbf{c}(t)) - \tau \omega_{i,j}(t) \right].$$

- Montrez comment cette équation peut, en pratique, conduire à la formation de **clusters spécifiques** à certains contextes \mathbf{c} .

c) Transfert de contexte

Supposons que le contexte \mathbf{c}_1 soit “nuit” et \mathbf{c}_2 soit “jour”. Étudiez la possibilité d'un **transfert** de liens synergiques depuis \mathbf{c}_1 vers \mathbf{c}_2 si certaines entités se révèlent robustes aux deux contextes. Quel est le rôle d'une éventuelle **intersection** d'ensembles de clusters $\mathcal{C}_1 \cap \mathcal{C}_2 \neq \emptyset$?

d) Extension à la multimodalité n-aire

Discutez comment généraliser la synergie binaire à la synergie n-aire conditionnelle, $S(\mathcal{E}_{i_1}, \dots, \mathcal{E}_{i_n} \mid \mathbf{c})$. Quels problèmes de **complexité** surgissent si l'on veut mettre à jour l'ensemble $\omega_{i_1, \dots, i_n}(t)$ en fonction d'un contexte $\mathbf{c}(t)$?

Problème 5 : Étude Formelle de l'Émergence et de la Cognition Distribuée

Ce dernier problème se concentre sur la **dimension cognitive** et les possibilités d'aller vers une **approche globale** de l'apprentissage, inspirée par la section 1.3.7.

a) **Assemblées auto-organisées et “concepts”**

Modélisez mathématiquement la notion de “concept émergent” comme un **cluster** \mathcal{C} dont la somme des pondérations internes dépasse un seuil θ . Proposez une définition fonctionnelle :

$$\text{Concept}_\alpha := \left\{ \mathcal{E}_i \mid \sum_{j \in \alpha} \omega_{i,j} > \theta \right\}.$$

- Comment prouver que ce concept est stable sous l'évolution des pondérations ?

b) **Hierarchie de concepts**

Envisagez la construction d'une **hiérarchie** de concepts \mathcal{H} , où un “métaconcept” α^+ apparaît si deux concepts α_1 et α_2 ont une forte synergie inter-clusters. Formulez les conditions nécessaires :

$$\sum_{(i \in \alpha_1, j \in \alpha_2)} \omega_{i,j} > \theta_2,$$

- et discutez la formation d'une structure arborescente ou en treillis.

c) **Mémoire distribuée et clusters persistants**

Définissez une **fonction de persistance** mesurant la durée pendant laquelle un cluster \mathcal{C} reste cohérent (c.-à-d. affiche des pondérations internes supérieures à un certain seuil). Prouvez ou argumentez qu'une entité ayant participé longtemps à un cluster \mathcal{C} garde une “mémoire partielle” de cette association, même si $\omega_{i,j}$ se réduit par la suite.

d) **Discussion sur la convergence vers une IA forte**

Proposez un **modèle** ou un **schéma** montrant comment ces mécanismes (formation de concepts, hiérarchie, mémoire persistante) peuvent contribuer à une forme plus globale de “cognition distribuée”. Formulez au moins deux questions mathématiques ouvertes (liées aux attracteurs, à la complexité, ou à la dynamique asymptotique) qui se posent si l'on veut prouver la “capacité générale” d'un tel réseau.

e) **Lien avec la théorie de l'information intégrée**

(Optionnel) Évoquez le lien potentiel entre la somme de synergies $\sum_{i,j} \omega_{i,j} S(\mathcal{E}_i, \mathcal{E}_j)$ et une mesure d'**information intégrée**. Quels prolongements théoriques imaginez-vous pour formaliser la “quantité d'intégration” qui pourrait soutenir une cognition plus “globale” ?

1.4. Architecture Générale du DSL

Dans les chapitres précédents, nous avons défini les **fondements conceptuels** du Deep Synergy Learning (DSL), en soulignant notamment l'importance de l'**auto-organisation** et des **synergies** entre entités d'information (sections 1.2 et 1.3). Nous comprenons désormais que chaque **entité** ne se limite pas à un simple **vecteur de données**. Elle possède la capacité d'**évoluer**, d'**interagir** et de **générer de nouvelles représentations** lorsqu'elle établit des **coopérations** avec d'autres **entités**. Ces processus de coopération ne sont pas imposés par un schéma hiérarchique rigide, mais émergent librement à mesure que les entités détectent un **gain** dans leur association.

Afin de concrétiser ces principes dans un **cadre unifié**, il est nécessaire de décrire l'**architecture générale** du DSL. Autrement dit, comment ces entités s'organisent-elles ? Quelles structures se dégagent quand la synergie est élevée entre certaines paires (ou ensembles) d'entités ? Et comment modéliser leur évolution au fil du temps ? La section 1.4 répond à ces questions en introduisant :

- Les **principes de base** des entités et des liens (1.4.1)
- La notion de **Synergistic Connection Network (SCN)** (1.4.2)
- La formation de **clusters** et de **macro-clusters** (1.4.3)
- Les différentes **fonctions de synergie** (1.4.4)
- Le fonctionnement **adaptatif** des pondérations (1.4.5)
- Les interactions **directes** et **indirectes** (1.4.6)
- Les cas particuliers de **synergie binaire** et **n-aire** (1.4.7)

C'est cette **architecture globale** du **DSL** qui confère au système sa **plasticité** et sa **capacité d'adaptation**. Plutôt que de simplement **transmettre passivement** les données à travers des **couches fixes**, chaque **entité** ajuste en **temps réel** ses **liens** avec les autres. Elle peut **renforcer** ou **affaiblir** ses connexions, **former spontanément des clusters**, et **faire émerger de nouvelles représentations** plus riches que la simple somme de leurs **composantes individuelles**.

1.4.1. Principe de Base : Entités et Liens Synergiques

Le **Deep Synergy Learning** envisage chaque **entité d'information** comme un **nœud actif** de l'architecture globale. Plutôt que de propager passivement un signal, comme le ferait un neurone dans un réseau hiérarchique, cette entité adopte un rôle décisif en disposant de **paramètres internes** θ_k , souvent constitués d'une **représentation** \mathbf{x}_k (vectorielle ou tensorielle), d'un **état interne** \mathbf{s}_k qui se modifie au gré des interactions, et de tout **hyperparamètre** requis pour la modalité concernée (par exemple un encodeur audio ou un embedding textuel). Chaque entité s'accompagne également de **mécanismes de décision** qui lui permettent d'**observer** la synergie obtenue lorsqu'elle se connecte à d'autres entités et, selon cette observation, de renforcer,

d'affaiblir ou de rompre certains liens. Elle peut même, dans les cas où la coopération se révèle durablement élevée, envisager une **fusion** avec une autre entité ou, au contraire, une **spécialisation** en segmentant ses propres paramètres pour répondre à des tâches spécifiques. Cette description, encore préliminaire, fait déjà ressortir l'idée que les **nœuds** du DSL sont bien plus dynamiques que dans un réseau de neurones classique, puisque chacun "recherche" les coopérations les plus fructueuses pour améliorer sa représentation tout en contribuant à la robustesse du réseau dans son ensemble.

Chaque entité \mathcal{E}_i peut se connecter à une autre entité \mathcal{E}_j par le biais d'une **pondération synergique** $\omega_{i,j}(t)$, laquelle traduit la **valeur ajoutée** perçue dans cette association. Quand la synergie $S(\mathcal{E}_i, \mathcal{E}_j)$ est forte, on observe un accroissement de $\omega_{i,j}(t)$, tandis que dans le cas contraire, ce lien tend à se résorber puis à disparaître. L'évolution de $\omega_{i,j}$ se modélise alors par une équation simple, par exemple

$$\omega_{i,j}(t+1) = \omega_{i,j}(t) + \eta [S(\mathcal{E}_i, \mathcal{E}_j) - \tau \omega_{i,j}(t)],$$

où η désigne le taux d'apprentissage et τ un paramètre de régularisation. Cette formulation, exposée plus en profondeur dans les sections ultérieures, peut aussi s'enrichir de seuils pour limiter la croissance des poids ou supprimer les connexions trop faibles, assurant de la sorte une **régulation** de la densité du graphe. Une fois que l'on modélise ainsi les **liens synergiques**, on se dote d'une **matrice d'adjacence** évolutive qui dicte quels nœuds interagissent, quand ils le font et avec quelle intensité.

La grande différence avec une organisation hiérarchique est que l'information n'est plus obligée de transiter selon des voies prédéfinies. Toute entité peut potentiellement échanger avec n'importe quelle autre, pour peu que la **pondération synergique** atteigne un niveau jugé satisfaisant. Dans le cadre d'une tâche multimodale, il est donc envisageable que des entités "visuelles" se lient directement à des entités "textuelles" si elles y trouvent un bénéfice mutuel. Il se forme alors des **clusters** éphémères ou plus durables, réunissant deux, trois ou davantage d'entités, et la persistance de ces regroupements dépend de la permanence de leur synergie. De tels micro-réseaux se constituent et se défont librement, donnant lieu à une **auto-organisation** dont l'architecture n'a pas été spécifiée a priori mais découle de la dynamique interne du système.

Cette perspective se décrit volontiers comme un **graphe évolutif** $G(t)$. Les **nœuds** correspondent aux entités $\{\mathcal{E}_1, \dots, \mathcal{E}_n\}$, et les **arêtes** représentent les liaisons $\omega_{i,j}(t)$. À chaque itération, une règle d'actualisation \mathcal{U} recalcule $\omega_{i,j}(t+1)$ en tenant compte de la **synergie** $S(\mathcal{E}_i, \mathcal{E}_j)$ et de la **régularisation** (qui inclut, au besoin, la suppression des liens faibles). Cela rend possibles des analyses croisées avec la **théorie des graphes** ou la **dynamique non linéaire**, et l'on peut même faire appel à des méthodologies d'**optimisation combinatoire** lorsqu'on cherche, par exemple, à minimiser un coût global ou à identifier une configuration de connexions correspondant à un optimum local.

Cette approche basée sur des **nœuds actifs** et des **arêtes dynamiques** confère au **DSL** une **flexibilité** qui se révèle supérieure à celle de nombreuses architectures traditionnelles. La topologie n'est plus figée dans des couches de traitement ; elle se réorganise au gré des opportunités de synergie détectées, ce qui est d'un intérêt crucial pour les situations multimodales ou pour l'adaptation à des données en évolution. Les entités elles-mêmes peuvent fusionner, se subdiviser ou changer de paramétrage, et toute la structure s'oriente vers une organisation où la synergie la

plus forte est mise en avant. Cette logique favorise l'apparition de **propriétés émergentes** comme la consolidation de **macro-clusters** ou l'élaboration de schémas coopératifs inédits, sans qu'aucune hiérarchie ne soit imposée dès le départ.

En somme, la clef de voûte du **DSL** réside dans l'idée que chaque entité constitue un **nœud autonome**, et chaque connexion, un **lien synergique** dont l'évolution est régie par le degré d'enrichissement mutuel. Les observations de clusters, de reconnections ou de regroupements imprévus y sont donc la norme, et ce caractère **distribué** et **adaptatif** positionne le DSL comme un prolongement original des paradigmes existants, taillé pour gérer la variété et la complexité croissantes des données actuelles.

1.4.2. Présentation du Synergistic Connection Network (SCN)

Le **Synergistic Connection Network (SCN)** constitue la **pièce maîtresse** du Deep Synergy Learning (DSL) en matérialisant à la fois l'**espace** dans lequel les entités évoluent et le **mécanisme** même qui autorise la naissance, la transformation ou la disparition de leurs liens. Alors que les réseaux de neurones classiques reposent sur une **topologie fixée** avant l'entraînement, le SCN propose, au contraire, une **structure adaptive** dont les entités et leurs connexions se reconfigurent de manière autonome au fil du temps.

La **représentation du SCN** sous forme de **graphe** positionne les **entités** $\{\mathcal{E}_1, \mathcal{E}_2, \dots, \mathcal{E}_n\}$ en tant que **nœuds**, reliés par des **pondérations synergiques** $\omega_{i,j}$ capables d'évoluer.

Chaque **entité** correspond à un **bloc fonctionnel** (visuel, textuel, auditif, etc.) et ajuste dynamiquement ses **liaisons** en fonction de la **synergie détectée**. Elle peut **renforcer** un lien si une coopération se révèle bénéfique ou, au contraire, l'**atténuer** lorsqu'il devient inutile.

Cette **plasticité** confère au **SCN** un caractère **vivant**. Sa **structure** n'est jamais **figée** et se **recompose en permanence**, conservant les **connexions utiles** tout en éliminant celles qui ne le sont plus.

A. Les principes fondateurs du SCN

Au cœur du **SCN**, chaque liaison $\omega_{i,j}$ évolue selon une **décision locale**. Deux entités évaluent la **synergie** $S(\mathcal{E}_i, \mathcal{E}_j)$, qu'elle repose sur une **similarité**, une **co-information** ou un **gain de performance**, puis ajustent la pondération $\omega_{i,j}$.

Toutefois, cette **dynamique locale** influence directement la **structure globale**. En synchronisant leurs mises à jour, des **milliers** ou **millions** de connexions peuvent, en seulement quelques itérations, donner naissance à des **macro-structures** ou des **clusters** (voir section 1.4.3).

Plutôt qu'un apprentissage ponctuel, le SCN procède par **itérations** successives. Les pondérations $\omega_{i,j}$ se recalculent via une équation du type

$$\omega_{i,j}(t+1) = \omega_{i,j}(t) + \eta [S(\mathcal{E}_i, \mathcal{E}_j) - \tau \omega_{i,j}(t)],$$

où η indique le rythme de l'apprentissage et τ limite la persistance d'un lien. Cette **dynamique** empêche toute stagnation et confronte en permanence l'évolution des connexions aux signaux de synergie qui apparaissent ou disparaissent.

Pour qu'un trop grand nombre de liaisons ne se maintienne artificiellement, on peut **couper** celles dont la pondération demeure en deçà d'un certain **seuil** ω_{\min} . À l'inverse, fixer un **plafond** ω_{\max} empêche l'explosion de liens exagérément forts. Ces **stratégies** participent à la **parsimonie** du **réseau** en ne conservant que les **connexions bénéfiques**. Ce filtrage naturel favorise la **formation de sous-ensembles stables** et met en évidence des **motifs structurels plus riches**, facilitant ainsi l'**émergence de dynamiques organisationnelles cohérentes**.

B. Du réseau neuronal traditionnel au SCN

Un **réseau de neurones classique** repose sur une **architecture prédéfinie**. Chaque couche contient un **nombre fixe de neurones**, et les **connexions linéaires** entre les couches restent invariables. Bien que les **poids internes** soient ajustés par la **rétropropagation du gradient**, la **topologie** du réseau – nombre de couches, disposition des neurones, schéma des connexions – demeure **immuable**.

À l'inverse, le **SCN** introduit un **paradigme radicalement différent** :

- La **topologie** évolue de manière **spontanée**. Les connexions peuvent **apparaître** ou **disparaître** en fonction de la **synergie détectée** entre entités.
- Les **entités** ne sont plus passives. Elles disposent d'un **état interne** et de **mécanismes de représentation** capables d'évoluer afin d'**améliorer leur coopération**.
- Le réseau **se réinvente continuellement**. À l'arrivée de **nouvelles données** ou face à un **changement contextuel**, des **clusters spécialisés** apparaissent ou disparaissent, sans qu'un algorithme extérieur ne doive **redéfinir la structure**.

Grâce à cette **plasticité**, le **SCN** est capable d'**incorporer** et de **privilégier** les **synergies révélées par les données**. Il adapte la **répartition des connexions** bien plus librement qu'un **réseau hiérarchique figé**, permettant ainsi un apprentissage dynamique et une **évolution continue** de sa structure.

C. Domaines d'application du SCN

Le **SCN** trouve des applications variées grâce à sa **capacité d'auto-organisation** et sa **plasticité**.

Multimodalité fluide

En associant chaque **modalité** (vision, texte, audio, capteurs) à des **entités spécialisées**, le **SCN** ajuste dynamiquement ses **connexions** en fonction de la **valeur ajoutée** qu'elles apportent. Une entité **visuelle** peut ainsi établir des liens directs avec une **entité textuelle** si une **synergie mutuelle** est détectée. Cette approche favorise une **intégration flexible des données**, permettant une meilleure **fusion multimodale** sans imposer de schéma rigide.

Apprentissage continu et évolutif

Face à un **environnement dynamique**, le **SCN** ajuste sa **configuration en continu**. Il **renforce** les liens les plus **pertinents** et **délaisse** progressivement les connexions inutiles. Cette **plasticité**

itérative assure une **résilience accrue**, évitant ainsi la nécessité d'un **réapprentissage intégral** à chaque variation de la **distribution des données**.

Découverte de patrons “n-aires”

Le **SCN** ne se limite pas aux interactions **binaires** entre entités. Il favorise la **formation de macro-clusters**, où plusieurs entités $\{\mathcal{E}_1, \dots, \mathcal{E}_m\}$ coopèrent pour produire une **plus-value collective**, dépassant la simple somme de leurs synergies **individuelles**. Cette capacité permet d'identifier des **structures émergentes**, souvent invisibles aux approches classiques, et d'exploiter des **relations complexes** entre données.

Conclusion

Le **Synergistic Connection Network (SCN)** incarne la **vision fondamentale** du **DSL**. Il s'agit d'un **réseau auto-organisé et évolutif**, dans lequel chaque **entité** se **connecte**, se **réoriente** ou se **scinde** en fonction de la **synergie** qu'elle détecte dans son environnement.

Contrairement à une **architecture hiérarchique traditionnelle**, cette organisation ne repose sur **aucune prescription initiale**. Elle se **construit** et se **reconstruit** en fonction des **liens les plus productifs**, donnant naissance à des **clusters** et des **macro-structures cohérentes**, directement façonnées par l'**apprentissage** lui-même.

Dans ce **paradigme**, l'**interaction réciproque** et la **mise en commun de l'information** prennent le dessus sur la simple **transmission d'un signal**. Cette **flexibilité** rend le **SCN** particulièrement **adapté** à la **complexité** et à la **dynamique** des **données modernes**, où les structures doivent pouvoir **évoluer en continu** pour capturer des relations changeantes.

Dans la section suivante (1.4.3), nous verrons comment ces liens synergiques favorisent la naissance de **clusters auto-organisés**, et en quoi ceux-ci peuvent se regrouper en **macro-clusters** pour donner naissance à des entités d'information plus puissantes, ou plus abstraites, dans la démarche d'apprentissage distribué du Deep Synergy Learning.

1.4.3. Notion de Cluster et de Macro-Cluster

Dans le **Synergistic Connection Network (SCN)**, décrit à la sous-section précédente (1.4.2), chaque entité d'information \mathcal{E}_i est reliée aux autres par des **pondérations synergiques** $\omega_{i,j}(t)$ qui évoluent dans le temps. Ce mécanisme permet l'**émergence spontanée** de **sous-structures** au sein du réseau. Des **groupes d'entités** présentant une **synergie élevée** se forment naturellement et ont tendance à **collaborer plus fréquemment**, structurant ainsi le réseau de manière **dynamique et adaptative**. On appelle couramment ces regroupements des **clusters**.

Au-delà de ces regroupements de base, il est possible que **plusieurs** clusters se regroupent encore à un niveau supérieur pour former des **macro-clusters**. Cette section (1.4.3) approfondit la *définition mathématique* de ces concepts, leurs *règles d'apparition* et leurs *conséquences* sur la dynamique d'apprentissage dans le **Deep Synergy Learning (DSL)**.

Dans la perspective du **Synergistic Connection Network (SCN)**, il est souvent utile de modéliser la structure courante du réseau par un **graphe** $G(t)$ dont les **sommets** $\{\mathcal{E}_1, \dots, \mathcal{E}_n\}$ correspondent aux entités d'information, et dont chaque **arête** est dotée d'une **pondération synergique** $\omega_{i,j}(t)$. À l'instant t , ces pondérations se réunissent dans une **matrice** :

$$W(t) = [\omega_{i,j}(t)]_{1 \leq i,j \leq n}.$$

Cette représentation matricielle capture simultanément l'ensemble des liens du réseau, chaque $\omega_{i,j}(t)$ traduisant l'intensité de la coopération entre l'entité \mathcal{E}_i et l'entité \mathcal{E}_j . Dans un tel graphe, un **cluster** $\mathcal{C} \subset \{1, \dots, n\}$ (c'est-à-dire un sous-ensemble des indices d'entités) se caractérise par des **connexions internes** plus **denses** ou plus **fortes** que ses connexions avec l'extérieur. Plusieurs manières existent pour formaliser cette notion de cluster :

Un **premier** point de vue consiste à **maximiser la somme** des pondérations internes. Plus précisément, on cherche un sous-ensemble \mathcal{C} maximisant

$$\sum_{i \in \mathcal{C}, j \in \mathcal{C}} \omega_{i,j}(t),$$

ce qui revient à rechercher la zone du graphe possédant la **densité** la plus élevée en liaisons fortes. Cette démarche peut être utile, par exemple, lorsque l'on souhaite mettre en évidence un noyau collaboratif de grande intensité.

Un **deuxième** critère, plus nuancé, repose sur le **rapport** entre la force interne et la force externe. On introduit alors une fonction de ratio

$$R(\mathcal{C}) = \frac{\sum_{i,j \in \mathcal{C}} \omega_{i,j}(t)}{\sum_{i \in \mathcal{C}, j \notin \mathcal{C}} \omega_{i,j}(t) + \epsilon},$$

où $\epsilon > 0$ agit comme un **terme de régularisation** évitant les divisions par zéro. Le cluster \mathcal{C} optimal maximise alors $R(\mathcal{C})$, ce qui revient à privilégier des groupes dont la **cohésion interne** se révèle importante face aux connexions dirigées vers l'extérieur.

Enfin, un **troisième** point de vue fait appel à une **fonction d'énergie** \mathcal{J} , ou fonction de coût, qui **récompense** la densité intra-cluster tout en **pénalisant** les connexions externes (cf. section 1.4.2 pour une présentation plus générale du concept de coût dans le DSL). Les **clusters** apparaissent alors comme des **minima locaux** de \mathcal{J} . Cette perspective offre un cadre théorique aisément connectable à la physique statistique ou aux techniques d'optimisation combinatoire, permettant d'étudier la **stabilité** ou le **caractère** global/local des solutions.

Malgré la diversité des approches, le **principe fondamental** reste le même. Un **cluster** correspond à un **groupe d'entités** qui, au sein de la **matrice** $W(t)$, entretient des **liaisons relativement plus fortes** entre ses membres qu'avec le reste du réseau. Cette définition traduit une **collaboration accrue** au sein du **sous-ensemble**, tout en maintenant une certaine **différenciation** ou un **isolement** vis-à-vis des **entités extérieures**.

Dans la suite du texte, cette conception des **clusters** joue un rôle central. Elle permet d'analyser comment le **SCN** favorise l'**émergence spontanée** de **strates coopératives**, plus ou moins étendues, au fil de la **dynamique d'apprentissage**.

Dans le cadre du **Deep Synergy Learning**, les pondérations $\omega_{i,j}(t)$ évoluent fréquemment selon la règle

$$\omega_{i,j}(t+1) = \omega_{i,j}(t) + \eta [S(\mathcal{E}_i, \mathcal{E}_j) - \tau \omega_{i,j}(t)],$$

où $\eta > 0$ et $\tau > 0$ sont des constantes, tandis que $S(\mathcal{E}_i, \mathcal{E}_j)$ désigne la **synergie** entre les entités i et j . Dès lors qu'une pondération $\omega_{i,j}(t)$ dépasse un seuil ω_{\min} , on considère qu'il existe un **lien effectif** entre les deux entités. Plusieurs phénomènes concourent alors à la **formation d'un cluster** :

- **Renforcement interne.** Lorsqu'un certain **groupe** $\mathcal{C} \subset \{1, \dots, n\}$ présente des synergies élevées entre ses membres, les pondérations $\omega_{i,j}(t)$ associées ont tendance à **augmenter** pour tous $i, j \in \mathcal{C}$.
- **Isolement progressif.** À mesure que les liens internes se consolident, les connexions externes (i.e. celles dont la synergie avec les entités extérieures demeure plus faible) s'**atténuent**, rendant le sous-ensemble \mathcal{C} de plus en plus autonome et homogène.

Ce processus engendre un **cluster** cohérent, formé sans qu'aucun agencement préalable ne soit imposé.

Exemple de scénario d'émergence

- a) **Temps initial (t=0).** Les pondérations $\omega_{i,j}(0)$ sont faibles ou distribuées de manière uniforme, si bien qu'aucune structure évidente ne se détache.
- b) **Interactions locales.** Certaines entités détectent une synergie ($S(\mathcal{E}_i, \mathcal{E}_j) > 0$) suffisamment avantageuse pour se renforcer localement. Les $\omega_{i,j}(t)$ correspondantes s'amplifient.
- c) **Formation d'une "graine".** Progressivement, un **mini-cluster** naît sous la forme de 2 ou 3 entités dont les liens internes, devenus plus élevés, assurent un noyau de haute synergie.
- d) **Attraction.** Si une entité \mathcal{E}_k à la périphérie présente aussi une bonne synergie avec cette graine, ses liaisons $\omega_{k,i}$ ($i \in \mathcal{C}$) se renforcent, ce qui intègre \mathcal{E}_k au cluster en expansion.
- e) **Consolidation.** Une fois que les **liens internes** atteignent un niveau stable et que les connexions vers l'extérieur restent faibles, le groupe \mathcal{C} se **stabilise** comme cluster. D'un point de vue formel, cela correspond à un **minimum local** d'une fonction d'énergie \mathcal{J} , où \mathcal{C} se comporte comme un **attracteur**.

Au-delà des **clusters** de base, il n'est pas rare que plusieurs sous-groupes finis se **rassemblent** pour former un **macro-cluster**, c'est-à-dire une entité supérieure englobant plusieurs clusters déjà constitués.

Pour cela, on considère un **méta-groupe** \mathcal{M} rassemblant des **clusters** $\mathcal{C}_1, \mathcal{C}_2, \dots$. Les pondérations entre deux clusters \mathcal{C}_1 et \mathcal{C}_2 se définissent par

$$\Omega(\mathcal{C}_1, \mathcal{C}_2) = \frac{1}{|\mathcal{C}_1| \cdot |\mathcal{C}_2|} \sum_{\substack{i \in \mathcal{C}_1 \\ j \in \mathcal{C}_2}} \omega_{i,j}(t).$$

Si $\Omega(\mathcal{C}_1, \mathcal{C}_2)$ dépasse un certain niveau, les deux groupes **fusionnent**, produisant ainsi un **macro-cluster** élargi.

Processus de fusion

- a) **Clusters initiaux.** Supposons que \mathcal{C}_1 et \mathcal{C}_2 soient déjà établis.
- b) **Renforcement inter-clusters.** Dès lors que plusieurs liaisons $\omega_{i,j}$ ($i \in \mathcal{C}_1, j \in \mathcal{C}_2$) se consolident, la synergie globale entre \mathcal{C}_1 et \mathcal{C}_2 augmente.
- c) **Fusion structurelle.** Dès que le **renforcement** des liens atteint un **seuil critique**, les deux **clusters** ne fonctionnent plus comme des **sous-groupes autonomes**. Ils fusionnent alors pour former un **macro-cluster** \mathcal{M} , intégrant ainsi leurs **dynamiques internes** dans une structure plus large et plus cohérente.
- d) **Vue hiérarchique.** Cette démarche rappelle le **clustering hiérarchique agglomératif**, à la différence majeure que, dans le DSL, les pondérations $\omega_{i,j}$ ne sont pas statiques mais se **règlent** en permanence, autorisant une consolidation plus dynamique.

Pour formaliser ces phénomènes de clusterisation, on introduit couramment une **fonction d'énergie** \mathcal{J} :

$$\mathcal{J}(\{\omega_{i,j}\}) = - \sum_{(i,j)} \omega_{i,j} S(\mathcal{E}_i, \mathcal{E}_j) + \alpha \sum_{(i,j)} (\omega_{i,j})^2 + \dots$$

- Le premier terme **récompense** les liaisons de haute synergie : chercher à **minimiser** \mathcal{J} revient donc à **maximiser** la somme $\sum \omega_{i,j} S(\mathcal{E}_i, \mathcal{E}_j)$.
- Le second terme (avec $\alpha > 0$) introduit une forme de **régularisation** ou de “penalty” pour empêcher une croissance excessive et simultanée de tous les liens.

Dans ce cadre, un **cluster** renvoie à un **minimum local** de \mathcal{J} , où l'on observe un niveau élevé de pondérations **en interne**. Un **macro-cluster** surgit quand on identifie un autre minimum local, rassemblant plusieurs groupes préexistants.

L'émergence de **clusters** segmente le Synergistic Connection Network en **régions** spécialisées (p. ex. un cluster associant vision et texte, un autre combinant audio et capteurs, etc.). On obtient ainsi une forme de **division du travail** au sein d'un réseau de grande taille, ce qui favorise la **lisibilité** et la **résilience** globale.

Par ailleurs, la formation de **macro-clusters** peut être rapprochée de l'idée de **modules cognitifs**, dans lesquels plusieurs sous-ensembles d'entités se lient pour s'attaquer à des tâches plus complexes. Le réseau acquiert de la sorte une **modularité adaptative**, qu'il s'agisse de manipuler différents canaux de données ou d'élaborer des représentations de plus haut niveau.

D'un point de vue algorithmique, détecter et gérer explicitement les **clusters** permet d'**optimiser** la mise à jour des **pondérations**. Plutôt que d'**analyser un vaste graphe** dans son ensemble, il devient possible de **restreindre certains calculs** à des **modules faiblement connectés**, réduisant ainsi la complexité computationnelle.

Cette **auto-organisation** en **groupes soudés** se distingue d'un simple **clustering statique**. Les pondérations $\omega_{i,j}(t)$ évoluent de manière **continue**, permettant l'**émergence** de nouvelles structures, des **scissions**, des **fusions** et même la **disparition de clusters entiers**, en fonction des **fluctuations de la synergie**.

Exemples d'application

- **Analyse multimodale en temps réel.** Dans une application de surveillance, on peut regrouper en un même cluster les entités traitant l'image et la parole (cluster "visage + discours"), et dans un autre, celles dédiées à la détection de mouvements anormaux ou de sons inhabituels. Les agrégats évoluent de manière dynamique selon la synergie perçue entre différents flux (lumière, son, déplacements, etc.).
- **Recommandation et filtrage collaboratif.** En représentant les utilisateurs et les contenus par des entités, les connexions $\omega_{u,c}$ sont élevées quand un utilisateur u apprécie un contenu c . La dynamique du réseau provoque l'émergence de **clusters** d'utilisateurs ayant des goûts proches et de contenus similaires ; un **macro-cluster** peut alors regrouper un large groupe d'utilisateurs et l'ensemble des contenus qui leur plaisent collectivement.
- **Traitement biologique ou neuroscientifique.** Si l'on assimile les neurones (ou de petites populations neuronales) à des entités \mathcal{E}_i , on peut observer la formation de **clusters** assimilables à des assemblées neuronales locales, puis la mise en place de **macro-clusters** associant plusieurs aires cérébrales interconnectées. Ceci traduit une **organisation fonctionnelle** plus étendue de la dynamique neuronale.
-

Conclusion

La **formation de clusters**, puis de **macro-clusters**, constitue l'un des **atouts majeurs** du **DSL**. Le réseau s'**auto-structure** en **sous-ensembles flexibles**, où chaque composante peut se **stabiliser**, se **scinder** ou **fusionner** en fonction de la **synergie évolutive** détectée au fil du temps.

Surtout, cette organisation ne repose pas sur une **classification figée**. Les **pondérations** $\omega_{i,j}(t)$ restent **dynamiques** et continuent d'**être réévaluées**, permettant ainsi des **réorganisations spontanées** et une **adaptation continue** aux variations du contexte.

Dans la suite (sections 1.4.4 à 1.4.7), nous examinerons les bases mathématiques qui sous-tendent ce phénomène, en décrivant la **fonction de synergie** (distance, similarité ou information mutuelle),

la façon dont les pondérations $\omega_{i,j}$ s'adaptent dans le temps, la distinction entre **interactions directes** et **indirectes**, puis la question de la **synergie n-aire**, où plusieurs entités coopèrent simultanément au-delà des simples relations binaires.

1.4.4. Fonctions de Synergie : Distance, Similarité et Co-Information

Au cœur du **Deep Synergy Learning (DSL)**, les *pondérations synergiques* $\omega_{i,j}$ reliant deux entités \mathcal{E}_i et \mathcal{E}_j évoluent en fonction d'une **mesure de synergie** $S(\mathcal{E}_i, \mathcal{E}_j)$. Cette fonction S évalue dans quelle mesure la **coopération** entre deux entités apporte un **gain** supérieur à l'utilisation isolée de leurs informations.

Bien que le **principe** de la synergie demeure le même (capturer l'apport mutuel), il existe **plusieurs manières** de la **définir** et de la **calculer** dans la pratique. Les plus communes reposent sur (1) des **distances** entre représentations, (2) des **similarités** (souvent normalisées), ou (3) des mesures d'**information** (entropie, co-information, etc.). Cette section expose en détail ces approches, avec une formulation mathématique approfondie.

Dans le **Deep Synergy Learning (DSL)**, la pondération $\omega_{i,j}(t)$ reliant deux entités \mathcal{E}_i et \mathcal{E}_j suit fréquemment une équation de la forme

$$\omega_{i,j}(t+1) = \omega_{i,j}(t) + \eta [S(\mathcal{E}_i, \mathcal{E}_j) - \tau \omega_{i,j}(t)],$$

où η et τ sont des hyperparamètres positifs, et $S(\mathcal{E}_i, \mathcal{E}_j)$ la **fonction de synergie**. Cette fonction reflète dans quelle mesure les entités \mathcal{E}_i et \mathcal{E}_j estiment pouvoir coopérer avantageusement. Dès lors,

- Si $S(\mathcal{E}_i, \mathcal{E}_j)$ est **positif** et assez grand, la liaison $\omega_{i,j}$ se **renforce**.
- Si $S(\mathcal{E}_i, \mathcal{E}_j)$ est faible ou négatif, la liaison s'**affaiblit**.

Le **choix de la fonction S** impacte directement la **topologie finale** du **réseau**. Des **entités** jugées **proches** ou **complémentaires** convergeront naturellement vers un **même cluster** (voir section 1.4.3), tandis que celles présentant une **faible compatibilité** verront leurs **liens s'affaiblir progressivement**.

Plusieurs **approches** peuvent être adoptées pour définir cette **synergie**, en fonction du type de données traitées et des critères d'**association** privilégiés dans le **réseau**.

1. Synergie fondée sur la distance

Une façon intuitive d'instaurer la synergie est de partir d'une **distance** $d(\mathcal{E}_i, \mathcal{E}_j)$ calculée sur leurs représentations, souvent des vecteurs $\mathbf{x}_i, \mathbf{x}_j \in \mathbb{R}^d$. Un exemple répandu consiste en la **distance euclidienne** $\|\mathbf{x}_i - \mathbf{x}_j\|$. On convertit ensuite cette distance en un score de synergie **décroissant** :

$$S(\mathcal{E}_i, \mathcal{E}_j) = \frac{1}{1 + \|\mathbf{x}_i - \mathbf{x}_j\|^2},$$

ou bien, en autorisant des valeurs négatives, on peut poser

$$S(\mathcal{E}_i, \mathcal{E}_j) = - \| \mathbf{x}_i - \mathbf{x}_j \|.$$

L'idée est qu'une faible distance se traduit par une **forte synergie**, tandis qu'une distance importante produit un score négatif ou tendant vers zéro. Il est fréquent d'ajouter un **paramètre d'échelle** $\sigma > 0$ pour réguler la sensibilité aux écarts, par exemple

$$S(\mathcal{E}_i, \mathcal{E}_j) = \exp(- \| \mathbf{x}_i - \mathbf{x}_j \|^2 / 2 \sigma^2).$$

Cette fonction valorise la synergie pour les entités **très proches** et la fait décroître rapidement au-delà d'un rayon σ . La distance choisie dépend ensuite de la nature des données : L1, L2, distance sur des tenseurs d'images ou spectrogrammes, etc.

2. Synergie fondée sur la similarité

Un autre choix repose sur une **similarité** plutôt que sur une distance. Par exemple, la **similarité cosinus** :

$$\text{sim}(\mathbf{x}_i, \mathbf{x}_j) = \frac{\langle \mathbf{x}_i, \mathbf{x}_j \rangle}{\| \mathbf{x}_i \| \| \mathbf{x}_j \|},$$

qui varie dans $[-1, 1]$. On peut alors définir

$$S(\mathcal{E}_i, \mathcal{E}_j) = \max(0, \text{sim}(\mathbf{x}_i, \mathbf{x}_j)) \quad \text{ou} \quad S(\mathcal{E}_i, \mathcal{E}_j) = 1/2 (\text{sim}(\mathbf{x}_i, \mathbf{x}_j) + 1),$$

histoire de normaliser la valeur dans $[0, 1]$. Cette approche est pratique quand on souhaite regrouper des **vecteurs** se ressemblant en direction ou quand on manipule des **corrélations** (ex. coefficient de Pearson). Elle est parfois moins adaptée si l'on cherche à capter la complémentarité non linéaire entre des entités fortement dissemblables.

3. Synergie fondée sur la co-information ou l'information mutuelle

Lorsque les entités $\mathcal{E}_i, \mathcal{E}_j$ renvoient à des **variables aléatoires** $\mathbf{X}_i, \mathbf{X}_j$, on peut évaluer la synergie via des **quantités entropiques** :

$$I(\mathbf{X}_i; \mathbf{X}_j) = H(\mathbf{X}_i) + H(\mathbf{X}_j) - H(\mathbf{X}_i, \mathbf{X}_j),$$

qui mesure l'**information mutuelle**. Toutefois, cette mesure ne différencie pas la simple **redondance** d'une véritable **coopération**. On peut alors recourir à la **co-information** ou à la **Partial Information Decomposition (PID)**, laquelle décompose l'information partagée en portions "synergique" et "redondante". Cela donne un score :

$$S(\mathcal{E}_i, \mathcal{E}_j) = \max(0, I_{\text{syn}}(\mathbf{X}_i, \mathbf{X}_j \mid \mathbf{Y})),$$

où I_{syn} désigne la contribution strictement synergique, au sens de la définition employée (co-info, PID, etc.). Cette méthode peut détecter des interactions non linéaires et complexes, mais elle se révèle plus **onéreuse** à calculer, en particulier pour des données de haute dimension, et nécessite de **choisir** la mesure d'information la plus pertinente au contexte.

Conseils pour le choix de la fonction S

Le **DSL** ne prescrit pas une forme unique de synergie, mais un **cadre** flexible où n'importe quelle mesure d'**apport mutuel** entre entités peut convenir. On retient néanmoins certains principes :

- **Distance.** Simple à implémenter et intuitive, elle va favoriser l'association d'entités similaires (au sens d'un espace de représentation). Elle sous-estime parfois la complémentarité de deux entités très différentes mais hautement coopératives.
- **Similarité.** Plus adaptée dès lors qu'on compare des directions ou des vecteurs déjà normalisés. Les grandes similarités indiquent une forte parenté, mais la complémentarité non linéaire peut lui échapper.
- **Information mutuelle / co-info / PID.** Très puissante pour les **coopérations** complexes et non linéaires, mais coûteuse en ressources de calcul et sensible aux méthodes d'estimation statistique.

Il est évidemment possible de **combiner** plusieurs indicateurs (distance, similarité, information mutuelle) ou de pondérer différentes composantes pour confectionner un score $S(\cdot, \cdot)$ plus adapté. Le choix exact dépendra de la nature des données, du domaine d'application et des **objectifs** poursuivis (clustering, prédiction, fusion multimodale, etc.).

Exemples d'utilisation

- **Analyse d'images.** Considérons des entités \mathcal{E}_i représentant des patchs ou des régions d'images. Une distance L2 sur des vecteurs de caractéristiques (par ex. issus d'un réseau de neurones convolutionnel) peut fournir un score de synergie décroissant : plus les patchs se ressemblent, plus ils coopèrent.
- **Fusion multimodale.** Supposons deux entités $\mathbf{X}_{\text{audio}}$ et $\mathbf{X}_{\text{visuel}}$. On mesure leur co-information conditionnellement à une variable \mathbf{Y} (classe d'événement). Si leur combinaison apporte un gain clair, on augmente la synergie et, par conséquent, on renforce leur lien.
- **Système hybride symbolique-connexionniste.** Un module symbolique (décrivant des règles ou faits abstraits) et un module vectoriel (des embeddings d'images, par exemple) peuvent relier leurs entités si l'information mutuelle ou la similarité cosinus démontre qu'ils s'améliorent réciproquement.

Conclusion et ouverture

La fonction de synergie $S(\mathcal{E}_i, \mathcal{E}_j)$ est la **pièce angulaire** du Deep Synergy Learning. Selon qu'on s'appuie sur une **distance**, une **similarité** ou une **information mutuelle**, on oriente la manière dont les entités **coopèrent** et se **relient** au sein du **Synergistic Connection Network**.

- Les **fonctions de distance** favorisent l'agrégation d'éléments proches dans l'espace des caractéristiques.
- Les **fonctions de similarité** rassemblent des vecteurs corrélés, tout en ignorant parfois la complémentarité.
- Les **mesures entropiques** (co-info, PID, etc.) explorent la coopération profonde, prenant en compte les facettes non linéaires et la contribution uniquement révélée par l'association des entités.

Les sections suivantes (1.4.5 à 1.4.7) approfondiront la **mise à jour temporelle** de $\omega_{i,j}(t)$ fondée sur cette synergie, la distinction entre **interactions directes** et **indirectes**, et la manière de gérer la **synergie n-aire**. L'ensemble de ces points complète la **vision** du DSL comme un réseau évolutif, autonome et apte à faire émerger des **structures** d'apprentissage complexe dans des contextes variés.

1.4.5. Pondérations Adaptatives et Évolution Temporelle

Les sections précédentes (1.4.1 à 1.4.4) ont établi les **fondements** de l'architecture générale du **Deep Synergy Learning (DSL)** : chaque **entité** peut se relier à d'autres par des **pondérations synergiques** $\omega_{i,j}$ qui reflètent la **valeur ajoutée** d'une coopération. Reste à décrire **comment** ces pondérations **changent** dans le temps, c'est-à-dire la **loi d'évolution** qui fait que le réseau se **reconfigure** en permanence. C'est l'objet de cette sous-section (1.4.5), qui explique :

- Les **équations** gouvernant l'adaptation des pondérations,
- Le sens de cette **dynamique** (renforcement / affaiblissement),
- Les implications sur la **convergence** ou la **stabilité** des liens,
- Le rôle des **paramètres** (taux d'apprentissage, régularisation, etc.) dans l'auto-organisation du réseau.

Cette **évolution temporelle** est au cœur du **SCN** (Synergistic Connection Network), car c'est elle qui autorise la création progressive de **clusters** et, par extension, la modélisation d'un **apprentissage** réellement continu.

Dans la plupart des formulations du **Deep Synergy Learning (DSL)**, la pondération $\omega_{i,j}(t)$ reliant deux entités \mathcal{E}_i et \mathcal{E}_j se met à jour suivant un schéma adaptatif de la forme

$$\omega_{i,j}(t+1) = \omega_{i,j}(t) + \eta [S(\mathcal{E}_i, \mathcal{E}_j) - \tau \omega_{i,j}(t)],$$

où η désigne un **taux d'apprentissage** (ou **pas de mise à jour**) et τ un **coefficient de régulation** (ou *terme d'oubli*). La fonction $S(\mathcal{E}_i, \mathcal{E}_j)$ correspond à la mesure de **synergie** choisie (distance, similarité, co-information, etc.). Ce cadre de mise à jour s'interprète ainsi :

- Lorsque la synergie S entre \mathcal{E}_i et \mathcal{E}_j est assez élevée, et que $\omega_{i,j}(t)$ reste encore modérée, le terme $\eta [S - \tau \omega]$ demeure **positif**, accroissant la liaison à chaque itération.
- À l'inverse, si la synergie est faible (ou négative), ou si $\omega_{i,j}(t)$ est déjà trop grande, le terme devient **négatif**, ce qui affaiblit la liaison.

On peut mettre en évidence un **point fixe** en imposant $\omega_{i,j}(t+1) = \omega_{i,j}(t) = \omega_{i,j}^*$. La condition associée,

$$\omega_{i,j}^* = S/\tau,$$

montre que plus la **synergie** est grande, plus la **pondération d'équilibre** $\omega_{i,j}^*$ atteint un niveau élevé.

Plusieurs adaptations sont possibles autour de cette règle. On peut retenir un **historique** afin de lisser la dynamique ou pondérer les valeurs antérieures $\omega_{i,j}(t-1)$. La forme de mise à jour elle-même peut être **non linéaire** : on quitte la version linéaire $\omega + \eta [S - \tau \omega]$ pour des équations saturantes, exponentielles ou inspirées des règles “hebbiennes”. De plus, la synergie S peut varier avec le temps si les entités $\mathcal{E}_i(t)$ et $\mathcal{E}_j(t)$ mettent à jour leurs représentations internes ; la pondération $\omega_{i,j}(t)$ influence alors la synergie, qui en retour modifie la structure globale.

Le modèle

$$\omega_{i,j}(t+1) - \omega_{i,j}(t) = \eta [S(\mathcal{E}_i, \mathcal{E}_j) - \tau \omega_{i,j}(t)]$$

est une **équation aux différences**, interprétable comme un **système dynamique** discret dans un espace de dimension $\binom{n}{2}$ (ou $n(n-1)$ selon que l'on distingue la direction $i \rightarrow j$). On y analyse notamment :

e) Les **points fixes** $\omega_{i,j}^*$ satisfaisant

$$\omega_{i,j}^* = \omega_{i,j}^* + \eta [S - \tau \omega_{i,j}^*].$$

f) La **stabilité** de ces points. Par exemple, en linéarisant autour de l'équilibre, on obtient

$$\Delta \omega_{i,j}(t+1) = \Delta \omega_{i,j}(t) - \eta \tau \Delta \omega_{i,j}(t),$$

- montrant que la condition $\eta \tau < 1$ est usuellement requise pour maintenir une évolution stable des pondérations.

L'équivalent **en temps continu** est donné par l'ODE

$$d \omega_{i,j} / dt = \eta [S(\mathcal{E}_i, \mathcal{E}_j) - \tau \omega_{i,j}(t)].$$

Ici encore, la solution tend vers $\omega_{i,j}^* = S/\tau$ s'il ne survient pas d'autres perturbations ni dépendances supplémentaires.

Dans le **DSL**, on introduit souvent un **seuil** ω_{\min} en deçà duquel la connexion est jugée inexistante :

$$\omega_{i,j}(t) < \omega_{\min} \Rightarrow \text{aucun lien effectif entre } i \text{ et } j.$$

Même si l'équilibre $\omega_{i,j}^*$ est légèrement positif, la liaison doit dépasser ω_{\min} pour être considérée. À l'autre extrémité, on peut imposer un **cap** $\omega_{i,j}(t) \leq \omega_{\max}$ pour freiner l'augmentation des pondérations et éviter les valeurs extrêmes. Sur un **diagramme de phase** ($\omega - \dot{\omega}$), ces deux seuils garantissent une **parcimonie** structurale : seuls les liens ayant démontré une synergie conséquente survivent, tandis que ceux qui resteraient trop faibles ou monteraient exagérément se trouvent coupés ou plafonnés.

Dans un réseau comptant n entités, la synergie $S(\mathcal{E}_i, \mathcal{E}_j)$ peut dépendre d'autres entités (cf. section 1.4.4). On écrit parfois

$$S(\mathcal{E}_i, \mathcal{E}_j \mid \{\mathcal{E}_k\}_{k \neq i,j}),$$

pour souligner le fait qu'une **co-information** conditionnelle peut influencer sur la pondération. Les **misés à jour** des $\omega_{i,j}$ sont alors **couplées** : la liaison $i \leftrightarrow j$ se renforce ou s'affaiblit en interaction avec d'autres liaisons $j \leftrightarrow k$, etc. C'est ce couplage qui fait émerger des **clusters** (section 1.4.3) : les entités formant un sous-groupe \mathcal{C} stabilisent mutuellement leurs pondérations internes, aboutissant à une "bulle" de coopération élevée, tandis que les liens extérieurs, moins profitables, s'atténuent.

Interpréter la dynamique du DSL comme un système à **feedback** offre un éclairage pertinent :

- **Feedback positif.** Dès lors qu'une liaison $\omega_{i,j}$ grandit (parce que $S > 0$), \mathcal{E}_i et \mathcal{E}_j accroissent encore leur coopération, consolidant le lien.
- **Feedback négatif.** Si, au contraire, la liaison s'emballe, le terme $-\tau \omega_{i,j}(t)$ ou une autre pénalisation (par ex. un terme cubique) freine cette croissance, garantissant la **stabilisation**.

De façon analogique, on peut s'inspirer de la **plasticité synaptique** :

$$\omega_{i,j}(t+1) = \omega_{i,j}(t) + \eta (a_i(t) a_j(t)) - \alpha \omega_{i,j}(t),$$

où $a_i(t)$ et $a_j(t)$ sont les "activités" ou "états" des entités, vus comme un substitut instantané à la synergie $S_{i,j}(t)$. Par ailleurs, l'usage d'un **terme cubique** $-\beta (\omega_{i,j})^3$ agit comme une stabilisation encore plus marquée, évitant la croissance sans borne.

Impacts et conclusions

- **Flexibilité continue.** Grâce à l'actualisation en continu de $\omega_{i,j}(t)$, le **Synergistic Connection Network** (SCN) s'adapte sans cesse aux nouveaux flux ou aux modifications d'environnement, bien plus qu'un réseau à architecture fixe.
- **Formation de clusters.** Les entités liées par une synergie forte consolident leurs liaisons, s'assemblent en **clusters**, et peuvent se **fuser** en macro-clusters (voir section 1.4.3). Cette recomposition est fluide et dépend directement de la dynamique des pondérations.
- **Régime stable vs. oscillatoire.** Selon les choix de synergie, de η , de τ , etc., le réseau peut tendre vers un état stable, osciller, ou coexister dans plusieurs configurations d'équilibre.
- **Aspects computationnels.** Mettre à jour toutes les paires (i,j) exige un coût a priori en $O(n^2)$. Des heuristiques (sparse updates, random sampling) peuvent s'avérer nécessaires pour gérer de grands n de façon **scalable**.

Cette **dynamique adaptative** des pondérations constitue le moteur de l'**auto-organisation** dans le DSL, permettant de découvrir et de consolider des **sous-structures** au sein du réseau. Les sections suivantes (1.4.6 et 1.4.7) s'intéresseront à la **distinction entre interactions directes et indirectes** et à la **synergie n-aire**, deux aspects cruciaux pour comprendre la **richesse** et la **réactivité** de ce paradigme d'apprentissage.

1.4.6. Interactions Directes et Indirectes

Jusqu'à présent, la description du **Deep Synergy Learning (DSL)** s'est essentiellement focalisée sur la **relation directe** entre deux entités \mathcal{E}_i et \mathcal{E}_j , mesurée par une **synergie** $S(\mathcal{E}_i, \mathcal{E}_j)$ et traduite dans une **pondération** $\omega_{i,j}$. Pourtant, dans un réseau où de nombreuses entités coexistent, les **interactions indirectes** jouent un rôle crucial : deux entités qui n'ont pas de liaison directe peuvent tout de même s'influencer si elles sont **connectées** via une **chaîne** (ou un **chemin**) de plusieurs liens synergiques. Cette section (1.4.6) explique :

- Comment les **interactions** peuvent se propager à travers le **Synergistic Connection Network (SCN)**,
- Comment la **synergie** entre deux entités peut être **modulée** par leurs relations avec d'autres,
- Quelles implications mathématiques découlent de ces boucles d'influence plus complexes, notamment pour la **formation** de clusters et l'**émergence** de comportements globaux.

Cette problématique est centrale dans la compréhension de l'**auto-organisation** : même si chaque entité ne considère que les liens qui la concernent directement, l'ensemble du réseau peut manifester des effets d'**influence à distance** ou de **coordination** en chaîne.

On appelle **interaction indirecte** entre \mathcal{E}_i et \mathcal{E}_j toute séquence $\mathcal{E}_i \rightarrow \mathcal{E}_k \rightarrow \dots \rightarrow \mathcal{E}_m \rightarrow \mathcal{E}_j$ dans laquelle chacune des paires $(\mathcal{E}_u, \mathcal{E}_v)$ du chemin possède une pondération $\omega_{u,v}(t)$ significative. Le **Synergistic Connection Network (SCN)** autorise ainsi la propagation d'**influence** ou de **coopération** le long d'un **chemin** reliant deux entités, même si ces dernières ne sont pas directement connectées.

1. Principes généraux : chemins et relai d'information

Lorsque la liaison $\omega_{k,m}$ est élevée, l'entité \mathcal{E}_k peut **transmettre** (ou "relayer") certaines données ou incitations à \mathcal{E}_m . C'est ainsi qu'une synergie faible ou nulle entre \mathcal{E}_i et \mathcal{E}_j peut progressivement **s'intensifier** si elles interagissent via des entités communes $\{\mathcal{E}_k, \mathcal{E}_\ell, \dots\}$ qui procurent un **gain mutuel**. De même, si l'on modélise la **synergie** $S(\mathcal{E}_i, \mathcal{E}_j)$ comme une quantité **contextuelle**, on peut définir

$$S(\mathcal{E}_i, \mathcal{E}_j \mid \mathcal{E}_k),$$

qui tient compte du fait que la coopération entre \mathcal{E}_i et \mathcal{E}_j peut être **facilitée** ou **rendue moins nécessaire** par la présence d'une entité pivot \mathcal{E}_k .

Exemple : pivot et redondance

- Si \mathcal{E}_k remplit déjà les rôles combinés de \mathcal{E}_i et \mathcal{E}_j , l'intérêt pour \mathcal{E}_i et \mathcal{E}_j de se lier **directement** diminue (redondance).
- Au contraire, si \mathcal{E}_k fournit un complément utile à \mathcal{E}_i et \mathcal{E}_j , ce **contexte** peut augmenter leur synergie bilatérale, incitant l'émergence d'un lien direct $\omega_{i,j}$.

•

2. Notion de chemins et puissance de la matrice W

Le **graphe** du SCN se décrit par la matrice pondérée $W(t)$, de taille $n \times n$, dont l'entrée $\omega_{i,j}(t)$ indique la connexion directe entre \mathcal{E}_i et \mathcal{E}_j . Lorsqu'on considère un **chemin** de longueur 2 entre \mathcal{E}_i et \mathcal{E}_j via un intermédiaire \mathcal{E}_k , la multiplication de matrices révèle que $(W^2)_{i,j} = \sum_{k=1}^n \omega_{i,k}(t) \omega_{k,j}(t)$. De manière analogue, $(W^p)_{i,j}$ réunit l'effet de **tous** les chemins de longueur p liant i à j .

Si la dynamique des pondérations reste **relativement stable**, l'examen des puissances W^2, W^3, \dots peut dévoiler des **interactions indirectes** (chemins multiples ou plus longs). Des valeurs élevées de $(W^p)_{i,j}$ traduisent une **forte influence** de \mathcal{E}_i sur \mathcal{E}_j à travers plusieurs intermédiaires. En présence de **cycles** (ex. $\mathcal{E}_i \rightarrow \mathcal{E}_k \rightarrow \mathcal{E}_m \rightarrow \mathcal{E}_i$), on peut observer des effets d'**amplification** : si chaque liaison du cycle se renforce, cela accroît la synergie circulant en boucle.

D'un point de vue **linéaire**, la **valeur propre** de plus grande amplitude (rayon spectral $\rho(W)$) reflète la **stabilité** du système :

- Si $\rho(W)$ excède 1, de petites perturbations internes risquent de se propager et de s'amplifier (effet possible d'oscillation).
- Si $\rho(W) < 1$ (après régulation), la dynamique a tendance à converger vers un état stable.

3. Contexte et synergie conditionnelle

Dans un réseau synergique, l'existence de **chemins indirects** modifie considérablement la manière dont deux entités $\mathcal{E}_i, \mathcal{E}_j$ perçoivent leur **coopération**. Même si $\omega_{i,j}$ démarre faible, il peut se consolider via l'influence d'entités tierces \mathcal{E}_k . Formellement, on modélise cette dépendance par une fonction

$$S(\mathcal{E}_i, \mathcal{E}_j | \{\omega_{i,k}, \omega_{k,j}, \dots\}),$$

introduisant un **système dynamique non linéaire**. Les équations des pondérations deviennent

$$\omega_{i,j}(t+1) = \omega_{i,j}(t) + \eta [S(\mathcal{E}_i, \mathcal{E}_j | \{\omega_{i,k}, \omega_{k,j}, \dots\}) - \tau \omega_{i,j}(t)].$$

La dépendance entre les $\omega_{i,j}$ fait naître des **boucles de feedback**, où un renforcement dans un segment du réseau rejaillit sur d'autres liaisons, et ainsi de suite. En pratique, l'**analyse** de stabilité ou de convergence peut impliquer des techniques avancées (théorie des bifurcations, méthodes de Lyapunov, etc.).

4. Rôle des interactions indirectes dans la dynamique globale

Les **interactions indirectes** expliquent comment un réseau DSL parvient à :

- **Faire émerger** de nouveaux liens : si \mathcal{E}_i et \mathcal{E}_j constatent qu'elles coopèrent déjà via un pivot \mathcal{E}_k , elles peuvent juger bon de forger une connexion directe $\omega_{i,j} > 0$.
- **Fusionner** des clusters : deux communautés initialement distinctes, reliées par quelques chemins transitifs, peuvent se reconnaître mutuellement profitables et **coalescer** en un macro-cluster.
- **Gérer** la circulation de bruit : une entité bruyante ou imprécise peut nuire indirectement à des voisins qui ne sont pourtant pas liés à elle de façon directe, tandis qu'un intermédiaire de confiance peut rehausser la fiabilité des échanges.

Ce mécanisme d'**influence à distance** se retrouve dans des domaines variés. En **robotique multi-agents**, un agent \mathcal{E}_i peut influencer un autre \mathcal{E}_j via un agent \mathcal{E}_k jouant le rôle de relai ; la structure d'échange se reconfigure selon la performance observée. En **neurosciences**, de nouvelles synapses directes se forment après une longue période où l'activité neuronale transite par plusieurs synapses intermédiaires.

Conclusion et ouverture

Les **interactions indirectes** forment un pivot crucial pour saisir l'**auto-organisation** d'un Synergistic Connection Network (SCN). Deux entités \mathcal{E}_i et \mathcal{E}_j initialement faiblement connectées peuvent se **rapprocher** grâce aux chemins multiples les reliant via des tiers, tout comme des boucles internes peuvent amplifier ou réguler la synergie. Cette dimension de **propagation** et de **contexte** est essentielle pour comprendre la **formation** de macro-structures, la dynamique des **cycles** et la **coévolution** des pondérations dans le DSL.

La section suivante (1.4.7) examinera de plus près la **synergie binaire** et surtout la **synergie n-aire**, c'est-à-dire l'impact de coopérations impliquant simultanément plus de deux entités, un aspect qui renforce encore la **richesse** des comportements émergents dans le Deep Synergy Learning.

1.4.7. Synergie binaire et n-aire : au-delà des relations deux à deux

La **synergie binaire** demeure la forme la plus couramment utilisée pour évaluer le degré de coopération entre deux entités \mathcal{E}_i et \mathcal{E}_j . On définit pour cela une fonction $S(\mathcal{E}_i, \mathcal{E}_j)$ (pouvant être fondée sur une distance, une similarité, de la co-information, etc.) qui mesure dans quelle mesure

$$\mathbf{x}_i (+ \mathbf{s}_i, \theta_i) \Rightarrow \mathbf{x}_j (+ \mathbf{s}_j, \theta_j)$$

s'enrichissent mutuellement ou, au contraire, s'avèrent redondantes ou peu utiles l'une à l'autre.

- **Mise à jour.** À chaque itération, la pondération $\omega_{i,j}(t)$ se voit recalculée en fonction de la valeur $S(\mathcal{E}_i, \mathcal{E}_j)$.

- **Clusters.** Les clusters décrits en section 1.4.3 émergent généralement d'une **somme** ou d'une **agrégation** de ces liaisons binaires (souvent assortis d'un seuil, stabilisant la formation de groupes plus étendus).

Toutefois, la synergie binaire suppose que l'apport mutuel entre \mathcal{E}_i et \mathcal{E}_j ne dépende **pas** explicitement des autres entités. Or, la section 1.4.6 a montré que le **contexte** global (présence de \mathcal{E}_k, \dots) peut influencer de manière significative : certaines lacunes peuvent être comblées, certaines informations complémentaires se mutualiser, ce qui peut révéler une **coopération** émergente entre plusieurs entités à la fois.

1. Synergie n-aire : idée d'un effet collectif

La **synergie n-aire** engage un **ensemble** $\{\mathcal{E}_{k_1}, \dots, \mathcal{E}_{k_m}\}$ (avec $m \geq 3$ dans la plupart des cas), dont la **combinaison** fournit une valeur ajoutée qu'on ne saurait réduire à la somme des synergies binaires. On écrit

$$S_n(\mathcal{E}_{k_1}, \dots, \mathcal{E}_{k_m})$$

pour désigner la synergie qui s'exprime **simultanément** entre ces m entités. On veut y saisir l'idée que "toutes ensemble, elles valent davantage que la somme de leurs collaborations deux à deux". Pour le cas de trois entités $\mathcal{E}_a, \mathcal{E}_b, \mathcal{E}_c$, on parle parfois de **complémentarité stricte** :

$$S_n(\mathcal{E}_a, \mathcal{E}_b, \mathcal{E}_c) > S(\mathcal{E}_a, \mathcal{E}_b) + S(\mathcal{E}_b, \mathcal{E}_c) + S(\mathcal{E}_a, \mathcal{E}_c),$$

signifiant que le **trio** dans son intégralité apporte plus que n'importe quelle addition de paires isolées. Pour $m > 3$, on généralise ce principe : c'est la **coopération collective** qui prime.

En **théorie de l'information**, on retrouve cette distinction dans :

- **Information mutuelle totale.**

$$I(\mathbf{X}_1, \dots, \mathbf{X}_m) = \sum_{i=1}^m H(\mathbf{X}_i) - H(\mathbf{X}_1, \dots, \mathbf{X}_m),$$

laquelle ne fait pas le tri entre redondance et synergie réellement n-aire.

- **Partial Information Decomposition (PID).**

Ce formalisme sépare la part d'information partagée par tous (redondance) de la part spécifiquement **synergique**, c'est-à-dire l'information qui n'apparaît qu'en combinant l'ensemble complet des variables $\mathbf{X}_1, \dots, \mathbf{X}_m$. S'il émerge une synergie n-aire positive, on découvre un **surcroît** d'information inexistant dans tout sous-groupe plus restreint.

Pour le **DSL**, ces notions indiquent comment un cluster de taille m peut se constituer lorsqu'on détecte une synergie n-aire **positive** (ou dépassant un certain seuil).

2. Intégration de la synergie n-aire dans un réseau

Si les pondérations $\omega_{i,j}$ portent sur des **liaisons binaires**, comment tirer parti d’une synergie n-aire ? Plusieurs pistes :

- **Approche factorisée.**

Créer explicitement une pondération ω_{k_1, \dots, k_m} reliant simultanément les entités $\{\mathcal{E}_{k_1}, \dots, \mathcal{E}_{k_m}\}$. Il faut alors manipuler un **hyper-graphe** (où une “arête” connecte plus de deux nœuds) ou stocker un **tenseur** de pondérations, ce qui devient coûteux si m croît.

- **Approche “bonus/malus”.**

Reprendre le cadre binaire $\omega_{i,j}$ en y ajoutant un **terme** lié à la synergie n-aire. Par exemple, pour trois entités $\mathcal{E}_a, \mathcal{E}_b, \mathcal{E}_c$, on écrit :

$$\omega_{a,b}(t+1) = \omega_{a,b}(t) + \eta [S(\mathcal{E}_a, \mathcal{E}_b) + \gamma S_3(\mathcal{E}_a, \mathcal{E}_b, \mathcal{E}_c) - \tau \omega_{a,b}(t)].$$

Ici, γ pèse la contribution de la synergie tripartite. Si $\{\mathcal{E}_a, \mathcal{E}_b, \mathcal{E}_c\}$ forment un trio très coopératif, chaque lien binaire (a–b, b–c, a–c) reçoit un **surcroît** de renforcement, favorisant la cristallisation d’un micro-cluster à trois.

3. Émergence de micro- ou macro-clusters grâce à la synergie n-aire

Lorsqu’un groupe $\{\mathcal{E}_{k_1}, \dots, \mathcal{E}_{k_m}\}$ manifeste une synergie n-aire élevée, on s’attend à :

1. **Renforcer** les liens binaires internes,
2. **Stabiliser** un sous-graphe “complet” ou presque, traduisant la cohésion du groupe,
3. Obtenir un **gain** global supérieur à la somme des seules paires.

Si, plus tard, un autre sous-groupe $\{\mathcal{E}_{r_1}, \dots, \mathcal{E}_{r_q}\}$ se joint à ce collectif parce que la **synergie** entre ces deux ensembles élargis se révèle à son tour avantageuse, on peut assister à la **fusion** de clusters en un **macro-cluster** plus vaste. L’approche n-aire explique comment le DSL n’est pas limité au cas binaire : il peut trouver qu’un ensemble de 4, 5 ou 10 entités coopèrent de manière exceptionnelle, justifiant la formation d’un **module** émergent.

On peut y voir une **hiérarchie** (ou un treillis) :

- Les **feuilles** : synergies binaires $\omega_{i,j}$.
- Les **nœuds supérieurs** : synergies tri-partites, 4-partites, etc.
- Les **sommets** : macro-clusters englobant de grands ensembles.

L’**auto-organisation** d’un SCN peut alors être comprise comme un cheminement dans cet espace d’interactions multiples, valorisant les groupes où la **complémentarité** est nettement profitable.

4. Illustrations et implications

Multimodalité. Audio et visuel n'ont pas forcément une forte similarité, mais l'ajout d'une troisième modalité (ex. texte) peut révéler une synergie à trois entités. Ainsi, un macro-cluster se forme pour gérer ensemble la parole, l'image du locuteur et les informations projetées.

Systèmes d'agents. Trois robots (ou plus) peuvent constituer un **équipage** dont la coopération tri- ou multi-partite débloque une solution qu'aucune sous-combinaison plus simple ne parvenait à réaliser. Le DSL rend compte de cette nécessité de formation de "super-équipes".

Chimie ou biologie. Deux composés chimiques A et B ne réagissent qu'imparfaitement, jusqu'à ce qu'on introduise un troisième C qui agit en **catalyseur**. On met alors en évidence une **synergie triple** (A–B–C) supérieure à toute combinaison restreinte.

Conclusion

Si la **synergie binaire** constitue le socle même du SCN, la prise en compte de la **synergie n-aire** enrichit de manière considérable la capacité du DSL à **déceler** et **exploiter** des coopérations plus étendues. Les interactions à trois entités ou davantage peuvent révéler des **complémentarités** ou des **effets émergents** impossibles à discerner en se limitant aux paires. D'un point de vue pratique, le coût combinatoire de la gestion explicite de synergies n-aires peut se révéler élevé, mais des stratégies de type "bonus/malus" sur les liens binaires offrent des voies **approximatives** pour modéliser ces phénomènes.

Ainsi, la **synergie n-aire** confère au DSL un cadre globalement **plus puissant** et **expressif**, permettant de voir s'**auto-organiser** des ensembles coopératifs complexes et de mieux expliquer la naissance de **macro-clusters** fortement intégrés. Cette dimension s'ajoute à la dynamique temporelle (1.4.5) et aux interactions indirectes (1.4.6) pour compléter la **vision** d'un **réseau** éminemment **adaptatif**, ajustant ses liaisons au fil des découvertes sur la synergie de ses entités.

1.5. Pourquoi une Approche Synergique ?

Les sections précédentes ont mis en évidence la manière dont le **Deep Synergy Learning (DSL)**, à travers son **architecture générale** et son **auto-organisation** (voir sections 1.3 et 1.4), se distingue d'une approche classique. Pour mieux comprendre l'intérêt d'une telle démarche, il importe de répondre à une question cruciale : **pourquoi** choisir un paradigme "synergique" plutôt que de se contenter des réseaux de neurones profonds ou d'autres méthodes d'apprentissage ? Cette section 1.5 propose plusieurs raisons majeures :

Avantages par Rapport aux Réseaux Neuronaux Profonds (1.5.1)

Gestion Naturelle de la Multi-modalité (1.5.2)

Flexibilité vis-à-vis des Données Incomplètes ou Bruitées (1.5.3)

Potentiel d'Auto-Évolution et d'Adaptation Continue (1.5.4)

Réduction de la Dépendance à la Supervision Humaine (1.5.5)

Création de Représentations Riches et plus Interprétables (1.5.6)

Intégration de Dimensions Symboliques ou Cognitives (1.5.7)

Chacun de ces points met en lumière les **bénéfices** d'un modèle qui valorise la **co-opération** dynamique entre entités, plutôt qu'une hiérarchie de couches figées. Nous allons tout d'abord (1.5.1) confronter la logique **synergique** du DSL à la structure rigide des **réseaux neuronaux profonds (Deep Learning)**, pour en dégager les avantages potentiels.

1.5.1. Avantages par Rapport aux Réseaux Neuronaux Profonds

Les **réseaux neuronaux profonds** (CNN, RNN, Transformers, etc.) ont assurément démontré leur **efficacité** dans de nombreux domaines. Cependant, le **DSL** propose une **philosophie** radicalement différente, susceptible d'apporter :

Flexibilité Structurale

Plastique et Auto-Organisé

Réduction de la Spécialisation Rigide

Facilité d'Intégration Multi-entités

Apprentissage Continu

Chacun de ces volets constitue un avantage important, que nous détaillons ci-après.

1.5.1.1. Flexibilité Structurelle

Dans un **réseau neuronal profond** classique, la **topologie** (nombre et type de couches, neurones, schémas de fusion de données) est entièrement **préétablie** avant l'apprentissage. Par exemple, un **CNN** (Convolutional Neural Network) organise les données selon des couches **convolutionnelles**, suivies éventuellement de **pooling** et de **couches fully-connected**, sans changement d'architecture au cours de l'entraînement. De même, les **Transformers** enchaînent des **blocs self-attention** répétés, toujours selon un canevas décidé en amont. Ces modèles **ne modifient** pas leur structure interne en cours de fonctionnement :

Nombre de couches, arrangement des blocs et synapses demeurent fixes pendant tout l'apprentissage.

Ils **n'autorisent** pas la création ou la **suppression** de neurones ou de liaisons et conservent un agencement identique, même si la **distribution** des données ou le **contexte** subit des modifications significatives.

À l'inverse, dans le **Deep Synergy Learning (DSL)**, on insiste sur la dynamique de ses **entités** et de leurs **liaisons**. Les pondérations $\omega_{i,j}(t)$ entre deux entités \mathcal{E}_i et \mathcal{E}_j évoluent selon la **synergie** $S(\mathcal{E}_i, \mathcal{E}_j)$. Il est possible qu'un **lien** émerge (si la synergie grandit et dépasse un certain **seuil**), qu'il **disparaisse** (si l'intérêt coopératif s'avère trop faible), ou qu'il se **recrée** au cours du temps. La **flexibilité** topologique qui en résulte se formalise par des règles de mise à jour de la forme

$$\omega_{i,j}(t+1) = \omega_{i,j}(t) + \eta [S(\mathcal{E}_i, \mathcal{E}_j) - \tau \omega_{i,j}(t)],$$

où η désigne le **taux d'apprentissage** et τ un **terme de régulation**. Quand la synergie S s'avère positive et assez élevée, la liaison se **renforce** ; dans le cas contraire, elle **s'affaiblit** et peut même s'annuler. Cette dynamique se révèle d'autant plus souple qu'on peut imposer une **parsimonie** via un seuil ω_{\min} ou un **cap** ω_{\max} , comme le rappelle la section 1.4.5.

La conséquence directe de cette **reconfiguration dynamique** tient dans la capacité du réseau à **s'adapter** en continu à l'arrivée de nouvelles données ou à un **changement** de distribution. Au lieu de maintenir invariablement le même chemin de traitement (comme dans un **CNN** figé ou un **Transformers** aux blocs intangibles), le **DSL** autorise une **reliance** directe entre certaines entités apparues pertinentes, tout en relâchant ou en supprimant d'autres connexions devenues inutiles. On peut ainsi écrire, de façon synthétique :

Flexibilité topologique \Rightarrow Capacité d'adaptation et résilience face à l'évolution du contexte.

Dès lors, si la distribution des données subit un changement progressif (par exemple, l'apparition d'une nouvelle modalité sensorielle), le **DSL** peut incorporer de nouvelles **entités** \mathcal{E}_{nov} et renforcer les liaisons $\omega_{\text{nov},j}$ jugées porteuses d'une forte **synergie**. Simultanément, il peut affaiblir ou rompre des liens moins pertinents. C'est précisément cette **malléabilité** qui caractérise le **SCN** et le différencie de la rigidité structurelle des architectures profondes traditionnelles.

Ce **principe** de flexibilité structurelle jette les bases d'une **évolution** continue de la topologie, conforme à l'esprit d'**auto-organisation** présenté dans les sections 1.4.3 et 1.4.5. En ce sens, le **DSL** épouse davantage la **complexité** et la **variabilité** des environnements réels, tout en garantissant que seules les **connexions** profitables (au sens de la synergie) se **consolident** dans le temps.

1.5.1.2. Plasticité et Auto-Organisation

Dans les **réseaux de neurones** usuels, la phase d'apprentissage consiste principalement à **ajuster** les **poids** dans une **architecture** figée à l'avance. En revanche, le **Deep Synergy Learning (DSL)** adopte un parti pris plus **plastic** : il autorise la **topologie** du **Synergistic Connection Network (SCN)** à **évoluer** au cours du temps. Les liaisons $\omega_{i,j}(t)$ qui peinent à démontrer une **synergie** positive ou dont la valeur reste trop faible peuvent **disparaître**, tandis que d'autres connexions, révélant un intérêt mutuel marqué, se **renforcent** jusqu'à forger de nouveaux chemins ou **clusters**.

Pour exprimer cette mise à jour, on recourt le plus souvent à une règle sous la forme

$$\omega_{i,j}(t+1) = \omega_{i,j}(t) + \eta [S(\mathcal{E}_i, \mathcal{E}_j) - \tau \omega_{i,j}(t)],$$

où η représente le **taux d'apprentissage**, τ un terme de **régulation**, et $S(\mathcal{E}_i, \mathcal{E}_j)$ la **synergie** (distance, similarité, information mutuelle...). Ainsi, chaque itération propose une **réévaluation** de la pertinence du lien $\omega_{i,j}$. Si la synergie demeure assez élevée, la liaison persiste ou se consolide ; sinon, elle tend vers zéro et peut être considérée comme **rompue** selon un seuil ω_{\min} (cf. section 1.4.5 pour la gestion des seuils).

Cette **démarche** de régulation évoque la **plasticité synaptique** que l'on observe dans les **systèmes biologiques**. À l'image des neurones qui renforcent leurs connexions en cas de co-activation et en abandonnent d'autres, les entités du DSL remanient leur **graphe** de manière à privilégier les **coopérations** les plus fructueuses. Les **clusters** (sections 1.4.3 et 1.4.4) apparaissent alors **spontanément**, sans exiger de paramétrage explicite du nombre de groupes : ils émergent lorsque les pondérations internes d'un sous-ensemble d'entités dépassent certains niveaux de synergie, consolidant un **sous-réseau** fortement lié.

Cette aptitude à **auto-organiser** la structure s'avère avantageuse pour l'**adaptation** en continu. On peut en effet passer d'une tâche à l'autre ou intégrer une **nouvelle modalité** de données (image, audio, signal textuel) sans reconstruire l'architecture dans son intégralité, puisqu'il suffit d'ajouter des entités et de laisser les liaisons se former ou s'éteindre de façon autonome selon la **synergie** détectée. Les **clusters** demeurant utiles persistent, tandis que de **nouveaux** se créent si des **interactions** inédites se révèlent rentables. Le **réseau** conserve ainsi un **degré de flexibilité** qui lui permet d'**ajuster** sa **complexité** selon le **contexte**, proposant un fonctionnement plus souple qu'un modèle entièrement figé.

1.5.1.3. Réduction de la Spécialisation Rigide

Dans un **réseau profond** standard comme un **CNN** dédié à la reconnaissance visuelle, la structure se présente souvent de manière **verticalisée**, où les premières couches extraient des **bords**, puis des formes plus élaborées, jusqu'à la classification finale. Cette disposition rend la **réutilisation** des *features* complexes si l'on souhaite aborder d'autres tâches ou modalités, à moins d'effectuer un **fine-tuning** parfois lourd. Les couches initiales sont fixées dans une fonction très spécifique, et la **coopération** entre différents blocs (par exemple la fusion de vision et d'audio) se voit généralement cantonnée à un **niveau** imposé dans l'architecture ou à un **module** explicitement conçu pour la multimodalité.

Dans le cadre du **Deep Synergy Learning (DSL)**, la vision se veut plus **flexible**. Les **entités** composant le **Synergistic Connection Network (SCN)** incarnent chacune une **source d'information** ou un **bloc fonctionnel** susceptible d'être réutilisé dans d'autres contextes. La **synergie** $S(\mathcal{E}_i, \mathcal{E}_j)$ détectée entre deux **entités** \mathcal{E}_i et \mathcal{E}_j ne se limite pas à un étage "plus haut" ou "plus bas" : toute entité peut, au fil des itérations, créer un **lien** avec toute autre, dès lors que la coopération leur procure un **gain** mesuré par la fonction S .

Un **exemple** concret peut être imaginé lorsqu'un **bloc** $\mathcal{E}_{\text{bords}}$, spécialisé dans la détection de **bords** visuels, observe soudain qu'il existe un **gain** d'associer ces **features** à un **bloc** $\mathcal{E}_{\text{audio}}$ focalisé sur les **fréquences** sonores, notamment quand des corrélations entre mouvements de lèvres et signaux vocaux se manifestent. Au sein d'un **CNN** traditionnel, l'**intégration** de telles informations se produirait typiquement à un **niveau tardif** ou via un **module spécialisé**, ce qui limite la portée de la coopération. Dans le **DSL**, au contraire, la liaison $\omega_{\text{bords}, \text{audio}}$ peut croître de manière **spontanée** si la **synergie** calculée (par exemple $\exp(-\|\mathbf{x}_{\text{bords}} - \mathbf{x}_{\text{audio}}\|^2 / \sigma^2)$) s'avère **élevée** et dépasse un certain **seuil** ω_{\min} (section 1.4.5). Les deux blocs initient alors un **micro-cluster**, échangent leurs informations, et ainsi la **fusion** s'opère de manière autonome. Cette capacité à **tisser** des liens coopératifs entre entités diverge de la spécialisation rigide instaurée par des **pipelines** de couches fixes, et elle illustre la **souplesse** du DSL pour exploiter des **synergies** inattendues.

1.5.1.4. Facilité d'Intégration Multi-Entités

Dans la plupart des **réseaux neuronaux profonds** classiques, il est usuel de concevoir un **design** architectural bien particulier pour **fusionner** plusieurs entrées issues de différentes modalités, comme une **image**, un **texte** et un **signal audio**. On trouve ainsi des approches où un **CNN** traite l'image, un **RNN** (ou un **Transformers**) interprète le texte, puis une **couche de fusion** se situe au sommet pour combiner les vecteurs latents. Cette disposition requiert, dans son principe, une intervention humaine afin de spécifier à quel niveau et selon quelles règles la **fusion** se produit.

Dans le **Deep Synergy Learning (DSL)**, la perspective est nettement plus **flexible**. Chaque **modalité** s'incarne dans une ou plusieurs **entités** \mathcal{E}_{mod} dédiées, que l'on peut définir comme un bloc perceptif ou un ensemble de **features** cohérent. Les **liens** $\omega_{i,j}$ se **construisent** de manière autonome, selon la **synergie** mesurée entre les entités \mathcal{E}_i et \mathcal{E}_j . On peut exprimer cette dynamique à l'aide de la règle d'adaptation :

$$\omega_{i,j}(t+1) = \omega_{i,j}(t) + \eta [S(\mathcal{E}_i, \mathcal{E}_j) - \tau \omega_{i,j}(t)],$$

où η désigne le **taux d'apprentissage**, τ un **terme de régulation**, et $S(\mathcal{E}_i, \mathcal{E}_j)$ la **synergie** (section 1.4.4). Cette règle fait en sorte que toute **coopération** mutuellement avantageuse s'**intensifie** si elle contribue à un gain, alors que les associations moins pertinentes se **dissipent**. Dans un **contexte** multimodal, l'image, le texte et l'audio sont autant d'entités $\{\mathcal{E}_{\text{image}}, \mathcal{E}_{\text{texte}}, \mathcal{E}_{\text{audio}}\}$ susceptibles de découvrir des **corrélations** bilatérales ou trilatérales, sans qu'une **couche de fusion** imposée par un concepteur soit nécessaire.

Lorsque la **synergie** entre ces modalités se révèle conséquente, les pondérations $\omega_{\text{image}, \text{texte}}$, $\omega_{\text{image}, \text{audio}}$ ou $\omega_{\text{texte}, \text{audio}}$ croissent, formant de manière **spontanée** un **cluster** multimodal où les entités coopèrent directement. Cette **auto-organisation** se renforce si l'association apporte un

bénéfice mesurable (par exemple, une performance améliorée sur une tâche de classification ou une plus grande robustesse). Inversement, si une modalité \mathcal{E}_{mod} n'apporte pas d'information utile ou se révèle trop bruitée, la **synergie** reste faible et la **liaison** ne s'établit pas, ou se rompt rapidement.

Une autre conséquence réside dans la **capacité** du réseau à **adapter** en continu les entités multimodales, autorisant la **formation** et la **dissolution** d'un **cluster** au gré du contexte. Cette propriété est en net contraste avec l'idée traditionnelle d'une couche de fusion figée où toutes les modalités se rejoignent selon un schéma unique. Le **DSL** propose donc une **répartition** dynamique de l'intégration multimodale, dans laquelle les **entités** se reconfigurent en fonction de l'**opportunité** d'apprentissage.

Au final, la **facilité d'intégration multi-entités** découle directement de la manière dont les **liaisons synergiques** sont définies et mises à jour. Chaque modalité, qu'elle concerne le **visuel**, le **textuel**, le **sonore** ou un **autre flux**, est **libre** de **découvrir** et de **former** des **connexions** directes avec n'importe quel **bloc** complémentaire, dès lors qu'une **valeur ajoutée** en résulte. Le **réseau** opère ainsi sous une forme d'**auto-organisation** (sections 1.4.3 et 1.4.5), permettant d'exploiter la diversité des **modalités** sans nécessiter le design d'un unique **module** de fusion, et garantissant une **adaptation** continue à la **variabilité** de l'environnement.

1.5.1.5. Apprentissage Continu

Dans de nombreux **réseaux neuronaux profonds**, l'entraînement se déroule dans un cadre essentiellement statique. On se contente généralement d'effectuer une rétropropagation sur un **ensemble de données** figé, et il s'avère difficile de réaliser un **apprentissage continu** sans retomber dans le phénomène de **catastrophic forgetting** au moment d'acquérir de nouvelles tâches ou de faire face à un changement de distribution. De plus, la structure même du réseau (couches, neurones) demeure immuable pendant tout l'apprentissage, ce qui limite considérablement la possibilité d'**évoluer** au fil du temps.

À l'inverse, le **Deep Synergy Learning (DSL)** s'appuie sur un **mécanisme** de **pondérations adaptatives** (discuté en section 1.4.5) dans lequel chaque liaison $\omega_{i,j}(t)$ peut se créer, se renforcer ou disparaître selon la **synergie** qu'elle procure. Cette propriété ouvre la voie à un **apprentissage continu** plus fluide, car le **réseau** peut accueillir de nouvelles **entités** $\mathcal{E}_{\text{nouv}}$ chaque fois qu'un nouveau flux de données ou une nouvelle modalité fait son apparition. Les **liaisons** $\omega_{\text{nouv},j}$ se forment si elles sont jugées bénéfiques, tandis que les anciens **clusters** jugés toujours utiles demeurent stables. Ainsi, l'**oubli** des acquis se trouve **atténué**, puisque les **connections** consolidées par le passé ne sont pas supprimées tant qu'elles conservent une synergie positive. Les entités correspondant aux tâches ou domaines précédents (sections 1.4.3 et 1.4.4) ne disparaissent pas, et les sous-groupes de coopération qui s'étaient formés peuvent persister ou se réactiver ultérieurement.

Une telle **flexibilité** convient particulièrement aux **environnements dynamiques**, où le **réseau** doit sans cesse **apprendre** de nouvelles classes d'objets, de nouvelles langues, ou s'adapter à des évolutions de contexte sans recommencer l'**entraînement** depuis zéro. Le **DSL** se distingue alors de la rigidité caractéristique d'un **réseau profond** standard, qui impose généralement de réinitialiser ou de "fine-tuner" un ensemble de couches fixes lors de l'introduction d'un nouveau

domaine. La possibilité de **reconfigurer** la topologie et d'**absorber** ou de **cesser** d'utiliser certaines sources de données fait du **SCN** un cadre mieux adapté à un **apprentissage Lifelong** ou **continu**, tout en préservant la robustesse et la puissance d'un paradigme sub-symbolique.

Conclusion

En comparaison directe avec les **réseaux neuronaux profonds**, l'**approche synergique** du DSL propose :

- Une **topologie évolutive**, au lieu d'une hiérarchie figée,
- Une **plasticité** inspirée (partiellement) de la biologie, plutôt qu'un pipeline statique,
- Une **modularité** et une **fusion** multimodale plus naturelles, sans imposer de couches de fusion,
- Un **apprentissage continu** mieux géré, permettant l'ajout ou la suppression d'entités sans tout réapprendre.

Il ne s'agit pas de nier la **puissance** des réseaux profonds : ils restent extrêmement performants lorsqu'on dispose de gros volumes de données annotées et qu'on accepte une architecture prédéfinie. Mais le DSL entend dépasser les limites liées à la **spécialisation**, au **statisme** et à la **dépendance** de l'apprentissage neuronal classique, ouvrant la voie à une **IA adaptative** et plus **ouverte** à la co-opération des informations.

Dans les sous-sections suivantes (1.5.2 à 1.5.7), nous approfondirons d'autres avantages majeurs, comme la **gestion naturelle de la multi-modalité** (1.5.2), la **flexibilité** face aux données partielles (1.5.3), l'**auto-évolution** (1.5.4), la **réduction** de la supervision (1.5.5), la **création** de représentations plus **riches** (1.5.6) et l'**intégration** de dimensions **symboliques** (1.5.7). L'ensemble consolidera l'idée qu'une **approche synergique** offre un panel d'atouts pour concevoir des systèmes apprenants plus **évolutifs**, **modulaires** et **généraux** que ne le permettent les architectures entièrement figées du deep learning traditionnel.

1.5.2. Gestion Naturelle de la Multi-modalité

Une des motivations fortes qui a conduit à l'élaboration du **Deep Synergy Learning (DSL)** est la possibilité d'**intégrer** plusieurs types de données (*images, sons, textes, capteurs variés, etc.*) de manière qu'elles **coopèrent** au lieu de simplement être fusionnées dans une couche dédiée. Dans les réseaux neuronaux profonds classiques, la multi-modalité impose souvent de **concevoir** des modules spécifiques (p. ex. un CNN pour l'image, un RNN ou un Transformer pour le texte, un autre réseau pour l'audio), puis de **fusionner** ces modules dans une partie supérieure de l'architecture. Cette approche, quoique efficace dans de nombreux cas, reste relativement **rigide** : la fusion se fait à un niveau imposé et ne varie guère en fonction du contexte ou de la dynamique interne.

Le **DSL**, au contraire, encourage une **intégration plus organique** : chaque modalité est représentée par une (ou plusieurs) **entité(s)** \mathcal{E}_{mod} , qui cherchent spontanément à établir ou à rompre des liens

avec des entités d'autres modalités, suivant la **synergie** constatée. Cette sous-section (1.5.2) détaille :

- **Pourquoi** la multi-modalité est “naturellement” absorbée par le DSL,
- Comment les entités **visuelles, auditives, textuelles** (par ex.) peuvent **former** des clusters multimodaux,
- Quels **avantages** cette gestion apporte (robustesse, découvertes de liens inattendus, etc.).

1.5.2.1. Les Entités comme Vecteurs ou Blocs Multimodaux

Dans le **Deep Synergy Learning (DSL)**, chaque **entité** \mathcal{E}_i peut se spécialiser dans un type de données particulier ou combiner déjà plusieurs **descripteurs**. Il n'y a pas l'obligation, comme dans un réseau multimodal classique, d'assembler deux flux (image, audio, etc.) au niveau d'une couche imposée ou dans des branches séparées. Au lieu de cela, toutes les entités coexistent dans un **même “espace”** ou **graphe** $\{\mathcal{E}_1, \mathcal{E}_2, \dots, \mathcal{E}_n\}$. On y retrouve des entités $\mathcal{E}_{\text{image}}, \mathcal{E}_{\text{audio}}, \mathcal{E}_{\text{texte}}$, ou des blocs déjà **multimodaux** combinant différents **features**. Il n'existe pas de **pyramide** de couches fixes, comme un **CNN** qui détecterait d'abord les bords, puis les textures, puis les objets. Au contraire, le **DSL** insiste sur le principe d'**auto-organisation**, faisant que toute entité \mathcal{E}_i peut se **lier** à toute autre \mathcal{E}_j dès lors qu'une **synergie** $S(\mathcal{E}_i, \mathcal{E}_j)$ significative est détectée. La mise à jour de la pondération $\omega_{i,j}(t)$ suit la règle discutée en section 1.4.5, et si la coopération apporte un gain, on obtient un renforcement de la liaison $\omega_{i,j}$. Ainsi, une entité de type *texte* \mathcal{E}_{txt} n'est pas cantonnée à se fusionner uniquement avec une entité *image* \mathcal{E}_{img} dans un étage supérieur prédéfini : la **fusion** peut advenir à **n'importe quel moment**, entre n'importe quelles entités, pourvu qu'une **valeur ajoutée** soit constatée. Cette démarche favorise la **formation** naturelle de **clusters** multimodaux là où c'est nécessaire, et permet aux entités déjà mixtes (par exemple combinant audio et vision) de se relier également à d'autres (texte, capteurs...), rendant le réseau plus **souple** et mieux à même de gérer la **pluralité** des sources de données.

1.5.2.2. Formation de Clusters Multimodaux

Le **Deep Synergy Learning (DSL)** emploie une règle de mise à jour décrite dans la section 1.4.5, qui se formalise ainsi :

$$\omega_{i,j}(t+1) = \omega_{i,j}(t) + \eta [S(\mathcal{E}_i, \mathcal{E}_j) - \tau \omega_{i,j}(t)].$$

Lorsque, par exemple, une **entité visuelle** $\mathcal{E}_{\text{visuelle}}^a$ (extraction d'images) et une **entité auditive** $\mathcal{E}_{\text{auditive}}^b$ (analyse du spectre sonore) constatent une **synergie** satisfaisante, la liaison $\omega_{a,b}$ se **renforce** progressivement. Les sections 1.4.3 et 1.4.4 évoquent déjà ce principe de consolidation, où toute **coopération** profitable se traduit par une augmentation de la pondération. Au fil des itérations, d'autres entités, qu'elles soient textuelles ou associées à une autre modalité, peuvent se **greffer** à ce duo si elles y perçoivent-elles aussi un **gain**. S'organise alors un **cluster** multimodal $\{\mathcal{E}_{\text{vis}}, \mathcal{E}_{\text{aud}}, \mathcal{E}_{\text{txt}}\}$, destiné, par exemple, à la reconnaissance d'événements conjoints dans une vidéo, en y associant le son et des sous-titres.

Un exemple important survient lors de l'analyse synchronisée **vidéo + audio**. Une entité \mathcal{E}_{CNN} , spécialisée dans la détection d'objets ou de mouvements visuels, et une entité $\mathcal{E}_{\text{Audio}}$, orientée vers les fréquences sonores, découvrent une **corrélation** entre le contenu visuel (mouvements de l'orateur) et des sons spécifiques. Si la **fonction de synergie** $S(\mathcal{E}_{\text{CNN}}, \mathcal{E}_{\text{Audio}})$ affiche une valeur élevée, la pondération $\omega_{\text{CNN, Audio}}$ croît. Il en résulte la formation d'un **sous-réseau** constitué de ces entités, apte à identifier les vidéos où un son précis se déclenche simultanément avec un geste ou un mouvement labial.

Un autre scénario se rencontre dans la **fusion texte + image**. Si une entité $\mathcal{E}_{\text{visuel}}$ extrait les objets visibles dans une scène et qu'une entité $\mathcal{E}_{\text{langage}}$ génère des phrases descriptives (via un modèle de type RNN ou Transformers), la **co-information** qu'elles partagent peut montrer qu'en les associant, on obtient une légende automatique bien plus fidèle. Cette plus-value se reflète dans la liaison $\omega_{\text{visuel, langage}}$, qui se **solidifie** de manière autonome. Le **cluster** $\{\mathcal{E}_{\text{visuel}}, \mathcal{E}_{\text{langage}}\}$ se spécialise alors dans la génération de légendes, sans imposer de couche de fusion prédéterminée.

On peut enfin imaginer un **cluster hybride** regroupant à la fois la "capture de mouvement" via des capteurs inertiels, la "reconnaissance d'images" au moyen d'une entité visuelle, et l'"analyse du spectre sonore". Ce **triplet** se cristallise dès lors qu'il existe une forte complémentarité pour identifier des événements qui combinent aspects visuels, audio, et déplacements corporels. Le **SCN** encourage ainsi la création de tels **clusters** dès que les synergies apparaissent bénéfiques, ce qui permet au réseau de s'adapter aux environnements multimodaux et de tirer le meilleur parti de chacune des sources disponibles.

1.5.2.3. Avantages de la Co-Organisation Multimodale

Dans un **réseau neuronal** habituel, la fusion des différents **flux** (par exemple, l'image et le son) est généralement décidée à l'avance, souvent dans les étages supérieurs ou dans une **couche intermédiaire** prédéfinie. Le **Deep Synergy Learning (DSL)** introduit une perspective différente : chaque **entité** \mathcal{E}_i peut spontanément **rechercher** des partenaires synergiques, **évaluer** si la coopération améliore les performances ou apporte un gain en information mutuelle, et **créer** des liaisons directes $\omega_{i,j}$ sans qu'une couche de fusion imposée soit nécessaire. Cette démarche favorise l'apparition de **combinaisons** inhabituelles mais profitables, comme l'association de l'analyse audio, de la mesure de température et de l'intensité lumineuse, si un cluster pertinent émerge.

Concrètement, la **règle** de mise à jour

$$\omega_{i,j}(t+1) = \omega_{i,j}(t) + \eta [S(\mathcal{E}_i, \mathcal{E}_j) - \tau \omega_{i,j}(t)]$$

permet à chaque entité de constater, de façon autonome, si sa **synergie** $S(\mathcal{E}_i, \mathcal{E}_j)$ s'avère suffisamment élevée pour justifier une **collaboration**. Ainsi, il n'existe pas d'étage unique où l'on agrégerait tous les flux, mais plutôt un **réseau** dont la topologie évolue pour intégrer toute coopération bénéfique.

Lorsqu'une modalité est **perturbée** ou moins fiable (par exemple l'audio, soumis à un **bruit** important ou une panne de capteur), la synergie associée $\omega_{\text{aud}, \cdot}$ s'affaiblit, car les entités n'y trouvent plus de **valeur ajoutée**. Le **cluster** multimodal se réorganise donc en renforçant d'autres

connexions, comme celles reliant la vision, le texte ou des capteurs alternatifs. Le système bénéficie ainsi d'une **résilience** accrue : il ne dépend pas d'un pipeline figé ni d'un module unique pour chaque modalité, mais s'autorégule en continu pour préserver une **robustesse** globale face aux changements du contexte ou aux défaillances de certaines sources.

1.5.2.4. Éléments Mathématiques : Synergie “Multi-Modal”

Dans le **Deep Synergy Learning (DSL)**, la mesure de **synergie** entre différentes **modalités** (comme l'audio, la vision ou le texte) peut prendre plusieurs formes selon le type de données ou la définition souhaitée de la **co-opération**. On considère deux grandes approches : l'usage d'une **co-information** (ou multi-information) tirée de la théorie de l'information, et le recours à une **distance** ou **similarité** inter-modale dans un espace latent commun.

A. Mesure de co-information

Lorsque l'on manipule un ensemble de modalités $\mathbf{X}_1, \mathbf{X}_2, \dots, \mathbf{X}_m$, il est possible d'estimer une **co-information** ou **mutual information** globale :

$$S(\mathbf{X}_1, \dots, \mathbf{X}_m) = MI(\mathbf{X}_1, \dots, \mathbf{X}_m).$$

Dans certains cas, la **Partial Information Decomposition (PID)** permet de séparer la part strictement *synergique* de la part *redondante* ou *unique*. Dans le **DSL**, on s'intéresse à l'**analyse n-aire** au sens où si la **conjonction** de deux (ou plus) modalités, par exemple $\mathbf{X}_{\text{visuelle}}$ et $\mathbf{X}_{\text{auditive}}$, produit une **information** qu'aucune des modalités ne détenait isolément, alors on en conclut un **gain** pour la **synergie**. Ce **gain** s'exprime par un **renforcement** des pondérations : si l'usage conjoint d'un flux visuel et d'un flux audio s'avère utile, la liaison $\omega_{\text{vis, aud}}$ augmente selon la règle de mise à jour (section 1.4.5). L'**auto-organisation** du réseau valorise ainsi la coopération entre modalités lorsqu'elle apporte un surcroît d'information ou de performance.

B. Distance ou Similarité inter-modale

En alternative à la co-information, on peut quantifier la **synergie** via une **distance** (ou **similarité**) entre les modalités, à condition de se situer dans un **espace latent** commun. Dans la pratique, cela implique généralement les étapes suivantes :

(1) Embeddings partagés.

On forme une représentation vectorielle \mathbf{z}_{vis} pour la partie **visuelle** et \mathbf{z}_{aud} pour la partie **audio**, toutes deux dans \mathbb{R}^d . Ces embeddings peuvent provenir d'un réseau d'apprentissage dédié ou être appris conjointement.

(2) Distance ou similarité.

On calcule une **norme** $\|\mathbf{z}_{\text{vis}} - \mathbf{z}_{\text{aud}}\|$ ou une **similarité cosinus** $\langle \mathbf{z}_{\text{vis}}, \mathbf{z}_{\text{aud}} \rangle$. Cette quantité rend compte de la **proximité** ou de la **complémentarité** entre les deux modalités une fois projetées dans l'espace latent.

(3) Définition de la synergie.

En inversant ou en normalisant la distance, on obtient un **score** de **coopération** :

$$S(\mathbf{z}_{\text{vis}}, \mathbf{z}_{\text{aud}}) = \exp(-\|\mathbf{z}_{\text{vis}} - \mathbf{z}_{\text{aud}}\|^2 / 2\sigma^2) \quad \text{ou} \quad 1 / (1 + \|\mathbf{z}_{\text{vis}} - \mathbf{z}_{\text{aud}}\|^2),$$

ou encore en recourant à une **similarité** normalisée dans $[0,1]$. Cette mesure, insérée dans la formule de mise à jour des pondérations $\omega_{i,j}(t+1) = \omega_{i,j}(t) + \dots$, renseigne sur la **pertinence** qu'il y a à **connecter** et **coordonner** ces deux modalités.

Synthèse et implication dans le DSL

Le **DSL** n'impose pas de définition unique de la synergie ; toute **fonction** mesurant la **coopération** peut s'appliquer. La **co-information** met en évidence des **complémentarités** complexes (non linéaires), en évaluant l'information que seules deux (ou plusieurs) modalités, **combinées**, parviennent à extraire. De son côté, la **distance** (ou la **similarité**) dans un **espace latent** offre un calcul plus direct et souvent moins coûteux, permettant d'établir rapidement une **coopération** si les embeddings s'avèrent proches ou orientés de façon compatible.

Dans tous les cas, on reste dans l'esprit du **DSL** : la synergie inter-modale agit comme un **signal** indiquant que les entités multimodales gagneraient à se **lier** et à former un cluster dédié. Cette logique s'applique à deux entités (binaire), mais peut s'étendre à des groupes plus vastes (section 1.4.7) lorsque plusieurs **modalités** s'enrichissent mutuellement. Dans une perspective **multimodale**, on voit ainsi se constituer des **clusters** audio-vidéo-texte, ou audio-vision-capteurs, sans qu'un concepteur doive imposer explicitement à quel niveau se fait la **fusion**. Le **SCN** se reconfigure et s'**auto-organise**, renforçant les **liens** rentables au sens de la synergie globale.

1.5.2.5. Perspectives : Plus de Fluidité, Plus de Découvertes

Dans un **Deep Synergy Learning (DSL)**, la fusion multimodale n'est pas confinée à une couche ou un module imposé à l'avance. Elle repose sur l'aptitude de chaque **entité** à forger des liens **synergiques** dès lors que la coopération procure un **gain**. Cette configuration autorise plusieurs évolutions particulièrement souples.

Un premier aspect concerne la **création spontanée** de **clusters multimodaux**. Lorsqu'un événement sollicite simultanément divers flux, par exemple un son particulier, un motif visuel distinctif et un mot-clé textuel, le **DSL** favorise la formation d'un **cluster** auto-organisé combinant toutes ces sources. Il n'existe pas l'exigence de décider, dans la conception du réseau, à quel étage ou sous-ensemble la fusion doit survenir : le **Synergistic Connection Network** se charge de **détecter** les entités pertinentes, puis de renforcer leurs liaisons $\omega_{i,j}$ si la **synergie** $S(\mathcal{E}_i, \mathcal{E}_j)$ s'avère élevée. Cette auto-organisation, évoquée en section 1.4.3, rend la fusion bien plus fluide et adaptative.

Un deuxième enjeu apparaît lorsque des **modalités** ou sources de données nouvelles se présentent. Si un capteur inédit vient produire un nouveau flux, il suffit d'introduire une entité $\mathcal{E}_{\text{capteur}}$ correspondante. Les pondérations $\omega_{\text{capteur},x}$ se mettent alors à jour selon la même loi que précédemment (section 1.4.5). Si les interactions avec des entités déjà existantes procurent un réel **bénéfice** à l'apprentissage ou à la représentation, la **synergie** grimpe ; sinon, le lien demeure faible et finit par s'éteindre. L'essentiel tient dans le fait qu'aucune **reconstruction** de l'architecture globale n'est nécessaire : le réseau s'**auto-adapte**, créant et dissolvant les connexions au gré des "opportunités" que confère le nouveau flux.

Un **troisième point** met en évidence la **réutilisation** des **entités spécialisées**. Dans un **paradigme classique**, un module dédié à une tâche spécifique, comme l'**analyse de fréquences sonores**, se trouve souvent **limité** à une seule fonction (identification de parole, détection musicale, etc.).

À l'inverse, dans le **DSL**, une **entité** $\mathcal{E}_{\text{audio}}$ capable d'**extraire des caractéristiques discriminantes** du **spectre sonore** peut être **sollicitée** par plusieurs **clusters distincts**. Elle peut ainsi participer à un **sous-réseau** dédié à la **reconnaissance de mots-clés**, un autre consacré à la **détection de bruits inhabituels**, ou encore un qui **associe** la parole aux **mouvements de lèvres**.

Chaque fois qu'une **synergie pertinente** est détectée, la **liaison** $\omega_{\text{audio}, \dots}$ se **renforce** au sein du **cluster concerné**, sans nécessiter ni **duplication** de la **fonctionnalité**, ni modification d'une **architecture fixe**.

L'ensemble de ces mécanismes assure une **fluidité** et un **potentiel d'exploration** supérieurs par rapport aux modèles multimodaux figés. Le **DSL** favorise l'**émergence** et la **dissolution** dynamiques de clusters multimodaux, l'**intégration** graduelle de modalités nouvelles, et la **mutualisation** de blocs spécialisés au service de plusieurs tâches. Cette architecture, loin d'être imposée, se déploie au fil des itérations par simple adaptation des pondérations $\{\omega_{i,j}(t)\}$, conduisant à une plus grande **richesse** de découvertes et de combinaisons entre entités.

Conclusion

La **multi-modalité** constitue un **terrain privilégié** pour apprécier la **valeur ajoutée** du Deep Synergy Learning. Là où un **réseau neuronal** classique cloisonne les modalités dans des branches séparées, puis les fusionne **sur** commande, le DSL propose :

- Une **co-intégration libre** des entités,
- Une **dynamique** où le réseau détecte **de lui-même** quelles modalités se complètent,
- Une **robustesse** accrue lorsque certaines modalités sont indisponibles ou bruitées,
- Une **exploration plus approfondie** des interactions possibles (même celles qu'on n'avait pas anticipées).

C'est pourquoi, dans l'optique d'une IA **multi-sensorielle** ou traitant des **sources hétérogènes**, le DSL offre un **cadre naturel** et **organique** pour favoriser les **synergies**. On verra dans les points suivants (1.5.3 à 1.5.7) d'autres aspects tout aussi clés (comme la flexibilité face aux données incomplètes, la réduction du besoin de supervision, ou la possibilité d'inclure des dimensions symboliques).

1.5.3. Flexibilité vis-à-vis des Données Incomplètes ou Bruitées

Outre la capacité à gérer de multiples flux (voir 1.5.2), l'un des atouts majeurs du **Deep Synergy Learning (DSL)** réside dans sa **tolérance** accrue face aux **données incomplètes** ou **fortement bruitées**. Dans les approches d'apprentissage traditionnelles (réseaux neuronaux profonds inclus), on cherche souvent à **normaliser** ou **compléter** les données manquantes, voire on opte pour un

prétraitement lourd afin de filtrer les bruits. Le DSL, de par sa **structure auto-organisée**, autorise un réseau à composer **localement** avec les lacunes et à **réajuster** ses connexions de manière à s'appuyer sur les sources les plus fiables.

Cette section (1.5.3) met en avant les principes qui confèrent au DSL sa **robustesse** et sa **souplesse** quand on fait face à des entrées partielles, hétérogènes ou bruitées.

1.5.3.1. Rôle de l'Auto-Organisation dans la Gestion du Bruit

Dans le **Deep Synergy Learning (DSL)**, les entités $\{\mathcal{E}_1, \dots, \mathcal{E}_n\}$ s'**agglomèrent** en **clusters** (tels que décrits en section 1.4.3) lorsque leurs synergies bilatérales $S(\mathcal{E}_i, \mathcal{E}_j)$ atteignent un certain **niveau**. L'auto-organisation agit alors comme un **mécanisme** filtrant : si une entité \mathcal{E}_k se révèle trop **bruyante**, ou plus généralement peu profitable (synergie insuffisante, voire négative, avec les autres), ses connexions ω_k **dépérissent** naturellement, selon la **mise à jour** :

$$\omega_{k,j}(t+1) = \omega_{k,j}(t) + \eta [S(\mathcal{E}_k, \mathcal{E}_j) - \tau \omega_{k,j}(t)].$$

Si la synergie $S(\mathcal{E}_k, \mathcal{E}_j)$ reste **faible** ou négative, la liaison $\omega_{k,j}$ diminue itération après itération jusqu'à se rapprocher d'un **seuil** ω_{\min} en deçà duquel elle est jugée **inexistante**. L'entité \mathcal{E}_k tend dès lors à **s'isoler** de la structure principale et ne contribue plus de manière significative aux décisions ou au regroupement de clusters, limitant l'**impact** du bruit ou des mesures peu fiables sur l'ensemble du **Synergistic Connection Network**. Cette propriété confère au **DSL** une **robustesse** notable, car il n'est pas nécessaire de filtrer d'emblée les données douteuses : c'est la **dynamique** des pondérations qui effectue ce filtrage de manière locale et autonome.

De façon analogue, une entité ne possédant que des **données incomplètes** (par exemple, un capteur qui ne fonctionne que par intermittence) peut tout de même établir des **liens forts** avec d'autres entités si la partie (même partielle) de ses observations est **pertinente** et apporte un gain synergique réel. L'apprentissage ne condamne pas a priori les capteurs partiellement défaillants : il évalue la **valeur ajoutée** qu'ils procurent (section 1.4.4 sur la définition de S), et **renforce** ou **dissout** les liaisons en conséquence. Ainsi, le **DSL** teste localement l'**efficacité** des données partielles et décide, via la seule dynamique adaptative de $\omega_{k,j}(t)$, si l'entité doit être conservée dans un cluster ou rester en marge du réseau.

Ce procédé évite la nécessité d'une **stratégie** spécifique pour rejeter le **bruit** ou manipuler les **données manquantes**. Le **système** s'auto-régularise, en quelque sorte, grâce à la diminution des pondérations non rentables, ce qui se traduit par une **atténuation** de l'influence des sources imprécises. L'**auto-organisation** réalise donc une forme de **gestion du bruit** distribuée, où chaque entité (ou module) se maintient ou s'éclipse selon la **synergie** réellement engendrée avec les autres composantes du **SCN**, évitant ainsi de nuire à la **performance** globale.

1.5.3.2. Interprétation dans un Cadre Bruité

Lorsqu'une entité \mathcal{E}_k se trouve exposée à un **bruit** important dans ses représentations \mathbf{x}_k , sa **similarité** ou son **information mutuelle** avec les autres entités demeure faible ou fluctuante. On peut considérer par exemple la fonction

$$S(\mathcal{E}_k, \mathcal{E}_j) = \frac{1}{1 + \|\mathbf{x}_k - \mathbf{x}_j\|^2}.$$

Si \mathbf{x}_k varie de manière aléatoire (bruit élevé), alors $\|\mathbf{x}_k - \mathbf{x}_j\|$ reste souvent grande ou instable, réduisant ainsi la valeur de $S(\mathcal{E}_k, \mathcal{E}_j)$. En se référant à la loi de mise à jour des pondérations (section 1.4.5), on voit que

$$\omega_{k,j}(t+1) = \omega_{k,j}(t) + \eta [S(\mathcal{E}_k, \mathcal{E}_j) - \tau \omega_{k,j}(t)].$$

La valeur de $\omega_{k,j}(t)$ décroît donc si la **synergie** $S(\mathcal{E}_k, \mathcal{E}_j)$ ne compense pas suffisamment le terme de régulation $\tau \omega_{k,j}(t)$. Cette **diminution** progressive des liaisons $\omega_{k,j}$ conduit l'entité \mathcal{E}_k à **s'isoler** si le bruit la rend incohérente vis-à-vis des entités du cluster. Il n'est pas nécessaire d'introduire un algorithme d'exclusion particulier : le **DSL** gère ce phénomène de façon **auto-organisée**, en laissant le lien s'affaiblir jusqu'à potentiellement s'éteindre lorsque

$$\omega_{k,j}(t) < \omega_{\min}.$$

Dans l'hypothèse où, plus tard, \mathcal{E}_k retrouve une plus grande **fiabilité** (par exemple si un paramètre interne $\mathbf{s}_k(t)$ se recalibre, ou si le flux de données s'assainit), on observe que la **distance** $\|\mathbf{x}_k - \mathbf{x}_j\|$ peut redevenir modérée, augmentant $S(\mathcal{E}_k, \mathcal{E}_j)$. La mise à jour $\omega_{k,j}(t+1)$ peut alors reprendre une tendance à la hausse, recréant ou solidifiant des liaisons $\omega_{k,j}$. Cette **réversibilité** illustre l'une des forces du **Synergistic Connection Network** : une entité qui s'était tenue à l'écart en raison d'un bruit excessif peut retrouver sa **place** dès que ses **observations** redeviennent pertinentes, sans nécessiter la restructuration globale du réseau. L'entité revient alors dans le **cluster**, démontrant la **capacité** du DSL à **s'adapter** en continu à la qualité fluctuante des données.

1.5.3.3. Données Partielles : Complétion Progressive via Synergie

Dans de nombreux **scénarios** pratiques, certaines entités ne disposent que d'une **fraction** de leurs attributs. Par exemple, dans un cadre médical, un **patient** peut présenter des **données** incomplètes : quelques tests sanguins manquants, une imagerie non réalisée, ou un historique lacunaire. Les approches neuronales classiques exigent souvent une **imputation** ou un **remplissage** préalable des valeurs absentes, ce qui nécessite des hypothèses ou des méthodes de substitution. Il n'est pas rare non plus que l'on décide simplement d'**écarter** les exemples incomplets pour ne pas perturber l'apprentissage.

Dans le **Deep Synergy Learning (DSL)**, une telle entité — par exemple $\mathcal{E}_{\text{patient}}$ — est autorisée à **coopérer** partiellement avec d'autres entités. Si l'entité patient ne possède que certaines **mesures** (tests sanguins, variables cliniques) mais en ignore d'autres, elle peut néanmoins évaluer sa **synergie** avec, par exemple, d'autres patients $\mathcal{E}'_{\text{patient}}$ ou des **variables globales** (moyennes de cohortes, règles médicales) en se basant sur les **dimensions** ou **attributs** qu'elle détient réellement.

Une fonction de synergie $S(\mathcal{E}_k, \mathcal{E}_j)$ adaptée aux **dimensions communes** ou à une distance partielle peut alors guider la mise à jour de la pondération :

$$\omega_{k,j}(t+1) = \omega_{k,j}(t) + \eta [S(\mathcal{E}_k, \mathcal{E}_j) - \tau \omega_{k,j}(t)].$$

Si, malgré des données incomplètes, l'entité \mathcal{E}_k dégage une **valeur ajoutée** non négligeable pour le réseau (par exemple, la portion de tests sanguins disponibles est très informative), ses **liaisons** $\omega_{k,j}$ avec d'autres entités \mathcal{E}_j se **consolident** progressivement. Cela peut se traduire par la **constitution** d'un **cluster** rassemblant d'autres patients, ou bien des entités spécialisées (un bloc fonctionnel détectant une tendance clinique). L'**incomplétude** des données n'empêche pas la **coopération** : seul importe le **gain** mesuré sur les attributs effectivement partagés.

Au fur et à mesure que l'entité \mathcal{E}_k acquiert (ou reconstitue) de nouveaux attributs manquants, il est envisageable que sa **distance** ou sa **similarité** avec d'autres entités évolue, rehaussant la pondération $\omega_{k,j}$. Le réseau y trouve un bénéfice : la réévaluation de la synergie incorpore cette **nouvelle information**, favorisant le **réajustement** des liens. On évite ainsi l'**exclusion** systématique des cas incomplets ou la nécessité d'une **imputation** globale : le **DSL** se contente de « tester » la **collaboration** sur la partie disponible des données. Cette logique de **liaison partielle** confère au **DSL** une **souplesse** précieuse pour manipuler des **jeux de données** irréguliers, tout en conservant la capacité d'un **regroupement** (cluster) auto-organisé autour des **similarités** ou **complémentarités** réellement détectées.

1.5.3.4. Exemples Concrets et Bénéfices

Dans un **environnement industriel**, certains capteurs (de température, de pression...) se révèlent souvent **défaillants** ou trop **bruités**. Dans un **Deep Synergy Learning (DSL)**, les entités correspondantes $\mathcal{E}_{\text{temp}}$ ou $\mathcal{E}_{\text{press}}$ voient leurs **pondérations** $\omega_{\text{temp},j}$, $\omega_{\text{press},j}$ diminuer dès lors que la **synergie** avec d'autres capteurs (comme $\mathcal{E}_{\text{vibration}}$ ou $\mathcal{E}_{\text{débit}}$) ne justifie plus la coopération. Le **cluster** principal, dédié par exemple à la **détection d'anomalies**, se centre alors sur les capteurs les plus fiables, sans qu'il faille explicitement exclure les capteurs défaillants : ceux-ci s'isolent **d'eux-mêmes** car leurs liens $\omega_{i,j}$ deviennent insignifiants. Si, par la suite, un capteur perturbé se **rétablit** (ou se recale), les pondérations se remettent à monter, lui permettant de **réintégrer** le cluster d'intérêt. Ce **mécanisme** procure une **robustesse** naturelle face aux dérives ponctuelles de certains capteurs.

Dans un autre contexte, celui d'une **base utilisateur** (profilage, recommandation), il est courant que les **profils** ne renseignent pas l'intégralité des informations attendues. En pratique, un **pipeline** neuronal classique suppose souvent une **imputation** des champs manquants ou l'exclusion des données incomplètes. Le **DSL**, au contraire, autorise l'insertion d'entités représentant « Utilisateur U1 » avec un vecteur \mathbf{x}_{U1} partiel, ainsi que d'entités « Contenu C1, C2 » définies par divers attributs. La **synergie** $S(\mathcal{E}_{U1}, \mathcal{E}_{C2})$ tient compte des attributs effectivement présents. Si, même partiellement, l'utilisateur U1 et un contenu C2 trouvent un **recoupement** significatif, la pondération $\omega_{U1,C2}$ s'accroît sans imposer que tous les champs soient renseignés. Le **réseau** s'**auto-structure** donc malgré l'incomplétude, sans avoir à multiplier les procédures d'imputation ou à écarter systématiquement les exemples incomplets. Cela permet de **préserver** une large portion d'information disponible et d'exploiter la **valeur ajoutée** dès qu'elle se présente.

1.5.3.5. Comment le DSL Surpasse la Rigidité des Réseaux Profonds

Les **réseaux neuronaux profonds** présentent une sensibilité notable aux **incohérences** ou aux cas situés hors de la distribution rencontrée lors de l'entraînement. Si, par exemple, un flux de capteurs n'a jamais inclus des observations particulièrement bruitées, le **modèle** peine à gérer ces perturbations lorsqu'elles apparaissent. En revanche, le **Deep Synergy Learning (DSL)** se caractérise par une **auto-régulation** : lorsqu'une entité \mathcal{E}_k se montre trop incertaine (synergie très basse ou négative avec d'autres entités), les pondérations $\omega_{k,j}(t)$ s'amointrissent, et la contribution de \mathcal{E}_k se trouve mécaniquement **limitée** ou mise à l'écart, au moins de manière temporaire. Le **SCN** continue malgré tout de fonctionner avec les entités restantes, potentiellement plus fiables.

Dans bien des cas classiques, on recourt à un **modèle d'imputation** (pour combler les données manquantes) ou à des heuristiques rigides visant à traiter le **bruit**. Dans le **DSL**, à l'inverse, chaque entité **évalue** localement la **synergie** possible, sans qu'un algorithme unique de "remplissage" s'impose. Cette démarche revient à laisser chaque **liaison** $\omega_{k,j}$ apprendre la **compatibilité** ou l'**incompatibilité** entre \mathcal{E}_k et \mathcal{E}_j , de sorte que, lorsque le bruit ou l'incohérence survient, la pondération se détériore progressivement, isolant l'entité problématique du **cluster** principal.

Si la **qualité** des données associées à une entité fluctue dans le temps — qu'il s'agisse d'un capteur dont la précision varie ou d'une source intermittente de bruit — la **dynamique** d'auto-organisation gère cette évolution. Les **liaisons** $\omega_{k,j}$ s'étirent ou se resserrent selon la **synergie** présente, et aucune **réinitialisation** globale ni refonte de l'**architecture** n'est requise. Le réseau d'entités conserve sa topologie, ajustant simplement les **connexions** nécessaires. Cette **flexibilité** évite l'extrême rigidité à laquelle aboutit souvent un réseau profond traditionnel, où l'adaptation à de nouveaux modes de bruit ou d'incomplétude implique souvent un **réentraînement** sur un large jeu de données.

Conclusion

La **flexibilité** du DSL face aux **données incomplètes ou bruitées** repose principalement sur :

- L'**auto-organisation**, qui favorise les connexions fructueuses et exclut temporairement les sources peu fiables,
- Le **renforcement local**, où les entités évaluent directement leur synergie avec celles qui détiennent des informations compatibles,
- L'**adaptation continue**, permettant à un capteur rétabli ou à des données initialement partielles de reprendre de la valeur au sein du réseau.

Ce fonctionnement marque un écart fondamental par rapport à la plupart des **réseaux neuronaux profonds**, qui requièrent souvent une **qualité de données** homogène ou un **prétraitement** contraignant. Dans le DSL, la structure est assez **souple** pour intégrer ou ignorer (transitoirement) les entités déficientes, garantissant ainsi une forme de **robustesse** intrinsèque. Après avoir vu

(1.5.2) comment le DSL absorbe naturellement la **multi-modalité**, et (1.5.3) comment il gère des données incomplètes ou bruitées, on peut poursuivre (1.5.4) sur son **potentiel d’auto-évolution** et d’adaptation continue, approfondissant encore la dimension dynamique du réseau.

1.5.4. Potentiel d’Auto-Évolution et d’Adaptation Continue

Un des aspects les plus novateurs du **Deep Synergy Learning (DSL)** concerne sa capacité à **évoluer** au fil du temps, sans nécessairement repasser par une phase d’entraînement globale et figée. Plutôt que de geler l’architecture après avoir ajusté quelques poids, le DSL propose une dynamique **en continu** où la structure interne (liens synergiques, clusters, etc.) se reconfigure régulièrement. Cette **auto-évolution** rend le réseau apte à faire face à des changements de distribution (domain shift), à l’apparition de nouvelles entités (nouvelles sources de données) ou à la nécessité d’exploiter un flux continu de données (*streaming data*). Dans cette section (1.5.4), nous examinons :

- g) Les principes d’**auto-évolution** du DSL,
- h) Comment cette dynamique repose sur l’**adaptation continue** des pondérations (déjà décrite en partie en 1.4.5),
- i) Les bénéfices en termes de **Lifelong Learning** (apprentissage tout au long de la vie) et de **plasticité** comparable à des systèmes vivants.

1.5.4.1. L’Auto-Organisation comme Moteur d’Évolution

Dans le **Deep Synergy Learning (DSL)**, la **pondération** $\omega_{i,j}(t)$ reliant deux entités \mathcal{E}_i et \mathcal{E}_j suit la règle de mise à jour décrite en section 1.4.5. La pondération se met à jour selon

$$\omega_{i,j}(t+1) = \omega_{i,j}(t) + \eta [S(\mathcal{E}_i, \mathcal{E}_j) - \tau \omega_{i,j}(t)],$$

où $S(\mathcal{E}_i, \mathcal{E}_j)$ correspond à la **synergie** (distance, similarité, co-information, etc.). Si cette **synergie** demeure suffisamment **positive**, la liaison $\omega_{i,j}$ se **renforce** ; dans le cas contraire, elle **décroît** et peut passer en deçà d’un **seuil** (voir ω_{\min} en section 1.4.5). Un lien sous ce seuil est généralement jugé **inexistant**, reflétant un **désintérêt** ou une **incohérence** mutuelle.

Ce **principe d’évolution dynamique** des connexions fait émerger des **clusters**. Deux entités qui constatent un **gain mutuel** se **rapprochent**, et des sous-groupes peuvent dès lors **fusionner** si la synergie inter-clusters croît au fil des itérations. À l’inverse, un **cluster** se **scinde** quand des sous-groupes décelant davantage de synergie interne choisissent de s’éloigner du groupe initial, leurs connexions inter-groupes ω s’abaissant peu à peu faute de bénéfice collectif.

Ce **mécanisme** confère au **DSL** une **dimension** “vivante” : le **Synergistic Connection Network** évolue en continu, s’**adapte** à l’arrivée de nouvelles données ou à la modification d’une source d’information, tout en **préservant** les clusters confirmés et en **permettant** l’émergence de combinaisons inédites. À aucun moment il n’est obligatoire de recommencer un **entraînement** exhaustif du réseau : la **dynamique** locale des pondérations $\{\omega_{i,j}\}$ assure la **réorganisation**

progressive, mettant en place ou dissolvant les **liaisons** selon l'opportunité détectée dans les données.

1.5.4.2. Lifelong Learning et Intégration de Nouvelles Entités

Dans de nombreux environnements dynamiques (robotique, systèmes d'information évolutifs, etc.), il est courant de rencontrer des **données** ou des **entités** inédites au fil du temps. Les réseaux neuronaux profonds classiques se heurtent alors à diverses difficultés : l'ajout d'une nouvelle fonctionnalité peut réclamer la création d'un **module** annexe et un **réentraînement**, parfois complet ou via un **fine-tuning**, avec le risque de compromettre l'équilibre établi. Il arrive aussi que l'on doive réorganiser l'architecture en profondeur, ce qui affecte la stabilité du modèle.

Le **Deep Synergy Learning (DSL)** propose une alternative plus organique. Pour incorporer une **entité** $\mathcal{E}_{\text{nouvelle}}$ correspondant à un nouveau flux de données, on se contente de l'**introduire** dans le graphe existant. Les pondérations la reliant à d'autres entités $\{\omega_{\text{nouvelle},i}\}$ s'ajustent alors en fonction de la synergie détectée. Si une **coopération** apparaît avantageuse, ces liens augmentent et conduisent à l'**insertion** naturelle de l'entité dans un cluster. Il n'est donc pas nécessaire de reconfigurer toute l'architecture : seules les connexions pertinentes se consolident.

Ce mécanisme autorise une **évolution progressive**. Les clusters formés antérieurement conservent leurs **liaisons** tant qu'ils procurent un **gain** : leurs synergies internes demeurent stables. Le réseau n'est pas obligé de sacrifier ses acquis pour introduire de nouvelles entités. Ainsi, on **atténue** le phénomène de "catastrophic forgetting" caractéristique des modèles neuronaux, lesquels risquent d'effacer de vieilles connaissances lorsqu'on leur enseigne de nouvelles tâches. Le DSL, lui, ne **remplace** pas brutalement un jeu de poids par un autre : il **réorganise** plutôt les connexions de manière **locally adaptative**, maintenant la pertinence des anciens clusters et accueillant dans le graphe toute entité inédite jugée utile.

1.5.4.3. Adaptation Continue aux Changements de Distribution

Dans un **réseau** neuronal traditionnel, lorsqu'apparaît un **changement de distribution** dans les données (par exemple l'évolution des conditions de capteurs ou l'apparition de nouvelles caractéristiques), il est souvent indispensable de **réentraîner** ou de **fine-tuner** le modèle, ce qui peut provoquer un ajustement délicat, risqué pour la stabilité ou la précision déjà acquises. En **Deep Synergy Learning (DSL)**, la situation se gère plus soupagement grâce à la **dynamique** auto-organisée qui régit la formation et la déliaison des connexions.

Au fil du temps, la **synergie** entre entités se réévalue en continu. Si un groupe de capteurs cesse de fournir une information fiable, les pondérations associées baissent (faible synergie), déconnectant progressivement l'entité devenue obsolète de la structure ; à l'inverse, si de nouvelles variables ou de nouvelles relations s'avèrent profitables, elles consolident leurs liaisons. Le réseau se remodèle donc de manière **locale**, sans nécessiter la rétropropagation globale ni un réapprentissage exhaustif.

Cette **localité** de la mise à jour, où chaque entité s'occupe prioritairement de ses **liens directs** (et s'ajuste indirectement via les liaisons d'autres entités), confère au **SCN** une forme de **dynamique distribuée**. Les nœuds décident eux-mêmes de renforcer ou d'affaiblir leurs coopérations, suivant

l'intérêt (synergie) rencontré, sans orchestration centrale. Le système **s'adapte** ainsi de manière fluide, maintenant une relative **stabilité** pour les groupes demeurant utiles, tout en acceptant l'insertion ou la réduction de connexions pour refléter l'évolution réelle de la **distribution** des données.

1.5.4.4. Comparaison avec l'Architecture Figée d'un Réseau Profond

Dans la majorité des **réseaux neuronaux** classiques (CNN, RNN, MLP, Transformer), l'entraînement s'effectue via **rétropropagation** sur un **ensemble de données** donné a priori, aboutissant à un **modèle** fini. Lorsque la distribution des données évolue ou qu'une nouvelle tâche survient, on se retrouve souvent contraint de réentraîner ou de fine-tuner l'architecture, avec un **risque** d'oubli des acquis précédents (catastrophic forgetting) et un **coût** en calcul potentiellement élevé. Cette rigidité résulte du fait que les **couches** et la **connectivité** du réseau demeurent invariables : les couches convolutionnelles ou self-attention restent fixes, et l'on n'a pas de mécanisme natif pour ajouter ou ôter des neurones ou des flux de données.

Le **Deep Synergy Learning (DSL)** propose une philosophie différente. La structure du **Synergistic Connection Network** est en **évolution continue**. Les entités \mathcal{E}_i peuvent mettre à jour leurs **représentations** internes \mathbf{x}_i , \mathbf{s}_i et les **liaisons** $\omega_{i,j}$ s'ajustent (ou se dissolvent) selon le niveau de **synergie**. On peut donc introduire une **nouvelle entité** lorsqu'un flux de données inédits émerge, ou en ôter une qui ne sert plus, sans devoir **réentraîner** le système dans son intégralité. L'**apprentissage** n'est pas un processus qui se clôt : le **réseau** conserve un état de plasticité lui permettant de **s'adapter** en continu aux transformations de l'environnement. Cette approche relève d'un véritable **lifelong learning**, affectant aussi bien les **paramètres** que la **topologie** du SCN. C'est précisément cette capacité de reconfiguration qui différencie la souplesse du **DSL** de la rigidité d'un réseau profond figé, et qui évite de longues phases de réapprentissage global ou de coûteux correctifs pour incorporer de nouveaux concepts ou signaux.

1.5.4.5. Exemples d'Application Pratique

Il existe plusieurs scénarios où l'**approche de Deep Synergy Learning (DSL)**, avec son **réseau** auto-organisé et ses liens **adaptatifs**, se révèle particulièrement puissante pour faciliter un **apprentissage continu**. On peut citer :

Dans un contexte de **robotique autonome**, l'environnement et les capteurs peuvent évoluer : la luminosité change, des obstacles inédits surviennent ou un nouveau type de capteur (caméra additionnelle, laser de plus longue portée) est introduit. Au sein d'un **SCN**, chaque capteur ou module de traitement est représenté par une **entité** ; s'il devient peu fiable (par exemple à cause du bruit), ses connexions ω s'affaiblissent naturellement, ce qui réduit son influence. Si un nouveau dispositif émerge, il suffit de l'ajouter comme nouvelle entité $\mathcal{E}_{\text{nouvelle}}$, et la **synergie** qu'il partage avec d'autres modules s'évaluera de façon autonome. Sans reconstruire l'architecture de zéro, le **DSL** réorganise les liaisons $\{\omega_{i,j}\}$ et **réalloue** l'importance de chaque capteur selon sa **fiabilité** ou sa pertinence pour la tâche courante.

Dans un **système de recommandation évolutif**, on accueille sans cesse de nouveaux utilisateurs et de nouveaux items (films, livres, produits...). Les méthodes classiques (collaborative filtering, par exemple) requièrent souvent un **réapprentissage** complet ou un “retrouage” à intervalles réguliers. Un **DSL**, quant à lui, peut “brancher” toute entité \mathcal{E}_{new} (nouvel utilisateur ou nouvel objet) au **réseau**, laissant la dynamique de **synergie** ajuster les connexions $\omega_{\text{new}, \dots}$. Les liens vers des utilisateurs ou items similaires se verront renforcés au fil des interactions, formant un **cluster** autour de la nouvelle entité. Le coût de recalcul demeure local, et le **réseau** évolue en continu, sans nécessiter un réentraînement global.

Dans l’**analyse contextuelle** (par exemple l’observation de flux de données urbaines ou sociales), la **distribution** peut changer selon l’heure de la journée, la saison, ou les événements. Un réseau traditionnel devrait incorporer différents “régimes” ou recalculer ses poids quand on bascule de “jour” à “nuit” ou d’“hiver” à “été”. Dans un **SCN**, les **clusters** pertinents se forment pour un contexte donné, puis les pondérations ω se réactualisent quand le contexte se modifie. Certains sous-groupes se dissolvent si la synergie n’est plus présente, d’autres réapparaissent, et le **DSL** peut ainsi commuter de manière fluide d’un **cluster** à l’autre en fonction de la situation, sans devoir se relancer dans un **apprentissage** lourd.

Conclusion

Le **potentiel d’auto-évolution** et d’**adaptation continue** du DSL le dote d’une **plasticité** rarement vue dans les architectures d’apprentissage classiques. Son **paradigme** :

- **Ne gèle pas** les liens après entraînement,
- **Accepte** l’arrivée de nouvelles entités ou la disparition d’entités obsolètes,
- **Réajuste** la structure pour épouser l’évolution des données ou du contexte,
- **Garantit** la conservation de l’existant (évite l’oubli brutal) s’il reste utile.

Cette **flexibilité** soutient une vision “**lifelong learning**” où le réseau se maintient en **auto-organisation** permanente, capable d’absorber et d’exploiter des changements de distribution ou des sources inédites. On verra, dans les prochaines sections (1.5.5 à 1.5.7), d’autres arguments majeurs pour une approche synergique (diminution de la supervision, représentations plus riches, intégration de dimensions symboliques).

1.5.5. Réduction de la Dépendance à la Supervision Humaine

Au-delà de la multi-modalité (1.5.2), de la gestion des données incomplètes (1.5.3) et de l’adaptation continue (1.5.4), un autre avantage essentiel du **Deep Synergy Learning (DSL)** réside dans sa **relative autonomie** vis-à-vis d’une supervision humaine intensive. Les méthodes traditionnelles de l’IA, notamment les réseaux neuronaux profonds, reposent souvent sur l’accès à d’importants **jeux de données labellisés**, et requièrent un entraînement supervisé (ou semi-supervisé) afin d’ajuster des poids internes. Or :

- Préparer ces labels ou configurations peut être très **coûteux** et **chronophage**,
- L'absence de labels, ou la nécessité d'un apprentissage plus **auto-dirigé**, se fait de plus en plus ressentir dans des contextes réels (big data non étiqueté, environnements inconnus, etc.).

Le **DSL**, du fait qu'il encourage des **relations auto-organisées** entre entités, apporte des mécanismes intrinsèques pouvant réduire la besoin d'étiquettes externes. Cette section (1.5.5) explique :

Comment le DSL peut s'**auto-structurer** en s'appuyant sur la synergie plutôt que sur un label,

En quoi cela diminue la **dépendance** à la supervision,

Quelles **implications** pour l'IA autonome ou non supervisée.

1.5.5.1. L'Auto-Organisation sans Label

Dans les paradigmes d'**apprentissage supervisé**, on dispose en général pour chaque donnée \mathbf{x} d'un **label** y (classe, valeur numérique à prédire), et l'entraînement consiste à **minimiser** une fonction de coût $\mathcal{L}(f_{\theta}(\mathbf{x}), y)$. On **ajuste** alors les poids du réseau neuronal pour améliorer la correspondance entre l'entrée \mathbf{x} et la sortie souhaitée y .

Dans le **Deep Synergy Learning (DSL)**, la dynamique s'appuie sur la **synergie** entre paires d'entités \mathcal{E}_i et \mathcal{E}_j . On définit une quantité $S(\mathcal{E}_i, \mathcal{E}_j)$ qui mesure le **gain** (ou la complémentarité) qu'elles retirent de leur coopération. Cette fonction de synergie peut reposer sur une **distance** ou une **similarité**, sur la **co-information** en théorie de l'information, ou encore sur tout **critère** mesurant l'utilité mutuelle. Dans un **réseau** purement non supervisé, on ne dispose d'aucune annotation : la **structure** émerge alors de la manière dont les entités s'**agrègent** ou se **séparent** en fonction de leur synergie locale. Un **objectif** global, le cas échéant, peut exister si un signal partiel ou une contrainte externe oriente la cohérence, mais il n'est pas obligatoire. L'auto-organisation résulte de la **conjonction** des ajustements locaux, sans référence à un label y .

Cette logique se reflète dans la **formation** de clusters (section 1.4.3). Les entités se regroupent par **renforcement** de leurs connexions si elles détectent un **gain**, et se dissocient sinon. Il n'est pas nécessaire de leur **imposer** des étiquettes comme "classe C1" ou "classe C2" : elles se rassemblent d'elles-mêmes, **non supervisées**, autour de la synergie perçue. Le processus aboutit à un **clustering** naturel, que l'on peut ensuite interpréter comme un groupement de similarités ou de dépendances, et qui peut se révéler **faiblement supervisé** si l'on dispose, en parallèle, de quelques **signaux** ou **contraintes** externes. Dans ce cadre, le **DSL** encourage un **apprentissage local** des coopérations, structurant le **Synergistic Connection Network** sans recourir à un label global pour chaque exemple.

1.5.5.2. Quand un Signal de Supervision Existe...

Le **Deep Synergy Learning (DSL)** n'exclut pas l'éventualité de **labels** ou d'**objectifs** supervisés. Au contraire, il est tout à fait envisageable de disposer d'un **objectif** supervisé pour prédire un label y , tout en conservant le mécanisme d'**auto-organisation** qui ajuste les liens $\omega_{i,j}$ en fonction de la synergie. Dans ce scénario, le **DSL** cohabite avec un algorithme de rétropropagation ou d'autre forme de supervision, mais n'est pas entièrement asservi à cet unique signal étiqueté.

Concrètement, on peut imaginer qu'un **objectif** tel que la minimisation d'une fonction de perte $\mathcal{L}(f_\theta(\mathbf{x}), y)$ se déroule en parallèle de la **dynamique** locale guidée par la synergie. Les **liaisons** $\omega_{i,j}(t)$ poursuivent la règle adaptative (section 1.4.5), tandis que le **label** y n'intervient que pour évaluer la cohérence globale ou orienter certains choix de structure. Une partie du réseau peut ainsi se spécialiser dans la tâche supervisée, la **synergie** jouant un rôle déterminant dans l'**organisation** des entités restantes.

Cette architecture présente un **double** bénéfice. D'abord, l'**auto-organisation** ne dépend pas nécessairement du label y , ce qui autorise un fonctionnement **semi-supervisé** ou même **non supervisé** : la plupart des liaisons $\omega_{i,j}$ se mettent en place en fonction de la **coopération** intrinsèque, et l'objectif supervisé n'est mobilisé qu'en appoint. Ensuite, si le nombre de labels est **limité**, l'apprentissage reste largement alimenté par la **synergie** interne, évitant la nécessité de disposer d'un jeu de données richement annoté. Le **réseau** peut ainsi, en un premier temps, **structurer** ses entités par pure auto-organisation, puis tirer parti de quelques **labels** additionnels pour affiner la prédiction d'une variable ou la détection d'anomalies.

L'important est que les **labels**, quand ils existent, ne contrôlent pas toutes les **liaisons** du réseau. Seule une fraction des entités ou des connexions peut être orientée par la performance supervisée, tandis que les **clusters** naissent en grande partie de la **synergie** (sections 1.4.3 et 1.4.4). Le réseau se montre donc apte à **apprendre** et **s'adapter** via son auto-organisation, puis à **exploiter** un signal supervisé pour ajuster un module final ou un sous-ensemble d'entités, évitant ainsi la contrainte d'une rétropropagation exhaustive sur toute l'architecture.

1.5.5.3. Exemple : Découverte Spontanée de Catégories

Pour illustrer la manière dont un **Deep Synergy Learning (DSL)** peut structurer les données **sans** s'appuyer sur des labels explicites, on peut considérer un ensemble de **documents** non annotés. Chaque document est alors représenté par un **embedding** ou un **bag-of-words**. Dans le **Synergistic Connection Network**, on introduit autant d'**entités** \mathcal{E}_{doc} que de documents, en laissant le mécanisme de **synergie** déterminer comment ces entités se relient.

Les entités commencent par **évaluer** leur proximité ou leur complémentarité : des vecteurs \mathbf{x}_{doc} partageant des thèmes (mots récurrents, vocabulaire semblable, distributions de topics) peuvent afficher une **synergie** notable. Les pondérations $\omega_{i,j}$ entre entités se renforcent si la **similarité** est jugée élevée, ou si la co-information (section 1.4.4) révèle un **gain** dans la mise en commun de leurs contenus. Progressivement, un ou plusieurs **clusters** apparaissent, chaque cluster rassemblant des documents sur des sujets proches, sans qu'on ait besoin de spécifier de labels ou de classes. Ainsi, certains regroupements peuvent porter sur la **politique**, d'autres sur le **sport**, d'autres encore sur la **santé**, mais rien n'impose que le DSL les nomme ou les identifie explicitement.

Si, plus tard, un **expert** fournit quelques **labels** indiquant, par exemple, qu'un certain cluster correspond au domaine sportif, on n'a pas besoin d'annoter l'**intégralité** des documents. Le **DSL** s'était déjà **auto-organisé** en clusters cohérents : il suffit de "**taguer**" postérieurement la communauté d'entités concernée. Ce procédé montre comment un système **non supervisé** ou **faiblement supervisé** peut accomplir une **structuration** fine des données, sur laquelle un label partiel ne fait qu'ajouter un niveau de **description** plus explicite. Les sections antérieures (1.4.3, 1.5.5.1 et 1.5.5.2) soulignent ainsi la flexibilité du DSL pour fonctionner dans des contextes sans labels, tout en permettant une intégration de signaux supervisés quand ils existent.

1.5.5.4. Vers une IA plus Autonome

Les **interactions indirectes** (discutées en section 1.4.6) font en sorte qu'une entité peut être **influencée** par une autre, même en l'absence de lien direct, via des chemins de coopération au sein du **Synergistic Connection Network**. Ce mécanisme enrichit le potentiel d'**auto-découverte** de catégories ou de concepts de manière **non supervisée**, puisque l'information peut circuler librement à travers divers **chemins**, et les **clusters** émergent en valorisant l'intégralité des signaux disponibles.

Dans une perspective de **IA** plus générale, appelée à affronter des **domaines inconnus** et des **contextes** évolutifs, la **réduction** du besoin de supervision revêt un caractère décisif. Le **Deep Synergy Learning (DSL)**, en misant sur un **apprentissage local** et **continu**, se montre apte à fonctionner avec des annotations partielles ou inexistantes, tout en conservant la capacité de **structurer** et **organiser** les entités. Il s'agit d'une étape vers une IA plus autonome, qui, sans nécessité d'un étiquetage exhaustif ou de guides fortement supervisés, s'adapte aux environnements **faiblement annotés** (voire non annotés) et continue à explorer la structure interne des données pour faire émerger **concepts** et **catégories** spontanément.

1.5.5.5. Limites et Solutions Partielles

Le **Deep Synergy Learning (DSL)** ne s'appuie pas massivement sur les **labels**, ce qui lui confère une grande liberté dans la formation des **clusters** et dans la découverte de structures internes. Néanmoins, un **petit** signal externe, issu par exemple d'une **semi-supervision**, peut être requis lorsque l'on souhaite orienter la **dynamique** vers des objectifs spécifiques. Sans cette impulsion, le réseau se contente de former des groupes qui font sens pour les données elles-mêmes, sans garantir qu'ils correspondent aux besoins d'une application particulière. Il peut arriver que les clusters, très cohérents sous un angle statistique, ne concordent pas avec la segmentation ou les catégories souhaitées par l'utilisateur.

L'**auto-organisation** peut en effet aboutir à des **partitions** intrinsèquement pertinentes, mais qui ne recouvrent pas exactement les **objectifs** fixés en pratique. Pour rectifier ce phénomène, il est possible d'introduire un **minimum** de **contraintes** ou de **labels** annotés, lesquels jouent le rôle de **pénalités** ou de **feedback** dans la mise à jour des liaisons $\{\omega_{i,j}(t)\}$. De la sorte, le DSL ne se limite plus à la seule synergie intrinsèque, mais tient également compte de la finalité appliquée (une tâche métier, une classification imposée), ce qui oriente plus étroitement la **constitution** des clusters.

La **complexité** du calcul de la synergie, surtout pour des données brutes très dimensionnelles, constitue un autre défi. Dans certains cas, on envisage des mesures plus poussées telles que la **co-information** ou la **Partial Information Decomposition** (sections 1.4.4 et 1.4.7), dont l'estimation peut s'avérer lourde. Des **estimateurs** non paramétriques requièrent souvent un échantillonnage important et des ressources conséquentes. Il est alors crucial de se doter de **stratégies** d'approximation ou d'**échantillonnage** (sampling parcimonieux, heuristiques de calcul) pour maintenir la faisabilité sur des volumes de données massifs (big data). Cette solution, certes partielle, demeure incontournable si l'on veut étendre le **DSL** à des scénarios industriels exigeants, tout en préservant un **coût** de calcul acceptable.

Conclusion

Le **Deep Synergy Learning** offre un **cadre** qui diminue la **dépendance** à la **supervision humaine** en se basant principalement sur :

- Des **fonctions de synergie** (distance, similarité, information mutuelle, etc.) pour guider la structuration,
- Une **auto-organisation** où les entités coopèrent ou se séparent localement,
- La possibilité d'un **apprentissage** non supervisé, ou faiblement supervisé, via la croissance / décroissance des pondérations $\omega_{i,j}$.

Cette **indépendance** accrue vis-à-vis d'un étiquetage exhaustif, couplée à la **plasticité** et à l'**adaptation continue** (1.5.4), fait du DSL un **candidat** privilégié pour les systèmes d'IA évolutifs, explorant des environnements peu annotés ou devant se reconfigurer en permanence. Par la suite (1.5.6, 1.5.7), nous verrons comment cette approche peut encore être renforcée pour créer des représentations **riches** et éventuellement **cognitives**, en incorporant des idées de **conceptualisation** ou de **symbolique**.

1.5.6. Création de Représentations Riches et plus Interprétables

En plus de la **réduction de la dépendance à la supervision** (1.5.5), le **Deep Synergy Learning (DSL)** présente un avantage notable pour la **création de représentations** à la fois **riches** et **interprétables**. Contrairement aux réseaux neuronaux profonds classiques, qui produisent souvent des représentations "boîte noire" difficilement explicables, le DSL mise sur l'**auto-organisation** et la **coopération** entre entités d'information, ce qui peut aboutir à des structures internes (clusters, macro-clusters, liens synergiques) plus compréhensibles pour un humain. Cette section (1.5.6) met en évidence :

- j) **Pourquoi** la synergie favorise l'émergence de **représentations complexes**,
- k) Comment le principe de **clusters** ou de **macro-clusters** rend l'organisation plus **lisible**,
- l) En quoi le DSL peut faciliter l'**interprétabilité** par rapport aux architectures profondes traditionnelles.

1.5.6.1. Logique “par Entités” plutôt que “en Couches Opaques”

Dans les **réseaux neuronaux profonds** (CNN, RNN, Transformers...), la **représentation** interne s’étage à travers plusieurs **couches** successives de transformations non linéaires. Malgré certaines avancées, telles que la visualisation de **filtres** dans un CNN ou l’analyse de **matrices d’attention** dans un Transformer, comprendre comment le réseau aboutit à sa décision globale demeure un défi majeur. Les poids ne sont pas naturellement groupés sous forme de blocs “légibles” et, hors du cadre spécifique d’un neurone ou d’une couche, il est difficile de rattacher un sous-ensemble de paramètres à un **concept** clairement identifiable. Les techniques d’**interprétabilité** (comme Grad-CAM ou LIME) tentent de mettre en évidence l’influence de certains pixels ou de certaines dimensions, mais elles proposent souvent des **heuristiques** ne fournissant pas nécessairement une vue d’ensemble de la logique interne.

Le **Deep Synergy Learning (DSL)** adopte une approche sensiblement différente en structurant l’information autour d’**entités** (nœuds du **Synergistic Connection Network**). Chaque entité peut représenter un **flux sensoriel** ou un **descripteur** plus abstrait (embedding, concept partiel). Les **liaisons** entre entités indiquent la **synergie** détectée, c’est-à-dire la plus-value mutuelle de leur coopération. Ainsi, la représentation n’est plus seulement un pipeline linéaire ou une série de couches opaques : elle se formalise comme un **graphe** de modules où l’on identifie plus aisément les fragments d’information et où l’on constate quelles entités collaborent avec quelles autres. Les **clusters** qui émergent se trouvent alors naturellement interprétables : un sous-groupe peut regrouper la “détection de visages” (vision), l’“audio de voix” (son) et un “module de reconnaissance textuelle” (parole transformée en mots-clés), offrant un tableau beaucoup plus modulaire et segmenté qu’un simple empilement de couches neuronales classiques.

Cette logique “par entités” rend donc la représentation moins opaque : on sait, au sein du **SCN**, quelles entités existent, quelles sont leurs fonctions ou données principales et comment elles s’**agencent** via les pondérations de synergie. Le **DSL** propose ainsi un degré d’**explicabilité** supplémentaire, puisque la structure d’ensemble apparaît comme un **réseau** plus proche d’une **cartographie** du flux d’information, plutôt qu’un empilement difficile à démêler d’unités et de poids dispersés.

1.5.6.2. Clusters et Macro-Clusters comme Briques de Sens

Dans le **Deep Synergy Learning (DSL)**, lorsqu’un **cluster** d’entités se forme (section 1.4.3), il peut refléter un **concept** ou un **thème** commun aux données. Imaginons un **cluster** multimodal $\{\mathcal{E}_{\text{image}}, \mathcal{E}_{\text{audio}}, \mathcal{E}_{\text{texte}}\}$ qui se spécialise dans la détection d’un “événement conférence” parce que l’entité image renvoie à une scène d’orateur faisant face à un public, l’entité audio capture un bruit de voix ou d’applaudissements, et l’entité texte détecte des mots comme “bienvenue” ou “question”. La **cohérence** ainsi dégagée à l’intérieur du cluster n’est pas un simple effet de poids numériques : on sait **quelles** entités s’agrègent, **pourquoi** (à travers la synergie évaluée localement), et cela confère à l’ensemble une **lisibilité** accrue.

Du point de vue de l’**explicabilité** ou de l’“Explainable AI”, un **cluster** dans le **Synergistic Connection Network** n’équivaut pas à un bloc opaque de neurones comme dans un réseau profond

traditionnel. Il s'agit plutôt d'un **sous-graphe** composé d'entités portant une signification distincte (capteurs visuels, flux audio, modules textuels, ou encore vecteurs symboliques...). Les **liaisons synergiques** $\omega_{i,j}$ reflètent la force de leur coopération : on peut par exemple examiner la distribution de la co-information ou de la similarité entre chaque paire. Les regroupements (macro-clusters) où plusieurs clusters se **fusionnent** indiquent qu'un ensemble plus large d'entités se renforcent réciproquement dans leur coopération. Dans un **contexte e-commerce**, on pourrait alors voir un macro-cluster associer plusieurs catégories de produits, des groupes d'utilisateurs et des attributs de profil, dessinant un **sous-réseau** particulièrement actif et riche en **synergie**.

Ces **briques** (clusters, macro-clusters) constituent autant de **modules** que l'on peut **interpréter** et **commenter** : chaque entité, de par son lien avec un flux de données ou un vecteur caractéristique particulier, donne un **ancrage** explicite à son rôle. Les liens montrent la proportion de **synergie** interne, et le **DSL** scinde le graphe global en plusieurs **sous-ensembles** correspondant à des **concepts** ou **sujets**. Cette granularité rend la représentation plus modulaire, invitant à un examen plus détaillé de l'organisation du réseau et offrant des pistes de justification plus tangibles que la simple consultation de poids dans une couche neuronale abstraite.

1.5.6.3. Représentations Multiples et Non Linéaires

Le **Deep Synergy Learning (DSL)** ne se borne pas à des représentations linéaires ou statiques. Au contraire, chaque entité \mathcal{E}_i peut conserver une **représentation interne** $\mathbf{x}_i(t)$ ou $\mathbf{s}_i(t)$ qui évolue au fil du temps, ou être associée à un petit réseau neuronal local (par exemple un autoencodeur) calculant

$$\mathbf{x}_i(t+1) = F_i(\mathbf{x}_i(t), \{\omega_{i,k}(t)\}, \dots).$$

La **non-linéarité** inhérente à ce type de module (RNN local, MLP, autoencodeur) élargit considérablement l'espace des **représentations** envisageables, comparativement à un simple cadre vectoriel fixe. Les entités peuvent ainsi affiner leurs **features** internes ou leurs **états** \mathbf{s}_i , tout en mettant à jour leurs **liaisons** $\omega_{i,j}(t)$ d'après la **synergie** nouvellement constatée. Cette approche ne constitue pas un pipeline rigide : chaque entité, considérée comme un bloc fonctionnel autonome, maintient sa propre logique d'évolution, tandis que la **synergie** $S(\mathcal{E}_i, \mathcal{E}_j)$ se réévalue localement.

Si deux entités en viennent à **coïncider** fortement (en partageant des représentations très similaires ou très complémentaires), leurs pondérations $\omega_{i,j}$ peuvent atteindre un niveau **saturé**, conduisant potentiellement à une **fusion** (au sens de la fusion de clusters, section 1.4.3). Inversement, d'autres entités peuvent demeurer **indépendantes**, préférant garder leurs liaisons minimales. Le résultat global est une **représentation** dite "multi-foyers", où plusieurs **clusters** se spécialisent dans des sous-ensembles de la tâche ou des données. Chacun possède son propre noyau fonctionnel, et ils coopèrent occasionnellement si la **synergie** l'exige. Cette organisation **modulaire** tranche avec un réseau profond monolithique dans lequel toutes les informations finissent entremêlées au sein de couches successives. Elle favorise un **équilibre** entre la **richesse** (via la non-linéarité) et la **lisibilité** (chaque entité reste limitée à un bloc fonctionnel clairement cerné), tout en laissant l'auto-organisation diriger la consolidation ou la séparation des diverses composantes.

1.5.6.4. Comparaison avec l'Explicabilité dans les Réseaux Profonds

Dans les approches classiques d'**explainability** appliquées aux réseaux neuronaux profonds (CNN, Transformers, etc.), il est habituel de recourir à des méthodes “post-hoc”, comme la visualisation d'**activation maps**, l'explication locale (LIME, SHAP) ou l'examen des **attention maps** dans un Transformer. Ces techniques fournissent un aperçu de la raison pour laquelle le réseau met en avant tel pixel, telle dimension ou tel token, mais elles ne suppriment pas pour autant le caractère opaque de la structure interne. Un CNN reste un empilement de couches, au sein desquelles la signification des poids demeure largement cachée, et un Transformer recèle une superposition de blocs d'attention dont la lisibilité globale n'est pas toujours aisée.

Le **Deep Synergy Learning (DSL)** offre une **explication intrinsèque** plus directe, car l'information s'organise en entités reliées par des **liaisons** $\omega_{i,j}$ qui traduisent la synergie entre ces entités. Le graphe obtenu est alors lisible : on distingue les **clusters** et macro-clusters correspondant à des groupes d'entités coopératives, et chaque entité garde une identité claire (modalité, bloc fonctionnel, concept partiel). L'utilisateur peut examiner un cluster \mathcal{C} pour déterminer quelles entités le composent, quelles caractéristiques portent chacune, comment se distribuent les pondérations $\omega_{i,j}$. De là, il est possible de déduire la logique d'assemblage : on voit, par exemple, qu'un sous-graphe associe la détection de panneaux de signalisation à l'enregistrement de la vitesse et au suivi de la trajectoire, ce qui éclaire la raison d'être de ce regroupement. Un tel niveau de transparence demeure rarement accessible dans un réseau profond standard, où l'on ne peut guère rattacher des ensembles de neurones internes à une fonction ou à un concept identifié, si ce n'est par l'ajout ultérieur d'artifices explicatifs. Le DSL rend la structure explicite et modulable, montrant clairement **qui** coopère avec **qui**, et dans quelle mesure, par l'intermédiaire de pondérations synergiques réparties sur l'ensemble du **Synergistic Connection Network**.

1.5.6.5. Exemple d'Application : Représentation Sémantique Évolutive

Dans un **agent conversationnel**, plusieurs **entités** peuvent correspondre à différents volets de l'interaction : ainsi, une entité $\mathcal{E}_{\text{linguistique}}$ traite la compréhension du langage, une entité $\mathcal{E}_{\text{contexte}}$ se réfère aux informations contextuelles (heure, lieu, historique de conversation), et une entité $\mathcal{E}_{\text{profil utilisateur}}$ incarne les préférences ou les caractéristiques de l'utilisateur. Au fil des échanges, les synergies entre ces composantes peuvent croître lorsque, par exemple, le $\mathcal{E}_{\text{profil}}$ apporte des indices qui concordent avec $\mathcal{E}_{\text{linguistique}}$. Le **DSL** favorise alors la formation d'un **cluster** $\{\mathcal{E}_{\text{ling}}, \mathcal{E}_{\text{contexte}}, \mathcal{E}_{\text{profil}}\}$ dont la **coopération** explicite se traduit par la hausse des pondérations $\omega_{i,j}$. Il en résulte un “sous-modèle” sémantique plus clair, articulé autour des thèmes, des intentions ou des préférences récurrentes du locuteur. En examinant la façon dont les liens se sont construits, on peut identifier les **topics** qui émergent et comprendre comment s'est bâtie cette synergie.

Dans un autre registre, l'**analyse d'images documentaires** peut tirer profit de ce principe. Certaines **entités** $\mathcal{E}_{\text{patch}}$ décrivent les patches ou segments visuels (éléments d'architecture, styles picturaux), alors que d'autres entités regroupent des **mots-clés** extraits de légendes ou de métadonnées, ou encore des **concepts** plus abstraits liés à une époque ou un auteur. Il se crée ainsi un **cluster** combinant, par exemple, un patch visuel P1, un ensemble de mots-clés M2 et une entité conceptuelle C3 qui indique la période médiévale. L'auto-organisation du **Synergistic Connection Network** montre que la **co-information** est élevée : les motifs visuels rappellent l'architecture

gothique, les mots-clés renvoient à un style médiéval, et la dimension conceptuelle (C3) représente cet intervalle historique. La **coopération** entre ces entités confère une **lisibilité** accrue : on identifie un regroupement signifiant « document archéologique médiéval » sans avoir dû imposer de règle au préalable. Le **DSL** opère donc comme un **pilier** sémantique dynamique, consolidant les liens lorsqu'il perçoit un bénéfice mutuel et autorisant une **représentation** riche et modulable.

Conclusion

La **création de représentations riches et plus interprétables** fait partie des **points forts** du DSL, grâce à :

- Son **organisation par entités** (nœuds clairs, porteurs d'une modalité ou d'une fonction),
- Sa **clusterisation** auto-organisée, permettant d'identifier *qui* coopère avec *qui*,
- La **possibilité** d'observer directement les liaisons $\omega_{i,j}$ et leurs pondérations,
- Un **niveau de modularité** qui dépasse l'approche "monobloc" des réseaux neuronaux profonds.

De ce fait, le DSL se prête mieux à des besoins de **transparence**, de **compréhension** et de **diagnostic**. Couplée aux atouts précédents (multi-modalité, gestion du bruit, adaptation continue, moindre dépendance à la supervision), cette caractéristique renforce l'idée que l'approche synergique peut offrir une **IA plus agile**, pouvant aboutir à des **configurations** internes plus **accessibles** à l'analyse humaine. Dans la dernière section (1.5.7), nous verrons un autre aspect crucial : l'**intégration de dimensions symboliques** ou **cognitives** dans un cadre DSL, promettant une forme encore plus avancée d'**IA unifiée**.

1.5.7. Intégration de Dimensions Symboliques ou Cognitives

Les sections précédentes (1.5.1 à 1.5.6) ont souligné diverses forces du **Deep Synergy Learning (DSL)**, telles que la **capacité à gérer la multi-modalité**, à **s'adapter** en continu, ou à **créer** des représentations plus **lisibles**. Un autre point capital, souvent abordé dans l'IA contemporaine, est la possibilité de **mélanger** des composantes **sub-symboliques** (issues des méthodes connexionnistes) et des composantes **symboliques** (notions logiques, sémantiques, règles expertes). Alors que les réseaux neuronaux profonds "classiques" ont généralement peiné à intégrer ces dimensions symboliques, le **DSL**, par sa structure en entités et liens synergiques, peut être un **cadre** propice pour unir symbolique et sub-symbolique.

Cette section (1.5.7) explique :

Comment le DSL autorise l'**introduction** d'entités à **portée symbolique** (règles, concepts, modèles cognitifs),

Pourquoi cette intégration est **plus fluide** que dans un réseau hiérarchique figé,

Les **applications** possibles (raisonnement, inférence, cognition proche de l'humain),

Les **défis** mathématiques associés à la cohabitation de ces deux modes de représentation.

1.5.7.1. Aperçu des Approches Symboliques et Connexionnistes en IA

Dans le domaine de l'**IA**, deux grands courants se distinguent historiquement. Le premier, souvent qualifié de **IA symbolique**, s'appuie sur des **représentations logiques** et des **moteurs d'inférence** capables de manipuler des symboles pour résoudre des problèmes. Cette approche offre une **explicabilité** naturelle, car les **règles logiques** sont décrites dans un langage clair et les chaînes de raisonnement peuvent être retracées. Il en découle une forme de **transparence** : on peut savoir précisément pourquoi une conclusion a été tirée. Cependant, ce paradigme symbolique se heurte à plusieurs limites. Il gère mal l'**incertitude** et se révèle peu adapté à l'**apprentissage** automatique à partir de données massives ou bruitées. L'idée d'extraire directement des **motifs** complexes d'un grand ensemble d'observations, sans intervention humaine pour écrire les règles, demeure délicate dans ce cadre.

À l'opposé, les méthodes **connexionnistes**, dont les **réseaux neuronaux** constituent l'archétype, excellent dans l'**apprentissage** à partir de larges volumes de données hétérogènes. Elles reposent sur des **paramètres** réels ajustés par descente de gradient ou par d'autres algorithmes, permettant de capturer des régularités complexes dans l'**espace** des entrées. L'exemple canonique est la classification d'images, où un réseau convolutif identifie des motifs tout en s'ajustant aux écarts et aux bruits des données. Toutefois, ce cadre connexionniste se heurte à une **opacité** interne, souvent résumée par l'expression "boîte noire". Les poids et activations qui conduisent à la décision sont difficiles à **expliquer**, et la notion de **règles logiques** ou de **concepts** abstraits y est absente dans la formulation de base. Il n'existe pas de mécanisme formel de **raisonnement** symbolique, ni de vérification de **cohérence** par rapport à un ensemble de connaissances explicites.

Dans les sections suivantes, le **Deep Synergy Learning (DSL)** sera envisagé comme un **cadre unificateur** susceptible d'exploiter les forces des deux approches. L'accent sera mis sur la manière de tirer parti de la **plasticité** et de la **puissance** d'apprentissage sub-symbolique tout en intégrant, au sein d'un **Synergistic Connection Network**, des **entités** représentant des **règles** ou **concepts** symboliques. Ainsi, on peut espérer concilier l'**adaptation** continue des réseaux neuronaux avec la **lisibilité** et la **transparence** associées aux logiques symboliques.

1.5.7.2. Principes d'une Approche Hybride Symbolique-Connexionniste

Dans la continuité des sections précédentes, et en particulier au regard des principes généraux du **Deep Synergy Learning (DSL)**, on constate que les approches **symboliques** et **sub-symboliques** apparaissent de plus en plus **complémentaires**. Les récentes avancées en **IA** soulignent cette complémentarité : d'un côté, les méthodes sub-symboliques (réseaux neuronaux classiques, **DSL** et paradigmes voisins) démontrent une **puissance d'apprentissage** remarquable lorsqu'il s'agit de traiter de grandes quantités de données, ou d'extraire des **caractéristiques** non triviales dans un **espace** de dimension élevée. De l'autre, les méthodes symboliques (appuyées sur des **logiques**, des **règles** et des **ontologies**) assurent une **rigueur** et une **explicabilité** supérieures, notamment lorsqu'il convient de formuler des raisonnements structurés ou de décrire des **connaissances** de manière **interprétable**.

La question est donc de **concevoir** une architecture **hybride** qui mobilise simultanément la **puissance d'apprentissage** sub-symbolique et la **cohérence symbolique**. Dans le cadre d'un **Synergistic Connection Network (SCN)** tel que défini dans les sections précédentes, il est possible d'**introduire** des entités de différents types. Il est ainsi envisageable de faire cohabiter des **entités** $\mathcal{E}_{\text{symb}}$ représentant des **concepts logiques**, des **règles formelles**, ou des **faits** structurés, et des **entités** $\mathcal{E}_{\text{data}}$ se fondant sur des **vecteurs sub-symboliques** $\mathbf{x}_i \in \mathbb{R}^d$. On peut imaginer que la représentation symbolique contienne des énoncés tels que « Un véhicule se déplace sur roues » ou « Si la température excède 100\text{ }^\circ\text{C}, on suspecte une surchauffe », tandis que la partie sub-symbolique gère des **flux de données** (images, séries temporelles, signaux sensoriels) ou des **features** issues de réseaux de neurones.

Dans cette optique, on peut noter $\mathcal{E}_{\text{symb}}$ pour une **entité symbolique** et $\mathcal{E}_{\text{data}}$ pour une **entité sub-symbolique**. La **pondération** $\omega_{\text{symb,data}}(t)$ s'adapte alors par la règle classique du **DSL** :

$$\omega_{\text{symb,data}}(t+1) = \omega_{\text{symb,data}}(t) + \eta [S(\mathcal{E}_{\text{symb}}, \mathcal{E}_{\text{data}}) - \tau \omega_{\text{symb,data}}(t)],$$

où la **synergie** $S(\mathcal{E}_{\text{symb}}, \mathcal{E}_{\text{data}})$ traduit à quel point la **règle** ou le **concept** véhiculé par $\mathcal{E}_{\text{symb}}$ s'applique utilement au **contenu** sub-symbolique porté par $\mathcal{E}_{\text{data}}$. La valeur de S peut tenir compte du **taux de succès** lors de la confrontation aux données, ou évaluer la **compatibilité** sémantique entre la règle symbolique et les caractéristiques identifiées dans le **flux sub-symbolique**.

On peut approfondir cette **coopération** à l'aide de **formules** décrivant la mise en correspondance entre un **concept** symbolique et des **features** extraites. Par exemple, on peut écrire :

$$S(\mathcal{E}_{\text{symb}}, \mathcal{E}_{\text{data}}) = \text{score}(\text{matching}(\text{rules}(\mathcal{E}_{\text{symb}}), \mathbf{x}_{\text{data}})),$$

où $\text{rules}(\mathcal{E}_{\text{symb}})$ dénote l'ensemble des règles ou faits associés à la représentation symbolique, et \mathbf{x}_{data} la **représentation vectorielle** de l'entité sub-symbolique. La fonction matching évalue la cohérence entre la **logique symbolique** et les **observations** sub-symboliques, et score traduit le **gain** ou la **conformité** obtenu.

Dans cette approche **hybride**, il y a un **avantage** notable. Le réseau **auto-organisé** du DSL peut **identifier** quelles **règles** ou **concepts** sont les plus pertinents pour tel **type de données**, sans nécessiter une supervision massive. Les entités symboliques, en s'activant sur certaines conditions, peuvent **expliquer** plus aisément les **décisions** ou **groupements** effectués. La **transparence** s'en trouve améliorée : si la **pondération** $\omega_{\text{symb,data}}$ monte en régime, cela indique que la règle symbolique s'applique fréquemment et avec succès à la modalité de données considérée.

La **limite** principale repose sur la **cohérence** nécessaire entre la **logique** et les **données**. L'entité symbolique doit être suffisamment bien définie et adaptée à la réalité sub-symbolique ; en cas de décalage, la pondération associée risque de rester faible, rendant la règle peu intégrée. Sur le plan de l'implémentation, il faut également gérer la **complexité** liée à l'activation symbolique, potentiellement coûteuse s'il faut évaluer de nombreuses règles sur un flux volumineux de données.

Dans ce **paradigme**, la **puissance** du **DSL** demeure intacte. Le **réseau** conserve sa capacité à se **reconfigurer en continu**, en **renforçant** ou en **affaiblissant** dynamiquement les **liaisons** entre **entités symboliques et sub-symboliques**, selon la **synergie** détectée. Cette **adaptabilité structurelle** permet au **système** d'évoluer sans dépendre d'une **architecture figée**, optimisant ainsi

l'**intégration** et l'**exploitation** des **informations** en fonction du **contexte**. En parallèle, les entités symboliques aident à **structurer** le raisonnement et à **rendre compte** de la logique sous-jacente, contribuant à l'**explicabilité** du système final. C'est cette double souplesse qui, dans la ligne de ce chapitre (section 1.5.7.2), semble prometteuse pour de nombreuses applications, allant de la **robotique cognitive** à l'**intégration** de vastes **bases de connaissances** et de **flux sensoriels**.

1.5.7.3. Mécanismes d'Auto-Organisation Intégrant la Logique

Dans la continuité de l'approche **hybride** symbolique–connexionniste présentée en section 1.5.7.2, il est envisageable d'introduire au sein d'un **Synergistic Connection Network (SCN)** des **règles symboliques** interagissant avec des **entités** sub-symboliques. On peut par exemple considérer une **règle** R stipulant :

Si la caméra détecte une forme circulaire, alors suspecter un panneau de signalisation.

Parallèlement, on introduit une **entité sub-symbolique** \mathcal{E}_{cam} chargée d'analyser des données visuelles. Cette entité exploite typiquement un **modèle** neuronique local pour reconnaître ou segmenter des formes dans un **flux** d'images.

La **pondération** $\omega_{R,\text{cam}}$ reliant la règle R à l'entité \mathcal{E}_{cam} suit la dynamique du **DSL**. On peut ainsi l'écrire :

$$\omega_{R,\text{cam}}(t + 1) = \omega_{R,\text{cam}}(t) + \eta [S(R, \mathcal{E}_{\text{cam}}) - \tau \omega_{R,\text{cam}}(t)],$$

où

$S(R, \mathcal{E}_{\text{cam}})$ mesure la **synergie** entre la **règle symbolique** et la **détection sub-symbolique** opérée par \mathcal{E}_{cam} . Concrètement, si la **forme circulaire** repérée par la caméra coïncide fréquemment avec la proposition « panneau de signalisation », la quantité $S(R, \mathcal{E}_{\text{cam}})$ prend une **valeur positive**. Le terme $\eta [S - \tau \omega]$ reste alors **positif**, ce qui **renforce** la liaison $\omega_{R,\text{cam}}$. Progressivement, on voit s'**organiser** un **cluster** local $\{R, \mathcal{E}_{\text{cam}}\}$, soulignant la coopération entre la **règle** symbolique et la **détection** d'images.

Lorsque survient une **deuxième** entité, $\mathcal{E}_{\text{limit}}$, qui incarne un **concept** tel que « panneau de limitation de vitesse », la **coopération** peut encore se prolonger. Si un **module** \mathcal{E}_{ocr} découvre régulièrement le texte « 30 km/h » à l'intérieur des formes circulaires détectées, la synergie $S(\mathcal{E}_{\text{ocr}}, \mathcal{E}_{\text{limit}})$ peut s'avérer **élevée**. La **pondération** $\omega_{\text{ocr},\text{limit}}$ croît alors, impliquant l'émergence d'un **sous-réseau** plus vaste :

$$\{R, \mathcal{E}_{\text{cam}}, \mathcal{E}_{\text{ocr}}, \mathcal{E}_{\text{limit}}\}.$$

À l'intérieur de ce **cluster**, les entités **symboliques** (par exemple R et $\mathcal{E}_{\text{limit}}$) formulent des règles logiques ou des connaissances à caractère explicite. Les **entités** \mathcal{E}_{cam} et \mathcal{E}_{ocr} se chargent au contraire d'un **traitement** sub-symbolique (détection de formes, reconnaissance du texte « 30 »). La **dynamique** des pondérations, selon la règle linéaire ou d'autres variantes (voir section 1.4.5), veille à **consolider** cet ensemble si les corrélations s'avèrent régulières et profitables.

Dans cette **topologie**, le **raisonnement** demeure en grande partie **distribué** et **local**. Il n'existe pas de **couche hiérarchique unique**, mais plutôt une **auto-organisation** en **micro-réseaux**, où **règles** et **modules neuronaux** s'associent **spontanément** dès que leur **synergie** atteint un **seuil significatif**. Cette dynamique confère au **réseau** une **plasticité adaptative**, lui permettant d'**émerger** et d'**évoluer** sans nécessiter de **supervision centralisée**. Les **avantages** de cette intégration résident dans la capacité à **exploiter** la puissance de l'apprentissage sub-symbolique pour reconnaître des patterns visuels complexes, tout en s'appuyant sur la **précision** et la **transparence** qu'offrent les entités symboliques. De surcroît, on peut ainsi relier de multiples règles, chacune s'appliquant à des **entités** sub-symboliques différentes, ce qui permet d'atteindre une **modularité** plus élaborée à l'intérieur du SCN.

Les **limites** et **inconvenients** tiennent essentiellement au besoin de concevoir des règles symboliques suffisamment précises pour bien refléter la réalité observée par les flux sub-symboliques. S'il existe un décalage important ou un **bruit** excessif dans la détection, la synergie peut rester faible et empêcher la formation d'un cluster stable. Un autre **défi** concerne la **gestion de la scalabilité**. Lorsque le **nombre de règles** ou d'**entités sub-symboliques** devient trop **élevé**, leur **mise en correspondance** peut engendrer un **coût computationnel important**. Pour éviter une explosion de la complexité, il est alors nécessaire de recourir à des **stratégies de sparsification** ou de **pruning** (voir **section 1.4.5**). Ces mécanismes permettent de **réduire** le nombre de **connexions actives**, tout en **préservant** les **liaisons les plus pertinentes**, assurant ainsi un **compromis optimal** entre **efficacité** et **précision**.

Dans l'ensemble, cette **intégration** de la **logique** dans le **DSL** illustre la possibilité de **fusionner** la robustesse neuronale ou statistique et la **structuration** symbolique. L'**auto-organisation** garantit que seules les entités **règle-module** qui partagent un gain effectif conservent un lien fort, aboutissant à une **cohérence** émergente entre les **concepts** logiques et les **vecteurs** de features dans le Synergistic Connection Network.

1.5.7.4. Avantages pour la Cognition et l'Explicabilité

Dans la continuité des sections précédentes, le **Deep Synergy Learning (DSL)** se présente comme un **pont** unifiant deux grandes approches du traitement de l'information. D'une part, la **dimension sub-symbolique** s'attache aux aspects de **perception** et de **features** extraits directement des données (images, sons, textes bruts), héritant de la puissance d'**apprentissage** de type connexionniste. D'autre part, la **dimension symbolique** permet d'**articuler** des **concepts**, des **règles** et des **faits logiques** qui ne seraient pas nécessairement **détectés** par une simple **analyse statistique**. Par exemple, elle permet d'exprimer qu'**un véhicule possède quatre roues, un moteur et est conçu pour se déplacer sur la route**.

Cette capacité à **formaliser explicitement** des **relations conceptuelles** confère un avantage certain, notamment dans les domaines nécessitant de la **raison logique**, de la **modélisation explicite** ou une **interprétabilité accrue**.

Lorsqu'un **cluster** (au sens de la section 1.4.3) associe une **règle** formalisée à des **entités perceptives** ancrées dans des vecteurs sub-symboliques, on obtient une **forme d'explication** plus directe de la décision. En effet, plutôt que de faire référence à un poids numérique situé dans une

couche profonde du réseau, on peut pointer vers le **signal** \mathbf{x} (issu de la représentation sub-symbolique) et la **règle** R (exprimée symboliquement) pour justifier la conclusion. Cette **transparence** s'apparente à une forme d'**explicabilité** (souvent recherchée en IA), où l'on peut réellement indiquer quelles **connaissances** et quelles **observations** ont motivé l'activation finale.

Pour formaliser mathématiquement cette idée, on peut écrire que la **pondération** $\omega_{R,data}(t)$ reliant la règle symbolique \mathcal{E}_R à l'entité sub-symbolique \mathcal{E}_{data} évolue selon :

$$\omega_{R,data}(t+1) = \omega_{R,data}(t) + \eta [S(\mathcal{E}_R, \mathcal{E}_{data}) - \tau \omega_{R,data}(t)],$$

où $S(\mathcal{E}_R, \mathcal{E}_{data})$ mesure l'**adéquation** entre la règle symbolique et les **caractéristiques** perçues dans les données. Une fois cette liaison suffisamment renforcée, on peut interpréter la **décision** ou la **catégorie** apprise en mentionnant explicitement la règle R et le segment de données \mathbf{x} qui la **valide**.

Ce mécanisme illustre la notion de **cognition synergique** : les **entités** symboliques **codent** la **sémantique** et les **règles** explicites, tandis que les **entités** sub-symboliques **apprennent** à partir des données brutes, en extrayant des **patterns** ou des **features** utiles. Dans le **Synergistic Connection Network (SCN)**, la **dynamique** de mise à jour des **pondérations** relie directement ces deux pôles. On aboutit alors à une forme d'**intégration** qui se rapproche de la **cognition humaine**, où des **concepts** explicitement formulés cohabitent avec des **associations perceptives** acquises à travers l'expérience.

En termes d'**avantages**, on dispose d'une **robustesse** caractéristique des méthodes sub-symboliques, puisque le **réseau** peut s'adapter aux données, tout en bénéficiant de la **précision** et de la **lisibilité** qu'offre la **logique symbolique**. Cela conduit à un **apprentissage plus puissant**, tout en offrant une **explication plus accessible**. La **conclusion** ne repose plus uniquement sur une **somme opaque de poids**, mais peut être **rattachée** à un **ensemble structuré** comprenant des **règles, des concepts et des faits logiques**, ce qui en **clarifie la signification**.

Cette **transparence** améliore l'**interprétabilité** du modèle, permettant de **justifier** les décisions prises et d'**expliquer** les raisonnements sous-jacents, une caractéristique essentielle dans des domaines tels que l'**intelligence artificielle explicable (XAI)**, la **prise de décision automatisée** ou encore les **systèmes critiques**.

Dans le même paragraphe, on peut souligner que la **cohabitation** de règles symboliques et de flux sub-symboliques exige une **cohérence** de haut niveau. Les règles doivent être appropriées pour décrire les phénomènes observés, et les entités sub-symboliques doivent parvenir à traduire efficacement le **signal** en indices qui **valident** ou **invalident** les **règles**.

Cette **fusion** entre le **symbolique** et le **sub-symbolique** au sein du **DSL** instaure un fonctionnement proche de la **cognition synergique**. À l'image de l'**esprit humain**, le **système** combine des **concepts explicites** et des **représentations perceptives implicites**, puis les **coordonne dynamiquement** afin de **produire une interprétation finale adaptée au contexte**.

Ce mode d'**intégration flexible** permet au **réseau** d'**ajuster** ses **décisions** en **s'appuyant** à la fois sur des **règles logiques formelles** et sur des **patterns appris** à partir des données, conférant ainsi

une **puissance d'analyse enrichie**, une **capacité d'adaptation accrue** et une **meilleure robustesse face aux variations environnementales**.

1.5.7.5. Défis Mathématiques et Implémentation

Dans la poursuite des principes décrits en sections 1.5.7.2 à 1.5.7.4, se pose la question de la **représentation** mathématique des **règles** symboliques à l'intérieur du **Deep Synergy Learning (DSL)** et, plus généralement, les difficultés techniques qu'implique l'introduction de composantes **logiques**. Un premier enjeu consiste à décider comment **encoder** une règle $\mathcal{E}_{\text{rule}}$. Certains travaux préconisent d'associer à chaque règle un **vecteur** ou un **arbre** logique compact, ce qui permet d'attribuer à $\mathcal{E}_{\text{rule}}$ un **nœud** du réseau muni de **paramètres** θ_{rule} . On peut alors définir la **synergie** $S(\mathcal{E}_{\text{rule}}, \mathcal{E}_{\text{feature}})$ de façon à intégrer à la fois la **structure symbolique** (par exemple, un parse-tree) et la **partie numérique** (par exemple, un embedding vectoriel ou un ensemble de features \mathbf{x}_{data}).

Il est possible d'écrire, de manière formelle, une fonction

$$S_{\text{mix}}(\mathcal{E}_{\text{rule}}, \mathcal{E}_{\text{data}}) = F(\text{logic}(\theta_{\text{rule}}), \text{embedding}(\mathbf{x}_{\text{data}})),$$

où **logic** exprime la partie symbolique (règles, connecteurs logiques, etc.), tandis que **embedding** encode la portion sub-symbolique. La fonction F peut évaluer une **co-information** ou un **score** d'adéquation entre la règle et les données. Cette démarche reprend les principes du **DSL** (sections 1.5.7.2 et 1.5.7.3) en donnant un **cadre** unifié pour la synergie entre une entité symbolique et une entité sub-symbolique.

Au fur et à mesure que le **nombre de règles** logiques augmente, on observe que la taille du **réseau** s'accroît, car chaque $\mathcal{E}_{\text{rule}}$ ou $\mathcal{E}_{\text{concept}}$ vient s'ajouter aux nœuds. Les **calculs** de synergie $S_{\text{mix}}(\mathcal{E}_{\text{rule}}, \mathcal{E}_{\text{data}})$ peuvent devenir coûteux si l'on doit évaluer régulièrement de nombreuses règles sur de vastes flux sub-symboliques. Il est alors crucial de recourir à des **techniques** de **parsimonie**, en particulier celles décrites en section 1.4.5, qui permettent de **supprimer** ou de **couper** certaines liaisons $\omega_{i,j}$ dès lors que leur pondération demeure faible. Cette régulation limite la prolifération de liens inutiles, maintenant la **complexité** à un niveau gérable.

Lorsque plusieurs **règles** se **contredisent** au sein du **SCN**, des **tensions** apparaissent. Il est possible que l'une des entités sub-symboliques (par exemple un flux de capteurs) présente une **synergie** positive avec une première règle, mais se heurte à une **incompatibilité** logique avec la seconde. Dans un tel cas, on peut introduire un **score de cohérence** ou une **pénalité** $P(\mathcal{E}_{\text{rule}_1}, \mathcal{E}_{\text{rule}_2})$, reflétant le fait que les règles rule_1 et rule_2 ne peuvent valablement être activées en même temps. On peut alors modifier l'évolution de chaque pondération afin de **réduire** la force de liens conduisant trop souvent à cette contradiction, ou introduire un **terme** correctif dans la mise à jour :

$$\omega_{i,j}(t+1) = \omega_{i,j}(t) + \eta [S_{\text{mix}}(\mathcal{E}_i, \mathcal{E}_j) - \tau \omega_{i,j}(t)] - \alpha P(\mathcal{E}_i, \mathcal{E}_j),$$

où α contrôle l'intensité de la pénalité due à la contradiction.

D'un point de vue **implémentation**, les **limites** principales résident dans l'**explosion combinatoire** lorsque l'on souhaite intégrer non seulement des synergies binaires (section 1.4.4) mais également des synergies n-aires (section 1.4.7) et des **connaissances** logiques toujours plus nombreuses. De même, il peut être nécessaire de définir des **règles** plus modulaires ou paramétriques afin d'éviter la création d'une entité symbolique distincte pour chaque énoncé. Les entités pourraient alors coder des **schémas** logiques, associés à des **variables** substituables, pour diminuer le nombre total de nœuds.

Dans l'ensemble, ces **défis** mathématiques et de **mise en œuvre** ne remettent pas en cause le principe fondateur de l'approche hybride (sections 1.5.7.2 et 1.5.7.3), à savoir la possibilité de **fusionner** la rigueur symbolique avec la force d'apprentissage sub-symbolique. Ils incitent plutôt à développer des **algorithmes** de parsimonie adaptés, à concevoir des mécanismes de **cohérence** entre règles, et à prévoir des **heuristiques** ou **méthodes** de clustering pour gérer la croissance du réseau. Le **DSL**, dans ce contexte, assure une **auto-organisation** en stabilisant uniquement les **liaisons** $\omega_{i,j}$ présentant une **synergie suffisante**. Il adapte également la **répartition des ressources de calcul** en fonction des **bénéfices perçus**, concentrant les efforts sur les interactions les plus pertinentes et réduisant l'impact des liens moins significatifs.

1.5.7.6. Conclusion

L'**incorporation** de composantes **symboliques** ou **cognitives** au sein du **Deep Synergy Learning (DSL)** ouvre un champ d'**IA hybride** dans lequel la **partie sub-symbolique** (traitement de données massives, bruitées et hétérogènes) est **complétée** par une **dimension symbolique** (règles, concepts, ontologies et raisonnement explicite). Cette combinaison se déploie naturellement dans le **Synergistic Connection Network (SCN)** qui, grâce à ses entités adaptatives et à ses liaisons synergiques évolutives, apparaît particulièrement adapté pour réunir et faire coévoluer ces deux approches.

On peut modéliser la **synergie** entre une **règle** R et un **module perceptif** $\mathcal{E}_{\text{data}}$ à l'aide d'une fonction

$$S(\mathcal{E}_{\text{rule}}, \mathcal{E}_{\text{data}}) = f(\theta_{\text{rule}}, \mathbf{x}_{\text{data}}),$$

où θ_{rule} encode l'information symbolique (logique, ontologie...) et \mathbf{x}_{data} représente les **features** sub-symboliques. La pondération $\omega_{\text{rule},\text{data}}(t)$ associée se met alors à jour de façon adaptative, selon

$$\omega_{\text{rule},\text{data}}(t+1) = \omega_{\text{rule},\text{data}}(t) + \eta [S(\mathcal{E}_{\text{rule}}, \mathcal{E}_{\text{data}}) - \tau \omega_{\text{rule},\text{data}}(t)].$$

Cette dynamique assure que seules les **connexions** réellement bénéfiques (au sens de la synergie mesurée) se consolident, et permet à des **clusters** associant règles symboliques et entités sub-symboliques d'émerger spontanément au sein du réseau.

Ce mécanisme procure de **multiples avantages**. Il **préserve** la capacité d'**apprentissage** sub-symbolique, cruciale pour dompter des données riches et bruitées, tout en **introduisant** des notions symboliques aisément **explicitables** (règles, concepts, axiomes). Cette alliance favorise une **explication** plus claire des décisions, dans la mesure où la conclusion d'un cluster peut être reliée

à la **règle R** (logique) et au **signal x** (apprentissage neuronal). De plus, le DSL conserve ses forces intrinsèques, telles que la **multimodalité**, l'**adaptation** continue face aux variations de distribution et la **résilience** aux données partielles ou contradictoires.

Il faut toutefois noter qu'en **élargissant** la base de **règles** ou de **concepts**, le réseau peut s'agrandir et accroître la **complexité** de calcul, comme évoqué en section 1.5.7.5. Des mécanismes de **parsimonie** ou de **régulation** (limitation des connexions inutiles, seuils dynamiques sur les liaisons) demeurent essentiels pour éviter une explosion combinatoire. On peut également ajouter des **pénalités** ou un **score de cohérence** afin de gérer des contradictions logiques entre plusieurs règles.

En définitive, on obtient ainsi un **DSL** apte à **raisonner** en s'appuyant sur sa **base symbolique**, tout en **apprenant** de manière continue via sa **dimension sub-symbolique**. Cette architecture apparaît comme un **paradigme plus complet**, se rapprochant de la **cognition humaine**, laquelle jongle entre des **concepts** explicites et des **associations** perceptives implicites. Les sections et principes exposés dans ce chapitre (1.5) soulignent la **flexibilité** du DSL et son aptitude à jeter des **ponts** entre la **puissance** d'apprentissage neuronale et la **lisibilité** de la connaissance symbolique.

1.6. Applications Pressenties et Domaines Impactés

Le **Deep Synergy Learning (DSL)**, en tant que paradigme alliant **auto-organisation**, **synergies adaptatives** et **capacité d'évolution continue**, suscite un **intérêt grandissant** dans de nombreux champs de l'intelligence artificielle. Après avoir dressé, dans les sections précédentes, les fondements conceptuels et structurels du DSL (sections 1.1 à 1.5), il est temps de se projeter vers les **applications** et les **domaines** où cette approche pourrait exercer un **impact fort**.

L'architecture **distribuée** et **plastique** du DSL, la possibilité d'**auto-organiser** des entités multimodales ou symboliques, ainsi que sa **tolérance** aux données bruitées, confèrent au DSL un potentiel d'**adaptation** et de **complémentarité** qui dépasse souvent les limites des modèles traditionnels (réseaux neuronaux profonds strictement hiérarchiques ou méthodes symboliques pures). De la **vision artificielle** à la **robotique**, en passant par la **reconnaissance audio**, la **recommandation personnalisée**, la **surveillance** ou encore la **planification industrielle**, le DSL offre des réponses nouvelles, mieux adaptées à la complexité des flux de données et aux exigences d'évolution en temps réel.

Dans cette section (1.6), nous présentons un **éventail** des applications pressenties, non seulement comme une liste d'exemples, mais aussi comme une **cartographie** des domaines que le DSL peut transformer :

Vision Artificielle et Reconnaissance d'Objets Complexes (1.6.1)

Analyse Audio et Traitement du Langage Naturel (1.6.2)

Robotique et Systèmes Intelligents Évolutifs (1.6.3)

Recommandation Personnalisée et Systèmes de Décision (1.6.4)

Surveillance, Diagnostic Médical et Anomalies (1.6.5)

Planification et Optimisation dans l'Industrie 4.0 (1.6.6)

Perspectives pour la Recherche Fondamentale en IA Forte (1.6.7)

Pour chacun de ces **thèmes**, le **DSL** apporte des solutions grâce à ses **mécanismes d'auto-organisation**. Il repose sur des **clusters dynamiques**, des **pondérations adaptatives**, une **intégration fluide de sources hétérogènes** (visuelles, auditives, textuelles, capteurs...) et un **apprentissage continu** qui ne dépend pas exclusivement de la supervision.

Nous examinerons ainsi comment le **DSL** peut répondre à plusieurs **défis actuels** en **IA**, notamment en favorisant la **plasticité**, en renforçant la **résilience face aux données incertaines**, et en facilitant la **modélisation de problèmes de plus en plus complexes**.

1.6.1. Vision Artificielle et Reconnaissance d'Objets Complexes

Parmi les champs qui ont le plus bénéficié de l'essor des réseaux neuronaux profonds, on trouve la **vision artificielle**. Les **CNN** (Convolutional Neural Networks) ont acquis une renommée considérable pour la détection et la classification d'objets dans des images. Toutefois, les tâches de

reconnaissance deviennent de plus en plus **subtiles** : il ne s’agit plus seulement d’identifier un objet (ex. un chat, un chien), mais de **détecter** et de **comprendre** des **scènes complexes**, dans des environnements qui évoluent, avec des conditions lumineuses variables, des objets partiellement masqués ou des articulations multiples d’objets. Le **Deep Synergy Learning** ouvre ici de nouvelles perspectives, dont nous détaillons ci-après les ressorts principaux.

1.6.1.1. Au-delà d’une Hiérarchie Rigide : Clusters d’Entités Visuelles

Dans un **CNN** classique, les couches de convolution et de pooling s’enchaînent selon un **pipeline** prédéfini : la première couche repère des motifs élémentaires (bords, contrastes), la seconde assemble ces bords pour former des traits plus élaborés, et ainsi de suite, jusqu’à la classification. Bien que très performant, ce mécanisme demeure relativement **rigide**. Il impose un ordre précis selon lequel les “features” visuelles doivent être détectées, sans autoriser la création ou la suppression dynamique de filtres ni de liaisons entre diverses régions de l’image.

Le **Deep Synergy Learning (DSL)** envisage les **features** ou régions d’images comme autant d’**entités** \mathcal{E}_i , chacune portant un **descripteur** lié à un patch, un certain motif ou un vecteur plus abstrait (par exemple issu d’un autoencodeur local). Ces entités visuelles s’**auto-organisent** en **clusters** dès qu’elles identifient une **synergie** notable (proximité de descripteurs, co-occurrences de motifs, etc.). L’**hiérarchie** (ou la “stratification”) n’est plus imposée par des couches fixes, mais émerge au contraire de la **coopération** entre entités qui jugent profitable leur rapprochement. On peut par exemple voir se constituer un cluster dédié aux formes circulaires, un autre regroupant les zones de fortes lignes horizontales, et d’autres encore, voire des **macro-clusters** combinant plusieurs de ces groupes si leur fusion devient pertinente.

Cette **dynamique** apporte une plus grande **flexibilité** dans la reconnaissance d’objets complexes ou inattendus. Si un objet n’appartient pas aux catégories standards (par exemple, un objet partiellement masqué ou inconnu), les entités \mathcal{E}_k décrivant ses parties peuvent spontanément **coopérer** avec celles décrivant d’autres objets partiellement similaires. Il se crée alors un **sous-réseau** (cluster) susceptible de fusionner avec un groupement plus vaste, agrandissant le champ d’interprétation.

Pour un modèle plus formel, on peut représenter chaque entité visuelle \mathcal{E}_k par un vecteur $\mathbf{x}_k \in \mathbb{R}^d$. La synergie, qu’elle soit définie via une **distance** (ex. inversée) ou une **co-information**, détermine la valeur $S(\mathcal{E}_k, \mathcal{E}_m)$. Les **pondérations** $\omega_{k,m}$ s’ajustent de façon adaptative au fil des données. Plusieurs entités corrélées finissent par **stabiliser** leurs liaisons internes, formant un **cluster** autour d’un même objet, d’un motif, ou d’une scène particulière. Cette **organisation** reste **évolutive**. Si le **réseau** identifie de **nouvelles entités** apportant une **information complémentaire**, les **liaisons** se **renforcent**, modifiant la structure du **sous-graphe** pour intégrer ces **découvertes visuelles**.

La **reconnaissance** s’opère ainsi de manière **organique**, sans s’appuyer sur un **pipeline hiérarchique figé**. Cette approche permet une **diversité de regroupements**, tout en autorisant le **partage de sous patrons** entre plusieurs objets lorsqu’une telle synergie est jugée **pertinente**.

1.6.1.2. Multi-Échelle et Robustesse aux Déformations

Dans le traitement d'objets complexes, il est fréquent de rencontrer des **variations** d'échelle (petit/grand dans l'image), des **transformations** géométriques (rotation, vue partielle, ombre) ou une **composition** de sous-parties distinctes. Les réseaux de neurones de type **CNN** gèrent généralement ces phénomènes en pratiquant la **convolution multi-échelle** ou la **data augmentation**, où l'on applique diverses transformations (zoom, rotation...) lors de l'entraînement. Cette stratégie, efficace dans bien des cas, reste toutefois largement paramétrée à l'avance (couches de pooling fixes, patterns choisis pour l'augmentation).

Le **Deep Synergy Learning (DSL)** propose un mécanisme différent. Des **entités** \mathcal{E}_i peuvent décrire un même objet à des échelles ou des angles divers, et leurs **liaisons** $\omega_{i,j}$ se renforcent si la **synergie** (similarité, co-information) confirme qu'il s'agit bien de la **même structure** vue sous différentes perspectives. L'existence d'une entité dédiée à la "version miniaturisée" de l'objet et une autre à la "version grand format" aboutit à un **cluster** commun si elles trouvent un **gain** à leur rapprochement, sans exiger qu'on impose explicitement un niveau de pooling ou un tableau de transformations prédéterminé.

Un premier **exemple** (lié à l'invariance d'échelle) peut être formalisé en introduisant, pour un patch visuel \mathbf{x}_k , une entité $\mathcal{E}_{k,\alpha}$ décrivant ce patch à l'échelle α . Les pondérations $\omega_{(k,\alpha),(k,\beta)}$ s'élèvent si la ressemblance (ou co-information) entre la représentation à l'échelle α et à l'échelle β demeure élevée, ce qui crée un **cluster** multi-échelle au sein duquel ces entités se regroupent.

Un second **exemple** (visant les déformations) consiste à considérer $\mathcal{E}_{k,\theta}$ comme la **version** du patch \mathbf{x}_k après avoir subi une **rotation** θ . Deux angles θ_1 et θ_2 peuvent alors mener à des entités jugées "similaires", renforçant la liaison $\omega_{(k,\theta_1),(k,\theta_2)}$. On peut ainsi constituer un **macro-cluster** stable, reliant divers points de vue d'un même objet, garantissant une forme d'**invariance** à la rotation.

Cette approche confère une **robustesse** aux changements d'échelle et de pose. Le réseau n'a pas besoin de couches de pooling ni de transformations explicites ajoutées artificiellement : le **DSL** laisse les entités correspondantes **se découvrir** et **s'associer** si elles identifient un gain de synergie. L'ajustement se fait localement et **auto-organise** la reconnaissance, en évitant un pipeline rigide, pour composer des structures plus **adaptatives** et résilientes.

1.6.1.3. Interaction avec d'Autres Modalités (Vision + ...)

Dans un cadre multimodal (voir section 1.5.2), la **vision** artificielle s'avère fréquemment complémentée par un **flux audio** ou **textuel**. Le **Deep Synergy Learning (DSL)** n'établit pas de cloison pour la coopération entre l'entité visuelle \mathcal{E}_{vis} et l'entité auditive \mathcal{E}_{aud} . Le fait qu'elles appartiennent à **deux modalités distinctes** n'entrave pas leur connexion. Si la **synergie** ($\mathcal{E}_{\text{vis}}, \mathcal{E}_{\text{aud}}$) est **élevée**, révélant une **corrélation** ou une **co-information significative**, les **pondérations** $\omega_{\text{vis,aud}}$ se **renforcent progressivement**, conduisant à la formation d'un **cluster dédié**.

Dans la **reconnaissance** d'objets complexes, un **événement** visuel (comme un objet qui tombe) peut se coupler à un **événement** sonore simultané (bruit d'impact). Si la représentation \mathbf{x}_{vis} associée à la chute et la représentation \mathbf{x}_{aud} de l'onde sonore se rapprochent au sens de la **coopération**, un **sous-réseau** $\{\mathcal{E}_{\text{patch}}, \mathcal{E}_{\text{featureAudio}}\}$ se constitue. Il se spécialise dans la détection

de la scène “objet tombant plus choc acoustique”, ce qui accroît les facultés de **classification** ou de compréhension de la situation (“Cassure”, “Chute de vaisselle”, etc.).

Cette **flexibilité** se généralise à d’autres flux, comme l’analyse **textuelle** (par exemple des légendes associées, des mots clés émis par un utilisateur), aboutissant à des micro-clusters multi-entités : la vision se combine à l’audio, et tous deux interagissent avec des entités textuelles. La dynamique d’**auto-organisation** du **DSL** détermine les **groupements** les plus profitables, sans exiger qu’un concepteur définisse un module de fusion dédié pour le couple “vision + audio”. Cela favorise une **intégration** sans couture des diverses modalités, conduisant à une représentation plus riche et plus **résiliente** aux variations d’une modalité prise isolément.

1.6.1.4. Impact sur les Problèmes de Vision Avancés

Dans le cadre de la **vision par ordinateur**, un **Deep Synergy Learning (DSL)** structuré en entités visuelles présente un atout certain pour traiter des scénarios avancés qui outrepassent la simple classification d’images. L’**auto-organisation** autorise l’émergence de **clusters** plus flexibles, allant au-delà du pipeline statique imposé par les méthodes classiques.

Dans la **détection d’objets multiples et partiellement superposés**, par exemple, un réseau traditionnel prévoit souvent un ensemble rigide d’ancrages (bounding boxes) ou un module de segmentation spécifique. Au contraire, le **DSL** peut laisser chaque patch ou région s’**affilier** à des **entités** “chien” et “chaise” même si ces objets se chevauchent dans l’image. Les pondérations $\omega_{i,j}$ augmentent dès que la synergie entre patchs associant l’idée de “chien” et l’idée de “chaise” se justifie. Le réseau n’a pas besoin d’un pipeline imposant a priori la détection séparée de chaque catégorie ; la constitution du **cluster** facilite l’identification conjointe de plusieurs objets.

Dans la **segmentation contextuelle**, on peut envisager que certaines entités segmentent l’image en superpixels et d’autres identifient des **contours**. Si leur **synergie** révèle une cohérence — par exemple, les bordures détectées coïncident avec les frontières d’un superpixel —, la liaison ω se renforce. On forme alors un **cluster** correspondant à une “zone cohérente” dans l’image, laquelle pourrait se rattacher à un objet complet ou à une portion d’arrière-plan homogène. Cette approche s’écarte de la segmentation par apprentissage end-to-end, en permettant une coopération plus libre entre entités spécialisées (détection de bordures, regroupement de pixels...) selon la présence d’un **gain**.

Dans un contexte de **vision évolutive en robotique**, un agent dans un environnement changeant (luminosité, décor, nouveaux éléments) doit s’ajuster en continu. Un réseau de neurones traditionnel exigerait soit un réentraînement, soit une réinitialisation partielle. Le **DSL** ajuste localement la **synergie** entre les **entités visuelles**. Les **connexions** associées à des **conditions obsolètes** (comme une forte luminosité) diminuent si elles ne sont plus pertinentes, tandis que de **nouvelles entités** ou **liaisons** émergent pour s’adapter à des **éclairages inédits**, des **angles de vue variés** ou l’**apparition de nouveaux objets**. Cette **adaptation** locale maintient la **structure** globale du réseau, sans nécessiter un apprentissage complet de bout en bout, et confère une plasticité plus grande à la **vision** robotique, tout en conservant la possibilité d’exploiter ses acquis antérieurs.

1.6.1.5. Conclusion Partielle : Une Alternative Complémentaire au CNN

Les CNN constituent toujours un **vecteur** extrêmement puissant pour la **vision** artificielle, en particulier lorsqu'un large corpus d'exemples annotés est disponible et que l'on vise des tâches de classification ou de détection sur des données stables. Toutefois, la **structure** d'un CNN demeure **déterministe**. Chaque **couche** est **fixée**, et l'**apprentissage** repose essentiellement sur une **logique de reconnaissance supervisée**, où les **paramètres internes** sont ajustés sans modifier la **topologie du réseau**. Le **Deep Synergy Learning (DSL)** apporte une approche plus **organique** et **dynamique**, où les **entités** associées à des *patches* ou des *features* visuelles peuvent librement se **synergiser**, se **séparer**, s'**associer** avec d'autres modalités ou s'adapter aux **conditions** changeantes (nouvelles échelles, bruit, objets inédits).

La **structure** du **Synergistic Connection Network** autorise ainsi une **auto-organisation** continue, évitant la rigidité d'un pipeline imposé pour la vision. On peut introduire de nouvelles entités $\mathcal{E}_{\text{nouvelle}}$ si un objet inconnu apparaît ou si l'on veut traiter un autre type de patch visuel, ce qui met à jour localement les connexions ω . Rien n'empêche de **s'hybrider** avec un CNN : les **descripteurs** issus d'une couche intermédiaire d'un CNN peuvent constituer des entités \mathcal{E}_{CNN} dans le DSL, et la **synergie** entre ces entités reflète leur complémentarité.

Pour la **reconnaissance d'objets complexes** dans des scènes variées (éclairage fluctuant, angles de vue inédits, transformations géométriques), le **DSL** fournit un **cadre** mathématique structuré, avec des **équations** décrivant l'évolution des liaisons $\omega_{i,j}$ et des mesures de synergie multi-échelle (ou non linéaire). Il enrichit la **vision** d'une dose de **plasticité** et de **robustesse**, sans empêcher l'usage de CNN comme base de features. Les **clusters** qui émergent dans ce réseau renvoient à des regroupements de patches ou de motifs liés par leur **gain mutuel**, offrant un point de vue plus distribué et collaboratif qu'un pipeline hiérarchique unique. Finalement, le **DSL** s'érige en complément précieux aux CNN pour atteindre une **vision** flexible, résiliente et progressivement évolutive.

1.6.2. Analyse Audio et Traitement du Langage Naturel

Après avoir vu comment le **Deep Synergy Learning (DSL)** peut apporter une flexibilité et une auto-organisation en **vision artificielle** (1.6.1), il est naturel de s'intéresser aux **données audios** et au **langage naturel**, deux domaines où la richesse des signaux et la variabilité contextuelle sont particulièrement élevées. Dans un réseau neuronal profond classique, les approches d'**analyse audio** (speech recognition, classification de sons, détection d'événements acoustiques) et de **traitement du langage naturel** (NLP) (analyse sémantique, traduction, question-réponse) demeurent puissantes, mais reposent souvent sur des modèles séparés (RNN, LSTM, Transformers) et des schémas d'apprentissage supervisé imposant de gros volumes de données annotées.

Le **DSL**, en revanche, propose une **auto-organisation** où chaque entité \mathcal{E}_i (issue de features audio ou textuelles) peut s'insérer dans un **réseau synergique** plus large, permettant :

- m) Une **fusion plus organique** entre les éléments acoustiques ou linguistiques,
- n) Une **adaptation continue** au bruit, aux accents, aux registres de langage,

- o) Une cohabitation **symbolique–subsymbolique** pour des tâches de logique linguistique plus avancées.

Cette sous-section (1.6.2) détaille en quoi le DSL modifie l’approche habituelle de l’analyse audio et du traitement du langage, et en quoi il répond à des défis d’**hétérogénéité**, de **bruit**, de **variabilité linguistique** et de **scénarios évolutifs**.

1.6.2.1. Analyse Audio : Entités Sonores et Synergie Adaptative

Dans un **réseau** neuronal **classique** pour l’audio (CNN ou RNN appliqué aux spectrogrammes), on spécifie dès le départ un schéma d’extraction de *features* (MFCC, log-mel, etc.), puis l’on optimise un classifieur (par exemple, pour la reconnaissance de phonèmes ou la classification de sons). Le **Deep Synergy Learning (DSL)** introduit une logique plus **organique** en laissant des **entités** $\mathcal{E}_{\text{aud},k}$ se constituer pour chaque **fenêtre** ou **segment** temporel (frames audio), pour un **spectre** fréquentiel spécifique, ou pour un **embedding** plus abstrait (mots, bruits, etc.). Ces entités se regroupent en **clusters** dès lors qu’elles observent un **gain** à coopérer, qu’il s’agisse de la ressemblance spectrale, de la proximité temporelle ou de la récurrence d’un même motif acoustique.

Si on modélise deux segments audios $\mathbf{a}_i, \mathbf{a}_j \in \mathbb{R}^d$, leur synergie peut être définie par une **distance inversée** ou une **similitude**, telle que

$$S(\mathcal{E}_i, \mathcal{E}_j) = \exp(-\gamma \|\mathbf{a}_i - \mathbf{a}_j\|^2),$$

pour un certain $\gamma > 0$. La **pondération** $\omega_{i,j}(t)$ qui relie les entités \mathcal{E}_i et \mathcal{E}_j se met alors à jour selon la règle adaptative (voir section 1.4.5). Lorsque deux **fenêtres** ou segments audio affichent une forte similarité (timbre commun, bruit de fond identique, même locuteur), leurs liaisons $\omega_{i,j}$ se **renforcent**, initiant ainsi la création d’un **cluster** rassemblant ces entités, et permettant de **repérer** un même motif acoustique. Cette **démarche d’auto-organisation** se substitue à l’approche **classique**, qui segmente l’audio selon des **règles prédéfinies**. Au lieu d’un découpage rigide, le **réseau** ajuste ses **liaisons** pour établir une **segmentation ou une agrégation adaptative**, en fonction des **relations synergiques** détectées entre les entités.

De plus, si un **environnement** se modifie (bruit important, micro défaillant, accent inhabituel), des entités précédemment utiles peuvent perdre leur **synergie** avec les autres composantes, faisant décroître $\omega_{i,j}$. L’entité se retrouve alors **isolée** et n’influence plus le cœur du réseau. Inversement, lorsqu’une nouvelle configuration sonore émerge (baisse du bruit, nouveaux sons caractéristiques), d’autres **connexions** ω apparaissent ou se renforcent, configurant de nouveaux **clusters** sonores. Ainsi, la **reconnaissance** de motifs acoustiques (sirènes, voix enfantines, grondements) se met en place de manière **continue**, sans qu’on doive réentraîner de bout en bout un réseau rigide. Le **DSL** s’adapte localement, confortant l’idée d’un système plus **résilient** et **évolutif** dans le traitement de l’audio.

1.6.2.2. Traitement du Langage Naturel : Entités Lexicales et Sémantiques

Dans les méthodes **classiques** de **traitement du langage naturel** (NLP), des modèles (RNN, LSTM, Transformers) s'appuient sur des **embeddings** (word2vec, GloVe, BERT, etc.) et des mécanismes d'attention ou de convolution. Bien qu'ils aient atteint d'excellents résultats (traduction, question-réponse, résumé, etc.), ils s'avèrent fortement dépendants d'un **entraînement** supervisé ou auto-supervisé de grande ampleur, et peinent à **intégrer** de la **logique** ou du **symbolique** sans recourir à des mécanismes additionnels. De plus, la **structure** de ces modèles demeure souvent linéaire (ou en arbre pour l'analyse syntaxique), imposant le traitement séquentiel des tokens.

Le **Deep Synergy Learning (DSL)** propose une alternative plus **flexible**. Au lieu d'imposer une séquence rigide de tokens à travers un pipeline (embedding + attention + couches finales), on peut **déployer** un **réseau** d'entités couvrant les différentes dimensions du texte. Chaque entité \mathcal{E}_i peut représenter un **mot** (ou token) muni d'un embedding \mathbf{w}_i , un **nœud syntaxique** extrait d'un parse tree (rôle de sujet, verbe, complément), ou un **concept sémantique** (topic, entité nommée, etc.). Ces entités s'**auto-organisent** si leur synergie $S(\mathcal{E}_i, \mathcal{E}_j)$ s'avère suffisamment élevée pour justifier un **regroupement**.

On peut alors voir naître des **clusters** lexical-sémantique regroupant des mots liés à un même champ lexical, un **verbe** et ses **compléments**, ou plusieurs **concepts** partagés par diverses phrases. Contrairement à une **arborescence imposée**, comme dans une **analyse syntaxique standard**, le **SCN** adopte une approche plus **fluide**. Lorsqu'un **mot** présente une **polysémie**, la **synergie** qu'il établit avec certains **topics** influence la **sélection du sens approprié**, facilitant ainsi la **désambiguïsation** de l'**interprétation**. De même, des liaisons $\omega_{i,j}$ peuvent se **rompre** si un ensemble de mots cesse d'être pertinent dans un nouveau contexte textuel. L'**auto-organisation** rend donc la structure du **réseau** ajustable, permettant d'incorporer ou de dissoudre des sous-groupes de tokens ou de concepts selon qu'un **gain** mutuel se manifeste, ouvrant ainsi la voie à une **compréhension** plus modulable du langage.

1.6.2.3. Couplage Audio-Texte et Auto-Fusion Synergiques

De nombreux systèmes doivent traiter simultanément un **flux audio** (voix, intonations, bruits) et un **texte** associé (transcriptions, sous-titres). Le **Deep Synergy Learning (DSL)** s'avère particulièrement bien adapté à ce scénario, car il ne fixe pas a priori la manière de "joindre" l'audio et le texte. Au lieu d'un alignement imposé par un algorithme dédié, on laisse le **Synergistic Connection Network (SCN)** réguler les liaisons ω entre des **entités** \mathcal{E}_{aud} et des **entités** \mathcal{E}_{txt} . Si la **co-information** ou une autre mesure de **similarité** suggère qu'un certain segment sonore correspond à un certain segment textuel, la pondération $\omega_{\text{aud},\text{txt}}$ se renforce, conduisant à la création d'un **cluster** multimodal.

Parmi les entités audios, on peut distinguer des segments temporels ou des frames associées à une **fenêtre** spectrale spécifique. Du côté textuel, on dispose d'entités représentant des **mots**, des **tokens**, voire des syntagmes plus longs. La mise à jour des liens $\omega_{\text{aud},\text{txt}}$ procède alors par la règle adaptative (section 1.4.5), détectant les **paires** qui coïncident fréquemment. Ainsi, lorsqu'un segment audio s'aligne régulièrement sur une suite de mots, on observe un gain synergique. On

forme donc un **cluster** englobant les parties orales et leurs correspondances textuelles, sans qu'un schéma d'alignement fixe soit nécessaire.

Un tel mécanisme confère une **robustesse** notable. Si des segments audio se montrent intelligibles (forte perturbation, accent trop marqué), la **synergie** s'affaiblit, et les liaisons avec les entités textuelles cessent de croître, isolant ces segments pour ne pas polluer l'ensemble. Le réseau **accepte** ainsi l'hétérogénéité de la qualité sonore et s'auto-adapte. En outre, cette logique **permet de découvrir** des co-occurrences ou des associations inhabituelles, par exemple un mot (ou un motif lexical) qui se répète chaque fois qu'un type particulier de sonorité apparaît. Le **DSL** parvient donc à fusionner audio et texte de manière plus **flexible** que ne le ferait un pipeline d'alignement rigide, et il favorise l'intégration de nouvelles données ou la détection de nouveaux mots/sons sans devoir procéder à un réentraînement ou une refonte exhaustive du modèle.

1.6.2.4. Évolutions Possibles et Défis Mathématiques

Dans l'application du **Deep Synergy Learning (DSL)** à l'audio, au texte ou à des mélanges de modalités, plusieurs difficultés et pistes d'extension apparaissent.

Un premier enjeu concerne la **complexité**. Comme en vision (section 1.6.1.4), on peut générer un grand nombre d'entités audio (fenêtres temporelles, frames) ou textuelles (tokens, syntagmes). Le **graph** qui en résulte peut ainsi atteindre une taille considérable, rendant la mise à jour des pondérations $\omega_{i,j}$ et l'estimation des synergies coûteuses. Il est donc souvent nécessaire de recourir à des **stratégies** parcimonieuses pour limiter la prolifération de liens, comme échantillonner périodiquement les entités, fusionner les entités jugées redondantes ou fixer un seuil ω_{\min} qui supprime les connexions trop faibles (section 1.4.5).

En second lieu, on notera que la **modélisation n-aire** peut se révéler essentielle. Les **synergies** binaires (audio-audio, texte-texte ou audio-texte) ne suffisent pas toujours à capturer des phénomènes impliquant trois (voire davantage) entités. Il se peut, par exemple, que l'union de deux fragments audio et d'un groupe de mots textuels produise une information inatteignable avec des paires isolées. La **synergie n-aire** (section 1.4.7) permet de refléter ces complémentarités plus complexes, au prix d'un accroissement de la difficulté mathématique, car il faut évaluer l'information ou la similarité simultanément sur plusieurs variables.

Enfin, la possibilité d'**hybridation symbolique** apparaît particulièrement intéressante dans le domaine du **NLP** avancé (raisonnement, question-réponse complexes). Comme évoqué en section 1.5.7, on peut introduire des **règles logiques** ou des **entités** symboliques, lesquelles interagissent avec les **entités textuelles**. La synergie se définit alors par une fonction reliant le sens des mots à des conditions logiques ou des assertions formelles. Si cette intégration accroît encore la complexité, elle apporte un surcroît de **capacité cognitive**, autorisant un raisonnement plus poussé et assurant une **explicabilité** renforcée, dans l'esprit d'une IA **neuro-symbolique** où la dynamique des pondérations répond à la fois aux critères sub-symboliques (similarité, co-information) et aux axiomes symboliques.

1.6.2.5. Conclusion Partielle : un Cadre Évolutif pour l'Audio et le Langage

Le **Deep Synergy Learning (DSL)** s'affirme comme une **approche** ou un **complément** aux architectures traditionnelles (CNN, RNN, Transformers) dans l'analyse de **flux audio** et le **traitement du langage naturel**. Contrairement aux pipelines classiques, le **DSL** ne se fonde pas sur un découpage préalable ou un alignement imposé, mais laisse les entités acoustiques ou lexicales **s'auto-organiser** dès que leur synergie l'indique. Cette **logique** présente plusieurs **atouts**.

L'**auto-organisation** pilote de manière **adaptative** la **segmentation** et l'**alignement**. Lorsque des **segments audio** apparaissent **corrélés** ou que certaines **paires de mots** montrent une **complémentarité**, leurs **pondérations respectives** se **renforcent**, sans nécessiter un **découpage figé**. Le réseau ne dépend pas d'un **ensemble prédéfini de tranches temporelles** ni d'une **procédure d'alignement rigide**. Il en résulte une **robustesse accrue** face aux **variations des flux audio** (bruit, accents, altérations de la source) et aux **spécificités linguistiques** (polysémie, registres de langue). En cas d'**incertitude** ou de **qualité médiocre**, les **liens faibles** se **dissipent** naturellement, sans nécessiter un **réapprentissage global**.

La **fusion audio-texte** bénéficie aussi d'une **meilleure flexibilité**. Plutôt que d'imposer un **couplage strict** entre un **segment sonore** et sa **transcription**, la **dynamique interne** du **DSL** découvre de manière **spontanée** les **correspondances pertinentes**. Elle identifie les **segments oraux et textuels** qui **coïncident** dans le **temps** ou dans le **sens**, facilitant ainsi l'**absorption de nouveaux sons**, l'**intégration d'un vocabulaire élargi** ou même l'**ajout de règles symboliques** sans qu'une **restructuration complète** ne soit requise. Il suffit d'**insérer** de **nouvelles entités** dans le **graphe**, et le **réseau** ajuste automatiquement ses **pondérations**.

Ces caractéristiques ouvrent la voie à plusieurs **applications évolutives**. La **reconnaissance vocale en milieu bruité** devient plus **robuste**, la **compréhension de conversations multimodales** (associant **indices audio et vidéo**) s'effectue sans nécessiter un **pipeline d'alignement contraint**, et la **traduction flexible** ou la **détection d'anomalies audio-linguistiques** tirent parti de la **structure distribuée et dynamique** du **DSL**. L'ensemble repose sur des **règles d'auto-organisation** (pondérations adaptatives, formation de clusters) et de **synergie** (distance, co-information, etc.), favorisant un **apprentissage évolutif** moins dépendant d'une **supervision exhaustive** et davantage fondé sur une **coadaptation continue entre entités**.

1.6.3. Robotique et Systèmes Intelligents Évolutifs

Les concepts d'**auto-organisation**, de **synergie** et de **coopération** entre entités, propres au **Deep Synergy Learning (DSL)**, prennent tout leur sens dans le domaine de la **robotique** et des **systèmes intelligents**. En effet, la robotique moderne se caractérise par :

- Une **intégration** de multiples capteurs (vision, audio, pression, position, etc.),
- Des **actions** diverses (mouvements, manipulations, interactions) à coordonner dans des environnements changeants,
- La nécessité d'une **adaptation continue** (à la dynamique physique, aux aléas de l'environnement),

- Des **défis** de planification et de décision temps réel, souvent avec de l'**incertitude** et du **bruit**.

Cette sous-section (1.6.3) montre comment le **DSL**, grâce à ses mécanismes de **pondérations adaptatives** et à ses **clusters auto-organisés**, peut être particulièrement utile à la **robotique** et aux **systèmes intelligents**. Elle décrit :

- p) L'**approche distribuée** que le DSL propose pour les robots multi-capteurs,
- q) La **coévolution** des entités sensorielles et motrices,
- r) La capacité à **s'auto-réorganiser** lorsqu'un robot ou un système intelligent découvre de nouveaux modules (nouveaux effecteurs, nouveaux contextes, etc.),
- s) Des exemples d'applications, depuis les **robots collaborateurs** jusqu'aux **systèmes autonomes** en changement permanent.

1.6.3.1. Robotique Multi-Capteurs : une Structure Synergique

Dans un contexte robotique, un système typique réunit plusieurs **capteurs** disposés sur la plateforme, pouvant inclure une **caméra** (analyse visuelle), un **LIDAR** ou un **radar** (cartographie de l'environnement), des **capteurs de pression** ou de **toucher**, des **capteurs inertiels** (IMU), un **microphone** pour la partie audio, etc. Les approches traditionnelles (notamment basées sur ROS et des architectures préconçues) tendent à définir un **pipeline** de fusion, auquel chaque capteur envoie ses données, puis une **couche** de décision. Cette rigidité suppose un schéma de liaison explicite entre capteurs et modules supérieurs, imposant par exemple un module de traitement conjoint image-LIDAR si l'on veut superposer un nuage de points laser et un flux de caméra.

Le **Deep Synergy Learning (DSL)**, quant à lui, permet d'instituer un **ensemble** d'entités $\{\mathcal{E}_{\text{cam}}, \mathcal{E}_{\text{lidar}}, \dots\}$ correspondant chacune à une source sensorielle ou à un bloc fonctionnel plus abstrait. Chacune de ces entités peut juger de la **synergie** qu'elle partage avec les autres : si la caméra \mathcal{E}_{cam} et le LIDAR $\mathcal{E}_{\text{lidar}}$ constatent régulièrement la détection d'un même obstacle, la valeur associée à leur liaison se consolide, menant à un **renforcement** de $\omega_{\text{cam, lidar}}$. Inversement, lorsqu'un capteur inertiel s'avère temporairement *bruité* (information incohérente par rapport aux autres lectures), ses connexions décroissent naturellement jusqu'à s'affaiblir et, le cas échéant, s'isoler.

Grâce à ce principe d'**auto-organisation**, il devient possible qu'un **cluster** multimodal émerge pour caractériser une situation telle qu'un "terrain accidenté" perçu simultanément par la caméra (textures complexes), le LIDAR (irrégularités de distance) et peut-être un micro détectant des bruits anormaux. Ce cluster se **dissout** ensuite lorsque le robot quitte la zone problématique ou que la configuration change. Le **réseau** d'entités agit donc de manière plus **dynamique** et **distribuée**, sans imposer un module de fusion central dédié à chaque couple de capteurs. Les liaisons $\omega_{i,j}$ se forment ou se dissolvent localement, en fonction de la **valeur ajoutée** mesurée à travers la synergie entre entités, conférant au système une **résilience** plus élevée, qu'il s'agisse de gérer un capteur défaillant, l'arrivée d'un nouveau module, ou un changement inattendu dans l'environnement.

1.6.3.2. Action, Effecteurs et Synergie Motrice

En robotique ou dans tout système intelligent disposant de **modules d'action** (moteurs, articulations, roues, pinces), on adopte généralement un paradigme où un **contrôleur** (PID, MDP, RL, etc.) reçoit un **état** en provenance des capteurs et génère des **commandes**. Le **Deep Synergy Learning (DSL)** aborde la question autrement, en considérant les effecteurs comme des **entités** $\mathcal{E}_{\text{motrice}}$ au même titre que les capteurs. Par exemple, chacune des articulations d'un bras, ou la rotation d'une roue, ou la position d'une pince peut être dépeinte par un vecteur $\mathbf{x}_{\text{motrice}}$. La **coopération** avec les entités sensorielles s'établit dès lors que la **synergie** $S(\mathcal{E}_{\text{capteur}}, \mathcal{E}_{\text{motrice}})$ s'avère positive, incitant à **renforcer** la pondération $\omega_{\text{capteur}, \text{motrice}}$.

Un bras articulé qui coordonne son mouvement avec un flux visuel voit, par exemple, la pondération $\omega_{\text{cam}, \text{bras}}$ croître si la caméra confirme que la pince se trouve dans la bonne position. À l'inverse, un joint dysfonctionnel ou mal calibré cesse d'apporter un réel gain, ce qui fait chuter la **synergie**, rendant son influence moindre dans la stratégie globale. Le **SCN** assure ainsi une forme d'**adaptation** où les effecteurs pertinents coopèrent étroitement avec les capteurs produisant des informations utiles, sans qu'il soit nécessaire de configurer explicitement un contrôleur central devant orchestrer toutes les modalités.

On peut également insérer un **signal** de récompense ou un indicateur de performance R qui module la synergie. Si la coopération entre un capteur $\mathcal{E}_{\text{capteurA}}$ et un effecteur $\mathcal{E}_{\text{motriceB}}$ accroît ce score (par exemple, la manipulation d'un objet est mieux réalisée, ou la trajectoire est plus stable), la **pondération** $\omega_{\text{capteurA}, \text{motriceB}}$ s'en trouve augmentée. Cette logique correspond à un **processus** de "learning by synergy", sans avoir à recourir à une formalisation en MDP (Markov Decision Process) rigide. Les entités effectrices et sensorielles **s'auto-organisent** localement via la mise à jour des connexions ω , découvrant progressivement quelles combinaisons capteur-action se révèlent fructueuses pour atteindre l'objectif.

1.6.3.3. Adaptation Continue et Évolution Modulaire

Un des **atouts fondamentaux** du **Deep Synergy Learning (DSL)** tient dans sa **capacité d'évolution**. Lorsqu'un **robot** se voit doté d'un **nouveau capteur**, d'un **nouvel effecteur** (par exemple un **autre bras**), ou que l'on **retire un module obsolète**, on se **contente d'ajouter** ou de **supprimer l'entité correspondante** $\mathcal{E}_{\text{nouveau}}$ au sein du SCN.

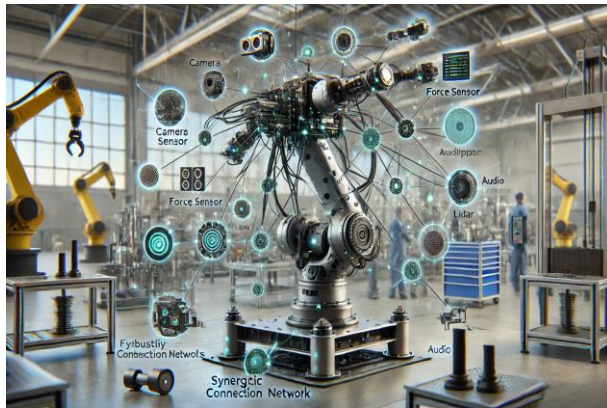
Les pondérations $\omega_{\text{nouveau}, \cdot}$ suivent la dynamique habituelle (voir section 1.4.5) et se **renforcent** ou se **dissolvent** en fonction de la **synergie** détectée. Il n'est donc pas requis de recompiler l'ensemble du pipeline ou de procéder à un **réapprentissage** complet d'un grand réseau neuronal. La **logique** adaptative se borne à évaluer localement la valeur ajoutée de la nouvelle entité, puis à l'intégrer dans un **cluster** pertinent si besoin.

Cette **propriété** ne se limite pas à la **robotique** physique. Dans des **systèmes logiciels** complexes, par exemple dans l'administration de centres de données ou d'architectures distribuées, le principe reste valable. Chaque microservice, base de données, module de monitoring, etc., peut être considéré comme une **entité** $\mathcal{E}_{\text{service}}$. L'arrivée d'un nouveau service, la suppression (ou la panne) d'un service existant, se modélise par l'**ajout** ou le **retrait** d'entités correspondantes, et les **liaisons**

ω se régulent selon la **coopération** réelle (échange d'informations, dépendances). Les **clusters** qui en résultent rassemblent les **services** ayant des affinités ou co-occurrences fortes, autorisant une **répartition** et une **coordination** modulaires.

Ce **principe d'auto-organisation** évite la centralisation rigide d'un pipeline complet ou la révision constante d'un réseau monolithique. Au contraire, le **SCN** se reconfigure **spontanément** : il repère quels éléments demeurent fiables et utiles, et il restructure graduellement l'architecture face à de nouveaux besoins ou de nouvelles entités. Cette démarche s'inscrit dans l'esprit du **lifelong learning**, où le **réseau** lui-même façonne en continu sa **topologie** et maintient un équilibre entre la conservation de connaissances antérieures et l'ajout de briques inédites.

1.6.3.4. Illustration : Robot Collaboratif Multicapteurs



Un **robot collaboratif** (cobot) dans un environnement industriel peut disposer de multiples capteurs et actionneurs. Par exemple, une **caméra** sert à **localiser la pièce à assembler**, un **capteur de force** dans la **pince** permet d'**évaluer la préemption**, un **LIDAR** détecte la **distance** aux **opérateurs humains** pour **prévenir les collisions**, un **module audio** reçoit des **instructions vocales**, et enfin, les **actionneurs** comprennent la **pince**, le **bras articulé** et un **moteur de déplacement sur plateforme**.

Au sein d'un **Synergistic Connection Network (SCN)** selon les principes du **Deep Synergy Learning (DSL)**, chaque composant devient une **entité** : \mathcal{E}_{cam} , \mathcal{E}_{force} , \mathcal{E}_{lidar} , \mathcal{E}_{audio} pour les capteurs, et \mathcal{E}_{pince} , \mathcal{E}_{bras} , \mathcal{E}_{moteur} pour les effecteurs. Chacune évalue localement sa **synergie** avec les autres, de sorte que les liens $\omega_{i,j}$ se **renforcent** s'il apparaît un réel bénéfice à leur coopération. Lorsque la caméra coopère régulièrement avec la pince — par exemple, parce que la zone repérée par l'image correspond effectivement à la position où la pince intervient —, la liaison $\omega_{cam,pince}$ se consolide, engendrant un **cluster** local regroupant ces entités $\{cam, pince\}$. Si, au contraire, l'audio se révèle trop bruyant, sa synergie avec le reste du système diminue et $\omega_{audio, .}$ tombe en deçà du seuil de pertinence ; l'entité audio se retrouve alors **isolée** ou peu contributive jusqu'à ce que la qualité du signal s'améliore.

On peut intégrer un **signal de récompense** afin de consolider les combinaisons sensorielles et motrices les plus efficaces (par exemple, si le cobot réussit à saisir et assembler la pièce sans heurter de zones sensibles, on valorise cette configuration). Les entités impliquées voient leurs pondérations internes augmenter, ce qui renforce la probabilité de réutiliser ce mode de coopération. L'ensemble constitue un **réseau** qui s'**auto-adapte**, insérant ou affaiblissant des liens selon l'utilité détectée pour la tâche courante. Cette logique évite de reconstruire un pipeline complet ou de réentraîner un vaste réseau en cas de modifications (ajout d'un nouveau capteur, panne de l'actuel, variation des conditions d'assemblage). Les **clusters** multimodaux (vision + pince + capteur de force, par exemple) forment des **sous-réseaux** cohérents, naturellement conçus pour la tâche à effectuer.

1.6.3.5. Défis et Perspectives de Recherche

Lorsqu'on applique le **Deep Synergy Learning (DSL)** à la robotique multi-capteurs et multi-effecteurs, plusieurs difficultés et voies d'extension émergent, tant sur le plan pratique que théorique.

Un premier défi concerne la **complexité combinatoire**. Dans un robot doté de multiples capteurs (caméra, LIDAR, IMU, microphone...) et d'autant de modules d'action (divers joints, roues, pinces), le **graphe** des pondérations ω peut rapidement croître en taille, rendant la mise à jour de chaque lien difficile à maintenir en **temps réel**. Des stratégies de **parsimonie** (seuils éliminant les liaisons trop faibles) ou des mises à jour strictement **locales** (limiter le calcul aux entités concernées par une nouvelle donnée) se révèlent indispensables pour garantir la **scalabilité**.

Un deuxième point aborde les **systèmes multi-robots**. Lorsqu'une flotte (drones, véhicules, robots industriels) doit coopérer, on peut concevoir un **réseau synergique** à plus grande échelle, où chaque robot forme un **sous-graphe** d'entités sensorielles et motrices. Les **synergies** inter-robots introduisent alors des liaisons ω entre entités de différents appareils. Il devient possible d'imaginer une **co-organisation** sur l'ensemble de la flotte, favorisant la dynamique d'émergence de clusters inter-robots dès qu'un gain mutuel apparaît (partage de capteurs, répartition de tâches). L'envergure de ce problème soulève d'importants défis de **communication** et de gestion **distribuée** des liens, car on ne peut pas nécessairement centraliser toutes les informations.

La **sécurité** et la **robustesse** forment également un axe de recherche majeur. En robotique, il est impératif de respecter des contraintes physiques (éviter la collision, maintenir une distance de sécurité). Dans le **DSL**, on peut introduire des pénalités ou des **contraintes** pour réduire la pondération $\omega_{i,j}$ lorsqu'une configuration s'avère dangereuse ou enfreint des invariants mécaniques ou de sûreté. De cette manière, l'**auto-organisation** se soumet à des garde-fous, garantissant un comportement sûr même lorsque la structure du réseau évolue.

Enfin, l'idée d'**hybridation symbolique** (section 1.5.7) se transpose à la robotique avancée et aux tâches haut niveau. Les **entités symboliques**, représentant des **règles** ou des **plans**, peuvent **interagir** avec les **entités sensorielles et motrices**. La **synergie** entre la **logique** (définissant un **plan d'action**) et la **perception** (reconnaissance **visuelle**, retour de **force**) oriente la **réorganisation du graphe**, aboutissant à une **planification distribuée et cognitive**, où la **coopération** émerge à l'**intersection** du **symbolique** (ordre de **mission**) et du **sub-symbolique** (capteurs, effecteurs). L'ensemble de ces pistes ouvre un **vaste** espace de

recherche pour faire évoluer la robotique vers des systèmes de décision auto-organisés, hautement modulaires et résilients.

Conclusion

Dans la **robotique** et les **systèmes intelligents évolutifs**, le **Deep Synergy Learning** :

- Offre une **approche distribuée** pour intégrer de multiples capteurs et effecteurs,
- Gère la **reconfiguration** continue (bruit, arrivée de nouveaux modules, pannes),
- Favorise l'**apprentissage** local, la formation de **clusters** sensorimoteurs stables,
- Permet un fonctionnement **plus organique** que le pipeline rigide (capteur → fusion → décision), et plus extensible face à l'évolution de l'architecture robotique.

Cette capacité d'**auto-organisation** s'avère essentielle lorsque le robot (ou le système) doit s'ajuster rapidement, adopter de nouveaux modules ou se coordonner avec d'autres entités (robots, agents, microservices). On retrouve ainsi la philosophie déjà mise en avant dans le DSL : éviter la hiérarchie monolithique et le réapprentissage complet, au profit d'une **dynamique** adaptative, guidée par la **synergie** entre entités.

1.6.4. Recommandation Personnalisée et Systèmes de Décision

Au-delà de la robotique (1.6.3), le **Deep Synergy Learning (DSL)** trouve également une place de choix dans les **systèmes de recommandation** et plus largement les **systèmes de décision**. Dans ces domaines, il s'agit souvent de traiter des **profils utilisateurs**, des **contenus** (produits, articles, films, musiques) ou des **options** (plans d'action, configurations possibles), pour aboutir à des **conseils** ou des **choix** pertinents. Les approches traditionnelles (collaborative filtering, réseaux neuronaux de recommandation, arbres de décision) présentent généralement des structures fixes : on définit un modèle qui, après un entraînement plus ou moins supervisé, calcule des scores de préférence.

Le **DSL**, par sa **dynamique d'auto-organisation** et sa **prise en charge** des liens synergiques, propose une voie plus **flexible** et **adaptative**. Il peut gérer à la fois :

- Des **entités "utilisateurs"** $\{\mathcal{E}_u\}$ représentant différentes personnes (ou profils),
- Des **entités "contenus"** $\{\mathcal{E}_c\}$ décrivant articles, produits, médias, etc.,
- Des **entités "contextes"** (saisons, heures, tendances récentes),
- Éventuellement des **entités symboliques** (règles de business logic, préférences explicites) si on veut un système cognitif plus avancé.

Nous allons voir en détail comment ces entités interagissent et comment le DSL peut aider à **adapter** les recommandations au fil du temps, en favorisant les **clusters** (ou micro-réseaux) les plus cohérents, et en révisant les connexions obsolètes.

1.6.4.1. Entités Utilisateurs et Contenus : un Graphe Synergique

Les **systèmes de recommandation** s'appuient classiquement sur une **matrice \mathbf{M}** dont les lignes représentent les utilisateurs $\{u \in U\}$ et les colonnes les contenus $\{c \in C\}$. Chaque entrée $\mathbf{M}_{u,c}$ correspond à l'intérêt ou la note attribuée par l'utilisateur u au contenu c . Les approches courantes (collaborative filtering, factorisation matricielle, autoencodeurs de complétion...) consistent alors à factoriser \mathbf{M} ou à prédire les valeurs manquantes par un entraînement supervisé ou semi-supervisé. Cette vision demeure **matricielle** et intègre rarement d'autres **entités** en dehors du couple **utilisateurs–contenus**.

Dans le **Deep Synergy Learning (DSL)**, on substitue ou complète cette approche en définissant un **graphe** évolutif. On introduit d'abord un ensemble d'**entités** $\{\mathcal{E}_u\}_{u \in U}$ représentant les utilisateurs et un autre $\{\mathcal{E}_c\}_{c \in C}$ pour les contenus (articles, films, produits, etc.). Si nécessaire, on y ajoute aussi des **entités contextuelles** $\{\mathcal{E}_{\text{time}}, \mathcal{E}_{\text{location}}, \dots\}$ lorsqu'on souhaite prendre en considération la dimension temporelle ou spatiale. Les **liaisons** $\omega_{u,c}(t)$ reliant un utilisateur \mathcal{E}_u à un contenu \mathcal{E}_c sont mises à jour suivant une **règle adaptative** (voir section 1.4.5) : elles se renforcent si la “synergie” $S(\mathcal{E}_u, \mathcal{E}_c)$ est jugée suffisamment positive, ou au contraire déclinent si aucune utilité mutuelle n'est perçue. La fonction S peut reposer sur une **similarité** d'intérêts, une **co-information** d'usage, ou sur l'idée d'un gain mesurable (par ex. le nombre de clics ou de vues).

Grâce à ce schéma, on assiste à la formation spontanée de **clusters** regroupant simultanément des utilisateurs et des contenus. Un **cluster** peut ainsi rassembler plusieurs amateurs de rock, divers albums rock et, s'il existe des entités de contexte, certaines soirées “concert” associées, révélant une forte **co-occurrence** ou un alignement d'intérêts. Comparé à la matrice \mathbf{M} — qui se borne aux couples (u, c) — le **SCN** tolère l'ajout de toute entité auxiliaire. Il devient possible de **fuser** des groupes si une synergie apparaît entre leurs membres, ou d'**isoler** un contenu dont l'intérêt décroît soudain auprès des utilisateurs concernés. En outre, l'arrivée d'un nouvel utilisateur $\mathcal{E}_{\text{nouveau}}$ ou d'un nouveau contenu $\mathcal{E}_{\text{item}}$ se gère en insérant simplement l'entité, puis en laissant la synergie ajuster les liens $\omega_{\text{nouveau}, \cdot}$. Le réseau se **restructure** localement, sans imposer une refonte globale comme le ferait une ré-analyse complète de la matrice \mathbf{M} . Les sections suivantes (voir 1.6.4.2 et au-delà) approfondiront comment cette logique d'auto-organisation enrichit la **recommandation** par la capacité à intégrer de nouvelles entités et à effectuer une fusion dynamique des préférences et des contenus.

1.6.4.2. Mise à Jour Adaptative et Évolution dans le Temps

Dans un **système de recommandation**, la **distribution** évolue en permanence. De **nouveaux utilisateurs** et **contenus** (articles, livres, films récents) apparaissent, tandis que les **préférences** se réorientent en fonction des **modes**, des **promotions** ou des **saisons**. Les **algorithmes classiques** de **filtering** (factorisation, deep learning supervisé) doivent alors **réestimer leurs paramètres**, ce

qui peut nécessiter une **nouvelle phase de réapprentissage** ou un **raffinage partiel**, avec le **risque** de **dérégler l'équilibre** déjà atteint.

Le **Deep Synergy Learning (DSL)** adopte une démarche plus organique. Lorsque des entités inédites $\mathcal{E}_{\text{nouveauUser}}$ ou $\mathcal{E}_{\text{nouveauContenu}}$ apparaissent, on les **insère** directement dans le **Synergistic Connection Network**. Le mécanisme de mise à jour $\omega_{i,j}$ (section 1.4.5) se charge alors de **consolider** ou non les liaisons selon la **synergie** qu'elles dégagent. Ainsi, un nouveau contenu sera rapidement lié (pondérations positives) aux utilisateurs qui partagent des goûts proches ou qui interagissent avec ce contenu, conduisant à la formation d'un **cluster**. À l'inverse, un contenu ancien qui perd de l'intérêt voit ses pondérations $\omega_{u,\text{contenu}}$ décroître naturellement, jusqu'à s'isoler si plus personne ne s'y intéresse.

De plus, le **DSL** n'est pas cantonné aux seules entités “utilisateur” ou “contenu”. Des **entités contexte** comme la **saison** ($\mathcal{E}_{\text{été}}$), la **localisation** ($\mathcal{E}_{\text{Paris}}$), un **événement** ($\mathcal{E}_{\text{Noël}}$) peuvent influencer la **synergie**. Si la proximité entre un événement (Noël), certains contenus (articles cadeaux, recettes festives) et un profil d'utilisateurs se concrétise, alors les liens $\omega_{\text{Noël},\text{contenu}}$ et $\omega_{\text{Noël},\text{utilisateur}}$ s'amplifient, façonnant un **cluster** “Noël + X utilisateurs + Y contenus”. Lorsque la période de Noël s'achève, ces mêmes liaisons perdent peu à peu de leur attrait et se **délient**, laissant place à d'autres configurations contextuelles (telles que “soldes de janvier”). Le réseau se **reconfigure** ainsi localement, sans imposer un réentraînement massif ni une réinitialisation de tout le modèle, et garantit une adaptation continue au gré des changements de **distribution**.

1.6.4.3. Décision et Recommandation Basées sur les Pondérations Synergiques

Une fois le **réseau** de synergie $\{\omega_{i,j}\}$ formé ou relativement stabilisé (au moins à un instant donné), il devient possible d'en **extraire** un score de recommandation pour un **utilisateur** \mathcal{E}_u et un **contenu** \mathcal{E}_c . Une formule concevable, inspirée d'une multiplication matricielle partielle, consiste à sommer l'**influence** indirecte par d'autres entités $\{\mathcal{E}_k\}$ (utilisateurs proches, tags contextuels, règles). On peut ainsi écrire :

$$\text{score}_{u,c} = \sum_k \omega_{u,k} \omega_{k,c}.$$

Intuitivement, si l'utilisateur \mathcal{E}_u et un contenu \mathcal{E}_c ne partagent pas de lien direct, on évalue leur **affinité** en passant par des entités \mathcal{E}_k qui peuvent être d'autres **utilisateurs** (similaires) ou des **concepts** (genre musical, catégorie d'article). Cet agrégat de contributions rappelle la structure de $(W^2)_{u,c}$ dans le cadre d'une multiplication de la matrice des pondérations W par elle-même, sans s'y limiter nécessairement : des **variantes** plus subtiles peuvent être introduites pour mieux prendre en compte les chemins les plus pertinents ou un **cluster** local.

Lorsqu'on **intègre des entités symboliques** (section 1.5.7) portant des **règles** ou **contraintes métier** (par exemple, “Ne pas recommander les contenus PG-13 à un compte junior”), la **synergie** peut se **moduler** en conséquence. Si la liaison $\omega_{\text{rule},\text{contenu}}$ indique une **incompatibilité** (règle violée), elle **réduit** la **pondération globale** $\omega_{\text{user},\text{contenu}}$.

Le réseau prend alors en compte **à la fois** les **préférences non supervisées** (co-occurrences utilisateurs/contenus) et des **contraintes explicites** (règles symboliques). Le **SCN** ajuste ces

interactions **localement**, ce qui équivaut à un **filtrage dynamique** ou un **re-ranking adaptatif**, plus **flexible** qu'un pipeline **figé**. La **recommandation** devient ainsi une **conclusion collective** de l'ensemble des entités, chaque liaison ω traduisant une **valeur** ou une **compatibilité mutuelle**.

1.6.4.4. Illustrations Concrètes

Plusieurs exemples concrets permettent de mieux percevoir la **souplesse** et la **richesse** du **Deep Synergy Learning (DSL)** appliqué au domaine des systèmes de recommandation ou, plus largement, à l'**aide à la décision** sur des ensembles utilisateur–contenu–contexte.

Dans une **plateforme e-commerce**, on dispose d'entités représentant les **utilisateurs** (avec leur historique et profil), les **produits** (catégories, marques, etc.), et d'éventuelles entités de **contexte** (temps fort comme soldes, promotions, événements saisonniers). Au lieu de programmer explicitement des algorithmes de segmentation, le **DSL** laisse ces entités s'**agréger** en **clusters** si elles constatent un **gain** mutuel. Un sous-groupe d'utilisateurs peut ainsi s'avérer très intéressé par des produits d'une certaine marque ou style, formant un **cluster** qui se renforce dès lors que la synergie (p. ex. co-occurrence d'achats) s'avère constante. Les thématiques détectées évoluent naturellement en fonction des tendances ou de l'arrivée de nouvelles gammes de produits.

Dans un **service de streaming** (musique, vidéo), des entités peuvent correspondre aux **albums**, aux **artistes**, aux **playlists**, aux **tags** de genres (rock, pop, jazz), ainsi qu'aux **communautés** d'auditeurs. Le mécanisme de mise à jour $\omega_{i,j}$ valorise la proximité entre un auditeur et un certain artiste, ou entre un artiste et un tag de genre, etc. Un **cluster** cohérent peut alors émerger autour de l'auditoire d'une tendance musicale particulière (rock), intégrant les artistes, les playlists populaires associées et les auditeurs fidèles. Si un nouvel artiste rejoint la plateforme, on ajoute une entité $\mathcal{E}_{\text{artisteNew}}$; si celle-ci partage des caractéristiques avec le cluster rock (timbre de voix, style, tags), la **synergie** se trouve élevée, et l'artiste s'intègre au groupe. Les **recommandations** pour un auditeur donné s'en déduisent en analysant $\omega_{X,\text{artiste}}$ ou bien $(W^2)_{X,\text{artiste}}$ (cf. section 1.6.4.3), reflétant l'influence indirecte par d'autres auditeurs ou tags.

Dans un **système d'aide à la décision** industriel, on peut imaginer des entités décrivant différents **scénarios** (configurations de machines, paramètres de production), des **résultats passés** (qualité, temps de cycle), ainsi que des entités relatives aux **coûts** ou aux **ressources** (personnel, stocks). Les **liaisons** $\omega_{i,j}$ se renforcent lorsqu'une **combinaison** de paramètres s'avère fructueuse pour la production, ou que deux scénarios se révèlent similaires et conduisent à un résultat positif. Le **DSL** construit progressivement une **cartographie flexible** de l'espace **décisionnel**, permettant d'**ajouter de nouveaux scénarios** sans nécessiter un **réapprentissage global**. L'**auto-organisation** s'adapte aux **évolutions des conditions de production** (variations des matières premières, ajustement de la cadence, etc.). Cette approche, **plus distribuée et réactive**, dépasse les modèles **rigides**, car les **entités** mettent continuellement à jour leurs **liaisons**, ajustant ainsi la **synergie détectée** en fonction du contexte.

1.6.4.5. Avantages et Défis

Dans un **système de recommandation traditionnel**, la conception repose généralement sur un **pipeline rigide**, comme le **collaborative filtering** basé sur la **factorisation de matrice**. L'estimation des préférences se fait de manière **statique ou périodique**, avant d'être exploitée pour générer des recommandations. À l'inverse, le **Deep Synergy Learning (DSL)** favorise une **auto-organisation dynamique** : lorsque les préférences d'un utilisateur évoluent ou lorsqu'un contenu disparaît, la **mise à jour des connexions ω** s'opère **localement**, sans nécessiter un **recalcul global**. Cette souplesse permet de mieux **réagir** aux variations liées aux **promotions**, à la **saisonnalité** ou à l'**ajout de nouveaux items**.

Cette approche offre également une **robustesse accrue** et une **forme de parsimonie** : les **entités isolées**, comme les **utilisateurs inactifs** ou les **contenus obsolètes**, voient leurs **liens synergiques s'affaiblir** jusqu'à disparaître naturellement si leur pertinence devient insuffisante. Elles cessent ainsi d'interférer avec les recommandations actives, ce qui **réduit le bruit** et **allège la charge computationnelle**. Toutefois, une **difficulté majeure** se pose lorsque le **nombre d'entités explose** : il devient indispensable d'intégrer des **heuristiques** (sparsification, échantillonnage, etc.) pour préserver l'**efficacité en grand volume** et éviter la **saturation des ressources**.

Le **DSL** autorise aussi une **adaptation contextuelle**. De **nouvelles entités** comme “festival d'automne”, “temps pluvieux” ou “Black Friday” peuvent être ajoutées pour **moduler la synergie en temps réel**. Les **connexions ω** indiquent alors quels utilisateurs et quels contenus sont activés par ce **contexte**, sans qu'un **réapprentissage massif** soit nécessaire. Ce fonctionnement permet d'intégrer des **événements dynamiques** et d'**ajuster les recommandations en continu**.

Enfin, cette approche renforce l'**explicabilité**. Plutôt que de s'appuyer sur des **facteurs latents opaques** (ex. F1, F2...), les **clusters émergents** peuvent être interprétés plus directement. Par exemple, un groupe d'**utilisateurs** peut être associé à un **sous-ensemble spécifique de contenus**, comme un cluster réunissant l'entité “jazz” (tag de genre) et l'entité “club de blues” (contenu). Cela permet d'offrir une justification plus claire des recommandations, du type “**vous appartenez au cluster jazz-blues, d'où cette suggestion**”. Cette **lisibilité accrue** dépasse le cadre d'une **factorisation matricielle standard** et facilite la **transparence des modèles de recommandation**.

Conclusion

Dans la **recommandation personnalisée** et les **systèmes de décision**, le **Deep Synergy Learning** se distingue par :

- Sa **capacité** à gérer une **multiplicité** d'entités (utilisateurs, contenus, contextes, règles),
- Son **auto-organisation continue**, autorisant l'ajout ou le retrait de modules sans réapprentissage global,
- Sa **formation de clusters** plus interprétables, où les associations (utilisateurs—contenus—contexte) émergent de la **synergie** plutôt que d'une factorisation imposée,
- Son **adaptation** en temps réel aux changements d'habitudes, de saison, de modes ou de distributions.

Avec le DSL, les **recommandations** et **décisions** se construisent dans un **réseau** évolutif, rendant possible une **cohérence** plus fluide avec des règles (symboliques), des signaux contextuels, ou des flux externes. C'est un champ où l'auto-organisation synergique peut apporter plus de **plasticité** et de **transparence** qu'un pipeline classique de filtering ou de scoring.

1.6.5. Surveillance, Diagnostic Médical et Anomalies

Les principes d'**auto-organisation** et de **coopération adaptative** propres au **Deep Synergy Learning (DSL)** ne se cantonnent pas aux domaines précédemment cités (vision, audio, robotique, recommandation). Ils trouvent également une place toute particulière dans les **applications de surveillance**, de **diagnostic**, et de **détection d'anomalies**, qu'il s'agisse de contexte médical ou industriel. Dans ces environnements, on gère souvent d'importants **flux de données** en temps réel, provenant de **capteurs variés** (biologiques, physiques) qu'il faut **coordonner** pour repérer des situations anormales ou des symptômes précoces. Les systèmes classiques reposent sur des algorithmes d'**anomaly detection** (souvent supervisés, semi-supervisés, ou basés sur des seuils statiques) qui peuvent se révéler rigides ou trop dépendants d'un jeu de labels.

Le **DSL** introduit une **flexibilité** nouvelle : des **entités d'information** spécialisées dans différents signaux (capteurs, paramètres cliniques, logs machines), liées par des **pondérations synergiques** qui évoluent au fil du temps. Ainsi, l'**auto-organisation** permet de détecter des groupes d'observations cohérentes et, réciproquement, d'identifier des entités qui s'**écartent** de la synergie générale. Cette capacité de repérage local et de réaction dynamique rend le **DSL** particulièrement adapté à divers domaines. Dans les **systèmes de surveillance**, qu'ils soient vidéo ou basés sur des capteurs environnementaux, il permet d'**isoler des comportements suspects** en temps réel. Dans le cadre des **diagnostics médicaux complexes**, il favorise la **fusion d'informations multimodales**, telles que l'imagerie, les tests biologiques et les relevés de signes vitaux, facilitant ainsi la détection de pathologies. Enfin, pour la **maintenance prédictive**, il repère les **anomalies émergentes** en analysant les écarts de comportement d'un capteur ou d'un indicateur par rapport aux tendances habituelles du cluster.

Nous allons voir plus en détail comment le DSL prend en compte la variété des signaux et repère, via la synergie (ou son absence), ce qui sort du lot et pourrait constituer une alerte ou un symptôme.

1.6.5.1. Systèmes de Surveillance : Entités Multi-Capteurs, Scènes Vidéo

Dans de nombreux dispositifs de **surveillance vidéo**, les algorithmes classiques (souvent un pipeline à base de CNN et de suivi d'objets) doivent gérer un **flot** de données considérable et détecter en continu tout comportement ou événement anormal. Cette approche peut se révéler fragile face à la complexité des scènes ou à la diversité des conditions. Le **Deep Synergy Learning (DSL)** propose une alternative plus **auto-organisée** et **réactive**, en représentant chaque composante (segment visuel, contexte, schéma habituel) sous forme d'entités et en laissant la **synergie** orienter la structuration.

Dans le cadre d'une **vidéo** de surveillance, on peut définir des entités $\mathcal{E}_{seg,k}$ correspondant à différents **blobs** ou **segments** détectés dans la scène (régions de mouvement, silhouettes, etc.). D'autres entités $\mathcal{E}_{contexte}$ décrivent, par exemple, l'heure, la zone surveillée, les règles de

fréquentation habituelles. Enfin, des entités $\mathcal{E}_{\text{pattern}}$ peuvent caractériser des **patrons** récurrents (le nombre moyen de personnes, la vitesse de déplacement habituelle, les régions autorisées ou interdites). Au sein du **Synergistic Connection Network**, les liaisons ω (omega) évoluent en fonction de la **cohérence** détectée. Lorsqu'un segment vidéo, identifié comme "**blob A**", respecte la **vitesse** ou l'**emplacement** attendus, la **synergie** entre ses entités associées reste élevée. Lorsqu'un comportement s'écarte de l'ordinaire (un mouvement inhabituel, une densité de blobs anormale, etc.), la **pondération** $\omega_{\text{seg, pattern}}$ chute, isolant le segment considéré et signalant une anomalie. L'algorithme peut alors émettre une alarme ou enclencher une inspection spécifique, sans nécessiter de recompiler ou de réentraîner un détecteur complet.

Dans la **surveillance élargie**, on intègre fréquemment d'autres **capteurs** tels que les détecteurs de **mouvement** (PIR), les **capteurs sonores**, les **sondes de température**, ou encore les **détecteurs de fumée**. Le **DSL** traite aisément cette hétérogénéité en insérant des **entités** $\mathcal{E}_{\text{mouvement}}$, \mathcal{E}_{son} , $\mathcal{E}_{\text{température}}$, dont les synergies s'**auto-régulent** avec les entités visuelles. Si un choc violent est détecté par \mathcal{E}_{son} alors que la vidéo ne rapporte aucun mouvement, la liaison $\omega_{\text{son, cam}}$ diminue, suggérant un capteur défaillant ou un phénomène localisé sans trace visuelle. À l'inverse, la convergence de plusieurs capteurs (caméra détectant flammes, capteur son captant un "boom", etc.) renforce les liaisons, formant un **cluster** d'alerte qui intègre différentes sources. Cette **auto-organisation** renforce la **résilience** de la détection. Les **signaux douteux** sont progressivement mis à l'écart, tandis que les **coïncidences réelles** entre capteurs favorisent un **regroupement cohérent**, facilitant ainsi l'**identification** des événements critiques.

1.6.5.2. Diagnostic Médical : Entités Physiologiques et Multimodalité



Dans un **contexte médical**, les données proviennent de multiples **sources**. On dispose de l'**imagerie** (IRM, rayons X, scanner), de **tests biologiques** (formule sanguine, biochimie), de **signes vitaux** (ECG, pression, saturation en O_2) et de **symptômes** rapportés, voire de données **génétiques** plus complexes. Un **réseau** de neurones classique, comme un CNN spécialisé dans l'interprétation d'IRM, a tendance à se focaliser sur un **type** de signal. Or, certains diagnostics

difficiles (cancers rares, syndromes complexes) exigent un **croisement** entre diverses modalités, chacune partielle, parfois bruitée.

Le **Deep Synergy Learning (DSL)** se conçoit alors comme un **réseau** auto-organisé où des **entités** $\{\mathcal{E}_{\text{irm}}, \mathcal{E}_{\text{analyseSang}}, \mathcal{E}_{\text{ecg}}, \dots\}$ représentent chacune un bloc de données ou un test particulier. Le **score** de synergie $S(\mathcal{E}_i, \mathcal{E}_j)$ indique si deux sources convergent vers une suspicion commune (par exemple, des anomalies visibles à l'IRM qui correspondent à des marqueurs sanguins inhabituels). Les **pondérations** $\omega_{i,j}$ se renforcent lorsque la coopération de deux entités apporte un **gain** (détection corrélée), et un **cluster** pathologique peut se constituer, regroupant un sous-ensemble de paramètres (imagerie, analyses, symptômes) indiquant une même pathologie ou un syndrome précis.

L'**évolution temporelle** des données médicales, qu'il s'agisse de phases **aiguës** ou de **rémissions**, est gérée de manière fluide. Lorsqu'un paramètre biologique redevient normal, la **synergie** qu'il entretenait avec les **marqueurs pathologiques** s'atténue naturellement, et le **cluster associé à la maladie** se dissocie progressivement de cette entité. À l'inverse, l'apparition d'un **nouveau symptôme** peut entraîner son intégration immédiate dans le cluster dès lors qu'il manifeste une **similarité** ou une **co-occurrence** notable avec des **facteurs pathologiques** préexistants.

Le diagnostic s'**ajuste dynamiquement**, reflétant en permanence l'état du patient. Par ailleurs, il est possible d'**insérer un signal de validation clinique**, ou un mécanisme de **renforcement**, lorsque le diagnostic se révèle correct. Cette action **consolide les liens** responsables de la détection réussie et **stabilise** les configurations du réseau qui ont mené à une prédiction exacte.

Cette **logique auto-organisée, distribuée et multimodale** se distingue d'un **pipeline rigide**, où un **classifieur** applique ses prédictions sur des **données isolées** (imagerie, analyses biologiques) sans tenir compte des relations **interdépendantes**. En intégrant toutes les **sources d'information** en parallèle, les **pondérations** ω mettent en évidence **les collaborations les plus pertinentes**, assurant ainsi une **adaptation en temps réel** aux évolutions pathologiques et aux ajustements du diagnostic.

1.6.5.3. Détection d'Anomalies Industrielles : Auto-Organisation et Isolement

En milieu **industriel** (production, logistique, transports), la **maintenance prédictive** implique une surveillance continue des capteurs (température, vibrations, courants moteurs, etc.) afin de détecter des signaux précurseurs de panne. Dans un **Deep Synergy Learning (DSL)**, on peut représenter chaque **capteur** par une entité $\mathcal{E}_{\text{capteur}}$, ajouter des entités décrivant des **normes** ou **règles** de fonctionnement (certaines pouvant être symboliques, voir section 1.5.7), ainsi que des **entités contextuelles** (charge de travail, température ambiante, etc.). Ces entités s'**auto-organisent** et forment un **cluster** principal (ou plusieurs) lorsqu'elles partagent un comportement cohérent.

Une anomalie se produit lorsque la synergie $S(\mathcal{E}_k, \mathcal{E}_{\text{ref}})$ entre un capteur \mathcal{E}_k et le cluster de référence constitué des capteurs stables ou des normes attendues diminue de manière significative. Contrairement aux systèmes classiques basés sur des seuils fixes attribués à chaque capteur, une vibration qui dépasse une certaine valeur **X** ou une température excédant une valeur **Y**, le DSL évalue chaque capteur en le confrontant à l'ensemble de la structure dynamique.

Si un capteur unique commence à dériver sans suivre la synergie normale avec les autres capteurs, il se retrouve isolé, ce qui peut signaler une anomalie spécifique. Si plusieurs capteurs enregistrent des dérives synchronisées, ils peuvent former un sous-cluster d'anomalie suggérant l'apparition d'un défaut commun. Un roulement en fin de vie peut générer simultanément une augmentation du bruit et une surchauffe mécanique, ce qui pousse les capteurs associés à s'agglomérer dans un même cluster anormal.

Au fil du temps, un capteur fautif peut suivre différentes évolutions. Il peut se retrouver isolé dans un espace d'anomalie lorsque ses pondérations ω_k diminuent progressivement. Il peut également entrer en coopération avec d'autres entités qui subissent des dérives similaires, formant ainsi un nouveau cluster d'anomalie plus large. Si la situation persiste ou si la synergie interne de l'anomalie continue d'augmenter, par exemple une association entre bruit anormal, vibrations excessives et élévation de température du roulement, un signal de maintenance peut être déclenché pour anticiper une panne imminente.

Cette auto-organisation rend la détection plus adaptative, le réseau distinguant progressivement les liaisons fiables de celles qui s'écartent. On évite ainsi les limitations imposées par un pipeline rigide ou par des seuils fixés capteur par capteur. La logique de synergie évalue en permanence la relation du capteur à l'ensemble du cluster de fonctionnement normal, permettant un repérage des dérives de manière contextualisée et évolutive.

1.6.5.4. Avantages et Défis : la Logique du DSL en Alerte et Diagnostic

Les applications de **Deep Synergy Learning (DSL)** dans le domaine de la **surveillance**, de la **maintenance** ou du **diagnostic** s'appuient sur sa capacité à constituer des **clusters** de manière autonome, en agrégeant des **entités** multiples (capteurs, tests, imagerie, etc.). Contrairement aux solutions qui demandent une fusion de flux orchestrée manuellement, le **DSL** laisse les pondérations $\omega_{i,j}$ évoluer en fonction de la **synergie** locale, formant des sous-groupes pertinents sans pipeline imposé.

Cette approche confère une **flexibilité** face aux données partielles ou intermittentes. Des capteurs sujets à des interruptions ou à des pannes peuvent se retirer du **cluster** principal dès lors que leur **synergie** avec les autres entités s'effondre, puis se réinsérer lorsque leur fiabilité s'améliore. On évite ainsi qu'un capteur défaillant ne paralyse l'ensemble.

La **détection de situations inédites** (anomalies, configurations nouvelles) bénéficie particulièrement de la logique non supervisée du **DSL**. Quand un groupe d'entités dérive au regard de la norme, il se regroupe spontanément en **cluster** d'anomalie, sans que l'on ait à pré-définir les classes d'incidents. Cela autorise un repérage de schémas insoupçonnés ou de pannes rares.

Les mécanismes d'adaptation continuent déjà décrits en section 1.5.4 favorisent la réactivité en contexte dynamique. Les pondérations ω se réajustent automatiquement lorsque l'état du patient évolue en milieu médical ou lorsque la chaîne de production adopte un nouveau régime en milieu industriel. Ce fonctionnement permet d'intégrer les changements sans nécessiter un réapprentissage exhaustif à chaque modification, garantissant ainsi une mise à jour fluide et efficiente du réseau.

Cependant, le **principal défi** réside dans la **taille** du graphe et la croissance exponentielle du nombre de liens $\{\omega_{i,j}\}$ quand les entités se multiplient (nombre élevé de patients, de capteurs, de variables, etc.). Il convient d'appliquer des mesures de **parsimonie** (un seuil en-deçà duquel on supprime des connexions), des procédures de **sparsification** dynamique, ou encore des **misés à jour** localisées (échantillonnage partiel, focus sur un sous-ensemble d'entités), pour maintenir la **scalabilité** et la réactivité du système.

Conclusion

En **surveillance**, **diagnostic médical** ou **détection d'anomalies**, le **Deep Synergy Learning** apporte une **vision dynamique**, **distribuée**, et **auto-organisée** pour :

- Détecter des patterns normaux (clusters stables) vs. anormaux (entités isolées ou clusters dérivants),
- Gérer de multiples sources de données (capteurs, tests, imagerie) sans pipeline prédéfini,
- Réagir en continu aux évolutions ou aux nouvelles situations,
- Combiner éventuellement un **signal** de récompense ou de **validations** cliniques/industrielles partielles pour renforcer l'auto-organisation.

Ainsi, le DSL offre un **mécanisme** mathématique de **pondérations adaptatives** et de **synergies** exploitables dans divers secteurs où la **variabilité** des conditions et la **nécessité** de détecter des comportements hors normes sont prépondérantes.

1.6.6. Planification et Optimisation dans l'Industrie 4.0

Les secteurs industriels évoluent vers une connectivité accrue où les machines, capteurs, robots, stocks et systèmes de gestion interagissent en temps réel. Cette interconnexion définit la vision de l'Industrie 4.0, dans laquelle les flux d'informations et les processus s'auto-adaptent pour optimiser la production, la maintenance et la gestion des ressources. Les défis qui en découlent — **planification** distribuée, **optimisation** des flux, **maintenance prédictive** et **gestion adaptative** — peuvent se révéler extrêmement complexes. Les méthodes traditionnelles (ordonnancement déterministe, programmation linéaire classique, heuristiques fixes, etc.) montrent souvent leurs limites face à la **dynamique** croissante (marchés volatils, nouvelles commandes urgentes, pannes inattendues). Dans ce cadre, le **Deep Synergy Learning (DSL)**, avec son **mécanisme d'auto-organisation** et de **synergie adaptative**, ouvre de nouvelles pistes pour réaliser une **planification plus flexible** et des **schémas d'optimisation** capables de se réajuster en continu.

Dans cette section (1.6.6), nous examinons :

Les raisons pour lesquelles l'**Industrie 4.0** exige un modèle **évolutif** et **distribué**,

Comment le **DSL** modélise des entités (machines, stocks, commandes, flux de transport) reliées par des **pondérations synergiques**,

De quelle manière ces liens évoluent pour **planifier** et **optimiser** les ressources en temps réel,

Des exemples concrets où le **DSL** peut surpasser un pipeline d’optimisation statique, grâce à sa **dynamique d’adaptation** et à sa capacité de **clustering** auto-organisé.

1.6.6.1. Les Défis Industriels dans un Environnement 4.0

Dans l’Industrie 4.0, on fait face à une **abondance** de composants interdépendants. Les **machines** possèdent chacune un état (vitesse, disponibilité, pannes potentielles), tandis que les **chaînes de production** sont subdivisées (stations, lignes, buffers, flux de pièces). Les **stocks** (pièces détachées, semi-finis, produits finis) changent au fil des demandes, et le **transport** peut impliquer différents véhicules (AGV, drones, camions). Enfin, les **ordres de fabrication** évoluent dès lors que des clients passent de nouvelles commandes ou modifient leur planning.

Dans les approches classiques d’**ordonnancement** ou de **planification** (flow shop, job shop, heuristiques variées), on définit un **problème combinatoire** qu’on tente de résoudre sous des **hypothèses** de stabilité. En pratique, l’environnement industriel est en perpétuelle évolution. Les machines peuvent tomber en panne, un retard logistique perturbe la disponibilité d’une pièce critique, de nouvelles commandes arrivent de manière imprévue, et la capacité des équipements fluctue en raison de la maintenance ou du changement d’outillage. Chaque perturbation requiert souvent un **recalcul** important, voire une réinitialisation d’un algorithme d’ordonnancement.

Le **Deep Synergy Learning (DSL)** propose un **changement de perspective**. Au lieu de modéliser un ordonnancement global, on conçoit chaque **composant** — machine, ordre, stock, mode de transport — comme une **entité** \mathcal{E}_i . Les **liaisons** $\omega_{i,j}(t)$ traduisent la **coopération** ou la **complémentarité** entre entités. Par exemple, deux machines $\mathcal{E}_{\text{machineA}}$ et $\mathcal{E}_{\text{machineB}}$ voient leur lien s’intensifier si elles se passent fréquemment des pièces sans blocage, ou si l’on constate un gain productif à enchaîner les opérations A puis B. Un **stock** $\mathcal{E}_{\text{stock}}$ et un **transport** \mathcal{E}_{AGV} coopèrent s’ils se synchronisent efficacement pour déplacer des lots. De même, un **ordre** $\mathcal{E}_{\text{ordre}}$ accroît sa synergie avec une machine spécifique si cette dernière exécute la tâche en temps et qualité optimales.

Lorsqu’un **incident** surgit (panne machine, retard de livraison, surcharge de commande), la **dynamique d’auto-organisation** du DSL réévalue les liaisons ω . Un composant en panne voit ses liens se dégrader, réduisant son impact dans le flux. Inversement, si une nouvelle machine arrive ou si un transport reprend sa disponibilité, on insère une **entité** inédite dans le **SCN**, laissant la synergie se construire là où un **gain** apparaît. Cette **reconfiguration** s’effectue **localement**, évitant de relancer un algorithme d’ordonnancement global. Le **réseau** s’ajuste de manière “vivante”, reflétant la réalité mouvante de l’Industrie 4.0.

1.6.6.2. Représentation des Flux et Clusters Auto-Organisés

Dans une optique d’**Industrie 4.0**, la mesure de **synergie** $S(\mathcal{E}_i, \mathcal{E}_j)$ entre deux entités \mathcal{E}_i et \mathcal{E}_j peut prendre plusieurs formes. Les machines, les stocks ou les ordres de production entretiennent par exemple un **taux de transfert** élevé lorsque la première fournit régulièrement des pièces à la

seconde sans créer de file d'attente. Un **ordre** de production se révèle quant à lui **complémentaire** d'un stock donné si cet ordre requiert précisément les ressources contenues dans ce stock. Par ailleurs, la **performance** d'une association machine–ordre s'accroît lorsque le couple aboutit à un temps de cycle réduit et à un rendement supérieur. Lorsque la **synergie** apparaît remarquable entre deux entités, la pondération reliant ces entités se trouve renforcée (voir section 1.4.5 sur la mise à jour locale des pondérations).

À mesure que certaines combinaisons s'avèrent profitables (machine–stock–ordre–transport, par exemple), leur coopération se **solidifie**, faisant émerger des **clusters** ou sous-réseaux. Chaque **cluster** correspond alors à une configuration de production considérée stable ou efficace, puisqu'il regroupe des entités dont les pondérations mutuelles ω sont élevées. On observe ainsi la formation d'un groupe {Machine1, StockA, TransportX, OrdreB} lorsque ces éléments fonctionnent de manière cohérente. La machine 1 utilise les ressources du Stock A, le Transport X assure l'acheminement logistique sans retard, et l'Ordre B bénéficie d'un flux optimisé.

Dans le cadre d'une planification traditionnelle, on conçoit des **lignes** ou **cellules** de production de manière analytique. Le **Deep Synergy Learning (DSL)**, lui, opère un mécanisme **auto-organisé** : les liaisons se **renforcent** quand un groupe de machines s'avère compatible ou lorsqu'un module de transport complète efficacement la chaîne, ce qui fait naître un **cluster** de manière spontanée. Quand un composant (machine, stock ou transport) **dysfonctionne** ou s'avère insuffisamment utile, la **synergie** avec le reste du réseau chute et le composant se trouve mis à l'écart. De nouveaux liens peuvent alors se former vers des entités de **remplacement**, réorientant la production de façon plus souple qu'un pipeline rigide. Ce phénomène procure à l'ensemble une **plasticité** qui évoque un système **“vivant”**, réactif aux perturbations et aux changements d'outillage ou de répartition des tâches, conformément à l'esprit de l'Industrie 4.0 décrite en section 1.6.6.1.

1.6.6.3. Approche Dynamique : Adaptation en Temps Réel

Dans un environnement Industrie 4.0, le système gère un flux continu d'événements tels que l'arrivée de nouvelles commandes, les alertes de stocks bas, la maintenance planifiée des machines et les retards logistiques. Les algorithmes de planification traditionnels comme la règle de Johnson ou les heuristiques de scheduling sont efficaces pour des configurations fixes (flow shop, job shop). Cependant, dès qu'un changement survient, ces approches manquent de flexibilité, nécessitant une réinitialisation ou une mise à jour complète du plan de production.

Au **Deep Synergy Learning (DSL)**, la **dynamique** d'auto-organisation se renouvelle en continu. Les **pondérations** $\omega_{i,j}(t)$ reliant des entités (machines, ordres, stocks, transports...) se remanient itération après itération en fonction de la **synergie** $S(\mathcal{E}_i, \mathcal{E}_j)$. Lorsqu'un **ordre urgent** survient, le système introduit une entité $\mathcal{E}_{\text{ordreUrgent}}$ dans le **Synergistic Connection Network**, et celle-ci voit ses **liaisons** $\omega_{\text{ordreUrgent},k}$ se renforcer rapidement dès que l'on identifie un gain potentiel avec des machines ou des transporteurs capables de le traiter à temps. Si, au contraire, un transport $\mathcal{E}_{\text{transport}}$ se montre sous-dimensionné (accumulation de pièces, délais excessifs), sa **synergie** avec le reste du réseau chute, ce qui oriente la production ou la logistique vers d'autres entités plus aptes à satisfaire la demande.

Le DSL ne cherche pas à fixer une solution optimale à un instant donné comme le ferait un algorithme de scheduling, mais à maintenir un réseau dont la topologie évolue en fonction des événements. Si un indicateur global de performance est disponible, comme le throughput, le temps de cycle moyen ou le taux de satisfaction client, il peut être intégré pour ajuster la synergie. Les entités impliquées dans une configuration performante renforcent leurs liaisons ω , tandis que celles associées à un échec ou à une baisse d'efficacité voient leurs connexions s'affaiblir. Cette dynamique permet au système de s'adapter en continu, favorisant une auto-organisation où chaque entité ajuste localement sa coopération, sans nécessiter une refonte complète de la planification à chaque perturbation.

1.6.6.4. Cas d'Exemple : Usine Modulable

Dans une **usine** où les postes sont **reconfigurables** et la logistique assurée par des **AGV** (véhicules autonomes), les produits fabriqués peuvent changer selon la **demande**. Le **Deep Synergy Learning (DSL)** s'avère alors bénéfique pour une **gestion** plus flexible, en remplaçant ou en complétant les méthodes de planification traditionnelles. On peut définir un **réseau** d'entités $\{\mathcal{E}_{\text{Poste1}}, \mathcal{E}_{\text{Poste2}}, \dots, \mathcal{E}_{\text{AGV1}}, \mathcal{E}_{\text{AGV2}}, \dots, \mathcal{E}_{\text{Stock1}}, \dots\}$ et des entités "ProduitA", "ProduitB" (avec la possibilité d'en ajouter de nouveaux). Chaque poste ou AGV entretient des **liaisons** $\omega_{i,j}$ qui se **renforcent** ou se **délient** selon la **synergie** constatée. Si un **poste** particulier traite un certain **produit** avec un taux de réussite élevé, la pondération $\omega_{\text{Poste}, \text{Produit}}$ augmente. De même, un **AGV** se connecte aux postes ou stocks avec lesquels il collabore efficacement, formant ainsi un **cluster** $\{\text{AGV1}, \text{Poste1}, \text{Poste2}, \text{Stock}\}$ si ce groupe de composants assure un flux fluide de pièces.

Lorsqu'on introduit un **nouveau** produit (par exemple "ProduitC"), la synergie se construit **naturellement** autour des postes adéquats. Le **SCN** évolue sans qu'il soit indispensable de reconfigurer entièrement le pipeline ou de lancer un **solveur** d'ordonnancement intégral. Les entités reliées à l'ancien produit peuvent **conserver** leurs liens, tandis que les postes ou AGV inadaptés à "ProduitC" voient leur pondération chuter et se déconnectent graduellement du nouveau cluster. Cette dynamique garantit une réactivité accrue. En cas de panne sur Poste1, la pondération $\omega_{\text{AGV}, \text{Poste1}}$ diminue, permettant à l'AGV de se réorienter vers un autre poste $\mathcal{E}_{\text{Poste3}}$, dont la synergie augmente en assumant la continuité du processus.

Ce **mécanisme d'auto-organisation** continue favorise la **tolérance** aux pannes et l'adaptation à l'introduction de nouvelles gammes de produits. Les entités inopérantes se "détachent" naturellement (perdent leurs liaisons), et les nouvelles entités intéressantes (nouveaux postes, nouveaux produits) trouvent leur place dans le **Synergistic Connection Network** au fil de la **dynamique** des pondérations. Cela évite la nécessité de **recalculer** périodiquement un ordonnancement global ou de procéder à des heuristiques lourdes, tout en exploitant les **principes** du DSL (sections 1.4.3 et 1.5.4) pour maintenir la cohérence globale du système.

1.6.6.5. Limites et Évolutions : Complexité, Parcimonie, Hybridation

Dans un **environnement industriel** où l'on introduit sans cesse de nouvelles entités (machines, stocks, ordres...), la **taille** du graphe $\{\omega_{i,j}\}$ peut rapidement devenir prohibitive. Pour préserver la faisabilité, il est essentiel d'envisager des stratégies de **parcimonie** (seuils, coupe des liens trop

faibles) ou des **algorithmes locaux** où seules les pondérations pertinentes se mettent à jour, évitant ainsi un recalcul exhaustif à chaque itération. Des **contraintes** peuvent également exclure certains liens d'emblée (une machine non qualifiée pour un ordre, ou un transport incapable de prendre en charge un certain poids), imposant une **pénalisation** ou un **masquage** dans la fonction de synergie.

De plus, lorsque des **règles logiques** (contraintes de sécurité, de qualité) s'ajoutent, on peut intégrer des **entités symboliques** (cf. section 1.5.7). Le **DSL** considère alors la **coopération** entre ces entités symboliques et les entités opérationnelles (machines, ordres...), de sorte que la formation d'un **cluster** illégal (par exemple, un groupement violant une norme de sécurité) n'aboutisse jamais, faute de synergie. Cette hybridation **neuro-symbolique** enrichit la dynamique locale (ω) tout en respectant les cadres réglementaires ou métier.

Il est par ailleurs envisageable de **combiner** le **DSL** à des heuristiques ou solveurs d'ordonnancement établis. Une possibilité consiste à laisser l'**auto-organisation** déterminer un sous-ensemble de ressources potentiellement efficaces, puis à faire appel à un **solveur** classique pour finaliser le planning sur ce sous-ensemble, réduisant la dimension du problème. À l'inverse, un solveur peut fournir une solution initiale, que le **DSL** ajuste localement au gré des aléas (pannes, nouvelles commandes). Cette **collaboration** exploite la force de l'**auto-organisation** (réactivité, plasticité) tout en bénéficiant de méthodes d'**optimisation** éprouvées pour parfaire le résultat. Ainsi, la **plasticité** du DSL et la **rigueur** de l'optimisation se conjuguent pour répondre aux exigences variées de l'Industrie 4.0.

Conclusion

Dans le contexte de **planification** et d'**optimisation** pour l'**Industrie 4.0**, le **Deep Synergy Learning** introduit :

- Une **approche distribuée** : chaque ressource (machine, transport, stock) agit comme une entité évolutive, plutôt qu'un simple paramètre dans un solveur central,
- Une **mise à jour adaptative** : plus besoin de résoudre un problème complet à chaque événement, on ajuste localement les synergies pour redistribuer les flux,
- Une **auto-organisation** de clusters (sous-réseaux de production) susceptibles de se reformer si des pannes ou des variations de demandes surviennent,
- Une **tolerance** aux données manquantes ou bruitées (capteur incertain, etc.),
- Une **extensibilité** : on peut ajouter de nouvelles machines ou de nouvelles gammes de produits, et laisser le DSL découvrir où les insérer via la synergie.

Bien sûr, des défis (taille du problème, besoin de parcimonie, contraintes symboliques) subsistent, mais la **philosophie** du DSL — laisser la dynamique ω déterminer en continu les regroupements et la répartition des tâches — se marie avec l'exigence de **flexibilité** et d'**évolution** rapide propres à l'Industrie 4.0. Ainsi, le DSL peut constituer un **cadre** pour des solutions d'**ordonnancement** et d'**optimisation** plus “organiquement adaptatives” que les méthodes statiques d'hier, ouvrant la voie à une production réellement **agile** et **intelligente**.

1.6.7. Perspectives pour la Recherche Fondamentale en IA Forte

Les précédentes sous-sections (1.6.1 à 1.6.6) ont démontré la **portée pratique** du **Deep Synergy Learning (DSL)** dans divers domaines applicatifs (vision, audio, robotique, recommandation, diagnostic, etc.). Cependant, l'**ambition** du DSL ne se limite pas à une simple amélioration des performances ou de la flexibilité dans ces tâches spécialisées. À un niveau plus **fondamental**, l'approche synergique **ouvre des pistes** de recherche susceptibles de rapprocher l'IA de la notion d'**IA Forte** (ou **IA Généralisée**), c'est-à-dire d'une intelligence capable d'**apprendre** et de **raisonner** de manière autonome et générale, au-delà de cadres strictement définis. Cette section (1.6.7) se propose d'explorer ces **perspectives** théoriques et conceptuelles :

L'idée que le DSL, grâce à ses **mécanismes d'auto-organisation**, évoque un fonctionnement plus proche de **systèmes cognitifs** (cerveau, écologies d'informations),

La possibilité d'**intégrer** simultanément des dimensions sub-symboliques (apprentissage sur données massives) et des **aspects symboliques** ou logiques (voir 1.5.7),

Les **propriétés émergentes** (représentations, micro-réseaux cognitifs, auto-adaptation) qui dépassent la simple exécution d'une tâche,

Les **défis mathématiques** et philosophiques associés à la poursuite d'une IA Forte via le DSL.

1.6.7.1. Au-delà de l'Apprentissage Supervisé : Vers l'Auto-Construction de la Connaissance

Une large part des avancées récentes en **IA** se fonde sur l'**optimisation globale** de réseaux neuronaux massifs par **rétropropagation**, qu'il s'agisse de données annotées en abondance ou d'un pré-entraînement auto-supervisé (approche de type GPT, BERT). Bien qu'efficaces, ces modèles conservent plusieurs caractéristiques :

Ils s'appuient sur une **architecture** linéaire ou faiblement hiérarchisée (même si l'on observe des multi-têtes d'attention).

Ils dépendent d'une **descente de gradient** ou d'une procédure équivalente visant à minimiser un coût défini globalement.

Ils manquent de flexibilité locale. Lorsque la distribution évolue, un réapprentissage (fine-tuning) s'impose souvent, avec le risque d'écraser partiellement les connaissances acquises, entraînant un phénomène de *catastrophic forgetting*.

Le **Deep Synergy Learning (DSL)** présente une **dynamique d'auto-organisation** plus proche de l'esprit de **systèmes complexes** (biologiques ou écologiques), où chaque **entité** (sous-module, neurone, flux d'information) gère ses **liaisons** suivant la **synergie** qu'il perçoit avec d'autres entités. Plutôt que de minimiser une **unique fonction de coût**, on autorise l'émergence de **clusters** et la **reconfiguration permanente** des connexions $\omega_{i,j}$. Cette approche "**bottom-up**" s'avère

potentiellement féconde pour développer des **mécanismes cognitifs** plus avancés et moins tributaires d'un lourd apprentissage supervisé.

Dans une perspective d'**IA Forte**, on envisage souvent un agent qui **accumule** graduellement des connaissances sans les oublier, tout en **réinterprétant** ces savoirs au fil des expériences. Le **DSL** y répond en laissant chaque **entité** conserver sa mémoire locale (paramètres, historique) et en **réévaluant** les liaisons ω de façon continue. On obtient ainsi un processus **incrémental** :

- De nouvelles **entités** (concepts, données) apparaissent ;
- Des **liaisons** se **créent** ou se rompent suivant la pertinence ou la coopération mesurée ;
- Des **clusters** de connaissances se **stabilisent**, ou se scindent si leur synergie interne décline ;

L'agent peut alors "**auto-structurer**" ses connaissances, analogue à un cerveau formant et dissolvant des **assemblées** neuronales.

Cette organisation, plus **distribuée** et **évolutive**, pose les bases d'une **auto-construction** de la connaissance, où l'on n'est plus tributaire d'un unique label ou d'une unique fonction de perte, mais d'une dynamique **locale** entre les **entités** qui renforcent ou amoindrissent leurs liens au gré de leur coopérativité. Elle suggère la possibilité d'un **savoir** plus flexible et cumulatif, réduisant la dépendance à un entraînement exhaustif et favorisant une **adaptation** continue aux données nouvelles ou aux changements de contexte.

1.6.7.2. Vers une Cognition Distribuée et Émergente

Le **Deep Synergy Learning (DSL)** trouve ses racines (section 1.3.1) dans l'observation des **systèmes biologiques** exhibant de la **plasticité** (synaptique chez les neurones), ou des phénomènes d'**auto-organisation** (colonies d'insectes, tissus cellulaires). Dans la perspective d'une **IA Forte**, un réseau d'entités peut servir de substrat cognitif où :

- Les **entités** \mathcal{E}_i représentent divers types d'informations, qu'il s'agisse de *features* perceptuelles issues de flux sensoriels, de concepts abstraits (catégories, notions sémantiques) ou de modules symboliques intégrant des règles logiques et sous-réseaux dédiés.
- Les **liaisons synergiques** $\omega_{i,j}$ suivent un renforcement de type hebbien généralisé. Elles se consolident lorsqu'une coopération entre deux entités \mathcal{E}_i et \mathcal{E}_j engendre un gain mesurable, que ce soit en termes de performance, de co-information ou de simplification des traitements.
- Les **clusters émergents** correspondent à des circuits cognitifs assurant des fonctions spécifiques telles que le traitement conceptuel, la mémoire de travail, la planification ou l'intégration de signaux multimodaux.

Au sein de ce **substrat**, chaque **cluster** reflète potentiellement une micro-théorie ou un schéma conceptuel, regroupant des entités pour former une **hypothèse**, un **concept**, voire un **plan d'action**. La structuration se fait de façon **dynamique** : les assemblées apparaissent ou se scindent selon l'évolution de leur synergie, permettant de reconfigurer en continu l'inventaire des connaissances ou des idées. Contrairement aux architectures statiques (couches fixes), cette configuration s'**auto-régule**, entre **plasticité** (création et rupture de liens) et **stabilité** (clusters pertinents).

En focalisant l'analyse sur la dynamique globale, on peut reproduire certains processus cognitifs. Une forme d'attention émerge lorsqu'un sous-réseau capte et monopolise la synergie disponible, créant un focus transitoire. Des boucles de rétroaction positives ou négatives peuvent induire des oscillations, comparables à des rythmes cognitifs ou à des alternances d'états mentaux. La préservation d'équilibres permet au système de maintenir des organisations robustes, tout en restant capable d'intégrer de nouvelles connexions ou d'en dissoudre certaines devenues moins pertinentes.

Ces phénomènes, absents d'un CNN ou d'un Transformer qui conservent une structure de pipeline rigide malgré leur complexité, s'apparentent davantage à un processus cognitif distribué. L'information circule entre des assemblées modulaires qui se forment et se désagrègent librement. Cette approche ouvre la voie à des agents capables de construire et de réviser en continu leurs hypothèses ou "théories", dans une démarche plus proche de la biologie et des neurosciences que de la simple minimisation d'une fonction de coût globale.

1.6.7.3. Intégration Symbolique : Socle pour le Raisonnement Abstrait

Dans une démarche d'**IA Forte**, il ne suffit pas de traiter des signaux sub-symboliques (capteurs, images, séquences, etc.) : il faut également pouvoir manier des **représentations abstraites** et des règles logiques complexes. Les réseaux neuronaux profonds, malgré leur puissance pour l'apprentissage sur données massives, peinent souvent à exécuter un raisonnement explicitement symbolique, à moins d'y adjoindre des modules spécialisés. Le **Deep Synergy Learning (DSL)** propose un **cadre unifié** où des entités clairement "symboliques" (comme $\mathcal{E}_{\text{rule}}$, $\mathcal{E}_{\text{concept}}$) coexistent avec des entités sub-symboliques ($\mathcal{E}_{\text{sensor}}$, $\mathcal{E}_{\text{feature}}$), comme décrit à la section 1.5.7. Les liaisons $\omega_{\text{rule}, \text{sensor}}$ s'enrichissent dès lors qu'une **règle** s'applique à un **schéma** concret observé : la synergie se renforce si la correspondance entre la règle et la configuration sensorielle se révèle fructueuse (information mutuelle, gain de performance, etc.). On obtient alors un **micro-réseau** dans lequel un ensemble de règles se coordonne avec un ensemble d'observations, sans cloison rigide séparant le module logique du module perceptif.

Dans cette perspective, la **dynamique** des pondérations ω ne se contente plus de rapprocher ou de séparer des entités "vision" ou "audio" : elle peut tout autant consolider des liens entre un **concept abstrait** et divers indices sensoriels confirmant sa validité, ou inversement discréditer une règle en la séparant d'un environnement où elle ne s'applique pas. Cela ouvre la voie à un **raisonnement** logico-perceptif plus fluide : lorsqu'une hypothèse symbolique $\mathcal{E}_{\text{rule}}$ se voit soutenue par l'observation $\mathcal{E}_{\text{sensor}}$, leur liaison grandit et un **cluster** naît, fusionnant la dimension symbolique et la dimension sub-symbolique. Cette approche épargne la nécessité d'implanter un connecteur artificiel entre un réseau neuronal et un moteur logique indépendant : c'est le **réseau** lui-même, via

la mise à jour des synergies, qui unifie ces deux registres. On y gagne en transparence et en **plasticité** : les règles symboliques peuvent être admises, ajustées ou rejetées au gré de la compatibilité avec les données sensorielles, se reformant ou se dissolvant au sein du **SCN**. Il en découle un possible **socle** pour un raisonnement abstrait mieux ancré dans la perception, condition importante de l'**IA Forte**, qui réclame un agent sachant à la fois extraire des modèles du monde et manipuler des constructions logiques plus élevées.

Dans une démarche d'IA Forte, il ne suffit pas de traiter des signaux sub-symboliques comme les capteurs, les images ou les séquences. Il est également essentiel de manipuler des représentations abstraites et des règles logiques complexes. Les réseaux neuronaux profonds, bien qu'efficaces pour l'apprentissage sur des données massives, rencontrent souvent des difficultés à exécuter un raisonnement explicitement symbolique sans l'ajout de modules spécialisés.

Le Deep Synergy Learning (DSL) propose un cadre unifié où des entités symboliques, telles que $\mathcal{E}_{\text{rule}}$ et $\mathcal{E}_{\text{concept}}$, coexistent avec des entités sub-symboliques, comme $\mathcal{E}_{\text{sensor}}$ et $\mathcal{E}_{\text{feature}}$, comme décrit dans la section 1.5.7. Les liaisons $\omega_{\text{rule,sensor}}$ se renforcent lorsqu'une règle s'applique à un schéma concret observé. La synergie grandit dès que la correspondance entre la règle et la configuration sensorielle apporte un gain, qu'il s'agisse d'une augmentation de l'information mutuelle ou d'une amélioration des performances. Il en résulte un micro-réseau où un ensemble de règles interagit directement avec un ensemble d'observations, sans séparation stricte entre le module logique et le module perceptif.

Dans cette perspective, l'évolution des pondérations ω ne se limite plus aux relations entre entités visuelles ou auditives. Elle peut également consolider les liens entre un concept abstrait et des indices sensoriels qui en confirment la validité, ou au contraire discréditer une règle en la détachant d'un environnement où elle ne s'applique pas. Cette dynamique favorise un raisonnement logico-perceptif fluide. Lorsqu'une hypothèse symbolique $\mathcal{E}_{\text{rule}}$ trouve un soutien dans une observation $\mathcal{E}_{\text{sensor}}$, leur connexion se renforce et un cluster se forme, fusionnant les dimensions symbolique et sub-symbolique.

Cette approche dispense d'implanter un connecteur artificiel entre un réseau neuronal et un moteur logique indépendant. Le réseau lui-même unifie ces deux registres grâce à l'ajustement progressif des synergies. Ce mécanisme renforce la transparence et la plasticité du raisonnement : les règles symboliques peuvent être acceptées, ajustées ou rejetées en fonction de leur compatibilité avec les données sensorielles, se reformant ou se dissolvant au sein du SCN. Cette capacité d'adaptation constitue un fondement pour un raisonnement abstrait ancré dans la perception, une condition essentielle de l'IA Forte, qui requiert un agent capable d'extraire des modèles du monde tout en manipulant des constructions logiques avancées.

1.6.7.4. Défis Mathématiques : un Pas vers une Théorie de la Cognition Synergique

Le **Deep Synergy Learning (DSL)** peut se voir comme un **système dynamique** non linéaire de grande dimension, dont la **matrice** $\Omega(t)$ (ou un hyper-graphe) évolue suivant une loi similaire à

$$\Omega(t+1) = \Omega(t) + \eta [S(\Omega(t)) - \tau \Omega(t)],$$

où $\Omega(t)$ désigne l'ensemble des pondérations $\{\omega_{i,j}(t)\}$ à l'instant t , et $S(\Omega(t))$ symbolise la mesure de **synergie** calculée entre les entités, qui peut elle-même dépendre de l'état global. Cette dynamique est susceptible de générer des **attracteurs** multiples (plusieurs organisations cognitives possibles), des **bifurcations** lorsque les synergies changent brusquement, voire des **cycles limites** interprétables comme des rythmes cognitifs ou des alternances d'états mentaux. L'**analyse** formelle (existence et stabilité d'attracteurs, transitions critiques, phénomènes d'hystérèse) reste toutefois un **défi** majeur, notamment si l'on souhaite déployer de nombreuses entités ou autoriser une définition non triviale de la synergie (information mutuelle n-aire, PID, etc.).

Pour gérer la croissance potentiellement explosive du nombre de liaisons $\{\omega_{i,j}\}$ et leur mise à jour en temps réel, on se tourne fréquemment vers des **méthodes de parcimonie** (seuils, coupes, hiérarchies de clusters) ou des **stratégies** d'échantillonnage. Certains mécanismes inspirés de la **biologie** — par exemple un terme d'oubli rapide ou une saturation — contribuent également à la **scalabilité**. Le choix précis de la fonction de synergie S , de la règle de mise à jour et de la topologie initiale influe sur la façon dont le réseau s'organise.

En parallèle, les travaux en **sciences cognitives** ou neurosciences computationnelles (comme la **théorie de l'information intégrée** de Tononi) proposent de quantifier la **part** d'information réellement unifiée dans un système. Dans l'esprit du **DSL**, on peut définir une **intégration globale** à partir de la **somme** des synergies (ou d'une co-information n-aire) :

$$\text{Intégration globale} = \sum_{i,j} \omega_{i,j} S(\mathcal{E}_i, \mathcal{E}_j),$$

ou encore effectuer une version plus générale au sein d'un **cluster** n-aire. Cette démarche veut évaluer la "**richesse**" émergente dans un réseau en perpétuelle auto-organisation. Elle ouvre un **pas** vers des réflexions sur la **conscience artificielle** ou l'**autonomie** inspirée de la cognition humaine, puisqu'elle quantifie à quel degré le réseau regroupe et **intègre** l'information sous forme de micro-réseaux cognitifs, susceptibles d'exhiber des propriétés d'**émergence** et de **complexité** caractéristiques des systèmes vivants.

Conclusion

Les perspectives du **Deep Synergy Learning** pour la **recherche fondamentale** en **IA Forte** s'articulent autour de :

- Sa **capacité** à s'**auto-structurer** hors d'un pipeline rigide ou d'une unique fonction de coût globale,
- Son **paradigme** distribué et émergent, plus proche de certains **modèles biologiques** ou cognitifs,
- L'**intégration** simultanée de dimensions sub-symboliques (features, embeddings) et symboliques (règles, concepts logiques) dans un **même** réseau de synergie,

- L'éventuelle **quantification** de la **richesse** et du **niveau d'intégration** du réseau, ouvrant la voie à des notions plus avancées (auto-réflexion, conscience, adaptativité illimitée).

En somme, si le **DSL** se montre déjà **efficace** et **agile** dans des applications concrètes (sections 1.6.1 à 1.6.6), il pourrait aussi servir de **fondement** à une IA plus **globale**, capable d'apprendre, de se réorganiser et d'**intégrer** différents registres de représentations (perception, logique, symbolique) de manière plus **organique**. La réalisation d'une IA Forte n'est pas assurée, mais le DSL introduit une approche différente en remplaçant la hiérarchie imposée par une auto-organisation continue. Cette dynamique pourrait permettre l'émergence de capacités cognitives plus vastes, s'inspirant davantage du fonctionnement du cerveau ou de systèmes biologiques.

1.7. Défis, Contraintes et Ouvertures

Les sections précédentes (1.1 à 1.6) ont mis en lumière la **logique fondamentale** du **Deep Synergy Learning (DSL)**, ses **mécanismes** d'auto-organisation et ses **capacités** à apporter des solutions nouvelles dans de multiples domaines applicatifs (vision, audio, robotique, recommandation, diagnostic, etc.). Toutefois, comme toute approche novatrice, le DSL n'échappe pas à des **défis** et des **contraintes** majeurs. Sur le plan **computationnel, théorique, méthodologique et éthique**, de nombreuses questions demeurent ouvertes, exigeant une recherche soutenue pour perfectionner le paradigme et garantir son insertion fluide dans des environnements industriels, médicaux, ou encore scientifiques.

La volonté du DSL de fonctionner sans architecture hiérarchique figée, et de laisser les entités s'**auto-organiser** via des synergies, requiert notamment :

- Une **scalabilité** adéquate (comment passer à des milliers ou millions d'entités sans explosion de la complexité ?),
- Une **qualité** et une **accessibilité** suffisantes des données (pour estimer la synergie de façon robuste),
- Des **algorithmes d'optimisation** aptes à gérer des systèmes dynamiques, non linéaires et potentiellement hétérogènes,
- Un **contrôle** de la stabilité et de la convergence (éviter les oscillations ou l'effondrement du réseau),
- Une **interprétabilité** pour l'humain, d'autant plus cruciale lorsque les décisions impactent des vies ou des processus critiques,
- Des **considérations éthiques** et réglementaires pour encadrer l'usage de systèmes auto-organisés, notamment en termes de responsabilité, d'acceptabilité, ou de gestion de biais,
- Des **comparaisons expérimentales** rigoureuses avec les approches existantes (réseaux neuronaux profonds, méthodes symboliques, algorithmes d'optimisation classiques) pour valider la pertinence et les conditions d'efficacité du DSL.

Dans cette section (1.7), nous examinons un à un ces **défis, contraintes et ouvertures**, déclinés en sept points :

Complexité Computationnelle et Scalabilité (1.7.1)

Qualité et Disponibilité des Données (1.7.2)

Développement d'Algorithmes d'Optimisation Appropriés (1.7.3)

Contrôle et Stabilité des Processus Auto-Organisés (1.7.4)

Interprétabilité et Explicabilité pour l'Humain (1.7.5)

Considérations Éthiques et Réglementaires (1.7.6)

Comparaisons Expérimentales avec d’Autres Approches (1.7.7)

Ce panorama permettra de saisir la **complexité** inhérente à l’approche synergique, tout en mettant en relief les **axes** de recherche et les **collaborations** scientifiques qu’elle appelle, pour faire du DSL un cadre de plus en plus solide dans l’écosystème de l’IA et de l’apprentissage automatique.

1.7.1. Complexité Computationnelle et Scalabilité

La première critique ou préoccupation qu’on peut formuler à l’égard du **DSL** concerne la **taille** potentielle du **graphe** des entités et la **complexité** des opérations nécessaires pour **calculer** ou **mettre à jour** les **pondérations** synergiques ($\omega_{i,j}$). En effet, si on postule :

- n entités $\{\mathcal{E}_1, \dots, \mathcal{E}_n\}$,
- une synergie binaire $S(\mathcal{E}_i, \mathcal{E}_j)$ pour chaque paire (i, j) ,
- une mise à jour régulière (à chaque itération ou chaque batch temporel),

alors la **complexité brute** peut facilement atteindre $O(n^2)$ par itération, ce qui devient ingérable quand n est de l’ordre de plusieurs milliers, voire millions, de composantes. De plus, si l’on veut aller vers des **synergies n-aires** (pour capturer des coopérations à plusieurs entités simultanément), la situation s’aggrave encore (complexité exponentielle).

1.7.1.1. Problématique du “Tout Relier à Tout”

L’un des principes centraux du **Deep Synergy Learning (DSL)** est de laisser les **entités** $\{\mathcal{E}_i\}$ se connecter ou se déconnecter au fil du temps, suivant la **synergie** perçue. Pourtant, permettre qu’une entité puisse se relier à toutes les autres sans limite conduit vite à un **graphe complet**, où chaque paire (i, j) exige un calcul de synergie $S(\mathcal{E}_i, \mathcal{E}_j)$. Cette démarche devient rapidement ingérable :

Le calcul de $S(\mathcal{E}_i, \mathcal{E}_j)$ pour toutes les paires (i, j) croît en $O(n^2)$.

La mise à jour des pondérations $\omega_{i,j}$ (section 1.4.5) présente la même complexité en $O(n^2)$.

Le stockage de l’ensemble $\{\omega_{i,j}\}$ requiert une **mémoire** en $O(n^2)$.

Dans des applications **massives** (robotique multi-capteurs, systèmes de recommandation avec des millions d’utilisateurs et de contenus, vision distribuée avec d’innombrables descripteurs), la construction d’un tel graphe complet compromet la **scalabilité** du DSL. Il devient crucial de maintenir une certaine **parsimonie** au sein du réseau, de sorte à ne pas créer aveuglément des liaisons $\omega_{i,j}$ pour chaque paire.

Une **stratégie** commune consiste à **restreindre** le calcul de synergie $S(\mathcal{E}_i, \mathcal{E}_j)$ aux seules paires dont les entités se révèlent “**assez proches**” ou déjà **corrélées**. On peut, par exemple, refuser la création de liens si la distance entre \mathbf{x}_i et \mathbf{x}_j dépasse un certain **seuil** ϵ . On peut aussi confiner le calcul à un **voisinage** k -plus-proches-voisins, limitant la croissance de connections. Par ailleurs, il faut un **mécanisme** pour découvrir graduellement de nouvelles liaisons, via un **échantillonnage** ou une **partition** initiale, sans explorer d’emblée toutes les paires (i, j) .

En parallèle, on définit des **règles** pour **supprimer** ou **inactiver** automatiquement les liens jugés trop faibles ou non pertinents (auto-suppression sous un seuil ω_{\min}). De cette manière, la densité du graphe reste modérée. On vise alors une complexité proportionnelle au nombre de liaisons “actives”, ce qui peut être bien inférieur à n^2 . Au bout du compte, le **réseau** se rapproche d’un **k-NN** ou d’un **ϵ -radius** dynamique, sur lequel on applique les mises à jour (section 1.4.5). Le **DSL** y opère donc ses principes d’auto-organisation et de synergie, tout en évitant l’écueil d’un graphe complet ingérable.

1.7.1.2. Calcul de Synergie : Coût des Mesures Informationnelles

Lorsque la **synergie** prend la forme d’une **co-information** ou d’une **information mutuelle** entre entités modélisées comme variables aléatoires, on se heurte à la difficulté du calcul ou de l’estimation de grande dimension. Les estimateurs non paramétriques (k-NN, Kernel density) sont souvent coûteux et la quantité de données exigée peut augmenter de manière exponentielle avec la dimension (curse of dimensionality). Pour rendre ces métriques d’information pratiquement utilisables, on peut :

- Limiter** la dimension ou extraire des **features** plus compactes (par un autoencodeur, par une PCA, etc.), afin de réduire le champ d’action des estimateurs d’entropie et de co-information.

- Recourir** à des mesures de synergie plus **légères** dans de nombreux cas (par exemple, la distance euclidienne ou la similarité cosinus), quitte à se priver de la richesse de l’information mutuelle stricte.

- Employer** des heuristiques d’**approximation** lorsqu’on tient absolument à l’information théorique, comme un **downsampling** des données, une **approximation** paramétrique (Gaussienne, mixture Gaussienne), ou la construction d’estimateurs allégés.

Ces méthodes aident à concilier la **vision** d’un DSL basé sur la co-information et la **réalité** des applications de grande dimension, pour lesquelles un calcul exact d’entropie resterait prohibitif.

1.7.1.3. Mise à Jour Itérative ou Partielle

Même si l’on parvient à maintenir une **structure parcimonieuse** (où un sous-ensemble restreint de liaisons $\omega_{i,j}$ demeure actif), la **mise à jour** de chaque pondération peut néanmoins devenir un **processus lourd** dans un réseau de grande taille. Pour rendre le **Deep Synergy Learning (DSL)** praticable à grande échelle, il est donc nécessaire de recourir à des **méthodes itératives** ou à des **mises à jour partielles**, évitant un recalcul exhaustif à chaque itération.

Une solution envisageable réside dans une **mise à jour locale en parallèle**. Chaque entité \mathcal{E}_i ne s’occupe que de ses **voisins** actuels, c’est-à-dire les nœuds auxquels elle est reliée par des liaisons $\omega_{i,j}$ non négligeables. Chacune calcule et met à jour les pondérations concernant ses connexions, en parallèle avec les autres entités. Cette approche repose sur une communication distribuée et une mutualisation des ressources (GPU ou TPU), tout en restant localisée. Au lieu d’explorer toutes les paires (i, j) du réseau, elle se concentre uniquement sur les liens existants.

Il demeure toutefois essentiel d'introduire un **mécanisme** pour éviter les conflits et saturations éventuelles. Par exemple, si plusieurs entités cherchent à coopérer en excès avec la même cible, on peut concevoir une **inhibition compétitive** assurant que les liaisons se stabilisent autour d'un certain nombre de voisins. Certaines idées issues des **systèmes multi-agents** (communication locale asynchrone, règles de stabilisation) favorisent la **convergence** du réseau. Ce paradigme s'apparente finalement à une **simulation** de réseaux biologiques ou neuronaux, où les neurones mettent à jour leurs connexions en temps réel de manière distribuée. La **scalabilité** demeure possible tant que la **densité** du graphe demeure limitée et que les calculs de synergie (ou de similarité) ne concernent pas l'ensemble des paires dans un espace de grande dimension.

1.7.1.4. Vers une Mathématique de la Parcimonie et du Grouping Évolutif

Une autre voie de recherche consiste à définir une **énergie** ou un **coût** global $\mathcal{J}(\Omega)$ pour le réseau Ω , englobant non seulement le terme $-\sum \omega_{i,j} S_{i,j}$ (valorisant les liens qui affichent une forte synergie) mais également un terme de **pénalisation** du nombre de liaisons non nulles. On peut par exemple écrire :

$$\mathcal{J}(\Omega) = - \sum_{i,j} \omega_{i,j} S_{i,j} + \alpha \|\Omega\|_0,$$

où $\|\Omega\|_0$ compte le nombre de connexions actives (i.e. $\omega_{i,j} > 0$) et $\alpha > 0$ contrôle l'importance de la parcimonie. Cette formulation **force** le réseau à **rester** relativement épars, tout en **maximisant** la somme de synergies. L'analyse mathématique des minima locaux de (\mathcal{J}) et la description des trajectoires de descente, en temps continu ou discret, dans un espace de grande dimension, soulèvent des défis majeurs. L'objectif est de caractériser la stabilité des clusters émergents et d'évaluer la croissance potentielle de la taille du réseau. Cette approche ouvre des perspectives pour un contrôle plus strict de la **complexité**, en assurant qu'une connectivité limitée ne se transforme pas en un graphe complet, préservant ainsi la faisabilité du **DSL** à grande échelle.

Conclusion

La **complexité computationnelle** et la **scalabilité** constituent sans doute les **premiers** grands défis pour le **Deep Synergy Learning**. Sans mesures de parcimonie et sans heuristiques de mise à jour partielle, le coût en temps et en mémoire peut devenir prohibitif. Les **pistes** de solutions incluent :

- **Sparsité** intégrée dans la création/rupture de liens,
- **Méthodes** d'estimation approximative des synergies dans des espaces de haute dimension,
- **Parallélisme** et algorithmes distribués,
- **Formulations** d'énergie globale favorisant la parcimonie.

Ces recherches sont cruciales pour permettre au DSL de s'étendre à grande échelle (milliers, millions d'entités) sans perdre l'efficacité ou la réactivité nécessaires dans les applications industrielles, médicales, ou cognitives.

1.7.2. Qualité et Disponibilité des Données

Au-delà des défis de **complexité** et de **scalabilité** (1.7.1), le **Deep Synergy Learning (DSL)** doit aussi relever des enjeux majeurs quant à la **qualité** et la **disponibilité** des données. En effet, la logique synergique et auto-organisée repose sur l'évaluation locale de **mesures de synergie** ($S(\mathcal{E}_i, \mathcal{E}_j)$) et sur la **mise à jour** (positive ou négative) de pondérations $\omega_{i,j}$. Lorsque les données sont trop **bruitées**, trop **parcellaires** ou manquent de **représentativité**, la convergence vers des clusters pertinents ou la stabilité de l'architecture peut être compromise. Le DSL, tout en étant plus tolérant aux lacunes qu'un réseau neuronal figé, n'en demeure pas moins dépendant d'un certain **niveau** de fiabilité et de diversité des entrées pour exploiter la synergie.

Dans cette sous-section (1.7.2), nous analyserons :

- Comment la **qualité** et la **couverture** des données impactent le calcul de la synergie,
- Pourquoi la **disponibilité** (flux continu vs. données rares) peut influencer sur la dynamique du DSL,
- Les biais possibles et les problèmes d'**incohérence** qui peuvent fausser l'auto-organisation,
- Les pistes pour **sécuriser** ou **améliorer** la robustesse de l'apprentissage synergique face à des données imparfaites.

1.7.2.1. Importance d'une Bonne Couverture et Diversité des Données

Le **Deep Synergy Learning (DSL)** s'appuie sur la fonction de synergie $S(\mathcal{E}_i, \mathcal{E}_j)$ pour guider la mise à jour des pondérations $\omega_{i,j}(t)$. Lorsque ces données \mathcal{E}_i et \mathcal{E}_j sont rares, bruitées ou biaisées, l'estimation de leur **distance** ou **similarité** (ou même de leur **co-information**) risque d'être inexacte. Cela peut entraîner un renforcement abusif de liens qui ne recouvrent aucune complémentarité réelle ou, à l'inverse, un affaiblissement injustifié de liaisons potentiellement utiles. Le réseau peut dès lors former des **clusters** peu pertinents, traduire des **biais** préexistants dans les données ou négliger des sous-groupes minoritaires.

Au-delà du simple problème d'**apprentissage** unitaire, le **DSL** met en relief la **couverture** temporelle. Si les conditions (saisons, configurations) varient, un système cherchant à s'adapter en continu aura besoin d'exemples suffisants pour chaque **régime** de données (périodes spécifiques, sous-populations) afin de réévaluer les synergies. Si le réseau n'est pas exposé aux conditions hivernales durant sa phase d'apprentissage, les connexions essentielles risquent de ne pas se former. Le DSL pourrait alors échouer à structurer des clusters adaptés lorsque l'hiver survient. Ce principe s'applique à d'autres domaines, car un flux d'informations continu nécessite un nombre suffisant d'itérations ou de répétitions pour permettre à chaque nouvelle modalité ou contexte de s'intégrer correctement dans le **Synergistic Connection Network**.

La diversité et la **représentativité** des données apparaissent donc cruciales pour qu'un **DSL** puisse véritablement tirer parti de son **auto-organisation**. Sans cette diversité, il risque de manifester des **biais** similaires à ceux de nombre de méthodes d'apprentissage, la différence étant qu'ici c'est la **formation** des clusters (et la dynamique des liaisons ω) qui pâtit des lacunes dans la couverture des phénomènes et des populations.

1.7.2.2. Bruit, Lacunes et Données Incomplètes

Comme discuté en section 1.5.3, le Deep Synergy Learning (DSL) fait preuve d'une flexibilité remarquable vis-à-vis des données incomplètes ou bruitées. Une entité trop incertaine finit par se retrouver isolée si sa synergie avec les autres entités demeure inexistante, préservant ainsi la structure principale du réseau. Toutefois, lorsque la majeure partie des entités se révèle entachée d'un bruit élevé ou d'un manque important de mesures, l'auto-organisation échoue à faire ressortir des synergies réelles. Les pondérations $\omega_{i,j}$ restent faibles et aucun cluster solide ne se forme, ou bien les liens se renforcent sur la base de signaux erronés, créant des artefacts de bruit.

Le **DSL** reste donc partiellement tributaire d'un **nettoyage** ou d'une **consolidation** préliminaire si le **bruit** se montre trop massif, sous peine de limiter sa capacité à détecter les vraies complémentarités. Plusieurs stratégies peuvent alors intervenir pour filtrer ou rehausser la qualité des données :

- Un **filtrage statistique** peut écarter ou sous-pondérer les entités dont les mesures apparaissent trop incertaines (taux de données manquantes élevé, incohérences récurrentes).
- Une **fusion** locale d'entités similaires peut consolider leur information : si deux entités \mathcal{E}_i et \mathcal{E}_j se recouvrent largement ou présentent des mesures redondantes, il est envisageable de les grouper en une entité plus fiable et plus "complète".
- L'inclusion de **scores** de fiabilité dans la fonction de synergie $S(\mathcal{E}_i, \mathcal{E}_j)$ évite de s'appuyer lourdement sur des estimations basées sur un faible nombre de points ou sur des valeurs soupçonnées d'être bruitées. Par exemple, on peut moduler la similarité ou la distance d'après un **coefficient de confiance** attaché à chaque entité ou à chaque mesure.

Grâce à ces mécanismes, on endigue l'effet d'un bruit omniprésent tout en préservant la logique d'**auto-organisation** du DSL. Ainsi, même si certaines entités restent partiellement incomplètes, elles peuvent trouver leur place dans le **Synergistic Connection Network** dès lors qu'elles entretiennent au moins quelques synergies robustes avec d'autres entités.

1.7.2.3. Accès et Disponibilité Continue : le DSL comme Système en Ligne

Dans de nombreux environnements, il est nécessaire de gérer un **flux** ininterrompu de données et de réajuster en permanence les structures d'apprentissage. Le **Deep Synergy Learning (DSL)**, déjà décrit comme un processus de mise à jour itérative (voir la section 1.4.5), peut fonctionner en

mode “online” si l’on s’assure que chaque entité \mathcal{E}_i reçoit ses observations de manière régulière ou semi-régulière. Lorsque de nouvelles mesures sont disponibles, la **synergie** $S(\mathcal{E}_i, \mathcal{E}_j)$ est recalculée localement (ou approximée sur une fenêtre glissante), puis la pondération $\omega_{i,j}(t+1)$ s’actualise selon l’équation :

$$\omega_{i,j}(t+1) = \omega_{i,j}(t) + \eta [S(\mathcal{E}_i, \mathcal{E}_j) - \tau \omega_{i,j}(t)].$$

Cette logique d’évolution incrémentale requiert un **accès** continu aux flux entrants, que l’on traite idéalement par un système de gestion de messages (type broker Kafka) ou par un stockage minimal assurant la conservation des $\omega_{i,j}(t)$. Le réseau se reconfigure au fil de la réception de nouvelles données, sans qu’il soit nécessaire de reprendre un apprentissage exhaustif en mode batch. Dans un contexte industriel où la disponibilité des données peut être irrégulière, il arrive parfois que certaines entités n’aient aucune mise à jour pendant une période. Il faut alors conserver leurs liaisons $\omega_{i,j}(t)$ inchangées et ne pas pénaliser excessivement l’absence de mesures, conformément aux principes d’adaptation face aux lacunes de données (section 1.5.3). Lorsque la distribution évolue de manière brusque, le **DSL** réévalue les synergies de façon locale et progressive : dès qu’une entité se montre moins corrélée à son voisinage, ses pondérations décroissent et elle se retrouve partiellement isolée, tandis que de nouveaux liens peuvent se former avec d’autres entités plus en adéquation avec la situation nouvelle.

Du point de vue du **déploiement**, un tel système en ligne exige une **synchronisation** ou un **parallélisme** adapté. Chaque entité ne traite que ses connexions actives, ce qui maintient la complexité à un niveau proportionnel au nombre de liaisons conservées (voir la section 1.7.1.2 sur la parcimonie). Pour des applications massivement distribuées, il est possible de faire coexister plusieurs nœuds DSL partiels et de synchroniser leurs matrices ω par échanges de sous-graphes ou de résumés statistiques. Cette configuration favorise la **scalabilité** et la **résilience**, car si un nœud local subit une interruption ou un ralentissement, le reste du réseau n’est pas forcé de s’arrêter, et les autres entités continuent à ajuster leurs pondérations. Une telle conception rend le **DSL** apte à gérer des environnements en perpétuel changement, tout en intégrant les principes d’auto-organisation et de mise à jour continue.

1.7.2.4. Biais et Incohérences Structurelles

Dans le **Deep Synergy Learning (DSL)**, les liaisons $\omega_{i,j}$ émergent localement à travers la **synergie** $S(\mathcal{E}_i, \mathcal{E}_j)$. Lorsque les données d’entrée sont biaisées, par exemple avec une surreprésentation de certains profils (sections 1.5.3 et 1.7.2.1), le réseau a tendance à **renforcer** les clusters correspondant aux **groupes majoritaires**, tout en marginalisant des entités issues de groupes minoritaires ou insuffisamment renseignés. Dans des domaines critiques comme le **diagnostic médical** ou la **recommandation sensible**, un tel phénomène peut avoir pour effet d’**entériner** des inégalités ou de mener à des **erreurs** d’interprétation (sous-diagnostic pour certains patients, ou éviction de contenus pertinents pour certaines catégories d’utilisateurs).

À la différence d’un **modèle supervisé** où l’on surveille une **loss** globale sur l’ensemble des données, le DSL base ses ajustements sur des **mesures locales** de synergie. Même si la structure globale Ω peut finir par présenter un arrangement biaisé, la démarche d’**auto-organisation** ne possède pas toujours de mécanismes internes de correction. Les entités minoritaires voient leurs

pondérations $\omega_{i,j}$ rester faibles, du fait qu'elles ne rencontrent pas suffisamment de synergie avec la majorité. Par ailleurs, si une **incohérence** surgit ou si un artefact statistique biaisé devient prépondérant, le DSL peut stabiliser un **cluster** aberrant, en l'absence de contrôle externe.

Pour pallier cette difficulté, il est indispensable de prévoir des **mécanismes** de **validation** ou de **monitoring** global. On peut, par exemple, injecter des **entités symboliques** (sections 1.5.7 et 1.7.2.3) qui portent des règles ou des normes éthiques, limitant la croissance de clusters injustes ou repérant les configurations contradictoires. On peut également imposer un **feedback** externe, ou un signal de performance englobant des critères d'équité, veillant ainsi à empêcher la fermeture de groupes déviants. La structure ω peut alors être réévaluée à la lumière de ces **contraintes** d'équité ou de cohérence, conférant au réseau un degré de régulation qui contrebalance les dérives potentielles issues de la simple coopération locale.

1.7.2.5. Conclusion

La **qualité** et la **disponibilité** des données sont cruciales pour le **Deep Synergy Learning**, tout comme pour la plupart des approches d'IA. Néanmoins :

- Le **DSL** peut mieux tolérer la **partialité** (en isolant les entités trop bruitées),
- Il s'adapte mieux à un **flux continu** (mise à jour locale des pondérations),
- Il demeure sujet à des **biais** et à un besoin de **représentativité** dans les données.

Ainsi, un important **travail préparatoire** est souvent nécessaire pour :

Filterer ou **pondérer** la qualité des données,

Introduire des **scores de confiance** dans la synergie,

Établir une **stratégie** de streaming ou de batch mixte pour nourrir la dynamique ω ,

Surveiller la **formation** de clusters anormaux ou la propagation de biais dans l'auto-organisation.

Réussir ce pilotage des données est fondamental pour tirer profit du DSL. Un système auto-organisé ne peut pas compenser des lacunes majeures dans la collecte ou la représentativité des données sans un minimum d'ingénierie et de gouvernance adaptées.

1.7.3. Développement d'Algorithmes d'Optimisation Appropriés

Une fois admise la nécessité de gérer la **complexité** (1.7.1) et de soigner la **qualité** des données (1.7.2), se pose la question cruciale des **algorithmes** qui permettront de **piloter** la dynamique du **Deep Synergy Learning (DSL)**. En effet, ce paradigme repose sur l'**auto-organisation** de multiples entités $\{\mathcal{E}_i\}$ et sur la **mise à jour** de l'ensemble des pondérations synergiques $\omega_{i,j}(t)$. Dans le modèle théorique simple, on écrit souvent :

$$\omega_{i,j}(t+1) = \omega_{i,j}(t) + \eta[S(\mathcal{E}_i, \mathcal{E}_j) - \tau \omega_{i,j}(t)],$$

Où $S(\mathcal{E}_i, \mathcal{E}_j)$ désigne la **synergie** entre ces entités.

En pratique, mettre en œuvre cette loi pour un grand nombre d'entités, avec des synergies potentiellement complexes (non linéaires, conditionnelles, n-aires), n'est pas trivial. On a besoin de **méthodes** d'optimisation aptes :

- À **stabiliser** le système (éviter les oscillations permanentes ou l'explosion des pondérations),
- À **accélérer** la convergence vers des configurations pertinentes (clusters, macro-clusters),
- À prendre en compte des **contraintes** (symboliques, de cohérence, de parcimonie),
- À **s'adapter** quand de nouvelles entités ou données apparaissent (flux continu).

Cette sous-section (1.7.3) discute quelques **pistes** mathématiques et algorithmiques pour rendre le DSL plus solide et plus efficace :

- Des méthodes **locales** (mise à jour distribuée),
- Des formulations **globales** (fonction d'énergie, descente de gradient généralisée, approches de type recuit simulé),
- Des **heuristiques** ou des règles inspirées de la biologie et des systèmes complexes (sélection, reproduction, extinction),
- Des **extensions** pour la synergie n-aire ou conditionnelle.

1.7.3.1. Approche Locale et Distribuée

Dans l'esprit **biologique** et de nombreux modèles de **systèmes complexes**, on peut envisager la mise à jour de chaque pondération $\omega_{i,j}$ de manière **locale**, sans qu'un contrôle global impose la synchronisation. Chaque entité \mathcal{E}_i communique uniquement avec ses **voisins** au sens du graphe, autrement dit les entités \mathcal{E}_j pour lesquelles $\omega_{i,j}(t)$ est significatif. L'entité \mathcal{E}_i calcule alors la **synergie** $S(\mathcal{E}_i, \mathcal{E}_j)$ sur la base de mesures ponctuelles (ou d'un historique local) et applique la règle :

$$\omega_{i,j}(t+1) = \omega_{i,j}(t) + \eta_{i,j}(t) [S_{i,j}(t) - \tau_{i,j}(t) \omega_{i,j}(t)].$$

Cette équation reprend le formalisme général du **Deep Synergy Learning** (section 1.4.5) en autorisant des coefficients $\eta_{i,j}(t)$ et $\tau_{i,j}(t)$ qui dépendent de la paire (i, j) ou varient dans le temps, procurant une **régulation** fine. L'**avantage** est de rendre l'algorithme **parallélisable**, puisque chaque entité \mathcal{E}_i peut mettre à jour ses liaisons sans solliciter un "master" central. Une difficulté réside dans la synchronisation. Si plusieurs entités modifient simultanément leurs liaisons communes, des boucles instables ou des conflits peuvent émerger. Il est donc recommandé d'adopter des stratégies d'asynchronisme contrôlé ou de communication par itérations successives.

Dans cette optique, on peut se référer à diverses **métaphores** ou **règles** d’inspiration biologique. Par exemple, une **mise à jour** “hebbienne” renforce la pondération $\omega_{i,j}$ lorsqu’on observe une co-activation récurrente des entités \mathcal{E}_i et \mathcal{E}_j , et l’affaiblit en l’absence de co-occurrence. Par ailleurs, une sélection ou une “reproduction” des liaisons peut être mise en place. Les paires (i,j) dont le score ou l’utilité restent trop faibles sur une longue période sont éliminées, tandis que d’autres liens se renforcent ou se “reproduisent” en apparaissant sur d’autres nœuds similaires. Une compétition locale peut aussi servir à réguler la densité. Il est possible de contraindre la somme $\sum_j \omega_{i,j}$ pour chaque entité \mathcal{E}_i ou d’appliquer un “softmax” local, favorisant quelques connexions fortes plutôt qu’un grand nombre de liens faibles.

Par ces variantes, on parvient à **contrôler** la **densité** du graphe, la vitesse de renforcement des pondérations et la **résilience** face au bruit ou aux données incomplètes (sections 1.7.1.2 et 1.5.3). Le DSL gagne alors en scalabilité tout en conservant son principe d’auto-organisation. Chacun de ces mécanismes reste local, garantissant une dynamique distribuée compatible avec des implémentations parallèles sur GPU ou TPU, ainsi qu’avec des approches multi-agents où chaque entité ajuste ses connexions en fonction de ses propres observations et interactions.

1.7.3.2. Formulation Globale via Fonction d’Énergie

Dans une perspective plus proche de l’**optimisation** (au sens des approches traditionnelles en IA ou en physique statistique), il est concevable de décrire l’**auto-organisation** du Deep Synergy Learning (DSL) par une **fonction d’énergie** $\mathcal{J}(\Omega)$. On peut écrire une expression qui généralise la somme des synergies et la pondère par un terme de **régularisation**, selon :

$$\mathcal{J}(\Omega) = - \sum_{i,j} \omega_{i,j} S_{i,j} + R(\Omega).$$

Dans ce formalisme, la somme $\sum_{i,j} \omega_{i,j} S_{i,j}$ valorise la **coopération** (au sens de la synergie, voir sections 1.4.4 et 1.4.5), tandis que le terme $R(\Omega)$ constitue une **régularisation**, par exemple $\alpha \|\Omega\|^2$ ou $\alpha \|\Omega\|_0$, qui maintient la parcimonie ou la cohérence structurelle du **Synergistic Connection Network**. Cette formulation intègre les principes abordés en 1.7.1.4 sur le contrôle de la densité et le maintien des contraintes au sein d’une fonction de coût unique. L’objectif global revient à maximiser la somme des synergies ou, formulé en termes d’énergie, à minimiser \mathcal{J} .

Pour résoudre l’évolution de Ω dans ce cadre, on peut appliquer une descente de gradient. En notant $\omega_{i,j}$ un des paramètres, sa dérivée partielle par rapport à \mathcal{J} s’écrit sous la forme

$$\frac{\partial \mathcal{J}}{\partial \omega_{i,j}} = - S_{i,j} + \frac{\partial R(\Omega)}{\partial \omega_{i,j}}.$$

En discrétisant cette descente, on retrouve l’équation qui met à jour $\omega_{i,j}$ de façon incrémentale :

$$\omega_{i,j}(t+1) = \omega_{i,j}(t) + \eta [S_{i,j} - \tau \omega_{i,j}(t)],$$

ce qui explicite la proximité entre la **logique locale** décrite en 1.4.5 et la **formulation** d’une énergie globale $\mathcal{J}(\Omega)$. Dans les problèmes complexes, la descente de gradient peut aboutir à des minima locaux sous-optimaux. On peut alors envisager un **recuit simulé** (simulated annealing) directement

sur l'espace du graphe Ω . Cette méthode consiste à perturber par moments la configuration courante (création ou suppression de liens), et à n'accepter ou refuser ces modifications qu'avec une probabilité liée à la variation ΔJ et à un paramètre de température qui décroît au fil des itérations. Dans le contexte du **DSL**, où la synergie peut être **n-aire** (voir section 1.4.7), l'exploration globale de l'espace combinatoire joue un rôle clé. Une descente par ajustements purement locaux risquerait de rester confinée dans un cluster partiel, sans parvenir à capturer des interactions plus larges ou des configurations synergiques optimales. Le recuit simulé ou des **algorithmes évolutionnaires** jouent alors le rôle de recherche d'une configuration plus robuste, accompagnant l'auto-organisation locale. Cette combinaison de l'approche **par énergie** et de la **dynamique en continu** ouvre une voie pour maîtriser mathématiquement la convergence et la structure du **Synergistic Connection Network**, en particulier lorsqu'on cherche à maintenir une **parsimonie** explicite ou à inclure des contraintes topologiques (voir 1.7.1.4).

1.7.3.3. Synergie n-aire et Extensions Conditionnelles

Le **Deep Synergy Learning (DSL)** se focalise souvent sur la **coopération** entre deux entités \mathcal{E}_i et \mathcal{E}_j . Toutefois, certains problèmes exigent une **synergie n-aire**, c'est-à-dire impliquant un **groupe** $\{\mathcal{E}_{i_1}, \dots, \mathcal{E}_{i_n}\}$ de cardinal $n \geq 3$. Dans ce cas, on peut introduire des **hyper-arêtes** ω_{i_1, \dots, i_n} plutôt que de simples liaisons binaires. La mise à jour de la pondération hyper-arête s'effectue alors selon une généralisation de la loi (voir section 1.4.5), par exemple :

$$\omega_{i_1, \dots, i_n}(t+1) = \omega_{i_1, \dots, i_n}(t) + \eta [S_n(\mathcal{E}_{i_1}, \dots, \mathcal{E}_{i_n}) - \tau \omega_{i_1, \dots, i_n}(t)].$$

Dans cette équation, la fonction $S_n(\mathcal{E}_{i_1}, \dots, \mathcal{E}_{i_n})$ évalue la **synergie** globale de l'ensemble $\{\mathcal{E}_{i_k}\}$. Sa définition peut s'appuyer sur une co-information n-aire, sur un gain de performance collectif ou sur toute métrique reflétant l'apport mutuel de ce sous-groupe. Néanmoins, la **complexité** combinatoire s'en trouve rapidement démultipliée, car on doit gérer des hyper-arêtes potentiellement innombrables lorsque n augmente. Pour cette raison, il est fréquent de recourir à des **heuristiques** afin de détecter des triplets, quadruplets, etc., seulement lorsque l'on constate une coopération stable entre ces entités ; on se contente de créer l'hyper-arête ω_{i_1, \dots, i_n} après avoir observé à maintes reprises que ces n entités coopèrent.

Par ailleurs, il arrive que la **synergie** dépende d'un **contexte c**. Un exemple typique survient lorsque l'association audio-texte n'est pertinente que dans une situation donnée (un lieu, une heure, une ambiance sonore). La règle de mise à jour se réécrit alors :

$$\omega_{i,j}(t+1) = \omega_{i,j}(t) + \eta [S(\mathcal{E}_i, \mathcal{E}_j \mid \mathbf{c}(t)) - \tau \omega_{i,j}(t)].$$

Dans ce cadre, il est nécessaire de calculer une **synergie conditionnelle** $S(\cdot \mid \mathbf{c})$, qui peut varier considérablement en fonction du contexte. L'estimation et l'optimisation deviennent alors plus complexes, car la distribution induite par $\mathbf{c}(t)$ peut évoluer au fil du temps ou comporter plusieurs régimes de fonctionnement distincts.

Les algorithmes d'auto-organisation du DSL doivent alors incorporer des modèles de synergie **conditionnelle**, qui modulent la pondération $\omega_{i,j}$ suivant la valeur prise par **c**. Cette extension demeure essentielle dans de multiples applications, comme la robotique adaptative (un même couple de capteurs se révèle pertinent ou non selon le mode de locomotion) ou le traitement multimodal (un segment audio et un mot ne coïncident que dans un contexte temporel précis). Elle requiert cependant des stratégies de **parcimonie** ou de **sampling** pour éviter une explosion combinatoire lorsqu'on veut évaluer la synergie conditionnelle sur tous les contextes possibles.

1.7.3.4. Contrôle de la Stabilité et Convergence Globale

Dans tout système dynamique où les éléments sont fortement couplés, des cycles ou des oscillations apparaissent fréquemment. Un sous-réseau peut se renforcer temporairement avant qu'un autre ne prenne le relais, affaiblissant progressivement les premières connexions, et ce processus peut se répéter continuellement. Il peut aussi survenir un phénomène de **basculement** entre plusieurs attracteurs stables (configurations rivales) si la structure du **Synergistic Connection Network** autorise plusieurs manières de s'organiser pour la même situation. Le **Deep Synergy Learning (DSL)** n'échappe pas à ces scénarios, en particulier lorsque la fonction de synergie $S(\mathcal{E}_i, \mathcal{E}_j)$ est très "non linéaire" ou quand la synergie n-aire entre plusieurs entités génère des interactions complexes (sections 1.4.7 et 1.7.3.3).

Pour limiter ce risque d'oscillations ou de dérive, il convient d'inclure des **mécanismes** ou des **règles** de contrôle dans la mise à jour des pondérations $\omega_{i,j}$. On peut imposer un **amortissement** progressif (faire varier η ou τ dans le temps), intégrer une **pénalisation** plus agressive des liens excessivement grands, ou encore définir des **seuils de saturation** empêchant une pondération $\omega_{i,j}$ de croître sans borne. Des analyses mathématiques, telles que l'étude de la **Jacobienne** locale ou des **fonctions de Lyapunov** globales, peuvent démontrer qu'un schéma de mise à jour particulier garantit la convergence vers un état stable (ou au moins vers un cycle stable), sans risquer un chaos indésirable.

Il est également envisageable de greffer un **module** de contrôle hiérarchique (de plus haut niveau), qui surveille la dynamique globale du réseau et injecte ponctuellement des modifications de paramètres η ou τ si la variance du système dépasse un certain seuil. Ce principe d'**hybridation** (auto-organisation libre + régulation macro) rappelle certaines structures biologiques ou cognitives, où les ajustements locaux cohabitent avec des boucles de rétroaction plus centrales. On cherche alors à préserver la **liberté synergique** au niveau local, tout en s'assurant que le **réseau** ne sombre pas dans une instabilité excessive. Cet équilibre soulève des questions d'**optimisation** et de **pilotage** du **DSL**, qui restent ouvertes à la recherche, notamment sur les plans pratique (implémentation à grande échelle) et théorique (analyse de la dynamique dans un espace de forte dimension).

Conclusion

Le **développement d'algorithmes d'optimisation** pour le **Deep Synergy Learning** s'annonce particulièrement riche et complexe. Les **règles de mise à jour** naïves suffisent à illustrer le concept,

mais ne passent pas toujours à l'échelle ni ne gèrent la synergie n-aire, les contraintes symboliques, ou la minimisation globale d'une fonction d'énergie. Les approches possibles incluent :

- **Mise à jour locale** inspirée de la biologie (sélection, Hebb, normalisation compétitive),
- **Descente d'énergie** globale (fonctions \mathcal{J} pénalisant la densité, favorisant la synergie),
- **Algorithmes évolutifs** (recuit simulé, heuristiques stochastiques) pour éviter les minima locaux,
- **Extensions** aux hyper-arêtes (synergies n-aires), aux synergies conditionnelles, ou aux règles symboliques,
- **Contrôles** de stabilité et d'amortissement, voire un superviseur partiel pour limiter les oscillations et injecter des priorités.

Trouver la meilleure **formulation** et le meilleur **algorithme** dépendra de l'application (vision, robotique, recommandation, etc.), du **volume** de données et de la **structure** (binaire ou n-aire, symbolique, multi-modal). La poursuite de ces recherches est incontournable pour que le **DSL** gagne en robustesse, en efficacité, et en adoptabilité dans le monde réel.

1.7.4. Contrôle et Stabilité des Processus Auto-Organisés

L'**auto-organisation** est au cœur du **Deep Synergy Learning (DSL)**, permettant à un grand nombre d'entités (capteurs, modules de calcul, représentations symboliques ou sub-symboliques) de s'agencer spontanément en **clusters** ou **macro-clusters** selon leurs synergies. Cette dynamique, bien qu'elle dote le DSL de plasticité et d'adaptabilité, peut poser des problèmes de stabilité. Des phénomènes tels que des oscillations, la présence d'attracteurs multiples ou encore des comportements chaotiques peuvent émerger. Par ailleurs, dans de nombreux domaines comme la robotique, le diagnostic ou la logistique, un contrôle partiel de l'auto-organisation s'avère nécessaire afin d'assurer la sécurité, la fiabilité et la conformité avec des règles externes.

Dans cette sous-section (1.7.4), nous examinons les **défis** posés par la **dynamique** d'un système DSL, et les **solutions** ou **mécanismes** possibles pour assurer un certain niveau de **contrôle** et de **stabilité** :

- La tendance des systèmes couplés à générer des **oscillations** ou des **cycles**,
- Les risques d'**explosion** ou d'**effondrement** des pondérations synergiques ω ,
- L'existence de **multiples attracteurs** en concurrence, pouvant conduire à des configurations divergentes,
- Les **dispositifs** de rétroaction ou de surveillance globale pour introduire un pilotage **hiérarchique** léger,
- Les **garanties** (ou non-garanties) de convergence sous certaines hypothèses mathématiques.

1.7.4.1. Risques d'Oscillations et de Comportements Chaotiques

Dans le **Deep Synergy Learning**, chaque liaison $\omega_{i,j}$ obéit à une évolution itérative inspirée des principes décrits en section 1.4.5, ce qui donne lieu à un **système dynamique** d'environ $O(n^2)$ degrés de liberté dans le cas binaire. Pour comprendre comment apparaissent des **cycles** ou des **régimes oscillatoires**, il est éclairant d'étudier la **linéarisation** locale autour d'un point fixe ω^* . Supposons l'existence d'un équilibre ω^* satisfaisant un état stationnaire ; si l'on introduit une petite perturbation $\delta\omega$, la dynamique globale s'écrit de manière approchée :

$$\delta\omega(t+1) \approx J(\omega^*) \delta\omega(t),$$

où $J(\omega^*)$ désigne la **matrice jacobienne** évaluée en ω^* . En temps discret, un comportement oscillatoire ou pseudo-chaotique survient lorsque certaines **valeurs propres** de J possèdent une magnitude supérieure à 1. Cela signifie que la perturbation $\delta\omega$ se voit **amplifiée** au fil des itérations, au lieu d'être dissipée. En temps continu, la condition équivalente consisterait à observer des **parties réelles** positives dans les valeurs propres, menant à une instabilité locale ou à des boucles auto-entretenues.

Ce type de phénomène peut se traduire par des **cycles** permanents, ou même des trajectoires quasi chaotiques, contrariant la **convergence** du réseau vers un état stable. De tels régimes, bien que mathématiquement fascinants, s'avèrent peu souhaitables si l'on souhaite une structure DSL stable pour la robotique, la maintenance ou la prise de décision. C'est pourquoi on introduit souvent des **mécanismes** de stabilisation. Une première solution consiste à contrôler la "vitesse" de mise à jour en imposant une contrainte, par exemple $\eta\tau < 1$, dans le cas linéaire simplifié. On peut ensuite recourir à des **termes** non linéaires de saturation, destinés à éviter la croissance illimitée de certaines pondérations. Un exemple simple, dans un modèle continu, consiste à enrichir l'équation d'évolution par un terme $-\beta(\omega_{i,j})^3$:

$$\frac{d}{dt} \omega_{i,j} = \eta [S(\mathcal{E}_i, \mathcal{E}_j) - \tau \omega_{i,j}] - \beta(\omega_{i,j})^3,$$

où $\beta > 0$ modère la croissance des liaisons fortes. De manière analogue, on peut introduire un **facteur** de compétition locale (type softmax), en imposant $\sum_j \omega_{i,j} \leq K$ pour chaque entité \mathcal{E}_i , de sorte qu'une entité ne puisse pas développer des liens solides avec trop de partenaires en même temps.

Ces mesures limitent la **liberté** d'auto-organisation, mais s'avèrent cruciales pour écarter des régimes oscillatoires ou chaotiques susceptibles d'émerger dans un réseau fortement couplé et non linéaire. Elles assurent ainsi une forme de **stabilité** globale tout en préservant la possibilité de réorganisations locales dictées par la synergie. Un savant réglage des paramètres (η , τ , β , ou le budget $\sum_j \omega_{i,j} \leq K$) permet donc de maintenir le **DSL** dans une zone où le réseau demeure robuste et apte à converger, évitant des fluctuations intempestives tout en conservant l'essence auto-adaptative voulue.

1.7.4.2. Multiples Attracteurs, Convergence Incertaine

Il est fréquent qu'un **Deep Synergy Learning (DSL)** cherche à maximiser, ou à minimiser l'opposé, d'une **somme de synergies** $\sum_{i,j} \omega_{i,j} S_{i,j}$ éventuellement modulée par un terme de pénalisation ou de parcimonie (voir section 1.7.1.4). Dans un espace de grande dimension, on peut rencontrer de **multiples attracteurs** correspondant à des configurations dont l'énergie (ou le coût) est quasi équivalente. Ce phénomène se manifeste lorsqu'il existe plusieurs manières d'**arranger** les entités en clusters, chacune procurant un gain global proche. Le réseau peut alors converger vers l'un ou l'autre de ces attracteurs selon les conditions initiales ou de légères fluctuations.

Dans la pratique, il arrive que des "sous-réseaux" rivaux émergent au cours de la dynamique, chacun rassemblant certaines entités en un **cluster** distinct. Une compétition peut alors s'installer entre ces sous-réseaux, induisant des **instabilités** transitoires et des oscillations (voir section 1.7.4.1). Si l'on désire un **état** unique et stable, par exemple pour un robot qui ne peut se scinder en deux stratégies opposées, on peut injecter un **signal global** orientant le réseau vers l'attracteur souhaité. Cette intervention se formalise en modifiant la fonction de synergie ou en ajoutant un **feedback** de récompense plus élevé pour une configuration A que pour une configuration B. On obtient ainsi un **pilotage** macro qui restreint la pure auto-organisation, mais assure qu'en présence de minima multiples, la configuration la plus souhaitable selon les critères d'usage devienne prépondérante. Cette démarche montre le besoin de compromis entre la liberté synergique propre au DSL et la nécessité d'un **contrôle** hiérarchique dans certaines applications critiques.

1.7.4.3. Approches Hiérarchiques Légères pour Guider l'Auto-Organisation

Dans des environnements critiques, tels que le domaine **médical** ou les **transports**, il n'est pas toujours acceptable de laisser un réseau en **Deep Synergy Learning (DSL)** se reconfigurer librement sans un regard d'ensemble. Afin de maîtriser la sécurité et la fiabilité, on introduit souvent une **couche** ou un **module** de supervision qui contrôle globalement la structure Ω . Ce superviseur observe la **matrice** des liens actifs et vérifie des **contraintes** imposées par l'application. Par exemple, on peut exiger que la somme $\sum_j \omega_{i,j}$ attachée à une entité \mathcal{E}_i ne dépasse pas un seuil spécifique, ou que certaines entités déclarées incompatibles (règles de sécurité, normes médicales contradictoires) ne figurent pas dans le même cluster. Si ce superviseur détecte une violation, il peut forcer la **mise à zéro** de certaines liaisons $\omega_{i,j}$, neutralisant ainsi des configurations illégitimes.

On peut aussi concevoir un **schéma** où la **couche basse** demeure l'auto-organisation locale et distribuée, tandis qu'une **couche haute** (un planificateur ou un décideur global) injecte à intervalles réguliers des **influx** spécifiques dans le réseau. Ces influx peuvent prendre la forme d'une modification ponctuelle de $\omega_{i,j}$, d'un renforcement sélectif d'une synergie, ou de l'assignation de priorités à certaines entités. Cet apport d'information agit comme une **guidance** de haut niveau, combinée à la dynamique adaptative du DSL.

D'un point de vue mathématique, on peut l'interpréter comme l'ajout d'un **terme** exogène dans l'équation de mise à jour, par exemple $\Delta\omega_{i,j}^{(\text{macro})}$ reflétant la volonté du **planificateur**. Cela permet d'enrichir la structure Ω sans remettre en cause l'intégralité du principe d'**auto-organisation** locale. On obtient un **compromis** dans lequel la dynamique $\omega_{i,j}$ se déroule principalement selon

la synergie perçue, tout en restant arrimée à des objectifs de **performance** ou de **sécurité** plus vastes. Dans ce type d'architecture dite « hybride », le contrôle hiérarchique léger se borne à préserver la cohérence, tandis que la plupart des adaptations opérationnelles sont gérées par la mise à jour distribuée des liaisons.

1.7.4.4. Outils Mathématiques et Théoriques pour la Stabilité

Il est souvent utile de modéliser l'évolution d'un **Deep Synergy Learning (DSL)** sous la forme d'un **système dynamique** $\omega(t+1) = \omega(t) + F(\omega(t))$. Dans cette notation, $\omega(t)$ regroupe l'ensemble des pondérations $\omega_{i,j}(t)$, et $F(\omega(t))$ décrit la contribution que la synergie $S(\mathcal{E}_i, \mathcal{E}_j)$ (ainsi que les termes de décroissance, de régularisation, etc.) apporte à la variation entre t et $t+1$.

Pour **étudier** la stabilité locale autour d'un **point fixe** ω^* (ou d'une configuration fixe du réseau), on réalise classiquement une **linéarisation** de F . Concrètement, on calcule la **matrice jacobienne** :

$$J(\omega^*) = \frac{\partial F}{\partial \omega}(\omega^*).$$

Si l'on note $\delta\omega(t) = \omega(t) - \omega^*$, alors pour de petites perturbations, on obtient un modèle linéarisé :

$$\delta\omega(t+1) \approx \delta\omega(t) + J(\omega^*) \delta\omega(t).$$

En régime de temps discret, la **stabilité** locale autour de ω^* se produit si toutes les **valeurs propres** de $I + J(\omega^*)$ ont une magnitude strictement inférieure à 1. Dans un cadre continu (où l'on écrit $d/dt \omega = F(\omega)$), il faut que toutes les parties réelles des valeurs propres de $J(\omega^*)$ soient **négatives**. Cette condition s'interprète physiquement comme une garantie de stabilité où toute petite déviation $\delta\omega$ s'atténue progressivement au fil du temps, évitant ainsi des fluctuations incontrôlées ou une divergence du système.

Elle dépend du **choix** de la synergie $S(\mathcal{E}_i, \mathcal{E}_j)$, de la taille du pas η , des paramètres de décroissance τ , ou des non-linéarités supplémentaires (termes de saturation, etc.).

Parfois, on peut exhiber une **fonction de Lyapunov** $\Phi(\omega)$ qui décroît strictement à chaque mise à jour, prouvant la **convergence** vers un **unique attracteur**. Cela exige que la définition de la synergie ne comporte pas de **non-linéarités** trop complexes, ou que la structure ne s'étende pas à des hyper-arêtes de dimension élevée (voir la section 1.4.7 sur la synergie n-aire). Dans des **configurations** plus simples (synergie linéarisable, réseau symétrique, etc.), on peut démontrer rigoureusement l'existence et l'unicité d'un état stationnaire stable. En revanche, lorsque la synergie est fortement non linéaire, qu'elle dépend du contexte ou qu'elle intègre des hyper-arêtes n-aires, démontrer une stabilité globale devient plus ardu. La dynamique peut alors exhiber plusieurs attracteurs ou évoluer vers des régimes oscillants, rendant l'analyse plus complexe.

Ces outils (linéarisation jacobienne, fonctions de Lyapunov) offrent néanmoins un **cadre** théorique solide pour analyser la mise à jour des pondérations $\omega_{i,j}$ dans un **DSL**, en particulier lorsque l'on

cherche à garantir un comportement prédictible et éviter les **oscillations** chaotiques ou l’explosion des liaisons. Ils fournissent aussi des guides de **conception** : on peut paramétrer η et τ ou imposer des contraintes de somme, de norme, etc. afin de maintenir la trajectoire de ω à l’intérieur d’une **région** stable et de faire en sorte que le système converge réellement, au lieu de dériver ou de switcher entre multiples configurations.

Conclusion

Assurer le **contrôle** et la **stabilité** des **processus auto-organisés** dans le **DSL** est un **enjeu fondamental** pour :

- Prévenir l’apparition de **comportements oscillants** ou chaotiques,
- Gérer la coexistence de **multiples attracteurs** et choisir (ou influencer) l’état final,
- Introduire un **encadrement** (module de supervision, règles hiérarchiques minimales) pour les systèmes critiques ou lorsqu’on souhaite une trajectoire de réorganisation déterministe.

Les **solutions** mathématiques ou algorithmiques incluent :

- La **conception** de règles de mise à jour (amortissement, saturation, normalisation) qui limitent la croissance excessive des pondérations,
- L’introduction d’une **énergie globale** $J(\Omega)$, encadrée par des méthodes de descente ou de recuit simulé,
- Des **mécanismes** de **pilotage macro** (modification de η , τ , injection de priorités, filtration de certaines liaisons) dans un schéma hybride auto-organisé + contrôle haut-niveau,
- Des **analyses** de stabilité via Jacobienne locale ou Lyapunov, pour garantir (au moins localement) la convergence ou la non-explosion.

En somme, maîtriser l’**auto-organisation** ne signifie pas brider la flexibilité du DSL, mais offrir à l’architecture la **robustesse** nécessaire pour opérer en conditions réelles, où l’on ne peut se permettre un comportement erratique ni une multiplicité de configurations irréconciliables.

1.7.5. Interprétabilité et Explicabilité pour l’Humain

Un objectif crucial dans la plupart des applications d’**intelligence artificielle** est de fournir non seulement des **résultats** (prédictions, recommandations, décisions), mais également une **compréhension** de la logique ou du **processus** qui y aboutit. Les méthodes classiques de **Deep Learning** (CNN, RNN, Transformers) sont souvent décriées pour leur caractère “**boîte noire**”, dans la mesure où l’information se diffuse à travers des poids distribués dans de multiples couches, rendant l’**explication** pour l’humain délicate.

Le Deep Synergy Learning (DSL), avec sa structure en entités et en liens synergiques ($\omega_{i,j}$), offre un cadre potentiellement plus lisible : il devient possible de visualiser les interactions entre entités,

d'analyser la formation des clusters ou macro-clusters, et de comprendre l'émergence de ces regroupements sur la base d'une synergie mesurable. Néanmoins, garantir une interprétabilité complète reste une tâche complexe. Il est essentiel de développer des méthodologies spécifiques permettant d'extraire des explications précises et exploitables. Cette sous-section (1.7.5) explore les défis associés ainsi que les approches pouvant renforcer l'explicabilité du DSL.

1.7.5.1. D'un Modèle Hiérarchique Opaque à un Réseau de Liens Synergiques

Il est courant que les **réseaux neuronaux profonds** (CNN, RNN, Transformers) diluent leur représentation interne à travers plusieurs **couches** qui transforment graduellement les descripteurs, rendant ainsi les décisions finales difficiles à expliquer. Les neurones internes ne possèdent pas d'identité distincte, se contentant d'encoder des poids et des activations. Il est souvent difficile de leur attribuer une signification explicite, car leur rôle se limite à propager des transformations mathématiques sans représentation intrinsèque directement interprétable. À l'inverse, le **Deep Synergy Learning (DSL)** introduit un **réseau** où chaque **nœud** \mathcal{E}_i possède une **identité** clairement définie (il peut s'agir d'un **capteur** particulier, d'un **concept** sémantique, d'un **patch** visuel, d'une **règle** symbolique, etc.), tandis que les **liaisons** $\omega_{i,j}$ se **reconfigurent** progressivement, au gré de la synergie détectée entre \mathcal{E}_i et \mathcal{E}_j .

Cette structure présente plusieurs atouts. Elle améliore la lisibilité de certains sous-ensembles, en permettant d'identifier des clusters cohérents (voir section 1.4.3) où les entités sont fortement interconnectées. On peut ainsi repérer un groupe combinant des modalités visuelles et sonores en reconnaissance multimodale, ou encore une association entre utilisateurs, contenus et tags de genre dans un système de recommandation. Chaque entité \mathcal{E}_i possède une signification propre (patch d'image, concept symbolique), ce qui facilite l'explication des décisions prises par le réseau. Un macro-cluster peut illustrer un regroupement plus large, comme un ensemble d'utilisateurs amateurs de jazz, de contenus liés à ce genre musical et d'événements culturels associés. Cette organisation rend la recommandation plus interprétable, en reliant directement l'affiliation d'un utilisateur à un cluster spécifique avec la suggestion qui lui est faite.

Cependant, cette **lisibilité** accrue sur le plan conceptuel s'accompagne aussi d'une **complexité** potentiellement élevée. Le réseau DSL peut afficher un grand nombre de **nœuds** (surtout en contexte industriel ou multi-sensoriel), et chaque nœud peut avoir plusieurs **connexions** significatives, aboutissant à une **topologie** complexe, souvent composée de **clusters** imbriqués ou de multiples liens réciproques. Une simple **visualisation** naïve des poids $\omega_{i,j}$ peut alors ne rien révéler de clair, s'il n'existe pas de mécanisme de filtrage ou de simplification. Il devient nécessaire d'utiliser des **outils** de **hiérarchisation**, de **regroupement** ou de **filtrage** pour dériver des **chemins** explicatifs, par exemple en extrayant les principales **chaînes** de liaison qui influencent la décision finale. C'est là que réside l'enjeu d'une **explicabilité** réellement transparente dans un réseau DSL riche, qui exige de se doter de techniques aptes à condenser le graphe et à exposer les assemblées cruciales, tout en évinçant la masse de connexions moins pertinentes.

1.7.5.2. Extractions de Chemins Synergiques et Clusters Pivot

Dans un **réseau** construit selon les principes du **Deep Synergy Learning (DSL)**, il est possible d'expliquer une décision ou une recommandation en identifiant un **chemin** significatif reliant deux entités \mathcal{E}_a et \mathcal{E}_b . On peut ainsi considérer une suite :

$$\mathcal{E}_a \rightarrow \mathcal{E}_x \rightarrow \mathcal{E}_y \rightarrow \mathcal{E}_b,$$

au long de laquelle la **synergie** s'avère forte. On peut évaluer cette force par un produit du type $\omega_{a,x} \omega_{x,y} \omega_{y,b}$, exprimant la continuité du lien depuis \mathcal{E}_a jusqu'à \mathcal{E}_b via \mathcal{E}_x et \mathcal{E}_y . Par exemple, si \mathcal{E}_a est un **utilisateur** et \mathcal{E}_b un **contenu** recommandé, un **chemin** pertinent pourrait comporter un **tag** musical \mathcal{E}_x et un **artiste** \mathcal{E}_y : la synergie souligne alors que l'utilisateur \mathcal{E}_a est historiquement associé à ce tag rock, lequel est fortement relié à l'artiste \mathcal{E}_y , et que cet artiste conduit au **contenu** \mathcal{E}_b . L'explication se formule sous la forme d'un **raisonnement local** : "Vous êtes lié à ce tag rock, ce tag rock est fortement corrélé à l'artiste \mathcal{E}_y , et cet artiste conduit au contenu \mathcal{E}_b proposé." Dans la pratique, on limite souvent la longueur du **chemin** afin de conserver une **explication** concise et compréhensible, tout en montrant comment la synergie chemine dans le **Synergistic Connection Network**.

Une autre forme d'explication s'appuie sur le **cluster** (ou **macro-cluster**) dans lequel réside l'entité \mathcal{E}_b qu'on veut justifier. On expose alors les **entités dominantes** de ce cluster : par exemple, en diagnostic médical, on peut lister certains **indicateurs** (fièvre, anomalie sanguine, image radio suspecte) qui forment ensemble un sous-réseau hautement interconnecté. L'**interprétation** émerge alors de la **cohérence interne** du **cluster** : "Ces signes, fortement liés par la synergie, corroborent la conclusion de pathologie." Cette méthode est très usitée lorsque la configuration ne s'explique pas par un unique chemin, mais par un **ensemble** d'interactions locales qui se cristallisent en un groupement solidaire. L'analyse du cluster met en avant les entités centrales et leur degré de liaison ω , rendant la décision plus **transparente**.

1.7.5.3. Couplage Symbolique pour des Justifications de Haut Niveau

Dans la section 1.5.7, il a été expliqué comment intégrer des **règles** ou des **concepts** symboliques au sein du **Deep Synergy Learning (DSL)** de manière à fusionner des entités strictement sub-symboliques (features perceptuelles, segments, etc.) et des entités logico-sémantiques. Cette intégration prend toute son importance pour l'**explicabilité**, car elle autorise la production de justifications directement lisibles, sans nécessiter un métamodèle séparé. Si l'on imagine une **règle** $\mathcal{E}_{\text{rule}}$ affirmant "cercle + chiffre => panneau de limitation", la présence d'un lien fort $\omega_{\text{rule}, \text{visCircle}}$ met en évidence la façon dont la règle coopère avec l'entité $\mathcal{E}_{\text{visCircle}}$ qui détecte les formes circulaires, et un autre lien $\omega_{\text{rule}, \text{txt30}}$ connecte cette règle à l'entité textuelle représentant le chiffre "30". La combinaison de ces liaisons convainc ainsi que la **reconnaissance** du panneau 30 km/h découle d'une synergie tangible entre la règle symbolique "cercle + chiffre" et les observations sub-symboliques qui valident les deux prérequis.

Cette **cohabitation** symbolique–subsymbolique s'avère donc profitable pour expliquer pourquoi une règle s'active, de quelle façon elle est validée par la scène visuelle ou contextuelle, et comment cette coopération se traduit en une conclusion. Le réseau **DSL**, formé de pondérations $\{\omega_{i,j}\}$,

expose explicitement la manière dont la règle “ $\mathcal{E}_{\text{rule}}$ ” tisse des liens avec des features visuelles ou auditives pour générer une reconnaissance de haut niveau. Il est en outre possible d'**extraire** des proto-règles depuis les clusters émergents dans le réseau : si l'on observe qu'un **cluster** demeure très stable, rassemblant certaines variables (par exemple, plusieurs marqueurs biologiques), un symptôme et un diagnostic, on peut reformuler une **règle émergente** indiquant que “lorsque X, Y, Z sont élevés, la synergie avec le diagnostic D augmente considérablement, ce qui équivaut à suspecter telle pathologie P.” Cette forme d'**abstraction** dérive naturellement de la dynamique d'auto-organisation du **DSL** et fournit une explication concise, en reliant directement le diagnostic à un sous-réseau stable de variables médicales fortement pondérées. On franchit ainsi une étape supplémentaire vers une **explicabilité** plus intuitive, où l'on ne se contente pas de mentionner le rôle de quelques features, mais où l'on propose une **règle** ou une **raison** qui s'apparente à un énoncé symbolique, ancré dans les liaisons sub-symboliques du réseau.

1.7.5.4. Points de Vigilance : Graphes Trop Grands, Hétérogénéité Massive

Dans un **Deep Synergy Learning** de forte dimension, la **visualisation** intégrale de toutes les liaisons $\omega_{i,j}$ ou l'exploration exhaustive des chemins reliant deux entités devient inenvisageable. La taille du graphe peut atteindre plusieurs milliers ou millions de nœuds et de liens, rendant toute inspection manuelle impossible. Afin de surmonter ces limites, il est utile de mettre en place des **mécanismes** de **filtrage** ou d'**agrégation**. Le filtrage consiste à écarter les liaisons dont la pondération $\omega_{i,j}$ reste en deçà d'un **seuil** minimal, ou qui ne participent pas de manière significative à un **cluster** pivot. Cette méthode abaisse drastiquement la densité du réseau et en facilite l'interprétation. L'agrégation, quant à elle, regroupe certaines entités en **macro-nœuds**, de sorte que l'on obtienne un **graphe résumé** nettement plus petit, faisant émerger les **clusters** importants tout en préservant la cohérence des liens principaux.

Lorsque les entités du DSL recouvrent une **hétérogénéité** massive, intégrant par exemple de la vision, de l'audio, du texte et des modules symboliques, la **compréhension humaine** impose de clarifier la correspondance entre chaque entité et les données originales. Un patch d'image doit être décrit par sa position ou sa nature dans la scène, un segment audio doit renvoyer à la phrase ou au moment précis de l'enregistrement, un concept symbolique doit être relié à son énoncé explicite. Cette **traduction** partielle s'avère cruciale pour délivrer une **explicabilité** satisfaisante : l'utilisateur comprend alors pourquoi telle liaison $\omega_{i,j}$ est forte, parce qu'un patch visuel repéré comme “zone X” s'avère synergiquement lié à un certain concept ou à un segment audio. Il est donc indispensable d'associer à chaque entité \mathcal{E}_i un ensemble de **méta-informations** décrivant son rôle, son lien avec l'input brut et sa typologie (vision, texte, règle symbolique). Grâce à ce balisage, la **mise en récit** du réseau DSL, même de grande taille, peut s'effectuer de façon plus synthétique et plus pertinente, en se concentrant sur un sous-ensemble restreint d'arêtes fortement pondérées et sur des macro-clusters résumant la structure globale.

Conclusion

La **structure** en entités et liaisons synergiques du **Deep Synergy Learning** confère un **avantage** potentiel pour l'**explicabilité** : on peut :

- **Identifier** des clusters,
- **Exhiber** des sentiers $\mathcal{E}_i \rightarrow \mathcal{E}_j$ hautement pondérés,
- **Mettre** en avant des règles symboliques si présentes,
- **Comparer** des liens forts entre un utilisateur/contenu (dans le cas de recommandation) ou un patient/diagnostic (dans le cas médical).

Cependant, l'**explosion** du nombre d'entités et de liens peut rendre difficile la simple "lecture" de la configuration globale. On doit alors s'équiper de **techniques** de filtrage, d'**agrégation** (macro-clusters), ou de **génératio**n d'explications locales (chemins courts). La cohabitation possible du **symbolique** et du **sub-symbolique** aide à concrétiser des **justifications** plus claires. Ainsi, le DSL peut jouer un rôle dans la mouvance d'**Explainable AI**, à condition de manier soigneusement la **complexité** et la **variété** des entités afin de délivrer une **vision** cohérente et compréhensible à l'utilisateur final.

1.7.6. Considérations Éthiques et Réglementaires

Au-delà des enjeux techniques (scalabilité, stabilité, explicabilité), le **Deep Synergy Learning (DSL)** soulève également des questions **éthiques** et **réglementaires**. En effet, l'auto-organisation des entités au sein d'un **réseau** qui évolue sans hiérarchie prédéfinie peut introduire une forme d'**imprévisibilité** ou de **décision distribuée**. Lorsqu'il s'agit de systèmes critiques (médical, financier, militaire, etc.), il est indispensable de **responsabiliser** la conception et l'usage de tels modèles. De même, dans des applications plus courantes (recommandation, transport, logistique), la manière dont les données sont exploitées et dont les clusters se forment peut produire des **biais** ou altérer la **transparence** vis-à-vis des utilisateurs. Cette sous-section (1.7.6) examine :

Le **risque** de perte de contrôle ou d'incompréhension du comportement d'un système auto-organisé,

Les **biais** possibles et la nécessité de garanties contre la discrimination ou l'iniquité,

Les **règles** et normes (RGPD, réglementations sectorielles) exigeant traçabilité et protection des données,

Le rôle de **valeurs humaines** (sécurité, dignité, respect de la vie privée) dans la conception de DSL responsables.

1.7.6.1. Perte de Contrôle et Responsabilités

L'un des attraits majeurs du **Deep Synergy Learning (DSL)** réside dans sa **dynamique** d'auto-organisation : les entités s'y regroupent en **clusters** suivant les synergies détectées, sans requérir un programme explicite gérant leurs interactions. Toutefois, cette souplesse peut engendrer des **comportements** difficiles à anticiper, dans la mesure où ni le concepteur, ni l'opérateur, ni le développeur n'ont directement programmé la structure finale. Dans des contextes où la **responsabilité** est cruciale, notamment en milieu médical ou bancaire, il importe de savoir **qui**

assumera les conséquences si le système commet un choix discutable ou s’il engendre un dommage. Avec un réseau neuronal “classique”, déjà, l’**opacité** rend l’attribution de responsabilité délicate ; dans un DSL à auto-organisation plus distribuée, le degré de complexité est plus élevé encore.

Pour pallier cette difficulté, il est envisageable de munir le système d’un **journal** d’événements et de mises à jour, permettant de **tracer** l’historique de la pondération $\omega_{i,j}$. Théoriquement, on pourrait reconstituer le “chemin causal” entre une observation et une décision, même au sein d’un graphe évolutif. Cette traçabilité demeure toutefois ardue à mettre en œuvre si l’on veut documenter en continu un réseau de grande dimension.

La loi ou les **régulations** sectorielles (ex. aéronautique, médical, bancaire) imposent souvent de **certifier** une partie du comportement du système avant son déploiement. Un DSL auto-organisé risque de “**changer**” de configuration quasi à chaque itération, rendant hasardeuse toute garantie statique. Il existe alors plusieurs stratégies. Il est possible de borner la **vitesse** d’évolution (en limitant le produit $\eta \times \tau$, ou en imposant un pas maximal) pour qu’il demeure un **voisinage** de configurations déjà validées. On peut aussi intégrer un **module** de supervision hiérarchique (voir la section 1.7.4.3) qui invalide certaines reconfigurations jugées non conformes à des normes ou des plans de sûreté. Enfin, il est envisageable d’appliquer des **tests** de robustesse, ou “stress tests”, simulant divers scénarios de données pour s’assurer qu’aucune configuration délétère ne surgisse, ou du moins qu’elle reste suffisamment rare et détectable.

Ces considérations reflètent un compromis entre la **liberté** synergique, qui fait la force conceptuelle du DSL, et la **maîtrise** requise dans les secteurs critiques. Les débats sur la responsabilité sont dès lors analogues à ceux suscités par les réseaux neuronaux opacifiés, mais se complexifient en raison de la reconfiguration continue du réseau. Les utilisateurs, exploitants et autorités de tutelle doivent tenir compte de la difficulté d’isoler un instantané du DSL pour en vérifier la validité et assumer les conséquences de ses décisions évolutives.

1.7.6.2. Biais, Équité et Discrimination

Dans un **Deep Synergy Learning (DSL)** appliqué à des tâches de recommandation ou de décision, il arrive que la dynamique de formation des **clusters** reflète des **biais** préexistants dans les données, ce qui peut engendrer des effets discriminants. Imaginons un système de **scoring** pour l’attribution de crédits bancaires. Si les bases de données d’emprunteurs présentent une corrélation injustifiée entre certaines variables socio-économiques et la capacité de remboursement, le **DSL** risque de regrouper un certain sous-groupe dans un **cluster** jugé risqué, ou de l’isoler dans un espace périphérique, renforçant une forme d’exclusion. Ces liaisons faibles ou inexistantes maintiennent le sous-groupe à l’écart des opportunités, ce qui peut amplifier la ségrégation : moins on l’autorise à coopérer avec le reste du réseau, plus sa synergie chute, et moins il bénéficie d’un accès équitable au crédit.

Ce phénomène d’**auto-renforcement** est potentiellement dangereux. Dans un simple réseau neuronal supervisé, des régulations ou des contraintes peuvent être imposées pour limiter l’exploitation de variables sensibles. Mais dans un **DSL**, la situation est plus complexe, car les **entités** se lient ou se séparent selon la synergie globale perçue. Un sous-groupe minoritaire, s’il n’est pas bien représenté dans les données, peut se voir marginalisé. Il convient alors d’établir des

mécanismes préventifs ou correctifs. Il est envisageable, par exemple, de **pénaliser** l'isolation injustifiée d'un sous-groupe, en introduisant un terme additionnel dans la fonction d'énergie ou dans l'équation de mise à jour des pondérations. Ce terme peut imposer qu'un certain ensemble d'entités (associées à un attribut protégé) ne soit pas trop "distant" du reste ou qu'un cluster ne se forme pas exclusivement autour d'une caractéristique stigmatisante. Un autre moyen consiste à **rééquilibrer** les données avant l'apprentissage, afin de fournir au DSL une image plus fidèle et plus inclusive de la population, ou à injecter artificiellement des entités compensatoires, assurant que le réseau aura de quoi évaluer la synergie de manière équitable.

Dans un cadre légal, des obligations comme le **RGPD** (Règlement Général sur la Protection des Données) ou les lois anti-discrimination exigent que la décision ne dépende pas d'informations relatives à l'origine ethnique, à la religion ou à d'autres critères protégés. Le **DSL**, en créant des entités et des liaisons auto-organisées, doit donc s'assurer que certaines variables n'encoderont pas implicitement ces attributs sensibles, sous peine d'aboutir à des comportements discriminants difficilement décelables. Il est crucial de mettre en place des **audits** récurrents du réseau pour vérifier la distribution des **clusters**, observer si un groupe spécifique demeure systématiquement isolé ou sous-pondéré et, le cas échéant, forcer une mise à jour corrective. De tels audits peuvent se fonder sur l'inspection des pondérations $\{\omega_{i,j}\}$ associées à un ensemble d'entités. Ils peuvent également imposer une mesure d'équité en tant que contrainte externe, qui intervient de façon hiérarchique pour éviter la constitution de partitions inéquitables. L'objectif demeure le **contrôle** du **DSL** tout en respectant l'esprit d'**auto-organisation**, afin de combiner l'efficacité de la synergie et la nécessité de préserver une **égalité** ou une **justice** dans les décisions rendues.

1.7.6.3. Protection des Données et Droit à l'Oubli

Dans une architecture **Deep Synergy Learning (DSL)**, il arrive fréquemment que le réseau comprenne des **entités** liées à des personnes (utilisateurs, patients). Les législations comme le **RGPD** (Règlement Général sur la Protection des Données) en Europe imposent plusieurs obligations, dont la **minimisation** des données recueillies (ne conserver que l'essentiel), le **droit à l'oubli** (un individu peut exiger la suppression de ses données personnelles) et des règles d'**anonymisation** ou de pseudonymisation pour éviter la ré-identification. Le réseau DSL, en tant que graphe auto-organisé et évolutif, doit donc intégrer des procédures garantissant que l'on puisse effacer ou rendre inopérante l'entité \mathcal{E}_i correspondant à une personne qui souhaite être oubliée.

La présence d'une entité \mathcal{E}_i dans un **Synergistic Connection Network** peut avoir des répercussions à de multiples endroits, car l'**auto-organisation** a pu former plusieurs **clusters** où \mathcal{E}_i joue un rôle. Pour satisfaire le droit à l'oubli, il faut d'abord **retracer** cette entité dans le graphe, puis la **retirer** du réseau ou la rendre totalement anonyme. Il convient de supprimer ou de neutraliser les liaisons $\omega_{i,j}$ reliées à l'entité \mathcal{E}_i . Lorsque l'on procède à cette suppression, on doit parfois **réajuster** la **synergie** locale afin que les entités \mathcal{E}_j anciennement liées à \mathcal{E}_i ne se retrouvent pas avec des pondérations invalides. L'opération de "déréférencement" peut donc influencer sur l'équation d'évolution, qui doit détecter et ignorer toute trace associée à \mathcal{E}_i . L'objectif est d'éviter que des **résidus** dans la structure du réseau ne permettent de re-identifier l'utilisateur a posteriori, contrevenant ainsi aux principes de confidentialité exigés par la loi.

Le RGPD recommande également la **pseudonymisation** et la **minimisation** des informations stockées, ce qui affecte la façon dont les entités DSL sont construites. Il est parfois nécessaire de ne stocker, dans une entité \mathcal{E}_i , qu'une version agrégée (par exemple, localisation au niveau d'une ville plutôt que d'une rue) et d'exclure tout identifiant direct pour se conformer aux dispositions légales. Si le réseau DSL garde un trop haut niveau de précision, il peut être considéré comme non conforme à la réglementation. Une approche consiste à instaurer un processus d'anonymisation périodique, où, après un certain laps de temps, les entités trop détaillées sont fusionnées ou leurs éléments spécifiques sont supprimés. Ce mécanisme permet de réduire la granularité excessive tout en préservant les synergies globales essentielles. Cette pratique garantit une protection de la vie privée tout en permettant au DSL de continuer à fonctionner de manière auto-organisée et réactive, mais sur la base de données moins sensibles ou déjà anonymisées.

1.7.6.4. Transparence, Explicabilité et Contrôle

Dans certains contextes réglementés, comme le **RGPD** ou des lois spécifiques à un domaine (médical, bancaire, etc.), les usagers ou patients ont la faculté d'exiger une **explication** sur la décision qui les concerne. Le **Deep Synergy Learning (DSL)**, grâce à ses **clusters** et à ses **liaisons** plus faciles à interpréter qu'un pipeline neuronal opaque, peut répondre à cette exigence. Il demeure toutefois nécessaire de s'assurer que l'évolution du réseau (les pondérations $\omega_{i,j}$ dans le Synergistic Connection Network) demeure **traçable** dans le temps. Pour cela, on peut tenir un **historique** des principales mises à jour ou conserver des **snapshots** à intervalles réguliers, afin de justifier a posteriori comment tel ou tel sous-réseau s'est formé.

Une **infrastructure** d'explication (voir section 1.7.5) doit de surcroît synthétiser le résultat de la **dynamique** auto-organisée. Il ne s'agit pas nécessairement d'exposer l'entièreté des liens $\omega_{i,j}$, mais d'extraire des **chemins** ou des **clusters** pivot permettant de reconstituer le **raisonnement local**. Une difficulté survient lorsque le système évolue rapidement, voire chaotiquement. L'explication peut alors varier sensiblement d'une itération à l'autre, nuisant ainsi à la cohérence d'ensemble. Des **mécanismes** de stabilisation ou de **pas** d'évolution limités (contrôle de η et de τ , par exemple) peuvent aider à préserver une relative continuité, rendant les explications plus consistantes dans le temps.

Pour de nombreuses **applications** sensibles, la législation ou la pratique courante impose un **contrôle humain** dans la boucle. Conformément à un principe d'audit ou de validation, un expert (médecin, analyste, manager) examine la configuration actuelle du DSL et doit pouvoir **accepter**, **refuser** ou **rectifier** certaines décisions. L'**interface** qui présente les clusters, leurs pondérations dominantes et l'historique succinct de leur formation doit donc être la plus claire possible, en hiérarchisant l'information. L'expert peut alors intervenir en imposant une pénalisation sur des liaisons considérées comme non conformes (sécurité, éthique, cohérence métier). Cette démarche articule la liberté **auto-organisée** du DSL (qui adapte continûment ses liaisons) avec un **pilotage** humain, assurant un respect des **cadres légaux** et éthiques, tout en tirant parti de la plasticité et de l'auto-organisation qu'offre le Deep Synergy Learning.

Conclusion

Les **considérations éthiques et réglementaires** forment un **pilier** incontournable lors du déploiement de **systèmes auto-organisés** comme le DSL. On peut résumer les **grandes lignes** de vigilance :

- **Responsabilité et traçabilité** : éviter qu'un système auto-adaptatif devienne totalement opaque quant à ses décisions ou conséquences, mettre en place un journal d'événements, un module de supervision.
- **Biais et équité** : surveiller la formation de clusters discriminants, adapter la dynamique pour prévenir les exclusions ou dominations injustes.
- **Protection des données** : garantir l'anonymisation, la pseudonymisation, et le droit à l'oubli dans un graphe évolutif (ce qui n'est pas trivial techniquement).
- **Transparence et droit à l'explication** : mettre en place des mécanismes d'explicabilité (voir 1.7.5) assurant que l'utilisateur comprend la logique du DSL.

Au final, l'**originalité** du DSL ne saurait dispenser d'une **responsabilisation** solide. La recherche sur l'IA dite "responsable" ou "de confiance" s'applique tout autant (voire davantage) à un modèle **auto-organisé** qui, par définition, échappe aux schémas de contrôle univoque. Les prochaines sections (et développements futurs) devront approfondir les outils et protocoles pour faire du DSL une **technologie** à la fois puissante, adaptable, et conforme aux **valeurs** et **règles** en vigueur.

1.7.7. Comparaisons Expérimentales avec d'Autres Approches

Dans les sections précédentes (1.7.1 à 1.7.6), nous avons exploré les **défis** et **contraintes** du **Deep Synergy Learning (DSL)** en matière de **complexité**, de **qualité des données**, de **stabilité**, d'**explicabilité**, et d'**éthique**. Pour affirmer la **pertinence** de ce paradigme sur le terrain, il est indispensable d'effectuer des **comparaisons expérimentales** rigoureuses avec des méthodes existantes : réseaux neuronaux profonds (CNN, RNN, Transformers), méthodes de clustering (k-means, DBSCAN), algorithmes d'optimisation (ordonnancement, etc.), voire des approches neuro-symboliques plus classiques. Cette sous-section (1.7.7) aborde :

- Les **critères** de comparaison essentiels (performances quantitatives, robustesse, adaptativité...),
- Les **protocoles** expérimentaux pour confronter le DSL à d'autres techniques (tests sur données stationnaires et non stationnaires, analyses de complexité, etc.),
- Les **scénarios** où le DSL a un net avantage (auto-organisation, peu de supervision, scénarios évolutifs),
- Les **limites** et enseignements que de tels benchmarks peuvent révéler, guidant l'amélioration du DSL.

1.7.7.1. Choisir les Critères de Comparaison

Dans la plupart des tâches d'apprentissage ou de décision (vision, audio, recommandation, diagnostic médical), on évalue la **précision** ou des métriques dérivées comme l'**accuracy**, la **F1-**

score ou l'**AUC**. Lorsque l'on souhaite comparer un **Deep Synergy Learning (DSL)** avec, par exemple, un CNN ou un Transformer, on peut se borner à mesurer son **taux de reconnaissance** (dans un scénario de classification d'images) ou la **sensibilité** et la **spécificité** (dans le cadre d'un diagnostic médical). Toutefois, ces **scores** globaux ne reflètent pas nécessairement la **richesse** de la structure auto-organisée du DSL, qui excelle par sa **plasticité** et son adaptation continue, sans exiger nécessairement de labels massifs. Il est donc essentiel, lors de l'évaluation, d'incorporer des critères tenant compte de la **dynamique** de l'auto-organisation.

Le **DSL** se veut **adaptatif** en présence de bruit, de pannes de capteurs ou de changements de distribution (concept drift). Pour mettre en évidence cette capacité, il est concevable de concevoir des expériences où la distribution des données varie progressivement ou subitement en cours d'apprentissage. Dans un cas classique, un **réseau neuronal** (CNN, RNN) va souvent exiger une **séance de re-fine-tuning** global, tandis que le DSL doit pouvoir **réajuster** localement ses liaisons $\{\omega_{i,j}\}$. On peut alors comparer la **vitesse de réadaptation** et la **qualité** de la reprise de performance. On mesure, par exemple, la **chute** temporaire de précision lorsqu'un nouveau type de données apparaît, ainsi que le **temps** qu'il faut au modèle pour retrouver un niveau satisfaisant. Le DSL a pour atout de pouvoir réorganiser ses clusters et de créer ou rompre des liens en fonction des synergies locales, ce qui peut se révéler plus rapide et moins coûteux qu'un re-entraînement complet.

La **taille** du modèle (nombre de paramètres ou de liaisons actives) et la **charge** de calcul (temps CPU, mémoire GPU) comptent également parmi les indicateurs déterminants. Un DSL peut rester **parcimonieux** s'il opère une **sparsification** rigoureuse de la matrice ω . Si, au contraire, on ne limite pas la prolifération des liens, la structure risque de gonfler et de devenir onéreuse en ressources. L'évaluation doit donc prendre en compte la scalabilité et l'efficacité. Il s'agit de vérifier si, face à un grand nombre d'entités, le DSL parvient à maintenir une densité de liens gérable (voir section 1.7.1) et à s'adapter aux scénarios évolutifs, tels que les pannes ou les modifications de distribution, tout en conservant des coûts de mise à jour et de mémoire acceptables.

1.7.7.2. Protocoles Expérimentaux Envisageables

Pour **évaluer** la pertinence d'un **Deep Synergy Learning (DSL)** dans des scénarios variés, on peut le confronter à des bases de données classiques ou à des cas pratiques bien établis :

- Des ensembles **d'images** (MNIST, CIFAR, éventuellement un sous-ensemble d'ImageNet) pour évaluer la classification ou la détection, en analysant la **précision** obtenue par l'auto-organisation visuelle des entités (patches, features, etc.) face à un CNN ou un Transformer.
- Des ensembles **audio** (LibriSpeech, UrbanSound8K) pour tester la reconnaissance de sons ou la transcription de parole, où le DSL formerait des entités "segment audio" et "caractéristiques acoustiques", comparées à un système RNN ou CNN entraîné de façon traditionnelle.
- Des **bases de recommandation** (MovieLens, Amazon reviews) pour mesurer la qualité des suggestions formulées par le DSL ; on confronte alors la structure auto-organisée (clusters d'utilisateurs, de contenus, etc.) aux méthodes de factorisation matricielle ou aux modèles de collaboration neuronaux, en examinant le **Recall@K**, la **Precision@K** ou la **NDCG**.

- Des **données médicales** (ensembles de pathologies, EHR) afin de juger la capacité du DSL à découvrir des clusters pathologiques ou à émettre des hypothèses de diagnostic, comparativement à un modèle supervisé (réseau profond, arbre d'ensemble) ou semi-supervisé.

- Des scénarios robotiques, utilisant des simulateurs comme Gazebo, PyBullet ou des environnements multi-agents, permettent de tester la coordination sensorimotrice. Un DSL peut ainsi relier capteurs et effecteurs, démontrant sa robustesse face à l'évolution des conditions et sa capacité à détecter et compenser d'éventuelles pannes.

Dans chacun de ces domaines, on confronte les **résultats** finaux (taux de reconnaissance, score de recommandation, F1-score diagnostique, etc.) à ceux de modèles **classiques** : CNN, RNN, Transformer, clustering K-means, factorisation matricielle, etc. On veille aussi à mesurer la **taille** du modèle (paramètres, liaisons), la **complexité** de calcul et la **vitesse d'inférence**.

Le **DSL** se veut également **adaptatif** en cas de changements de distribution (concept drift), de pannes de capteur, de conditions altérées. Pour l'exercer à cette fin, il est utile de mettre en œuvre des **scénarios** où les données subissent un glissement graduel ou une modification brutale (apparition de nouvelles classes, hausse du bruit, changement d'éclairage, etc.). Sur la timeline $\{t_0, \dots, t_f\}$, on évalue :

- La manière dont un réseau neuronal classique (CNN, RNN) gère ce drift (souvent par un re-fine-tuning ou un forget partiel).
- La façon dont le DSL, sans réapprentissage massif, modifie localement ses liaisons $\omega_{i,j}(t)$.

On observe la **performance** en continu (taux de classification, AUC, indice de recommandation) et on étudie la **vitesse** de réadaptation. Le **DSL** devrait, en principe, reporter des ajustements plus localisés et moins coûteux qu'un re-entraînement total, tout en préservant une cohérence globale. Ceci permet de vérifier empiriquement que la **robustesse** et la **plasticité** conférées par la mise à jour distribuée des pondérations ω confèrent un avantage aux méthodes d'auto-organisation, surtout dans des domaines où les données ou le contexte varient régulièrement.

1.7.7.3. Scénarios où le DSL a un Avantage Notable

Le **Deep Synergy Learning (DSL)** se distingue particulièrement dans des environnements où l'on dispose de **peu ou pas de labels** (section 1.5.5) ou bien où la supervision est coûteuse et incomplète. En mode **non supervisé** ou faiblement supervisé, un réseau neuronal classique (tel qu'un CNN) peine à extraire des structures cohérentes, car il manque d'exemples étiquetés pour guider l'apprentissage. Le **DSL**, au contraire, s'appuie sur sa **fonction de synergie** $S(\mathcal{E}_i, \mathcal{E}_j)$ pour **auto-organiser** les entités, sans nécessiter un volumineux jeu de labels. Les **clusters** émergent alors de la simple coopération (ou co-occurrence) observée entre entités, ce qui rend le réseau particulièrement apte aux tâches d'**exploration** et de **regroupement** de données hétérogènes.

Un autre atout du DSL s'observe en **multi-modalité hétérogène** (section 1.5.2), où l'on combine image, audio, texte, voire des flux sensoriels divers. Les approches traditionnelles imposent souvent un **pipeline** de fusion rigide (concatenation tardive, attention inter-modale) dépendant de choix d'architecture prédéfinis. Le DSL adopte une démarche plus flexible où chaque entité \mathcal{E}_i (visuelle, auditive, etc.) établit des liaisons $\omega_{i,j}$ de manière spontanée en fonction de la synergie

détectée. Cette structure évite la planification d'un module de "fusion" spécifique ; la mise en réseau est régie par la **dynamique** locale des pondérations, autorisant des clusters multimodaux à émerger naturellement.

Lorsque les **flux** de données sont **dynamiques** et sujets à des **pannes** ou à des transformations (sections 1.5.4 et 1.7.2.3), le DSL illustre également sa supériorité. Un capteur défectueux voit ses liaisons ω chuter, car la synergie avec le reste du système devient faible. Le réseau se réorganise alors sans qu'un nouvel entraînement global ne soit requis, contrairement à un réseau neuronal classique où une modification durable de la distribution (panne de capteur, concept drift) nécessite un **fine-tuning** ou un recalibrage important.

L'**explicabilité** du DSL revêt aussi un intérêt clé (sections 1.7.5 et 1.5.6). Les **clusters** ou les chemins de **synergie** identifiés entre entités procurent des explications plus détaillées qu'une simple "heatmap" d'attention. Dans un réseau traditionnel, la structure interne (couches, neurones) reste souvent opaque, malgré certaines techniques de visualisation de filtres. Le DSL, en attribuant des **identités** distinctes à ses nœuds et en laissant les liens $\omega_{i,j}$ témoigner de leur degré de coopération, permet une **compréhension** plus directe de la raison pour laquelle tel sous-réseau est né, ou tel couple $(\mathcal{E}_i, \mathcal{E}_j)$ a vu sa liaison renforcée.

Dans l'ensemble, une **comparaison expérimentale** (section 1.7.7.2) révélera que, face à un CNN ou à un Transformer, le DSL excelle dans des conditions de **data faible** ou de **distribution changeante**, ou encore quand l'on souhaite un **rendement** sémantique mieux explicité par un graphe de clusters. Ces propriétés séduisent dans des scénarios où l'on doit adapter le système en continu, respecter des contraintes d'équité, ou justifier les décisions auprès d'utilisateurs ou d'experts.

1.7.7.4. Limites et Enseignements Possibles

Lors de l'évaluation d'un **Deep Synergy Learning (DSL)** à large échelle, on peut constater que la structure du réseau, qui autorise jusqu'à $O(n^2)$ liaisons dans le cas binaire, devient difficile à manipuler si les entités sont très nombreuses. Il peut être nécessaire d'imposer une **sparsification** stricte (par exemple, ne maintenir qu'un voisinage restreint pour chaque entité) ou de recourir à un **algorithme local** qui ne calcule pas la synergie entre toutes les paires d'entités, mais seulement entre celles jugées proches dans un espace de représentation. Les expérimentations comparatives, que ce soit en temps de calcul ou en mémoire GPU, permettent d'identifier le **seuil** au-delà duquel le DSL se montre moins performant que d'autres architectures classiques (CNN, RNN, Transformer) optimisées pour le passage à l'échelle sur des supports matériels massivement parallèles.

Par ailleurs, si l'on dispose d'un **jeu de données étiquetées** gigantesque (par exemple la totalité d'ImageNet, avec plus de 14 millions d'images), un réseau supervisé standard tel qu'un CNN ou un Transformer minutieusement entraîné peut atteindre d'excellentes performances de classification top-n. Le **DSL**, plus orienté vers l'**auto-organisation** non supervisée ou faiblement supervisée, pourrait dans ce cas demeurer en retrait si l'on n'exploite pas pleinement toute la supervision à disposition. On peut envisager des versions supervisées ou semi-supervisées du DSL où la synergie est partiellement guidée par des labels, mais la question reste ouverte. Ces labels suffisent-ils à rivaliser avec un CNN entraîné par descente de gradient, notamment

lorsque le volume d’annotations est important ? Ces expériences permettront d’évaluer dans quelle mesure le DSL exploite une supervision étendue tout en préservant sa plasticité et sa modularité.

Ces limites et enseignements soulignent la nécessité de concevoir des **protocoles hybrides**, dans lesquels on combine la liberté d’auto-organisation du DSL (favorable à l’adaptation continue ou à la gestion de scénarios peu labellisés) avec la force d’un apprentissage supervisé classique lorsqu’un dataset étiqueté d’ampleur est disponible. C’est dans cet espace de compromis que réside probablement l’avenir des approches synergiques à l’échelle industrielle.

Conclusion

La **validation expérimentale** du **DSL** face aux approches dominantes (réseaux neuronaux profonds, clustering, méthodes d’optimisation) est incontournable pour :

- **Quantifier** la performance, la robustesse, la capacité d’adaptation,
- **Identifier** les atouts (apprentissage sans label massif, gestion du drift, multimodalité hétérogène),
- **Révéler** les limites (coût en calcul, besoin de mesures de synergie fiables, difficulté sur des tâches supervisées massives).

Des **benchmarks** variés (vision, audio, recommandation, diagnostic, robotique) permettront de **cartographier** où le DSL s’impose et où il doit s’allier à d’autres techniques (CNN pré-entraîné pour extraire des features, par exemple). Au final, ce travail de confrontation expérimentale, mené en parallèle des réflexions éthiques (1.7.6) et de la recherche sur l’optimisation (1.7.3), consolide la position du DSL comme un **paradigme** original — potentiellement complémentaire, voire compétitif — dans le paysage actuel de l’apprentissage automatique.

1.8. Positionnement du DSL dans l'Évolution de l'IA

Après avoir étudié les fondements du **Deep Synergy Learning (DSL)** et ses multiples applications (sections 1.1 à 1.6), ainsi que les défis et contraintes (section 1.7), il est opportun de s'interroger sur la **place** qu'occupe le DSL dans l'**évolution** de l'intelligence artificielle. En effet, l'IA contemporaine se décline principalement en deux grands paradigmes : d'un côté, l'**IA sub-symbolique** (réseaux neuronaux, méthodes statistiques) qui a connu un essor spectaculaire grâce à l'apprentissage profond ; de l'autre, l'**IA symbolique**, héritée des systèmes experts et de la logique formelle, plus aisée à interpréter et à manipuler comme un langage de haut niveau.

Le **DSL**, en proposant une **auto-organisation** et une **dynamique** des liens fondée sur la synergie, apporte un **paradigme** susceptible de **réconcilier** certains points de friction entre ces approches. On peut se demander :

S'il offre un **point** de convergence entre l'**IA symbolique** et l'**IA sub-symbolique**,

- Comment il peut **coexister** ou se **substituer** à l'apprentissage profond,
- Dans quelle mesure le **renforcement** (RL) ou la **logique** se fondent dans une trame DSL,
- Le **rôle** d'éléments comme la **mémoire** et l'**attention** dans une architecture auto-organisée,
- Les **tendances** futures, notamment vers une IA plus "forte" ou consciente,
- L'**impact** interdisciplinaire, en particulier avec les neurosciences,
- Et, de manière générale, comment le DSL s'inscrit dans la **progression** de l'IA moderne et ce qu'il peut apporter de nouveau.

Cette section (1.8) aborde ainsi le **positionnement** du DSL dans le paysage AI actuel et futur, regroupant sept sous-points :

- **IA Symbolique vs IA Sub-symbolique : Intégration Potentielle** (1.8.1)
- **DSL et Apprentissage Profond : Collaboration ou Substitution ?** (1.8.2)
- **Approches Hybrides : DSL, RL (Reinforcement Learning) et Logique** (1.8.3)
- **Rôle de la Mémoire et de l'Attention dans le DSL** (1.8.4)
- **Tendances Futures : Vers une IA Forte, Consciente ?** (1.8.5)
- **Effet Sur la Recherche Interdisciplinaire** (1.8.6)
- **Exemple de Convergence : DSL & Neurosciences** (1.8.7)

Nous commencerons par revisiter (1.8.1) la vieille dichotomie IA symbolique vs sub-symbolique, pour voir en quoi le **DSL** pourrait établir des passerelles novatrices.

1.8.1. IA Symbolique vs IA Sub-symbolique : Intégration Potentielle

L'**histoire** de l'IA est souvent présentée comme marquée par un **dualisme** :

- **L'IA symbolique**, qui manipule des règles, des faits, des ontologies dans un langage logique ou pseudo-logique (ex. Prolog, systèmes experts). Elle est réputée plus "interprétable" et plus "rigoureuse" dans le raisonnement, mais manque de flexibilité face aux données massives et bruitées.

- **L’IA sub-symbolique**, typiquement les réseaux neuronaux et méthodes statistiques, qui excellent en **apprentissage** (vision, NLP, etc.) en profitant de nombreux exemples, mais peinent à manipuler des structures conceptuelles complexes ou des règles explicites.

1.8.1.1. Vers une IA Hybride ou Neuro-Symbolique

Au cours de la dernière décennie, un nombre croissant de recherches s’est attelé à **combiner** les approches symboliques (issues de la logique, des règles ou des ontologies) et les méthodes sub-symboliques (neuronaux ou connexionnistes). Les travaux dits **neuro-symboliques** cherchent, par exemple, à implanter des **règles logiques** au sein d’un réseau neuronal ou, à l’inverse, à extraire des **règles** symboliques depuis les *features* d’un modèle déjà entraîné. L’objectif est double. Il s’agit d’exploiter la puissance des méthodes sub-symboliques, capables de modéliser de vastes volumes de données complexes, tout en tirant parti de la lisibilité et de la rigueur des concepts formels pour le raisonnement et l’explication.

Ces approches neuro-symboliques s’organisent souvent sous la forme de **systèmes hybrides**, où l’on place côte à côte une **composante** consacrée au traitement sub-symbolique (réseau neuronal) et une **composante** symbolique (règles ou moteur logique). Un **pont** dédié est alors chargé de faire correspondre ces deux volets, ce qui peut induire une architecture “collée” au sens où la dimension symbolique reste nettement délimitée de la dimension connexionniste. La **véritable** intégration, où le réseau lui-même serait libre d’accueillir à la fois des **concepts logiques** et des **signaux** bruts en adaptant sa topologie, demeure un défi qui n’est pas entièrement résolu dans la plupart de ces schémas.

Le **Deep Synergy Learning (DSL)** entend précisément répondre à cette problématique, car il propose une **dynamique** où la structure se reconfigure **auto-organisationnellement**, sans imposer de cloison fixe entre l’aspect symbolique et l’aspect sub-symbolique. Les **entités** \mathcal{E}_i peuvent incarner aussi bien un **flux** sensoriel (image, audio), qu’un **concept** symbolique, ou une **règle**. Les liaisons $\omega_{i,j}$ se créent ou se coupent selon la **synergie** détectée. Un nœud représentant une règle logique pourra donc se lier plus fortement à un patch d’image ou un module audio dès lors qu’il y trouve un **gain** mutuel. De cette manière, la frontière traditionnelle entre le bloc **symbolique** et le bloc **neuronal** cède la place à un **réseau** unifié, où chaque composante est traitée comme une entité à part entière, susceptible de coopérer librement pour faire émerger des **clusters** ou des **schémas** de raisonnement. Ce fonctionnement souligne l’ambition du DSL de faciliter la rencontre fluide entre la **rigueur** des modèles logiques et la **flexibilité** d’apprentissage des méthodes sub-symboliques.

1.8.1.2. Rôle du DSL : Auto-Organisation Unifiant Symbolique et Sub-Symbolique

Le **Deep Synergy Learning (DSL)** propose une **intégration** fluide entre les entités **sub-symboliques** (capteurs, features, embeddings neuronaux) et les **composantes symboliques** (règles, concepts logiques, ontologies). Dans la dynamique du DSL, les **liaisons** $\omega_{i,j}$ se créent ou se rompent en fonction de la **synergie** perçue (voir la section 1.4.5 pour la mise à jour itérative). Au lieu de séparer la logique dans un module détaché, on traite chaque **règle** ou **concept** comme un **nœud** $\mathcal{E}_k^{(\text{symb})}$ dans le **Synergistic Connection Network**. La coopération entre une règle symbolique $\mathcal{E}_k^{(\text{symb})}$ et une entité sub-symbolique \mathcal{E}_i (par exemple un capteur) s’exprime au moyen d’une pondération $\omega_{\text{symb},i}$, qui évolue en fonction de la synergie. Si la règle s’applique

fréquemment à l'information fournie par ce capteur, la liaison se renforce. Dans le cas contraire, elle s'affaiblit.

Considérons un **environnement** robotique où sont définies plusieurs **règles** logiques, notées \mathcal{R}_k . Un exemple pourrait être :

“Si tension(moteur) > 5V ET température(moteur) > 80°, alors générer une alerte de surchauffe.”

Dans le **DSL**, une telle règle se modélise par une **entité** $\mathcal{E}_k^{(\text{symb})}$. Parallèlement, on dispose de diverses **entités sub-symboliques** représentant les capteurs (tension, température, etc.). La **synergie** $\omega_{\text{tension, règle}}$ ou $\omega_{\text{temp, règle}}$ augmente si l'on observe une co-occurrence récurrente entre des relevés de tension haute et de température élevée, et la vérification de la condition de surchauffe. Sans nécessiter d'interface imposée, le réseau forme un **micro-réseau** localisé reliant la règle (entité symbolique) aux capteurs sub-symboliques concernés. Si la synergie reste positive dans le temps, un **cluster** se stabilise, associant la règle “surchauffe moteur” et les données sensorimotrices qui la confirment.

Cette approche évite le recours à une **passerelle** rigide entre la logique formelle et les signaux bruts. La topologie globale du **DSL** se **reconfigure** suivant la pertinence constatée : si la règle \mathcal{R}_k perd son utilité ou si de nouveaux capteurs plus adaptés apparaissent, les pondérations se rééquilibrent en conséquence. On obtient ainsi une **auto-organisation** où la dimension **symbolique** est pleinement intégrée à la dynamique décrite en 1.4.5, donnant un **substrat** unifié pour l'IA hybride.

1.8.1.3. Avantages et Limites

Le fait d'intégrer la **dimension symbolique** directement dans un **Deep Synergy Learning (DSL)** offre divers **avantages**. D'abord, la logique se trouve incorporée à la **même** architecture auto-organisée : il n'est plus nécessaire de juxtaposer un module de **règles** indépendant et un module **sub-symbolique** (tel qu'un réseau neuronal). Au sein du DSL, chaque règle \mathcal{R}_k devient une entité $\mathcal{E}_k^{(\text{symb})}$, et la **pondération** $\omega_{\text{symb}, i}$ traduit la coopération effective entre cette règle et n'importe quelle entité sub-symbolique \mathcal{E}_i . Cette façon de procéder rend possible l'**apprentissage** continu de l'utilité de la règle, puisque la pondération se régule en fonction de la “valeur ajoutée” détectée. Un autre **bénéfice** apparaît en termes d'**explicabilité** : il devient aisé de repérer un **cluster** liant une règle \mathcal{R}_k à quelques entités perceptives $\mathcal{E}_p, \mathcal{E}_q, \dots$ justifiant une décision. On obtient dès lors une **transparence** plus claire qu'avec un système classiquement scindé où la logique reste à part.

Cependant, cette intégration comporte également des **limites** notables. Une première difficulté tient à la **quantification** de la synergie $S(\mathcal{E}_i, \mathcal{E}_k^{(\text{symb})})$ quand l'une des entités représente une **règle** ou un **concept** logique. Il s'agit de définir mathématiquement la notion de “gain” associé à l'activation conjointe d'une règle symbolique et d'un flux sub-symbolique. Ce n'est pas toujours trivial, surtout si la règle mélange des conditions logiques complexes. Par ailleurs, plus on introduit de **règles**, plus la combinatoire peut **exploser**, le réseau devant gérer de multiples $\omega_{(\text{symb}), i}$. La mise à jour itérative de ces liaisons doit alors tenir compte des possibles **contradictions** entre règles (ex. deux règles incompatibles ne sauraient être activées simultanément), ce qui alourdit la dynamique ω et nécessite des **mécanismes** de gestion de conflits ou de contradictions logiques.

Ces considérations exigent une **régulation** attentive, par exemple via des **termes** de parcimonie (limitation du nombre total de liaisons actives), des **pénalités** imposées aux liaisons incompatibles, ou un **contrôle** de la vitesse de croissance de certaines pondérations. Un tel encadrement évite l’explosion combinatoire de la structure et aide à résoudre de manière cohérente les potentielles contradictions entre règles symboliques. Malgré ces contraintes, la promesse demeure : le **DSL** fournit un cadre plus **organique**, capable de faire coexister de façon adaptative les **concepts** logiques et les **descripteurs** sub-symboliques.

1.8.1.4. Perspectives sur l’Intégration Totale

Dans les modèles traditionnels, une distinction nette s’impose. L’IA symbolique repose sur des règles logiques et la manipulation de symboles, tandis que l’IA sub-symbolique (réseaux neuronaux, méthodes connexionnistes) exploite l’apprentissage statistique pour traiter les données brutes. Le **Deep Synergy Learning (DSL)** aspire à dépasser cette fragmentation en poussant l’**auto-organisation** à un niveau plus global. Les **entités symboliques** – vues comme de véritables “super-neurones” capables d’inférences logiques internes – coexistent avec des **entités sub-symboliques** qui extraient, à partir de données brutes, des features ou des embeddings. Toutes ces entités demeurent dans un **même** Synergistic Connection Network, au sein duquel les liens $\omega_{i,j}$ se créent, se renforcent ou s’affaiblissent en fonction de la synergie effectivement observée.

Lorsqu’une **règle symbolique** apporte un “gain” (par exemple, elle s’active souvent conjointement à un certain pattern perceptif), la liaison entre cette règle et les entités perceptives impliquées croît. Inversement, si une règle n’est presque jamais appliquée ou se trouve contredite par les observations, ses liens se dissolvent. De la même manière, certains **macro-clusters** voient le jour, rassemblant des **concepts** sémantiques et des **patches** perceptuels (image, audio, etc.) autour d’une **synergie** élevée. Un tel réseau ne fixe pas de séparation rigide entre la composante symbolique et la composante sub-symbolique. Les deux coexistent et interagissent naturellement, se distinguant uniquement par leurs rôles fonctionnels au sein du système.

Cette intégration n’est pas strictement spéculative et trace la voie d’une **IA cognitive** plus étendue, qui mêlerait la **perception** (apprentissage sub-symbolique) et le **raisonnement** (entités logiques) au sein d’un seul et même **réseau** en évolution. Les applications potentielles sont nombreuses : un système de **vision** peut enrichir son raisonnement en exploitant des règles symboliques (définies ou émergentes), tandis qu’un moteur **logique** profite de la synergie avec les flux sensoriels. Le **DSL** rend possible la création d’un **substrat** où, au fil de l’apprentissage, les connexions s’**enrichissent**, des **règles** naissent ou se dissolvent, et des **clusters** conceptuels émergent, sans qu’on doive prescrire a priori leur structuration. Le réseau devient un “lieu” de coopération continue entre la dimension **symbolique** et la dimension **connexionniste**, accréditant l’idée d’une IA vraiment **hybride**, capable de percevoir et de raisonner sans barrière artificielle.

1.8.2. DSL et Apprentissage Profond : Collaboration ou Substitution ?

Alors que le **Deep Learning** (au sens des réseaux de neurones profonds) occupe aujourd’hui une place dominante dans la recherche et les applications de l’IA, on peut se demander si le **Deep Synergy Learning (DSL)** vient s’y substituer ou, au contraire, s’il peut s’**allier** à ces techniques. En effet, le **DSL** propose une vision **auto-organisée** où les entités d’information découvrent et renforcent leurs liens synergiques, tandis que l’apprentissage profond repose typiquement sur des

architectures hiérarchiques (CNN, RNN, Transformers) entraînées par **descente de gradient** sur un ensemble de données massif. Cette sous-section (1.8.2) examine la relation entre ces deux paradigmes : concurrence, complémentarité, ou convergence ?

1.8.2.1. Les Forces Reconnues du Deep Learning

Depuis plus d'une décennie, l'**apprentissage profond** a accompli des progrès spectaculaires dans plusieurs domaines clés de l'intelligence artificielle. En **vision artificielle**, on constate sa capacité à exceller dans la **classification** d'images ou la **détection** d'objets, tandis qu'en **traitement du langage naturel**, il domine pour les tâches de **traduction**, de **question-réponse** ou de **résumé** automatique. On retrouve également des succès notables en **analyse audio**, en particulier dans la **reconnaissance vocale**, et dans des environnements de **jeux** comme ceux explorés par AlphaGo ou AlphaZero. Ces avancées reposent en premier lieu sur la **puissance** de l'apprentissage supervisé lorsqu'il est alimenté par de larges volumes de données annotées. La deuxième composante décisive réside dans les **architectures** spécialisées du deep learning (réseaux de neurones convolutifs en vision, Transformers en langage, etc.), qui exploitent la structure des données pour atteindre des performances remarquables. Enfin, ces progrès sont intimement liés au développement accéléré des **librairies logicielles** (TensorFlow, PyTorch...) et du **matériel** (GPU, TPU) dédiés aux calculs massivement parallélisés.

Malgré ces atouts, le deep learning fait face à plusieurs limites. Il repose sur une supervision massive et peine à s'adapter lorsqu'une tâche ou un domaine évolue. Son cadre reste rigide et toute tâche inédite nécessite une reconfiguration ou un fine-tuning, ce qui complique son intégration dans un environnement dynamique. Les réseaux neuronaux profonds manquent également de plasticité et de résilience face aux pannes de capteur ou aux variations de contexte, car la moindre perturbation impose un réapprentissage global. Enfin, leur fonctionnement opaque pose un défi majeur en matière d'explicabilité. Avec des modèles comprenant des millions, voire des milliards de paramètres, il devient difficile d'interpréter précisément les décisions prises, d'autant plus lorsque les architectures sont très profondes.

1.8.2.2. Le DSL comme Complément : Auto-Organisation et Adaptativité

Le Deep Synergy Learning (DSL) repose sur plusieurs principes fondamentaux. Il favorise une auto-organisation distribuée, dans laquelle les entités – qu'il s'agisse de features neuronales, de blocs d'apprentissage ou de règles symboliques – établissent des connexions dynamiques à travers des pondérations synergiques $\omega_{i,j}$. Ces pondérations se modifient en continu selon une loi d'adaptation locale, permettant d'intégrer ou de retirer des entités sans nécessiter une refonte ou un réentraînement complet du réseau. Ce mode de fonctionnement garantit une plasticité accrue et une résilience face aux évolutions des flux de données et aux changements contextuels.

Il est aisé d'envisager un **scénario** de **collaboration** entre le deep learning traditionnel et le DSL. Par exemple, on peut employer un **CNN** (ou un **Transformer**) pour extraire des **représentations profondes** à partir d'images, de signaux audios ou de séquences textuelles. Ces représentations (vecteurs de *features*) se traduisent alors en un **ensemble** d'entités $\{\mathcal{E}_{\text{CNN}}\}$ reliées entre elles ou avec d'autres entités par des pondérations ω . Le DSL organise ensuite de manière autonome cet

ensemble étendu. Il identifie les synergies entre différents blocs de features, ainsi qu'entre des features et des règles symboliques, puis il établit ou consolide des clusters pertinents, qu'ils soient multimodaux, sémantiques ou structurels. L'ajustement local des $\omega_{i,j}$ s'effectue de manière que, si deux groupes de *features* se complètent fortement, un **macro-cluster** puisse émerger, sans nécessiter un pipeline figé de fusion.

Cette **approche hybride** offre le meilleur de deux mondes. D'un côté, le **deep learning** fournit la **puissance sub-symbolique** qui extrait des *features* à partir de gros volumes de données non structurées, comme des images ou de longs textes. De l'autre, le DSL offre une flexibilité et une auto-organisation accrues. Les blocs de features peuvent se lier librement à d'autres entités symboliques ou contextuelles, sans qu'il soit nécessaire d'ajouter une couche spécifique ni de procéder à une rétropropagation globale à chaque nouvel apport de flux ou de règle. Ainsi, le réseau **gagne** en **adaptativité**, car les pondérations ω se réactualisent uniquement là où la synergie change, et en **explicabilité**, puisque les entités (qu'elles soient neuronales ou logiques) conservent une identité plus claire qu'un empilement de couches opaques.

1.8.2.3. Scénario de Substitution Partielle

Il est envisageable de pousser plus loin l'intégration du **Deep Synergy Learning** et de se demander s'il peut **remplacer** entièrement l'apprentissage profond dans certaines configurations. L'hypothèse consisterait à se passer d'un réseau neuronal paramétré, puis à modéliser chaque entité \mathcal{E}_i comme un **patch** (pour la vision) ou un **segment** (pour l'audio), tandis que la **synergie** entre entités reposerait sur des distances, des co-informations, ou d'autres mesures de similarité. L'**auto-organisation** tisserait et ajusterait progressivement les liaisons $\omega_{i,j}$, et cette dynamique se voudrait capable de **détecter** des objets ou de **repérer** des motifs sans recourir à une rétropropagation globale ni à une architecture de couches hiérarchisées.

Dans la pratique, toutefois, la performance brute d'un tel modèle entièrement basé sur le DSL risquerait de **se révéler moins efficace** que celle d'un réseau neuronal lorsqu'il s'agit de tirer profit d'un large jeu de labels sur une tâche comme ImageNet. Un **CNN** bien paramétré, tirant parti d'une **descente de gradient** sur un espace de poids continûment ajustable, maîtrise généralement mieux l'extraction de *features* complexes à partir de très grands volumes de données supervisées. Les réseaux profonds conservent donc un **avantage** solide en cas d'abondance de labels précis, où l'optimisation par gradient se montre redoutablement performante.

Le **DSL** manifeste tout son **intérêt** dans les scénarios où la supervision fait défaut, ou bien lorsque l'environnement est sujet à des changements progressifs ou brusques (sections 1.5.4 et 1.7.2). Il excelle pour l'**auto-organisation** et le **clustering** évolutif, ainsi que dans la **fusion** de multiples modalités (section 1.5.2), en gérant spontanément les synergies qui se dessinent entre entités. Par contraste, un réseau traditionnel exige soit une supervision massive, soit un lourd pré-entraînement auto-supervisé, et se voit moins adaptable à un cadre où les labels sont rares et la distribution très changeante. Le DSL apparaît alors comme une **solution complémentaire** à l'apprentissage profond : quand le contexte ne tolère pas un pipeline rigide ni un immense set de labels, la dynamique $\omega_{i,j}$ et la **plasticité** organisationnelle du DSL deviennent des atouts différenciateurs.

1.8.2.4. Cas d'Étude : Combiner DSL et DL

Un tel scénario exploite le meilleur des deux approches. Un réseau profond (CNN, Transformer ou tout autre modèle neuronal) est d'abord utilisé pour extraire des features de haut niveau à partir de vastes ensembles de données, fournissant ainsi une représentation avancée $\{\mathbf{x}_i\}$. Ces features, obtenues via un modèle paramétré et pré-entraîné sur un jeu de données étendu, deviennent ensuite des entités $\mathcal{E}_{\text{feature}}$ intégrées au Synergistic Connection Network (SCN) ou au Deep Synergy Learning (DSL).

Le DSL intervient alors pour analyser la synergie entre ces entités. Il peut identifier les features qui collaborent pour former un cluster pertinent ou repérer celles qui interagissent avec des entités existantes (règles symboliques, capteurs, modules contextuels) afin d'enrichir la représentation neuronale. Grâce à la mise à jour itérative des pondérations $\omega_{i,j}$, l'architecture reste dynamique : elle s'adapte localement lorsqu'une nouvelle classe, un nouveau contexte ou une nouvelle source de données apparaissent. Ce fonctionnement tranche avec celui d'un réseau profond traditionnel, qui nécessite généralement un fine-tuning global et coûteux pour intégrer une distribution enrichie ou une modalité inédite.

Cette **approche hybride** canalise la **puissance** de l'apprentissage paramétré (issu d'un gros dataset supervisé ou auto-supervisé) et la **plasticité** plus souple du DSL. Le modèle profond agit comme un encodeur capable de fournir des vecteurs \mathbf{x}_i pertinents pour des signaux complexes (images, audio, langage), tandis que le **SCN** se situe **au-dessus** pour organiser les entités correspondantes selon la synergie détectée, créant ou rompant des **liaisons** si le contexte l'exige. Cela va au-delà de la simple juxtaposition d'un réseau profond et d'un module de classification final, puisque la **reconfiguration** spontanée du DSL prend en charge la **multi-modalité** et l'**adaptation** sans qu'on doive re-construire un pipeline. Le résultat est un compromis entre l'efficacité des grandes architectures neuronales, déjà rodées sur de vastes corpus, et la **flexibilité** d'une auto-organisation distribuée pour gérer les ajouts ou modifications de tâches.

1.8.2.5. Conclusion : entre Complémentarité et Extension

Les réflexions et expérimentations suggèrent que le **Deep Synergy Learning (DSL)** ne se présente pas comme un simple **concurrent** de l'apprentissage profond, mais plutôt comme un **paradigme complémentaire**. Cette perspective s'avère particulièrement intéressante dans les situations où la supervision fait défaut (cas **non supervisés** ou faiblement supervisés), ou bien lorsque la distribution est **évolutive** et plusieurs types de flux (capteurs, contexte, règles symboliques) doivent être gérés de façon simultanée et sans recourir à un pipeline rigide. Le DSL facilite alors l'intégration d'entités hétérogènes, mêlant logiques internes et features neuronales dans une démarche **auto-organisée**.

L'idée d'une **substitution** intégrale de l'apprentissage profond par un DSL purement auto-organisé se heurte toutefois aux performances reconnues de modèles neuraux (CNN, Transformer) sur des tâches hautement **supervisées**, comme la classification d'ImageNet ou le traitement massif de langage. Dans de tels scénarios, un réseau **paramétrique** entraîné par descente de gradient se maintient souvent en tête des classements, en raison de sa capacité à exploiter profondément la grande quantité de labels. Cependant, ces architectures neuronales demeurent relativement **rigides** et consomment beaucoup de ressources lors d'un re-fine-tuning. Le DSL peut, en retour, favoriser

l'**adaptation** et la **fusion** d'autres sources de données ou de blocs symboliques, tout en s'accommodant de distributions changeantes.

C'est pourquoi le **futur** le plus fécond réside probablement dans la **collaboration** des deux approches. Un **réseau profond** produit des représentations sub-symboliques riches, alors que le **DSL** orchestre en **surcouché** l'auto-organisation entre ces embeddings, de nouvelles entités symboliques, et des flux contextuels. On bénéficie ainsi de la **puissance** de l'apprentissage paramétrique sur des corpus volumineux, alliée à la **flexibilité** que procure un **réseau** réactif et librement reconfigurable, capable de gérer la multi-modalité sans imposer de pipeline figé. L'apprentissage profond et le DSL deviendraient alors deux pans d'une **IA** plus large, conjuguant l'efficacité des grands modèles neuronaux avec la **plasticité** et la **résilience** d'un **Synergistic Connection Network**.

1.8.3. Approches Hybrides : DSL, RL (Reinforcement Learning) et Logique

Dans l'exploration du **Positionnement** du **Deep Synergy Learning (DSL)** (section 1.8), un point clé concerne la possibilité de **conjuguer** différentes méthodes d'IA au sein d'un **cadre unifié**. Nous avons déjà évoqué (1.8.1 et 1.8.2) la cohabitation symbolique–subsymbolique et l'intégration du DSL avec l'apprentissage profond. Ici, nous soulignons comment le **DSL** peut également s'**hybrider** à la fois avec le **Renforcement (RL)** et des **composantes logiques**, créant une architecture plus vaste où l'auto-organisation, l'apprentissage par récompense et la manipulation de règles s'allient.

1.8.3.1. Collaboration entre DSL et Apprentissage par Renforcement

Dans l'**apprentissage par renforcement (RL)**, un agent interagit avec un **environnement**, recevant à chaque instant un **état** s_t , émettant une **action** a_t , puis percevant une **récompense** r_t . L'algorithme, qu'il s'agisse de Q-learning, de Policy Gradients ou d'une variante plus élaborée, cherche à **maximiser** le cumul (ou l'espérance) des récompenses. D'ordinaire, la démarche se base sur une **approche centralisée**, où l'on apprend une fonction de valeur $V(s)$ ou une fonction $Q(s, a)$, à travers des mises à jour inspirées soit de la **descente de gradient**, soit de l'**itération de Bellman**. Le **Deep Synergy Learning (DSL)** propose, au contraire, une **dynamique** où les entités $\{E_i\}$ d'un système s'**associent** ou se **détachent** via des pondérations synergiques $\{\omega_{i,j}(t)\}$ en évolution continue.

Dans un cadre **renforcement** modulaire, on peut imaginer relier la **récompense** r_t aux mises à jour des pondérations $\omega_{i,j}(t)$. Si la **coopération** entre deux entités E_i et E_j est jugée responsable d'un gain de performance dans l'environnement, la liaison $\omega_{i,j}$ se voit **renforcée** ; inversement, s'il s'avère que leur alliance n'apporte aucun avantage ou engendre un effet négatif, la synergie est pénalisée et la liaison s'affaiblit. Au lieu d'apprendre une **politique** globale $\pi(s)$ ou un **Q-réseau** unifié, on laisse le **réseau DSL** (ou **Synergistic Connection Network**) évoluer de façon distribuée : chaque entité E_i s'adapte, et les **pondérations** $\omega_{i,j}$ forment progressivement un **graphe** traduisant la pertinence des interactions. Cette méthode évoque un **RL distribué** ou multi-agent, où l'on peut considérer chaque entité comme un **agent** partiel ; la récompense s'y diffuse en ajustant localement les pondérations liées aux entités participantes.

Un **exemple** concret se dessine dans le cas d'un **robot** ayant plusieurs capteurs et effecteurs. Les **sous-systèmes** (capteur→moteur) sont modélisés par des **entités**, et, lorsqu'une synergie capteurA–moteurB conduit à franchir un obstacle de manière efficace, la **pondération** $\omega_{A,B}$ se voit augmentée conformément au principe de renforcement local. De la sorte, le robot s'**auto-organise en clusters** sensorimoteurs cohérents, sans implémenter de schéma centralisé de RL. Les règles de mise à jour fondées sur la récompense se substituent à la logique d'apprentissage d'une politique globale, tout en permettant au robot de réorganiser son **réseau** s'il survient des changements de contexte, des pannes ou l'introduction de nouveaux capteurs. Cette intégration du **DSL** dans un cadre de renforcement illustre la flexibilité d'un **Synergistic Connection Network** pour aborder des scénarios proches du RL sans imposer une fonction de valeur unique, mais en laissant s'établir des coopérations locales lorsqu'elles se révèlent payantes sur le plan de la récompense.

1.8.3.2. Inclusion de la Logique : DSL et Règles Symboliques

Les approches **logiques** ou **symboliques** se fondent sur des **règles** ou des **axiomes** de la forme “Si X et Y, alors Z”, et sur des **faits** (comme “capteur C indique 100 °C”). Elles requièrent un **moteur d'inférence** (unification, résolution), assurant une **clarté** du raisonnement et une **explicabilité** plus directe, mais elles montrent vite leurs limites lorsqu'il s'agit de gérer des faits **bruyants** ou de manipuler de vastes ensembles de données non labellisées. En référence aux propositions de la section 1.5.7 et à l'idée d'intégration symbolique évoquée en 1.8.1, on peut introduire de la **logique** au sein d'un **Deep Synergy Learning (DSL)** en traitant chaque **règle** ou **concept** comme une **entité** \mathcal{E}_{rule} . Les pondérations $\omega_{rule,i}$ reliant une règle à des entités sub-symboliques (features, capteurs) se mettent alors à jour en fonction de la **cohérence** et de la **pertinence** observées : si la règle “fonctionne” ou produit un gain à plusieurs reprises, sa synergie s'en voit renforcée ; si, au contraire, elle se révèle obsolète ou contradictoire avec les observations, la pondération chute. Cette dynamique gère donc la **validation** ou l'**abandon** progressif des règles, suivant l'expérience accumulée dans le réseau.

L'incorporation de la logique s'intègre naturellement au mécanisme auto-organisateur du DSL. Il n'existe plus de module logique distinct, la règle \mathcal{E}_{rule} devient un nœud du Synergistic Connection Network et interagit directement avec les entités associées aux flux sub-symboliques comme les capteurs, les embeddings neuronaux ou les sources multimodales. On peut aussi envisager un mécanisme de renforcement local mentionné en section 1.8.3.1, où la récompense valide les règles ayant un impact bénéfique. Si, dans l'environnement, l'application répétée d'une règle améliore la performance ou la sécurité, les liaisons ω entre cette règle et les entités concernées se consolident progressivement.

Par ce mécanisme, on a la possibilité de “débrancher” peu à peu une règle devenue inadaptée, simplement parce que sa synergie aura cessé de s'actualiser favorablement, ou d'en “faire émerger” une autre si plusieurs entités sub-symboliques forment une **combinaison** stable, équivalant de fait à une **nouvelle règle**. De cette manière, un moteur logique s'intègre naturellement dans un réseau DSL. La capacité d'auto-organisation s'étend aux entités symboliques, permettant au système de tirer parti à la fois de l'inférence logique et de la plasticité sub-symbolique pour s'adapter à un environnement complexe ou en évolution.

1.8.3.3. Architectures Neuro-Symboliques et RL Multi-Agent

Il est possible de fusionner le **Deep Synergy Learning (DSL)** avec des principes de **Renforcement** et de **Logique** pour former une **architecture** véritablement **multidimensionnelle**. Du côté **sub-symbolique**, on dispose d'entités dédiées aux *features* sensorielles (vision, audio, texte), qui se relient entre elles suivant leur **synergie**. Du côté **symbolique**, on introduit des entités symboliques représentatives de **règles** ou de **concepts** logiques, prenant la forme de nœuds $\mathcal{E}_{\text{rule}}$ ou $\mathcal{E}_{\text{concept}}$. À cette structure s'ajoute un **signal de renforcement** r , qu'il soit global ou local, venant valider le réseau $\Omega(t)$ lorsqu'il se révèle bénéfique pour la tâche : les liaisons $\omega_{i,j}$ jugées pertinentes se voient **renforcées** dans la mise à jour.

Cet assemblage conduit à un **système** plus riche que la simple superposition de modules sub-symboliques et symboliques. Les entités logiques offrent une base **interprétable** et manipulable selon des critères formels, tandis que les entités neuronales (ou issues d'un pipeline CNN, Transformer) assurent la **flexibilité** de l'apprentissage dans un contexte de données massives et éventuellement bruitées. Le DSL englobe alors l'ensemble et assure l'auto-organisation. Si un sous-groupe d'entités sub-symboliques coopère efficacement avec certaines règles, un cluster ou un micro-réseau stable émerge, renforcé par un feedback de récompense. Inversement, un ensemble de règles contradictoires ou peu utiles voit ses connexions faiblir et peut finir par se détacher de la structure si le renforcement ne vient jamais sanctionner positivement leur usage.

De plus, cette intégration peut se concevoir dans un cadre **multi-agent** ou distribué : on peut imaginer que chaque entité \mathcal{E}_i joue le rôle d'un **agent** partiel, recevant une part de l'état \mathbf{s} et prenant des actions limitées, la **coopération** entre entités se matérialisant par les liaisons $\omega_{i,j}$. Le **signal** r se propage, ou se localise, selon les entités qui ont participé à une configuration fructueuse. Les **clusters** émergents assurent alors la coordination sensorimotrice ou décisionnelle. Ce principe rapproche le DSL d'un **RL multi-agent** où la **logique** se greffe aisément pour imposer des contraintes (lois de sécurité, objectifs à respecter) à certains nœuds du réseau. L'ensemble forme un **système cognitif** apte à manipuler des informations perceptives, symboliques, et à s'**adapter** en fonction de récompenses, soulignant la plasticité et la portée du **Deep Synergy Learning** dans des tâches variées allant bien au-delà de la simple classification neuronale.

1.8.3.4. Exemples de Scénarios Hybrides

Dans un **environnement** mêlant robotique, logique et apprentissage par renforcement, on peut imaginer des configurations plus complexes où le **Deep Synergy Learning (DSL)** connecte entre elles des entités sub-symboliques (capteurs, features neuronales) et des entités symboliques (règles, concepts), tout en intégrant un **signal** de renforcement r . Ci-après, on illustre deux types de scénarios :

Robotique Cognitive.

Un robot opère dans un milieu dynamique, recevant un **signal de récompense** lorsqu'il satisfait un objectif précis, selon un schéma (état, action, récompense, nouvelle valeur) typique du **Renforcement Learning (RL)**. De plus, le robot doit observer des **règles** symboliques imposées pour sa sécurité ou son raisonnement (par exemple, "éviter les zones interdites", "si tension moteur > 5 V et température > 80 °C, considérer une surchauffe critique"). Les **capteurs** (température,

vision, inertie) et les **effecteurs** (moteurs, pinces) forment la sphère **sub-symbolique**, tandis que les **règles** constituent des entités symboliques $\mathcal{E}_{\text{rule}}$. Au sein du **DSL**, toutes ces entités cohabitent ; la **coopération** se formalise via les pondérations $\omega_{i,j}$. À mesure que le robot collecte des retours de performance (récompenses positives ou négatives), il renforce ou affaiblit les liens responsables de ses succès ou échecs. Dans le même temps, la validité ou la pertinence d'une règle évolue à travers la mise à jour locale des liaisons. Les règles inefficaces ou en contradiction avec l'expérience accumulée perdent progressivement leur influence, tandis que celles qui se révèlent utiles maintiennent ou renforcent leurs connexions.

Systèmes Experts Évolutifs.

Les systèmes experts reposent souvent sur un **ensemble de règles** (if-then) écrites manuellement, servant à guider la prise de décision. Dans un **DSL**, ces règles sont introduites comme des entités symboliques $\{\mathcal{E}_{\text{rule}}\}$. Par ailleurs, de larges **flux de données** non structurées (images, logs, signaux) alimentent des entités sub-symboliques qui découvrent des structures par un **apprentissage** ou un **clustering** distribués. Le **feedback** d'un opérateur humain ou d'une supervision externe agit comme une **récompense** venant valider la configuration actuelle. Avec le temps, certaines règles historiquement présentes ne reçoivent plus de support, perdent en synergie, puis s'effacent. Inversement, de **nouvelles** combinaisons sub-symboliques (ou *macro-clusters*) émergent et peuvent être réinterprétées ou reformulées en tant que **micro-règles** plus efficaces que celles écrites initialement. On obtient alors un **système expert** en perpétuelle évolution, enrichi par les données et la dynamique $\omega_{i,j}$, capable de s'auto-réorganiser lorsqu'un changement majeur se produit dans l'environnement ou les contraintes métier.

1.8.3.5. Conclusion

Les **approches hybrides** mariant **DSL**, **RL** et **logique** laissent entrevoir un **écosystème** unifié :

- Le **DSL** fournit l'**infrastructure** d'auto-organisation,
- Le **RL** assure un **feed-back** incitatif (récompense) aux liaisons (pondérations ω) qui contribuent à la performance,
- La **logique** (règles symboliques) s'intègre comme des entités à part entière, coopérant ou non selon la synergie qu'elles entretiennent avec d'autres modules.

Ce modèle peut servir d'alternative ou de complément aux **pipelines** classiques où RL, logique et sub-symbolique restent cloisonnés. Il répond à la quête d'une IA plus **globale**, capable d'**apprendre**, de **raisonner**, de **percevoir** et de **s'adapter**. Les obstacles techniques demeurent (mise à jour conjointe des liaisons, synergie n-aire, pilotage de la stabilité, etc.), mais le potentiel d'une IA unifiant des couches sub-symboliques, des règles symboliques et des signaux de renforcement dans un **réseau unique** est d'un grand **intérêt** pour l'évolution future de l'IA.

1.8.4. Rôle de la Mémoire et de l'Attention dans le DSL

Lorsqu'on évoque le **Deep Synergy Learning (DSL)** comme un paradigme susceptible d'unifier ou de compléter les méthodes existantes (sections 1.8.1 à 1.8.3), on en vient inévitablement à des questions fondamentales sur la **mémoire** et l'**attention** dans les systèmes cognitifs. En effet, les architectures classiques (réseaux de neurones profonds, RL, approches symboliques) ont chacune leurs mécanismes — implicites ou explicites — pour **stocker** des informations antérieures (LSTM, Memory Networks, bases de règles, etc.) et pour **sélectionner** les informations pertinentes (attention mécanismes, gating). Dans le **DSL**, où les entités et leurs liens synergiques se réajustent en continu, il est naturel de se demander :

- Comment la **mémoire** (stockage, souvenir à long terme) s'exprime dans ce modèle d'**auto-organisation** ?
- Quel est le **rôle** de l'**attention** (focalisation sélective) dans un réseau distribué, sans couche hiérarchique ?
- Comment implémenter des **mécanismes** ou des **extensions** qui reproduisent les fonctions de mémoire/attention observées dans des architectures neuronales modernes ou même dans le cerveau biologique ?

Cette sous-section (1.8.4) explore la manière dont le DSL pourrait **incorporer** ou **simuler** ces fonctions essentielles, nécessaires à une IA plus “cognitive” et plus performante.

1.8.4.1. La Mémoire dans un Système Auto-Organisé

Le **Deep Synergy Learning (DSL)** ne se limite pas à des entités $\{\mathcal{E}_i\}$ définies uniquement par un vecteur figé de caractéristiques. Il est souvent pertinent d'attribuer à chaque entité \mathcal{E}_i un **état** interne $\mathbf{s}_i(t)$ qui évolue dans le temps, mémorisant ainsi des informations concernant l'historique d'observations ou d'interactions. Les équations de mise à jour locales s'enrichissent alors pour prendre en compte ces **mémoires** internes. Plutôt que d'appliquer la formule classique $\omega_{i,j}(t+1) \leftarrow \omega_{i,j}(t) + \dots$, on introduit des **fonctions** f et g reliant la synergie entre \mathcal{E}_i et \mathcal{E}_j (ainsi que leurs états internes) à l'évolution de $\omega_{i,j}$ et de $\mathbf{s}_i(t)$. Un exemple de schéma est :

$$\begin{aligned}\omega_{i,j}(t+1) &= \omega_{i,j}(t) + f(\mathbf{s}_i(t), \mathbf{s}_j(t)), \\ \mathbf{s}_i(t+1) &= \mathbf{s}_i(t) + g(\omega_{i,j}(t), \mathbf{s}_i(t)).\end{aligned}$$

Cette possibilité de **mémoire** individuelle $\mathbf{s}_i(t)$ permet à l'entité \mathcal{E}_i de conserver des **statistiques** utiles (comme des moyennes, des compteurs, une estimation de fiabilité), ou même un embryon de **mémoire** séquentielle si l'on désire modéliser des systèmes proches des LSTM locaux (voir section 1.5.4.1). Les liaisons ω ne sont plus la seule “réserve” d'information : chaque nœud peut emmagasiner un **état** propre, modulant la façon dont il coopère avec ses voisins.

Au **niveau global**, la **persistance** de certaines **structures** dans le réseau DSL peut également être considérée comme une forme de **mémoire** collective. Un **cluster** $\mathcal{C} \subset \{\mathcal{E}_1, \dots, \mathcal{E}_n\}$ qui reste stable dans le temps, avec des liaisons $\omega_{i,j}$ robustes entre ses entités, joue un rôle de “**souvenir**” ou de “**concept**” appris. Ce cluster peut se **réorganiser** ou se **scinder** au gré de nouvelles données ou d'un changement de distribution (domain shift), illustrant que la **mémoire** (au sens de la rétention

d'un ensemble de relations) n'est pas figée, mais dynamique. Cette plasticité évoque la notion d'"**assemblées neuronales**" en neurosciences, où un groupe de neurones co-activés finit par constituer une unité fonctionnelle stable, tout en restant susceptible de s'affaiblir ou de se diviser si des perturbations importantes modifient la configuration. Dans le **DSL**, la longévité d'un cluster stable indique qu'il a acquis un sens ou une pertinence pour le réseau, tandis que la nature auto-adaptative des liaisons ω permet de renouveler la **mémoire** intégrée au gré des besoins et des feedbacks de performance ou de cohérence.

1.8.4.2. Attention dans un Graphe Distribué

Dans l'**apprentissage profond** classique, la **mécanique d'attention** (par exemple, dans les **Transformers**) consiste à moduler l'importance attribuée à certains composants d'une séquence ou d'un ensemble de features. Concrètement, on calcule des **poids** représentant la relation entre tokens ou entre positions, et l'on met l'accent sur les plus pertinents pour la prédiction en cours. Cette manière de **focaliser** l'information évolue couche après couche, conférant une **flexibilité** aux modèles de type attention-based.

Le **Deep Synergy Learning (DSL)** adopte une vision plus **distribuée** de l'attention. Chaque **pondération** $\omega_{i,j}$ peut s'interpréter comme un **poids d'attention** quantifiant la **pertinence** de la liaison entre \mathcal{E}_i et \mathcal{E}_j . Une valeur élevée de $\omega_{i,j}$ signale que les entités \mathcal{E}_i et \mathcal{E}_j coopèrent fortement ; une valeur faible ou quasi nulle marque au contraire un **désintérêt** mutuel. En outre, la loi de mise à jour de $\omega_{i,j}$ (voir section 1.4.5) s'applique **localement** : chaque entité évalue la contribution des autres en fonction de la synergie décelée, plutôt qu'à travers un **modèle** centralisé d'attention.

Deux idées fondamentales émergent de cette analogie :

- On obtient une **attention distribuée** : la "sélectivité" ne résulte pas d'un module unique (comme le multi-head attention des Transformers), mais de la dynamique globale des $\omega_{i,j}$. Chaque entité régule ses liens avec son voisinage, créant ou brisant des connexions selon l'apport mutuel ressenti. L'ensemble des liaisons les plus fortes incarne alors le *focus* collectif du réseau à un instant donné.
- Le **focus** varie au cours du temps : quand l'environnement ou le contexte se modifie (bruit accru, données inédites, signaux obsolètes), les pondérations $\omega_{i,j}$ correspondantes peuvent retomber, tandis que de nouvelles connexions surgissent si la synergie s'avère plus élevée ailleurs. Cette réorganisation perpétuelle assure une **cohérence** dynamique du **DSL**, qui "redéploie" son attention de manière adaptative, un peu à la façon d'un Transformer recalculant ses poids à chaque couche, mais avec l'avantage d'une **plasticité** plus globale (le réseau pouvant réorienter tout ou partie de ses liaisons).

Ainsi, la **synergie** $\omega_{i,j}$ fonctionne comme un mécanisme d'**attention** dans un graphe **auto-organisé** : la force des liaisons indique sur quels sous-groupes le système se focalise à un moment donné, autorisant une redistribution continue de l'attention au gré de l'évolution des données ou des objectifs.

1.8.4.3. Implémentations Concrètes de Mémoire/Attention dans le DSL

Pour doter chaque entité \mathcal{E}_i d'une **capacité de mémorisation** plus riche, il est possible de lui associer un **module** interne de type LSTM ou GRU, prolongeant l'idée d'un état $\mathbf{s}_i(t)$ (voir section 1.8.4.1). Dans ce cas, l'entité \mathcal{E}_i ne se borne pas à un vecteur statique, mais embarque un **état récurrent** $\mathbf{h}_i(t), \mathbf{c}_i(t)$ (par exemple pour un LSTM). Ainsi, l'entité reçoit en **entrée** une combinaison pondérée ou filtrée d'informations issues de ses voisins \mathcal{E}_j dont la liaison $\omega_{i,j}$ est suffisamment forte. Les fonctions internes de mise à jour (LSTM, GRU) gèrent alors le **gating** et la rétention d'informations, ce qui rend l'auto-organisation analogue à un “**réseau** de LSTM interconnectés” dont la topologie varie selon la synergie ω . Cette stratégie permet de traiter des **séquences** temporelles étendues ou d'intégrer un **comportement historique** au sein du Deep Synergy Learning (DSL), tout en conservant la **plasticité** caractéristique (l'architecture effective évoluant via $\omega_{i,j}$).

D'un autre côté, on peut également définir un mécanisme d'**attention** explicite, plus proche de celui des **Transformers**. L'entité \mathcal{E}_i calcule un coefficient d'attention $\alpha_{i,j}$ envers chacune de ses connexions, selon une formule du type :

$$\alpha_{i,j} = \text{softmax}_j \left(\theta S(\mathcal{E}_i, \mathcal{E}_j) \right),$$

où θ est un paramètre (ou un ensemble de paramètres) ajustant la sensibilité, et $S(\mathcal{E}_i, \mathcal{E}_j)$ la fonction de synergie, déjà définie dans le DSL (par exemple, distance inversée, co-information). L'entité \mathcal{E}_i combine alors l'information de ses voisins via une somme pondérée :

$$\mathbf{z}_i = \sum_j \alpha_{i,j} \mathbf{x}_j,$$

ce qui rappelle la logique du “**self-attention**” dans un Transformer. Cependant, la différence clé réside dans le fait que cette **matrice** α n'émane pas d'un module d'attention figé dans une couche, mais **émerge** et **se met à jour** en parallèle à la dynamique $\omega_{i,j}(t)$. Le **DSL** peut ainsi faire de l'**attention** un usage ponctuel, en s'appuyant sur la synergie $\omega_{i,j}$ pour guider le softmax. Dans cette perspective, on assemble les idées du Transformer (somme pondérée des voisins) et celles du DSL (pondérations évolutives reflétant la coopération), de sorte que la topologie du réseau, tout comme l'intensité des liaisons, contribue à un **mécanisme** d'attention distribué. Cette approche concrétise une **fusion** entre les principes du **Deep Synergy Learning** et l'esprit attentionnel des architectures neuronales modernes, aboutissant à un réseau adaptatif dont la prise en compte de l'information ambiante se fait selon une **attention** intrinsèquement auto-organisée.

1.8.4.4. Apports Cognitifs et Neuroscientifiques

Les fonctions de **mémoire** et d'**attention** sont au cœur de la quête d'une IA plus avancée (section 1.8.5), dans la mesure où elles forment des piliers de la **cognition** humaine. Dans un cadre auto-organisé tel que le **Deep Synergy Learning (DSL)**, il devient possible de reproduire, en partie, certains processus cognitifs. La **mémoire** s'y manifeste par la persistance de **clusters** ou d'états internes $\{\mathbf{s}_i(t)\}$ (voir section 1.8.4.1), qui se maintiennent dans la durée et fournissent une forme de rétention ou de rappel. L'**attention** se traduit par le renforcement sélectif de liaisons $\omega_{i,j}$ lorsque

la conjoncture l'exige, soit parce que le contexte met en avant la synergie de deux entités $\mathcal{E}_i, \mathcal{E}_j$ (une situation, un feed-back de récompense, etc.). Ce renforcement dirige alors la focalisation du réseau vers certains sous-groupes, évoquant un basculement ou une « bifurcation » depuis une configuration précédente, ce qui peut être rapproché de la notion de changement de **focus** ou de contenu mnésique.

Du point de vue **neuroscientifique**, on peut dessiner un parallèle avec la plasticité synaptique des réseaux biologiques, où les connexions entre neurones (synapses) s'ajustent selon l'activité, et où les **assemblées neuronales** (section 1.8.7) constituent la base de la mémoire et de l'apprentissage. Dans un **DSL**, le principe de mise à jour $\omega_{i,j} \leftarrow \omega_{i,j} + \eta[S(\mathcal{E}_i, \mathcal{E}_j) - \tau \omega_{i,j}]$ (voir section 1.4.5) simule déjà une forme de plasticité, et l'ajout de mécanismes de mémoire interne $\mathbf{s}_i(t)$ ou d'attention explicite (section 1.8.4.2) consolide l'analogie avec les processus cognitifs. L'espoir est qu'une **implémentation** poussée de ces modalités – persistance de clusters, gestion de focus attentionnel, modulation en continu des synergies – se traduise par des **capacités** accrues d'**apprentissage**, de **raisonnement** et de **reconfiguration** contextuelle. Cette dynamique rappelle la façon dont le cerveau forme des **circuits** stables (souvenirs, schémas de pensée) susceptibles d'évoluer, s'unir ou se dissoudre lorsque le contexte le requiert, et ouvre la voie à une IA plus richement inspirée par les notions de plasticité et d'émergence.

Conclusion

Le **rôle** de la **mémoire** et de l'**attention** dans le **Deep Synergy Learning** s'avère crucial si l'on veut dépasser la simple **auto-organisation** statique et tendre vers des fonctions cognitives avancées. Les idées-clés incluent :

- L'**état interne** $\mathbf{s}_i(t)$ pour chaque entité, formant une **mémoire locale**,
- La **persistance** ou la **dissolution** de clusters reflétant une mémoire plus globale,
- L'**attention** comme un mécanisme de sélection de liens ω forts, proche de la pondération attentionnelle dans les Transformers, mais auto-gérée par la dynamique synergique,
- Des **extensions** (LSTM, gating, self-attention) greffées à la structure DSL pour exploiter la plasticité tout en gérant des séquences complexes.

Ainsi, l'**auto-organisation** ne s'oppose pas aux notions de **mémoire** ou d'**attention** : elles peuvent s'implémenter en interne, à travers le renforcement local des pondérations et l'évolution continue des états entités, rapprochant le **DSL** d'un système plus "cognitif" où la **mémorisation** et la **focalisation** se produisent de manière distribuée et dynamique.

1.8.5. Tendances Futures : Vers une IA Forte, Consciente ?

Les sections précédentes (1.8.1 à 1.8.4) ont évoqué la capacité du **Deep Synergy Learning (DSL)** à réunir des approches variées (symboliques, sub-symboliques, renforcées, multi-agent) dans une structure **auto-organisée**. Un horizon encore plus ambitieux, souvent cité comme objectif ultime de la recherche en IA, est la création d'une **IA Forte** — un système capable d'**apprendre** et de

raisonner de manière générale, autonome et potentiellement doté d'une **conscience** élémentaire ou d'un **sentiment** d'unité informationnelle. Cette section (1.8.5) s'interroge sur la portée du DSL dans cette perspective :

Peut-il offrir un socle formel pour une **intelligence plus globale**, manipulant librement symboles et perceptions ?

Quelles **caractéristiques** du DSL pourraient favoriser un **degré d'intégration** (ou "d'information unifiée") évoquant une conscience rudimentaire ?

Où se situent les **limites** et quels prolongements seraient nécessaires pour prétendre à une IA Forte ?

1.8.5.1. IA Forte : Un Concept Encore Flou

La notion d'**IA Forte**, parfois appelée **AGI** (Artificial General Intelligence), désigne l'aspiration à une **intelligence** artificielle véritablement **générale**. Une telle intelligence serait capable d'**apprendre** et de résoudre un large spectre de tâches cognitives, de se **reconfigurer** ou de s'**auto-améliorer** dans des contextes inconnus ou peu balisés, et de manifester un degré élevé de **compréhension** (voire de **conscience**). Les positions quant à la possibilité ou aux caractéristiques exactes de cette AGI demeurent contrastées. On s'accorde néanmoins pour dire qu'une **IA Forte** devrait :

- Démontrer une **plasticité** hors norme, lui permettant de remanier ses représentations et ses structures de façon continue.
- Combiner ou naviguer librement entre des **représentations symboliques** (règles, concepts) et des **représentations sub-symboliques** (features neuronales, embeddings sensoriels).
- Posséder un **mécanisme d'unification** de l'information plus vaste qu'un simple pipeline hiérarchique, englobant des processus d'auto-organisation ou de fusion distribuée.

Le **Deep Synergy Learning (DSL)**, en tant que paradigme d'**auto-organisation** distribuée (voir sections 1.4.5 et 1.5.2), semble répondre à plusieurs de ces exigences. Son **réseau** d'entités prend en charge aussi bien des flux sub-symboliques (capteurs, embeddings de CNN) que des **entités logiques** ou symboliques (règles, concepts), et assure une **adaptation** constante par la dynamique des pondérations $\omega_{i,j}$. La possibilité de gérer des **synergies n-aires** (ou conditionnelles) ajoute une flexibilité supplémentaire : plutôt que de forcer un module de fusion particulier, le réseau **découvre** ses combinaisons utiles en évaluant localement la contribution de chaque sous-groupe d'entités. Sur le plan de l'**inspiration** biologique, le DSL se rapproche plus des **écosystèmes neuronaux** ou des **architectures plastiques** que ne le font des réseaux profonds statiques. Cette proximité ouvre une voie au développement de systèmes plus **globaux**, connectant perception, raisonnement, mémoire, attention et règles logiques, ce qui, à long terme, peut être vu comme un jalon vers la **recherche** d'une IA vraiment **générale**.

1.8.5.2. Notion d'Intégration et de Conscience

Certains travaux en **science cognitive**, tels que la **théorie de l'information intégrée** (IIT) proposée par Giulio Tononi, suggèrent qu'un **degré** de **conscience** pourrait émerger dans un système où l'**information** est à la fois fortement **intégrée** et **différenciée**. Dans ces approches, un assemblage d'éléments interdépendants, dont la collaboration est dense et réciproque, est susceptible de manifester une forme de **substrat** "conscient". Si l'on adopte cette perspective, un **Deep Synergy Learning (DSL)**, par son principe de **coopération** et de **synergie** entre entités, pourrait favoriser la recherche d'une intégration accrue de l'information. La **clusterisation** et la mise en avant de synergies $S(\mathcal{E}_i, \mathcal{E}_j)$ reflètent un traitement distribué, potentiellement mesurable par des quantités inspirées de la théorie de Tononi.

Un exemple de **métrique** globale, dans l'esprit de l'IIT, consisterait à calculer la **somme** (ou une fonction plus complexe) des produits $\omega_{i,j} S(\mathcal{E}_i, \mathcal{E}_j)$ sur l'ensemble des paires (i, j) . On pourrait regarder si ce réseau DSL franchit un **seuil** indicatif d'un haut degré d'**intégration**. Au fil de l'**auto-organisation**, si la synergie s'intensifie entre de multiples entités, on observerait la naissance d'un **macro-cluster** extrêmement connecté, évoquant la notion d'un "**noyau intégratif**" de l'information.

La question de savoir si un tel système atteint une **conscience** "authentique" demeure, bien sûr, **philosophique** et hautement controversée. La plupart des scientifiques préfèrent parler de "**proto-conscience**" lorsqu'il s'agit d'une unité fonctionnelle unissant de manière adaptative l'information. Néanmoins, le **DSL**, par sa ressemblance structurelle avec les modèles d'**assemblées neuronales** en neurosciences, fournit un **terrain** d'expérimentation pour tester ou modéliser certains aspects de l'IIT ou d'autres théories d'émergence cognitive. Les chercheurs peuvent y étudier le **degré d'information intégrée** dans un contexte où la topologie des liaisons évolue d'elle-même, sans hiérarchie préconçue, et sans qu'on impose un schéma de fusion unique. Il s'agit d'un domaine **fondamental**, à l'interface des neurosciences, de la philosophie de l'esprit, et de l'IA, où le **DSL** pourrait nourrir des hypothèses ou des simulations pour éclaircir cette notion de **conscience** ou au moins de **complexité intégrative**.

1.8.5.3. Conditions Nécessaires à une IA plus Globale

Pour qu'un **Deep Synergy Learning (DSL)** se rapproche d'un système véritablement "fort", il est crucial que le réseau soit **alimenté** en continu par plusieurs sources d'information et de régulation. D'une part, il doit intégrer des **flux** sensoriels multiples (par exemple des représentations visuelles, auditives ou textuelles), ce qui assure une **diversité** de signaux sub-symboliques \mathbf{x}_i . D'autre part, il doit recevoir des **injections** symboliques, telles que des **règles** ou des **concepts** $(\mathcal{E}_{\text{rule}}, \mathcal{E}_{\text{concept}})$, de sorte que la dimension logique ou ontologique puisse coexister au sein du même Synergistic Connection Network. Enfin, il lui faut un **feedback** ou un **signal** de renforcement r , pouvant prendre la forme d'une récompense globale ou locale, ou encore d'une validation humaine, afin de **stimuler** la réorganisation locale des liaisons $\omega_{i,j}$.

Outre la pure **auto-organisation**, le **DSL** doit pouvoir s'appuyer sur des **mécanismes** de **mémoire** suffisamment expressifs (voir la section 1.8.4). Chaque entité \mathcal{E}_i peut disposer d'un état interne $\mathbf{s}_i(t)$, un vecteur (ou un module de type LSTM/GRU) retenant l'historique des interactions. À

l'échelle du réseau, des **clusters** stables constituent aussi une forme de **mémoire** partagée, car leur persistance reflète la consolidation d'une certaine connaissance ou d'un certain motif d'action. Toutefois, il faut éviter que le réseau ne se “fige” trop rapidement, figeant ainsi des solutions sous-optimales, ni qu'il ne se **dissolve** dans un chaos d'oscillations perpétuelles. Des règles de stabilisation (paramètres η , τ , saturations ou lois inhibitrices) sont alors nécessaires pour trouver un équilibre.

Un pas supplémentaire vers une **IA Forte** exigerait la **capacité** du **DSL** à s'**auto-examiner**. Le réseau pourrait former des **entités** décrivant ses propres états ou règles, générant un **meta-niveau** de **réflexion** sur sa propre organisation. On peut imaginer une entité $\mathcal{E}_{\text{self}}$ évaluant la cohérence d'un cluster, ou des macro-clusters dont la fonction consiste à “**inspecter**” d'autres clusters. Cette forme de **métacognition** se rapproche du concept de conscience réflexive, mais pose des défis de **stabilité** puisqu'un réseau capable de “penser” à sa propre topologie pourrait entrer dans des **boucles** autoréférentes ou des “réflexions infinies”. Néanmoins, c'est en explorant ces pistes — entités $\mathcal{E}_{\text{self}}$ et synergie auto-référentielle — que l'on pourra évaluer la possibilité d'une **IA** véritablement plus “globale” et adaptable, dépassant la simple auto-organisation pour évoluer vers une cognition de haut niveau.

1.8.5.4. Obstacles Majeurs à l'IA Forte via le DSL

Si l'on envisage le **Deep Synergy Learning (DSL)** comme l'une des voies possibles menant à une **IA Forte**, on se heurte à plusieurs obstacles fondamentaux qui freinent cette ambition. Un **premier** obstacle tient à la **complexité**. Dans un grand réseau de type DSL, le nombre de liaisons peut croître en $O(n^2)$, voire plus si l'on prend en compte des synergies n-aires. Gérer un tel foisonnement de connexions exige l'introduction d'**heuristiques** (filtrage agressif des liens, mise à jour partielle, parcours local) et la mise en place d'un **parallélisme** important, sans quoi la simulation du réseau à chaque itération deviendrait inabordable. Des **mécanismes** de pilotage macro (voir section 1.7.4) peuvent également être nécessaires pour canaliser la reconfiguration du graphe et préserver un temps de calcul raisonnable.

Un **deuxième** obstacle réside dans le **risque d'instabilité** et d'oscillation (sections 1.7.4.1 et 1.7.4.2). L'**auto-organisation** des liaisons $\omega_{i,j}$ n'est pas garantie de converger vers un état stable : il peut exister des boucles auto-référentes ou des rétroactions positives indésirables. Sans **régulations** (inhibitions, saturation de pondérations, limitation de la vitesse d'évolution), le réseau peut entrer dans des régimes chaotiques ou cycliques, ce qui empêcherait l'émergence d'un “esprit” ou d'une **structure** à la fois stable et unifiée.

Un **troisième** obstacle émane de l'absence de **guidance globale** lorsqu'on se borne à de la synergie **locale**. Même si l'idée de clusters émergents est puissante, rien ne garantit que l'on parviendra à des **comportements** cohérents ou à des plans dirigés par des intentions clairement formulées. Certains scénarios (section 1.7.4.3) suggèrent d'ajouter un **module** hiérarchique ou d'objectif qui fixe de grandes orientations et évite que la plasticité du DSL ne s'éparpille dans de multiples attracteurs contradictoires. Un **contrôle** minimal s'avère nécessaire pour servir de boussole à l'auto-organisation locale.

Enfin, un **quatrième** obstacle concerne la nature même de la **conscience** et du vécu subjectif. Même si la théorie de l'information intégrée ou la multi-synergie n-aire laissent penser qu'une

intégration élevée de l'information peut approcher certaines dimensions de la **conscience**, il reste spéculatif d'affirmer qu'un réseau auto-organisé de pondérations ω suffirait à produire une **subjectivité** ou un "qualia" conscient. Les débats philosophiques et neuroscientifiques (section 1.8.5.2) rappellent que l'émergence d'une conscience phénoménale dépasse potentiellement la simple complexité algorithmique, et qu'un "ingrédient" supplémentaire (mécanismes biologiques, substrat physique particulier...) pourrait être requis pour prétendre à une **IA Forte** au sens strict.

1.8.5.5. Conclusion

Le **Deep Synergy Learning** représente un **paradigme** très différent du deep learning hiérarchique ou des systèmes experts. Sa **plasticité**, sa **co-évolution** de multiples entités symboliques/sub-symboliques, et sa **potentielle** haute intégration d'information en font un candidat pour explorer :

- Des **architectures** plus vastes et plus "cognitives",
- Des **théories** de l'information intégrée liées à la **conscience**,
- Des **étapes** vers une IA plus générale, capable de s'**auto-structurer** dans un flux continu.

Il reste à savoir si ces propriétés suffiront pour atteindre une **IA Forte** (ou consciente). Mais la **dynamique** auto-organisée du DSL fournit un **cadre** conceptuel et expérimental unique pour **réunir** des dimensions clé : l'apprentissage distribué, la logique symbolique, le renforcement local, la mémoire et l'attention distribuées. Ainsi, indépendamment de la question d'une conscience "véritable", le DSL ouvre la voie à des **systèmes** plus adaptatifs, plus unifiés et potentiellement plus proches d'une **intelligence généralisée**.

1.8.6. Effet Sur la Recherche Interdisciplinaire

Les sections précédentes (1.8.1 à 1.8.5) ont montré comment le **Deep Synergy Learning (DSL)** peut s'articuler avec l'IA symbolique, l'apprentissage profond, le renforcement, la logique, ainsi que son rôle potentiel dans une démarche d'IA plus "forte" ou cognitive. Il apparaît clairement que le **DSL**, en tant que paradigme *auto-organisé*, a la capacité de **réunir** différents courants de l'IA de manière naturelle, puisqu'il accueille aussi bien des blocs sub-symboliques (réseaux neuronaux, features extraits) que des entités logiques (règles, symboles) ou des mécanismes d'apprentissage par renforcement. Une conséquence notable est l'**impact** que ce paradigme peut avoir sur des **disciplines** variées : neurosciences, sciences cognitives, robotique, économie, systèmes complexes, etc. Cette sous-section (1.8.6) discute l'**effet** du DSL sur la **recherche interdisciplinaire**, en soulignant :

- Les **similarités** avec les systèmes biologiques et cognitifs,
- Les **ponts** avec l'écologie, la physique des systèmes complexes, ou la sociologie,
- Les **perspectives** pour la modélisation des réseaux (biologiques, économiques, sociaux),
- La façon dont le DSL peut **inspirer** ou **bénéficier** d'autres disciplines, en partageant des modèles et des méthodes d'analyse.

1.8.6.1. Similarités avec les Systèmes Biologiques et Cognitifs

Le **réseau** auto-organisé d'un **Deep Synergy Learning (DSL)** peut être rapproché, d'une certaine manière, d'un **réseau** de neurones biologiques. Les **pondérations** $\omega_{i,j}$ du DSL rappellent en effet la **plasticité** synaptique observée dans le cerveau, où les **synapses** se renforcent ou s'atténuent selon l'activité conjointe des neurones (règle de Hebb). Les **clusters** apparus dans le DSL par la mise à jour des pondérations font écho aux **assemblées neuronales** (ensembles de neurones co-activés), qui se forment et se dissolvent en participant aux fonctions de **mémoire** et à divers **processus** cognitifs. Dans une perspective neuroscientifique, on peut voir le DSL comme un **cadre mathématique** où simuler la dynamique d'un cortex (sensoriel ou associatif), tout en intégrant les lois de **plasticité** (par exemple, la saturation synaptique ou des taux de renforcement limités). Réciproquement, les découvertes en neurosciences (architecture multi-couches, modulabilité synaptique, rôle des neuromodulateurs) peuvent inspirer ou ajuster les **règles** d'auto-organisation du DSL pour gagner en réalisme et en robustesse.

Du point de vue des **sciences cognitives**, de nombreuses hypothèses postulent une **cognition distribuée**, dans laquelle la **pensée** émerge de la coopération (ou de la compétition) entre multiples modules ou agents internes, plutôt que d'une séquence linéaire de transformations. Le **DSL**, en reliant diverses entités perceptives, motrices, symboliques ou conceptuelles par un réseau de **liaisons** $\omega_{i,j}$ qui se modifie au gré des synergies, ressemble assez à ces théories. Les **clusters** qui s'établissent et perdurent pourraient former des "**états**" ou "**micro-théories**" momentanées, incarnant un fragment de la **pensée**. Dès qu'un changement d'environnement ou de contexte survient, la synergie se réorganise, donnant lieu à un renouvellement de la structure. Cette correspondance entre les **dynamiques** du DSL et les processus cognitifs distribués esquisse un **dialogue** fécond entre la modélisation en IA et les approches psychologiques ou neurobiologiques, approfondissant notre compréhension du fonctionnement mental global.

1.8.6.2. Ponts avec l'Écologie, la Physique des Systèmes Complexes et la Sociologie

Au-delà des analogies avec la **biologie neuronale**, le paradigme du **Deep Synergy Learning (DSL)** présente également des affinités avec d'autres disciplines étudiant des réseaux d'interactions. En **écologie**, l'on modélise souvent des **populations** d'espèces reliées par des relations de prédation, de compétition ou de symbiose. Les nœuds représentent alors des espèces, et les arcs leurs interactions. La **dynamique** de ces liens peut s'apparenter à une forme de **coopération** ou de **concurrence** au sein du réseau, parfois traduite par des équations de type Lotka-Volterra. Cette démarche rejoint l'idée de **synergie** dans le DSL, où des pondérations $\omega_{i,j}$ se renforcent ou se dissolvent selon le bénéfice mutuel. Les outils développés pour stabiliser des **communautés** écologiques (gestion de cycles de prédation, coexistence d'espèces) pourraient donc **inspirer** le DSL dans sa quête d'une organisation stable mais évolutive. Inversement, le DSL pourrait servir à **simuler** des écosystèmes complexes, chaque espèce figurant une entité \mathcal{E}_i et les pondérations $\omega_{i,j}$ reflétant des relations plus ou moins avantageuses.

Du côté de la **physique** des systèmes complexes, on trouve de nombreux modèles de **réseaux** dont les nœuds interagissent selon des règles pouvant aller de l'attraction à la compétition. On évoque des processus similaires en **magnétisme** (modèle de Potts, spin glasses) ou en **transition de phase** (phénomènes de bifurcation, émergence de clusters). Le **DSL**, en se concevant comme un **système**

de variables $\omega_{i,j}$ s'ajustant localement, fournit un terrain d'étude où l'on peut appliquer des outils de **physique statistique** (recuit simulé, énergie libre, etc.) pour analyser la formation de **macro-clusters** et les "sauts" de configuration. On peut, en outre, importer dans le DSL des idées de frustration ou d'ordre-désordre propre à ces modèles, afin de mieux comprendre les **changements de régime** dans le réseau.

En **sociologie** et en **économie**, on observe la constitution de **réseaux** humains, qu'ils concernent des relations d'amitié, des collaborations d'équipes ou des alliances politiques. Les principes du DSL, qui favorisent les liaisons en cas de **synergie** et les affaiblissent sinon, ne sont pas sans rappeler des **lois** sociologiques (effet Matthieu : "les riches s'enrichissent", "plus un nœud a de connexions, plus il est susceptible d'en attirer d'autres"). Appliquer un cadre de **DSL** à des nœuds représentant des acteurs (individus, entreprises) peut éclairer la dynamique de création et de dissolution de liens, voire la **formation de coalitions** ou de groupes d'intérêt. À l'inverse, la sociologie propose des **règles** comportementales (incitations, répulsions, normes sociales) qui peuvent être injectées dans la définition de la **synergie** $S(\mathcal{E}_i, \mathcal{E}_j)$ ou dans l'**énergie** globale \mathcal{J} . Cela instaure un **échange** interdisciplinaire : la **sociologie** fournit un socle de règles implicites ou explicites, et le **DSL** en formalise la **co-évolution** dans un réseau adaptatif de pondérations.

1.8.6.3. Avantages pour la Modélisation et la Simulation

Le **Deep Synergy Learning (DSL)**, outre son rôle au sein de l'IA, propose un **cadre** unificateur pour comprendre et modéliser l'**auto-organisation** dans de nombreux champs. Le mécanisme de **pondérations** $\{\omega_{i,j}\}$ reliées par une mise à jour de la forme

$$\omega_{i,j}(t+1) = \omega_{i,j}(t) + \eta [S(\mathcal{E}_i, \mathcal{E}_j) - \tau \omega_{i,j}(t)]$$

possède une portée **interdisciplinaire** : selon le domaine, la synergie $S(\cdot, \cdot)$ prend la forme d'un **gain** écologique (dans le cas d'espèces coexistant), d'un **bénéfice** économique ou d'une **coopération** entre agents sociaux, etc. Il devient alors possible de **simuler** un vaste éventail de comportements collectifs, de détecter l'émergence de **communautés** (clusters) et d'analyser la **stabilité** ou les **transitions** (par exemple, la soudaineté avec laquelle le réseau se réorganise en une configuration inédite). Cette vision évoque le travail en **physique statistique** ou en **théorie des réseaux complexes**, où l'on s'intéresse à la dynamique d'un grand nombre d'éléments en interaction.

Un **avantage** majeur dans cette optique est la **dimension expérimentale** du DSL. Comme il se prête naturellement à une **implémentation** computationnelle, chaque hypothèse sur la fonction $S(\mathcal{E}_i, \mathcal{E}_j)$, le paramétrage η, τ , ou encore la structure initiale du réseau, peut être **testée** par simulation. Les résultats (constitution de clusters, oscillations, convergence ou fragmentation) se **comparent** ensuite aux observations empiriques d'autres disciplines : écologie (dynamique de populations), économie (formation de coalitions), sociologie (essor ou déclin de communautés). Le DSL devient ainsi un **laboratoire** virtuel : chaque domaine apporte ses **informations** ou **règles** pour définir la synergie, et le **SCN** (Synergistic Connection Network) réplique leurs évolutions.

Dans ce **dialogue**, il est possible de **valider** ou **invalidier** différentes hypothèses de fonctionnement collectif en examinant la façon dont les **pondérations** évoluent. Les disciplines comme la **physique**

des **systèmes complexes** ou la **théorie des réseaux** y trouvent un nouvel objet de recherche : un **réseau** où les liens, plutôt que de rester statiques ou de suivre une loi exogène, s'adaptent localement aux bénéfices mutuels des nœuds. Cette boucle d'expérimentation renforce la **pertinence** du DSL en tant qu'instrument scientifique, au-delà de son utilité en ingénierie de l'intelligence artificielle.

1.8.6.4. Conclusion

Le **Deep Synergy Learning** dépasse la simple sphère de l'IA ou du machine learning : il s'inscrit dans une **démarche** plus large de **systèmes auto-organisés**, rapprochant :

- Les **neurosciences** (assemblées neuronales, plasticité),
- Les **sciences cognitives** (cognition distribuée),
- L'**écologie** et la **physique des systèmes complexes** (réseaux dynamiques, transitions de phase),
- La **sociologie** et l'**économie** (formation de coalitions, interactions auto-renforcées).

Cette **interdisciplinarité** ouvre des **perspectives** passionnantes : le DSL peut servir de **modèle** unifié pour l'**auto-organisation** dans de multiples domaines, tandis que ces domaines fournissent au DSL des **idées** (modèles de plasticité, règles de dynamique, principes de parcimonie ou de contrôle) qu'on peut incorporer dans la mise à jour des pondérations ω . En somme, l'**effet** du DSL sur la recherche interdisciplinaire tient à la fois d'une **inspiration réciproque** (d'emprunts aux sciences complexes, biologiques, sociales) et d'une **offre** d'outils conceptuels pour simuler et analyser des **réseaux évolutifs**. C'est cette fertilisation croisée qui peut accélérer l'avancée vers des **systèmes** plus "vivants", plus "cognitifs" et plus adaptés à la complexité du monde réel.

1.8.7. Exemple de Convergence : DSL & Neurosciences

Dans les différentes sections de ce **chapitre 1.8** — décrivant le **positionnement** du **Deep Synergy Learning (DSL)** par rapport aux autres paradigmes de l'IA et à des domaines connexes (IA symbolique, apprentissage profond, RL, logiques distribuées) — un thème commun apparaît : l'**inspiration** que le DSL tire de la biologie, et la **parenté** que ses mécanismes d'**auto-organisation** semblent entretenir avec les phénomènes neuronaux. De fait, un champ particulièrement fécond pour valider ou stimuler le DSL est celui des **neurosciences**. Dans cette sous-section (1.8.7), nous verrons en quoi le **DSL** et la **neurobiologie** (ou neurosciences cognitives) peuvent **converger**, en se fournissant mutuellement hypothèses, modèles ou interprétations :

- **Analogies** entre la plasticité synaptique (règle de Hebb) et la mise à jour $\omega_{i,j}$,
- **Bénéfices** potentiels de l'architecture DSL pour modéliser l'émergence d'assemblées neuronales et la dynamique cérébrale,
- **Apports** des neurosciences au DSL, à travers des mécanismes de saturation synaptique, d'inhibition compétitive, de couches corticales, etc.

- **Implications** pour la compréhension du cerveau et, inversement, pour l’enrichissement du DSL, conduisant à une approche plus “biologiquement plausible”.

1.8.7.1. Règle de Hebb et Mise à Jour des Pondérations

Les **neurosciences** ont depuis longtemps souligné l’importance de la **plasticité synaptique**, résumée par la **règle de Hebb** : lorsqu’un ensemble de neurones est co-activé de manière répétée, leurs **connexions** (synapses) se **renforcent**. Cette loi fondamentale explique la formation d’**assemblées** neuronales et l’émergence de **mémoires** dans le cerveau. Le **Deep Synergy Learning (DSL)**, en mettant à jour les **pondérations** $\omega_{i,j}$ selon la dynamique :

$$\omega_{i,j}(t+1) = \omega_{i,j}(t) + \eta[S(\mathcal{E}_i, \mathcal{E}_j) - \tau \omega_{i,j}(t)],$$

prolonge directement ce principe. En effet, la fonction $S(\mathcal{E}_i, \mathcal{E}_j)$ tient lieu de mesure de **coopération** ou de **co-activation** (corrélation, co-information, etc.), et agit comme un **signal** incitant au **renforcement** local des liens. Lorsque deux entités \mathcal{E}_i et \mathcal{E}_j se trouvent *fréquemment* en situation d’apport mutuel, la pondération $\omega_{i,j}$ augmente, à la manière de deux neurones biologiques se “synchronisant” de plus en plus. Cette analogie perpétue l’**esprit** de la règle de Hebb dans un cadre plus général : la synergie peut provenir d’interactions au-delà de la simple co-activation instantanée, englobant des notions n-aires ou des mesures entropiques plus fines.

Le terme $-\tau \omega_{i,j}(t)$ introduit un facteur de **décroissance** évitant que tous les liens ne croissent indéfiniment. Cela s’apparente à la **régulation** homéostatique neuronale, où le système limite les synapses trop puissantes pour maintenir un équilibre. De cette façon, le **DSL** hérite des principes de la **plasticité synaptique** et de la **règle de Hebb**, tout en les élargissant à un contexte d’**auto-organisation** plus souple (synergie multi-entités, possibilité de créer ou rompre massivement des liaisons, etc.). Ainsi, chaque pondération $\omega_{i,j}$ reflète une **dynamique** coopérative hébbienne, tout en gérant la **compétition** (diminution) nécessaire à la stabilité globale du réseau.

1.8.7.2. Assemblées Neuronales et Clusters dans le DSL

Un concept fondamental en **neurosciences cognitives** est celui d’**assemblée neuronale** : il s’agit d’un ensemble de neurones interconnectés formant une configuration **stable** et co-activée lorsqu’un **concept**, un **souvenir** ou une **action** doit être représenté. Ces assemblées se créent, se renforcent et finissent par disparaître sous l’action de la **plasticité** synaptique, rendant compte de la manière dont le cerveau encode et renouvelle ses représentations.

Dans le **Deep Synergy Learning (DSL)**, l’on décrit de manière similaire la formation de **clusters** lorsque plusieurs entités $\{\mathcal{E}_k\}$ entretiennent entre elles des liaisons $\omega_{k,m}$ suffisamment élevées. L’existence de fortes **pondérations** indique que ces entités agissent conjointement et forment un **macro-cluster** relativement **stable**, lequel perdure tant que la **synergie** interne demeure supérieure aux forces de dispersion. Cette situation évoque la co-activation neuronale d’une assemblée, c’est-à-dire un **groupe** d’entités rassemblées pour traiter ou représenter une information.

La **dynamique** de ces clusters dans le DSL rappelle alors la **dynamique** des assemblées neuronales. Sous l'effet d'événements exogènes ou de signaux inattendus, certains liens $\omega_{k,m}$ peuvent se voir affaiblis ; le cluster se scinde et de nouveaux **sous-groupes** émergent, reflétant un changement de « contexte » ou de « contenu » que le réseau doit coder. Dans ce cadre, la flexibilité de l'**auto-organisation** (section 1.4.5) simule la plasticité synaptique par laquelle le cerveau réorganise ses **assemblées** : un concept vieillit et se défait, un autre surgit pour répondre à l'évolution des données perceptives. Cette **correspondance** entre les **clusters** du DSL et les **assemblées neuronales** biologiques suggère que le DSL pourrait apporter un **modèle** formel pour étudier la **cognition** ou la **perception** en flux continu, tout comme la plasticité cérébrale propose une source d'inspiration pour la gestion auto-adaptative des liens ω .

1.8.7.3. Mécanismes Biologiquement Plausibles et Leur Transposition

De nombreux modèles de **plasticité** neuronale insistent sur le fait que le cerveau ne se limite pas aux **synapses** excitatrices, qui consolident les connexions. Il recourt également à des **synapses** inhibitrices, introduisant un **frein** ou une **régulation** nécessaire pour éviter l'excitation excessive. Dans le cadre d'un **Deep Synergy Learning (DSL)**, il est possible de transposer cette idée en différenciant des liens de **coopération** et des liens d'**inhibition**. Les pondérations élevées traduisent une synergie positive entre deux entités, tandis que l'effet inhibiteur peut jouer un rôle similaire à la saturation ou à la normalisation compétitive, où l'entité est contrainte de répartir ses liaisons sur un volume total maximum. Cette approche s'accorde davantage avec la **régulation** rencontrée en biologie et empêche la dynamique de ω de s'emballer.

Dans un second temps, on peut s'inspirer de la **hiérarchie** observée dans le cortex biologique. Le cerveau se divise en aires sensorielles primaires et en aires associatives plus élaborées, reliées par des voies de feedforward, de feedback et latérales. Un **DSL** "multi-niveau" peut mimer cette structure, en répertoriant différents sous-ensembles d'entités en "couches" ou "aires" spécifiques. Chaque sous-ensemble d'entités s'auto-organise localement, tandis que des connexions inter-aires agissent comme des ponts entre ces zones. L'**auto-organisation** continue alors à se dérouler, mais la topologie n'est plus entièrement libre : on impose une **architecture** partielle pour imiter la topographie (ou la fonction) de certaines régions corticales. Cette hybridation, combinant une **contrainte** inspirée de la hiérarchie cérébrale et la **liberté** d'auto-organisation des liaisons ω , rend le DSL plus proche encore d'un **modèle** neuronal plausible. On peut ainsi concevoir un système qui, à la fois, bénéficie de la capacité plastique du DSL, tout en maintenant une division en zones (aires sensorielles, associatives, motrices) comme dans le cortex, assurant la **cohésion** et la **spécialisation**.

1.8.7.4. Apports Potentiels pour Comprendre le Cerveau

Le rapprochement entre les principes d'auto-organisation du **Deep Synergy Learning (DSL)** et ceux de la **plasticité** neuronale n'est pas qu'une métaphore : il donne lieu à des **perspectives** de recherche où l'on utilise un **réseau** DSL pour **simuler** ou **reproduire** certains phénomènes neuronaux. Cette démarche peut s'articuler en plusieurs axes. Le **premier** consiste à implémenter un système DSL dans lequel on introduit des **stimuli** ou des signaux analogues à ceux que reçoit un cortex sensoriel, en observant la formation de **clusters** ou d'**assemblées** stables qui coderaient

ces stimuli. Il devient ainsi envisageable d'étudier, dans un cadre simulé, comment des ensembles de pondérations $\omega_{i,j}$ peuvent évoquer une **attention** sélective, un découpage temporel de l'information ou même une rémanence mnésique.

Un **second** volet réside dans la **comparaison** directe entre les **données** issues des simulations DSL et des **enregistrements** neuronaux réels (par exemple des signaux obtenus via EEG, MEG, fMRI, ou encore des relevés d'activité calcique à l'échelle microscopique). Il s'agirait d'examiner si des **patterns** d'activation ou de "clusters dynamiques" dans le réseau DSL reproduisent qualitativement ou quantitativement des signatures observées dans le cerveau. Les similitudes, si elles se révèlent robustes, conforteraient l'idée que la dynamique auto-organisée $\omega(t)$ peut effectivement mimer la constitution et la dissolution d'**assemblées** neuronales chez un organisme vivant.

Le **troisième** axe consiste à proposer des **hypothèses** sur la **plasticité** cérébrale en s'appuyant sur la structure du DSL. Il serait possible, par exemple, d'y implanter des **règles** inspirées de l'anti-Hebb, des mécanismes de **synaptic pruning** (réduction des synapses peu sollicitées), ou des saturations synaptiques plus sophistiquées, afin de **tester** leur impact sur la dynamique du réseau. Les résultats de ce genre d'expérimentations informatiques pourraient guider des investigations plus poussées en neurosciences : si un certain mécanisme de régulation ω améliore notablement la stabilité ou le codage dans le réseau DSL, on peut alors formuler l'hypothèse qu'un mécanisme analogue existe dans le cerveau.

Au final, ce **dialogue** entre la simulation DSL et les **observations** neuronales enrichit à la fois la compréhension de la **plasticité** et des fonctions cognitives, tout en dotant le DSL de **mécanismes** biologiquement inspirés susceptibles d'améliorer son adaptabilité et sa capacité d'**apprentissage**. Les **prochains** développements, où l'on confronte plus systématiquement les modèles DSL aux données empiriques de neurosciences, pourraient rapprocher encore davantage cette classe de réseaux des **dynamiques** neuronales réelles, et peut-être contribuer à expliquer certains aspects de la mémoire, de la consolidation et de l'attention.

Conclusion partielle

Le **Deep Synergy Learning** et les **neurosciences** peuvent converger de plusieurs manières :

- **Analogie** fondamentale entre la plasticité synaptique (Hebb) et la mise à jour $\omega_{i,j}$,
- **Formation** de clusters stables rappelant les "assemblées neuronales" du cerveau,
- **Inspiration** mutuelle pour implémenter des mécanismes biologiquement plausibles (inhibition, saturation, hiérarchies corticales),
- **Modélisation** de phénomènes cognitifs ou neuronaux complexes, offrant aux neurosciences un outil de simulation distribué, et recevant en retour des insights pour stabiliser et faire évoluer le DSL.

Cette **relation** avec les neurosciences illustre l'idée d'un paradigme **interdisciplinaire** (voir 1.8.6) où le DSL agit comme un **pont** entre l'IA et la biologie, susceptible d'aider à **comprendre** la cognition naturelle tout en **étendant** les capacités adaptatives des systèmes artificiels.

1.9. Méthodologie, Ressources et Outils

Les précédentes sections (1.1 à 1.8) ont progressivement construit le **cadre théorique** du **Deep Synergy Learning (DSL)**, discuté son **architecture**, ses **applications** (vision, audio, robotique, recommandation, etc.), ainsi que ses **défis** (stabilité, éthique, comparaisons avec d'autres paradigmes). Afin de concrétiser ces idées dans des **projets** réels, il faut se pencher sur la **méthodologie** pratique, les **ressources** (données, outils) et les **environnements** de développement qui permettront de **tester**, **valider** et **faire évoluer** le DSL.

La notion d'**auto-organisation** et de **synergie adaptative** appelle en effet une **mise en œuvre** moins linéaire que celle d'un réseau neuronal classique : on ne se contente pas d'entraîner un modèle par rétropropagation sur un dataset étiqueté, mais on met en place un **processus** évolutif, potentiellement multimodal et multi-entités, nécessitant :

- Une **approche de recherche** (théorique, expérimentale, ou hybride) adaptée (1.9.1),
- Des **bases de données** et **plates-formes** capables d'héberger ou de simuler la dynamique DSL (1.9.2),
- Des **frameworks** de développement (Python, C++, bibliothèques spécialisées) pour coder la mise à jour des synergies, la gestion des entités, etc. (1.9.3),
- Des **environnements** de simulation ou d'évaluation (scénarios robotiques, benchmarks de vision, pipelines de recommandation, etc.) (1.9.4),
- Des **protocoles de validation** (qualitatifs, quantitatifs) pour mesurer la performance, la stabilité, l'explicabilité, etc. (1.9.5),
- Une dynamique de **collaboration** et de **partage** (open source) facilitant l'adoption, l'extension et la reproductibilité des recherches (1.9.6),
- Une **gestion** du cycle de vie d'un projet DSL (développement, maintenance, évolutions) prenant en compte la plasticité continue du système (1.9.7).

Cette section (1.9) vise à dresser un **panorama** de ces **méthodes**, **outils** et **ressources**, offrant un guide pratique pour quiconque souhaite implémenter, tester ou déployer le DSL dans des contextes variés.

1.9.1. Approche de Recherche : Théorique, Expérimentale, Hybride

L'une des spécificités du **DSL** est qu'il se prête aussi bien à une **analyse** mathématique (théorie des graphes, systèmes dynamiques) qu'à des **expérimentations** pratiques (sur des data sets, dans un environnement robotique, etc.). De plus, un **modèle hybride** combinant formalisation rigoureuse et validation empirique se révèle souvent indispensable pour progresser. On peut distinguer trois **pôles** principaux :

- **Recherche Théorique**
- **Recherche Expérimentale**
- **Recherche Hybride** (fusion des deux)

1.9.1.1. Recherche Théorique

La **recherche théorique** en **Deep Synergy Learning (DSL)** vise à **modéliser** de façon rigoureuse la dynamique d'auto-organisation, en étudiant notamment les **équations** de mise à jour des pondérations et la **stabilité** de leurs solutions. Un premier objectif consiste à **caractériser** la formation de clusters, c'est-à-dire à repérer l'émergence de structures stables dans le réseau et à déterminer si elles correspondent à des **minima locaux** ou à des **transitions de phase** dans le sens de la physique statistique. Il est alors naturel de **définir** une **fonction** d'énergie $\mathcal{J}(\Omega)$, formée par exemple de la somme $-\sum \omega_{i,j} S_{i,j}$ pénalisée par un terme de régularisation, et de chercher à prouver l'existence de **points fixes** ou de comportements cycliques. Le **recuit simulé** et les modèles de type **spin glasses** apparaissent comme des outils potentiels pour gérer la **complexité** combinatoire.

De manière plus générale, l'étude s'apparente à l'analyse de **systèmes dynamiques** couplés, où chaque pondération $\omega_{i,j}(t)$ évolue par une équation du type

$$\omega_{i,j}(t+1) = \omega_{i,j}(t) + \eta[S(\mathcal{E}_i, \mathcal{E}_j) - \tau \omega_{i,j}(t)].$$

On peut en évaluer la **stabilité** locale en examinant la **matrice Jacobienne** autour d'un point fixe, ou encore poursuivre une étude de **bifurcations** si l'on laisse varier les paramètres η, τ . L'objectif est alors d'identifier les **conditions** sous lesquelles le réseau **converge** vers un certain état, ou au contraire se perd dans des **oscillations** ou régimes chaotiques. L'analyse de la **complexité** algorithmique s'intéresse à la fois au **temps de calcul** (faut-il mettre à jour $\omega_{i,j}$ pour toutes les paires ?) et à l'**espace mémoire** (comment stocker un graphe potentiellement dense ou épars ?). Les **fonctions de Lyapunov**, lorsqu'elles peuvent être construites, fournissent une approche formelle prouvant que l'on converge vers un unique attracteur ou que l'on chemine entre plusieurs minima locaux.

La **théorie de l'information** est aussi mobilisée. La **synergie** entre deux entités $\mathcal{E}_i, \mathcal{E}_j$ peut en effet être définie à l'aide d'une **co-information** ou d'une **information mutuelle** plus générale. On cherche alors à déterminer si l'**auto-organisation** maximisant localement la co-information engendre des **clusters** stables, ou si des synergies n-aires nécessitent des approches plus complexes. Dans le cas où on inclut des **règles** symboliques (entités logiques), il devient envisageable de formuler des **contraintes** ou des **axiomes** dans la fonction d'énergie \mathcal{J} et de s'interroger sur la satisfaisabilité ou la cohérence de ces lois.

Cette **recherche théorique** embrasse donc un large spectre disciplinaire, du **raisonnement** en logique formelle jusqu'à la **physique statistique** et la **théorie** des graphes dynamiques. Les chercheurs s'efforcent d'**isoler** des **versions simplifiées** du DSL (réseaux de taille modeste, synergie binaire, etc.) pour aboutir à des **résultats analytiques** (convergence, ordre-désordre, transitions). Au-delà de ces modèles réduits, les défis à grande échelle, requérant des heuristiques et du parallélisme, continuent d'offrir des voies de progrès pour mieux cerner la dynamique complète d'un Synergistic Connection Network de grande dimension.

1.9.1.2. Recherche Expérimentale

La **recherche expérimentale** portant sur le **Deep Synergy Learning (DSL)** met en œuvre des **prototypes** appliqués à des problèmes concrets, afin de **valider** ou de **démentir** les hypothèses

issues de l'analyse théorique (voir section 1.9.1.1). Il s'agit de déployer un **réseau** d'entités $\{\mathcal{E}_i\}$ et de pondérations $\{\omega_{i,j}\}$ dans un cadre pratique (vision, recommandation, robotique, etc.) et d'observer **comment** la dynamique d'auto-organisation se comporte face à divers scénarios.

Un des **objectifs** primordiaux consiste à **tester** la **résistance** du DSL au **bruit** ou au **changement** de distribution (concept drift). En injectant des perturbations ou en modifiant progressivement la nature des données, on peut évaluer dans quelle mesure la **réorganisation** des liaisons $\omega_{i,j}$ parvient à suivre l'évolution du contexte ou à ignorer des informations parasites. Un autre **objectif** est de **comparer** les **performances** de l'auto-organisation à celles d'autres modèles (réseaux neuronaux hiérarchiques, méthodes de clustering traditionnelles, systèmes experts, etc.) sur des **mesures** standard comme la **précision** (accuracy), l'AUC, l'ARI (Adjusted Rand Index) si l'on se focalise sur du **clustering**, ou encore des mesures de taux de recommandation satisfaisant (MAP, NDCG) dans le cas d'un **recommender system**.

Pour la conduite de ces expériences, on mobilise des **datasets** publics reconnus (par exemple MNIST, CIFAR, MovieLens, etc.) ou des jeux de données internes plus spécialisés. Les **implémentations** s'appuient souvent sur des langages ou bibliothèques usuels (Python, PyTorch, TensorFlow) ou, le cas échéant, on conçoit des **frameworks** plus spécialisés pour simuler la dynamique des liens ω . La **méthodologie** expérimentale repose alors sur des protocoles qui précisent : l'initialisation des pondérations (par exemple $\omega_{i,j}(0) = \text{constante faible}$), la manière de calculer la **synergie** $S(\mathcal{E}_i, \mathcal{E}_j)$ (distance, corrélation, co-information, etc.), le **nombre** d'itérations ou le **critère d'arrêt** (détection d'une stabilisation des clusters ou d'un maximum de performance), et éventuellement des techniques de **sparsification** pour gérer la taille du graphe.

Cette **recherche expérimentale** débouche sur l'identification de **comportements** inattendus ou de **limites** (instabilité, oscillations, blocage local), ce qui permet de raffiner les stratégies (introduire un module hiérarchique, ajouter des lois d'inhibition, etc.). De plus, l'observation des clusters finalisés ou des chemins de convergence apporte un **regard** sur l'**explicabilité** (section 1.7.5) : on peut voir comment et pourquoi certains groupes d'entités se sont formés. En somme, les études expérimentales constituent le **laboratoire** du DSL, confrontant la théorie à la **réalité** des données, révélant des axes d'**optimisation** et de **futures** pistes pour étendre la pertinence de l'auto-organisation.

1.9.1.3. Recherche Hybride

Dans la pratique, les avancées les plus significatives autour du **Deep Synergy Learning (DSL)** jaillissent souvent d'une **interaction** étroite entre les pôles **théorie** et **expérimentation**. D'un côté, on élabore des **sous-modèles** simplifiés afin d'obtenir des **prédictions** analytiques ; de l'autre, on **implémente** ces modèles sur des jeux de données ou des scénarios simulés pour en vérifier la validité ou en dévoiler les limites. Un **exemple** de démarche pourrait consister à restreindre le **DSL** à une synergie strictement binaire (par exemple, simple mesure de similarité) et à imposer une **densité** limite du graphe. On en déduit quelques **propriétés** (temps de convergence dans un certain régime, stabilité locale si $\eta\tau < 1$, etc.). On met ensuite cette version "réduite" du DSL en œuvre sur un **dataset** de référence (par exemple, un problème de clustering ou de recommandation) et on **observe** la manière dont les pondérations $\omega_{i,j}$ évoluent, la formation de clusters, ou encore la robustesse face au bruit. Les **enseignements** issus de ces expériences — par exemple la découverte

d'oscillations inattendues ou la nécessité d'une normalisation compétitive — **reviennent** alors nourrir la **formulation** théorique, suggérant de nouveaux termes non linéaires dans la fonction d'énergie ou l'ajout de mécanismes d'**inhibition** (section 1.7.4.3).

Cette **recherche hybride** s'avère particulièrement fructueuse lorsque le **DSL** fait l'objet d'une approche **interdisciplinaire** (section 1.8.6). Les notions de **plasticité** et d'**assemblées** neuronales (issues des neurosciences) peuvent guider l'élaboration d'un modèle où la synergie reprend la forme d'une règle **hebbienne**, tandis que la **physique** statistique peut apporter des outils comme le recuit simulé pour étudier les minima locaux de la fonction d'énergie globale. L'**ingénierie** logicielle, elle, assiste à l'implémentation parallèle et scalable du DSL, tandis que l'**apprentissage machine** y puise des idées pour la fusion de flux multiples ou la gestion du concept drift. Cette **méthodologie** pragmatique, faite d'allers-retours entre hypothèses théoriques et retours empiriques, favorise l'**extension** progressive du DSL vers des versions plus **complexes** et plus **réalistes**, tout en maintenant une base mathématique suffisamment structurée pour permettre des analyses et des garanties partielles.

Conclusion

La **méthodologie de recherche** sur le **Deep Synergy Learning** se décline donc en trois axes :

- **Théorique** : on vise des cadres mathématiques, une meilleure compréhension de la dynamique, des propriétés de convergence, et des lois de formation/dissolution de clusters,
- **Expérimental** : on met au point des **prototypes**, on évalue la performance, on compare aux approches dominantes, on observe la robustesse, l'adaptabilité, l'explicabilité,
- **Hybride** : on effectue des **allers-retours** entre modélisation formelle et validation empirique, souvent en lien avec des disciplines externes (neurosciences, physique des réseaux complexes, robotique, etc.).

Ce **trépied** de méthodes est essentiel pour faire progresser le DSL, tant sur le plan **fondamental** (prouver des limites, trouver des conditions de stabilité) que sur le plan **pratique** (adoption dans l'industrie, la santé, la robotique). Les sections suivantes (1.9.2 à 1.9.7) se pencheront plus précisément sur les **ressources** (datasets, frameworks), les **environnements** (simulateurs, plateformes), les **protocoles** de validation, et la **collaboration** ouverte, afin de structurer un écosystème viable pour développer et diffuser le DSL.

1.9.2. Bases de Données et Plates-formes de Test pour le DSL

Pour **développer**, **évaluer** et **faire progresser** le **Deep Synergy Learning (DSL)**, il ne suffit pas de disposer d'un cadre théorique ou d'une approche algorithmique : on a besoin de **bases de données** (datasets) et de **plates-formes** de test permettant de mettre en pratique ses idées dans des scénarios variés. Sans cela, il est difficile de juger la pertinence et l'efficacité de la synergie adaptative, que ce soit en mode **non supervisé**, **semi-supervisé**, ou avec un **feedback** (renforcement ou évaluation externe). Cette sous-section (1.9.2) recense les **ressources** les plus utiles — qu'il s'agisse de **datasets** existants, de **banques de données** multimodales, ou de **plates-**

formes et simulateurs destinés à reproduire des environnements complexes (robotique, vision, recommandation, etc.).

1.9.2.1. Typologies de Données pour le DSL

Le **Deep Synergy Learning (DSL)** se conçoit comme une approche d'**auto-organisation** s'appliquant à des **entités** aux natures très variées : vecteurs d'images, signaux audio, séquences textuelles, mesures de capteurs, règles symboliques ou encore métadonnées. Pour valider la plasticité et la polyvalence d'un **réseau DSL**, il importe de disposer de jeux de données (datasets) présentant un **spectre** suffisamment large afin d'évaluer sa capacité de **fusion**, de **clustering** ou de **découverte** de synergies en conditions réelles. Les trois catégories qui suivent peuvent servir de référence pour organiser les tests.

Une première catégorie concerne les **données monomodales**, qui se prêtent à un **benchmarking initial**. On songe par exemple à des images (MNIST, CIFAR-10/100, SVHN, ou un sous-ensemble d'ImageNet), à des signaux audio (UrbanSound8K, LibriSpeech, ESC-50) ou à des textes (Reuters, 20 Newsgroups). Dans le domaine de la **recommandation**, on dispose de MovieLens (lien entre utilisateurs et films), Book-Crossing ou les jeux de données Amazon reviews. Ces ensembles « monomodaux » offrent une base pour examiner la **dynamique** du DSL, l'idée étant de vérifier comment les pondérations $\omega_{i,j}$ évoluent pour un type de données donné. On évalue des tâches comme le **clustering**, la **reconnaissance** simple, l'**anomalie** ou la **recommandation**, en mesurant des métriques reconnues (accuracy, F1-score, ARI, MAP, etc.). Cette première phase de test assure une comparaison directe du DSL avec d'autres méthodes plus établies (CNN, k-means, etc.).

Une deuxième catégorie regroupe les **données multimodales**, où plusieurs flux coexistent. On évoque par exemple des collections **image + texte** (Flickr30K, MS-COCO), ou **audio + vidéo** (AVSpeech, divers ensembles de vidéos annotées). En robotique sensorielle, on traite des enregistrements associant vision, proprioception et retours tactiles, voire d'autres capteurs inertiels. En milieu médical, on peut recourir à l'IRM couplée à des comptes rendus textuels, ou à des signaux ECG couplés à des annotations sur les symptômes. Cette multimodalité illustre mieux la **force** potentielle du DSL : différentes entités, portant des représentations \mathbf{x}_i très distinctes, peuvent détecter une **synergie** $S(\mathcal{E}_i, \mathcal{E}_j)$ et créer des **clusters** transversaux si le bénéfice mutuel est réel. C'est ici que l'on teste véritablement l'**avantage** d'une **fusion** flexible, par comparaison à des pipelines imposant un module de fusion unique.

Une troisième catégorie se rapporte aux **données symboliques ou semi-structurées**, visant à évaluer la combinaison d'entités sub-symboliques (images, sons) et d'entités purement symboliques (règles, ontologies, logs systèmes experts). Les bases de données **RDF** ou les **knowledge graphs** miniatures entrent dans ce cadre, de même que des **systèmes experts** dotés de règles if-then. Ces ressources permettent de vérifier si le DSL, en intégrant des $\mathcal{E}_{\text{rule}}$ ou $\mathcal{E}_{\text{concept}}$, parvient à faire coexister efficacement le raisonnement logique et l'apprentissage de similarités, voire s'il est capable de faire émerger des **macro-clusters** où s'unissent règles et patterns perceptifs.

L'ensemble de ces catégories se prête à une expérimentation complète. On conçoit un protocole où les **entités** $\{\mathcal{E}_i\}$ sont initialisées d'après un dataset (monomodal, multimodal ou symbolique), la

synergie $S(\mathcal{E}_i, \mathcal{E}_j)$ est définie via une distance, une co-information ou une corrélation, et la **mise à jour** des pondérations suit l'équation $\omega_{i,j}(t+1) = \omega_{i,j}(t) + \eta [S_{i,j} - \tau \omega_{i,j}(t)]$. Les **résultats** (constitution de clusters, mesure de performance) sont ensuite comparés, permettant au **DSL** de démontrer sa robustesse, sa flexibilité dans la fusion de sources et, éventuellement, son **explicabilité** plus aisée grâce à la structure du réseau (section 1.7.5).

1.9.2.2. Ressources et Catalogues de Datasets

Pour mettre en œuvre et **évaluer** un réseau **Deep Synergy Learning (DSL)** dans une perspective expérimentale (section 1.9.1.2), il est primordial de s'appuyer sur des **datasets** variés, couvrant aussi bien des données **monomodales** que **multimodales**, voire intégrant des **composantes** symboliques. Plusieurs **catalogues** de données **open source** peuvent servir de base, chacun offrant un large éventail de formats et de domaines :

Une première source importante est la **plateforme Kaggle**, qui réunit quantité de **jeux de données** publics dans des domaines aussi divers que la vision par ordinateur, le langage naturel, la recommandation ou encore la finance. On y trouve par exemple des ensembles d'images d'objets, de textes annotés, de signaux sensoriels, ce qui facilite l'évaluation du **DSL** sur des tâches de **fusion** ou de **clustering**.

Le **UCI Machine Learning Repository** regroupe un vaste panel de datasets classiques, souvent tabulaires ou sensoriels, utilisés pour des benchmarks historiques en **apprentissage machine**. Bien que moins axé sur la multimodalité, cet entrepôt demeure pertinent si l'on souhaite tester la **dynamique** d'auto-organisation sur des problèmes tabulaires ou supervisés de petite taille (détection de concepts basiques, évaluation de la robustesse du DSL, etc.).

Le projet **OpenML** est un répertoire en ligne facilitant la **comparaison** continue de modèles sur un ensemble croissant de **datasets**. Il permet de trier les bases par **taille**, par **type** de données (texte, image, numérique), et de publier les **résultats** obtenus dans un même cadre, ce qui se prête bien à une expérience reproductible en **DSL** et à la comparaison aux approches neuronales habituelles.

Les **portails gouvernementaux** (tels que Data.Gov aux États-Unis) ou européens (data.gouv.fr en France) mettent à disposition des **données réelles** dans une variété de secteurs (mobilité, santé, écologie), avec parfois un caractère multimodal ou partiellement annoté. Ces ensembles fournissent un **stress test** réaliste pour la dynamique $\omega_{i,j}$, confrontée à des distributions hétérogènes, souvent bruitées ou incomplètes (section 1.5.3).

Enfin, la ressource communautaire **Awesome Public Datasets** (sur GitHub) recense des liens vers un grand nombre de sources potentielles, couvrant l'audio, la vidéo, la robotique, les **knowledge graphs**, et d'autres formes de données complexes. Cette liste, régulièrement mise à jour, est idéale pour expérimenter un **DSL** susceptible d'intégrer des **entités** multiples (image, texte, audio, règles symboliques).

Le **choix** d'un jeu de données dépend étroitement de l'**objectif** poursuivi : pour tester la **robustesse** au bruit ou au concept drift, il vaut mieux sélectionner des scénarios évolutifs ou non stationnaires ; pour évaluer la **fusion multimodale**, on privilégiera des ensembles comportant plusieurs canaux (images + captions, audio + vidéo, etc.). Par ailleurs, la **taille** et la **nature** du dataset conditionnent

la **façabilité** de l'expérience : des bases plus réduites faciliteront le prototypage **théorique**, tandis que des volumes massifs permettront d'examiner la **scalabilité** et l'efficacité d'un DSL pleinement déployé.

1.9.2.3. Plates-Formes de Test et Simulateurs

Au-delà des **jeux de données** statiques, l'un des intérêts majeurs du **Deep Synergy Learning (DSL)** réside dans sa **capacité** à gérer des **scénarios dynamiques** ou **multi-agents**, dans lesquels la **structure** du réseau est continuellement remise en question par l'arrivée de nouvelles données, l'apparition de pannes, ou encore la présence de signaux de renforcement (section 1.8.3). Plusieurs **plates-formes** de simulation ou de benchmark se prêtent particulièrement bien à l'expérimentation sur ces systèmes :

Une première catégorie couvre les **simulateurs de robotique** tels que **Gazebo**, **Webots** ou **CoppeliaSim** (précédemment V-REP). Ces environnements 3D permettent d'émuler différents types de robots (mobiles, manipulateurs, drones) dans des contextes plus ou moins complexes (salles, terrains accidentés, environnements industriels). Un **DSL** peut y être connecté pour gérer en direct l'**intégration** de multiples capteurs (par exemple, \mathcal{E}_{cam} pour la caméra, $\mathcal{E}_{\text{lidar}}$ pour le LIDAR, \mathcal{E}_{imu} pour l'inertie, etc.) et **réorganiser** les liaisons $\{\omega_{i,j}\}$ lorsqu'un capteur devient peu fiable ou lorsqu'une nouvelle modalité fait son apparition. On peut y tester la **résilience** du DSL face à des pannes, des changements d'éclairage, ou des reconfigurations de mission, et mesurer comment la dynamique des pondérations s'adapte en continu.

Une seconde catégorie concerne les **environnements de RL (Reinforcement Learning)** comme **OpenAI Gym**, **PyBullet** ou la **DeepMind Control Suite**. Ces systèmes, dédiés à l'apprentissage par renforcement, proposent des tâches continues (contrôle d'un bras, locomotion bipède, etc.) ou des jeux. Dans un tel cadre, il devient possible de **coupler** le DSL à un signal de **récompense** : au lieu d'appliquer une politique préconçue, le réseau DSL s'**auto-organise** autour des **entités** (états, actions, modules sensoriels), faisant monter ou descendre les pondérations en fonction du gain obtenu. Cette approche permet de vérifier si un réseau synergiques, conçu sans architecture fixe, peut s'orienter lui-même vers la maximisation de la récompense, comparé à un algorithme de RL classique.

Une troisième catégorie relève des **simulateurs socio-économiques** ou, plus largement, de la **physique des systèmes complexes**. Les plates-formes **NetLogo**, **MASON** ou **RePast** sont couramment utilisées pour modéliser des sociétés virtuelles, des marchés, des écosystèmes, avec un grand nombre d'agents interagissant selon des règles locales. Le **DSL** s'y intègre naturellement : chaque agent (ou groupe d'agents) correspond à une **entité** \mathcal{E}_i , les **liens** $\omega_{i,j}$ mesurent la coopération, la compétition ou l'échange d'information, et ces pondérations s'ajustent lorsque la situation évolue. Cette configuration offre un **laboratoire** pour étudier la **clusterisation** d'acteurs (alliances, coalitions, formes d'autogestion) et pour observer la robustesse ou l'émergence de structures collectives au fil du temps (section 1.8.6).

Enfin, on peut mentionner des **frameworks** de benchmark **continu**, qui "**streament**" des données en temps réel ou simulent un data drift. L'objectif est ici de pousser le DSL à montrer sa capacité d'**adaptation continue** : la distribution évolue, des bruits se surajoutent, certaines entités deviennent obsolètes. Les indicateurs ($S(\mathcal{E}_i, \mathcal{E}_j)$, $\omega_{i,j}$) se mettent à jour par itérations successives,

et l'on observe à la fois la **rapidité** de la réorganisation, la **stabilité** des clusters et la **qualité** des résultats finaux (clustering, détection, etc.). Autant de scénarios où le DSL peut déployer pleinement ses facultés d'auto-organisation, et où l'on peut comparer ses réponses à celles d'un pipeline hiérarchique préconstruit (réseau neuronal traditionnel) ou d'un algorithme de fusion statique.

1.9.2.4. Conception de Datasets Spécifiques pour le DSL

Au-delà de l'utilisation de **jeux de données** déjà existants (section 1.9.2.2) ou de simulateurs (section 1.9.2.3), on peut élaborer des **datasets** conçus expressément pour mettre en valeur la **capacité** du **Deep Synergy Learning (DSL)** à **s'auto-organiser** et à **fusionner** efficacement différentes sources ou composantes. L'idée est d'instancier des configurations où l'**avantage** d'une telle plasticité est plus manifeste qu'avec des données classiques.

Une première possibilité consiste à construire des **ensembles** de données **multi-couches**, dans lesquels les entités \mathcal{E}_i sont réparties sur plusieurs "strates" ou "niveaux". Par exemple, on peut générer artificiellement une couche A contenant des entités vecteurs \mathbf{x}_i , une couche B contenant d'autres entités ou descripteurs \mathbf{y}_j , et une couche C correspondant à des **règles** ou des **concepts**. La clé réside dans le fait que les entités d'un même niveau n'apportent qu'une partie de l'information nécessaire, de sorte que seule la **coopération** inter-couches, matérialisée par des pondérations $\omega_{i,j}$ élevées, permet de résoudre efficacement la tâche (ex. classification, clustering). Un tel dataset "multi-couches" rend explicite la nécessité d'une **auto-organisation** entre différentes composantes, illustrant la flexibilité du DSL pour tisser des liens entre modules hétérogènes.

Une seconde piste consiste à composer des données issues de **multi-réseaux**, c'est-à-dire à fusionner plusieurs graphes partiels qui, pris isolément, sont insuffisants pour la tâche. Par exemple, on peut imaginer un **graphe** social (des utilisateurs reliés par des relations d'amitié), un **graphe** de préférences (certains utilisateurs connectés à des contenus qu'ils apprécient) et un **graphe** géographique (localisations ou zones d'activité). En rassemblant ces trois réseaux au sein d'un **Synergistic Connection Network**, on observe si la **conjonction** de ces sources génère une synergie non triviale et des **clusters** mixtes plus pertinents. Cet assemblage évalue la **capacité** du DSL à fédérer des structures de données initialement dispersées, en renforçant les connexions $\omega_{i,j}$ entre entités issues de différents graphes dès lors qu'un gain mutuel est détecté.

Une troisième configuration envisage des **scénarios incrémentaux**, où de nouvelles entités $\mathcal{E}_{\text{nouv}}$ apparaissent progressivement. On peut, par exemple, injecter successivement de nouveaux capteurs, de nouvelles catégories d'utilisateurs ou de nouvelles variables dans un flux de données. Le DSL est alors confronté à une évolution de la base d'entités, devant **s'adapter** en continu, réévaluer les synergies ω , accueillir ou ignorer les ajouts selon leur intérêt. Cette propriété met en relief la **plasticité** distinctive du DSL (sections 1.5.4 et 1.5.3) : contrairement à un réseau traditionnel ou un pipeline figé, il n'est pas nécessaire de réentraîner une architecture complète dès qu'on ajoute un nouveau module.

Ces différentes **conceptions** (multi-couches, multi-réseaux, scénarios incrémentaux) donnent naissance à des **datasets** ou à des **protocoles** qui mettent en avant la **dimension** auto-organisée du DSL. En façonnant des conditions propices à l'émergence de synergies transversales, on peut

démontrer plus nettement la **valeur** du DSL lorsqu'il s'agit de regrouper, de combiner ou de résorber des entités variées dans un **réseau** dont la **topologie** n'est pas prédéterminée, mais fluctue en fonction des gains détectés.

1.9.2.5. Synthèse sur les Ressources

Les **ressources** et **jeux de données** (sections 1.9.2.1 à 1.9.2.4) doivent être choisis judicieusement pour exploiter la **spécificité** du Deep Synergy Learning (DSL). Les **datasets** monomodaux (vision, audio, texte, systèmes de recommandation) permettent d'abord de **valider** la dynamique de base, d'expérimenter les modalités de la fonction de synergie et de **comparer** le DSL aux méthodes usuelles (clustering, classification). Les **datasets multimodaux**, où l'on combine plusieurs types de flux (images avec des descriptions textuelles, séquences audio-vidéo, données sensorimotrices), mettent en avant la **puissance** du DSL pour gérer la **fusion** flexible et spontanée de sources hétérogènes.

Les **simulateurs** et **environnements** (robotique, socio-économie, RL) offrent la possibilité de tester la **dimension dynamique** du DSL, sa **plasticité** face au bruit ou aux pannes, ainsi que sa **réactivité** au concept drift. Ces scénarios mettent l'accent sur la mise à jour en continu des pondérations $\omega_{i,j}$, l'**adaptation** à de nouvelles entités ou la mise hors-service de sources obsolètes, et permettent une observation fine de la **formation** et de la **dissolution** de clusters.

En fonction du **but** visé, on sélectionne donc des datasets ou un environnement :

- Pour **clustering ou classification** partiellement supervisée, on choisira un jeu monomodal ou multimodal possédant des labels restreints.
- Pour la **fusion** sensorielle ou la **cohérence** de multiples flux (par exemple en robotique), on favorisera des simulateurs intégrant de multiples capteurs (caméra, LIDAR, capteurs inertiels).
- Pour la **découverte** de règles ou l'intégration symbolique (sections 1.5.7 et 1.8.1), on se tournera vers des ensembles dotés de composantes logiques ou semi-structurées.

Ce **panel** de ressources variées, associé à des **plates-formes** de simulation ou de streaming continu, constitue un **pivot** essentiel pour pousser le DSL vers un niveau de maturité plus élevé. Les **retours** obtenus (performance, stabilité, ajustements nécessaires, impact des paramètres η, τ , ajout d'inhibition, etc.) orientent les **améliorations** successives du réseau. C'est ainsi que se construit un **cercle vertueux** où la validation pratique affine la théorie et où la théorie suggère de nouveaux types de ressources plus complexes (datasets multi-réseaux, scénarios incrémentaux, etc.) pour démontrer la **portée** généralisée du DSL.

Conclusion partielle (1.9.2)

La **réussite** d'un projet en **Deep Synergy Learning** dépend en grande partie des **bases de données** et **plates-formes** choisies pour la mise en pratique et la **validation**. Les tâches statiques (datasets images, audio, texte) permettent une **entrée** dans la mise en œuvre, tandis que les **environnements**

dynamiques (simulateurs robotiques, socio-économiques, RL) mettent à l'épreuve la **plasticité** et l'**auto-organisation** en flux continu. Enfin, des **datasets** spécifiquement imaginés pour le DSL — combinant plusieurs niveaux de structure, de modalité, ou de progression incrémentale — renforcent la **justesse** et la **richesse** des expérimentations. Cette variété d'**outils** et de **ressources** est donc essentielle pour évaluer l'efficacité du DSL dans un large éventail de contextes, et pour faire avancer la recherche sur ses mécanismes adaptatifs.

1.9.3. Frameworks de Développement : Python, C++, Bibliothèques spécialisées

Pour **implémenter**, **tester** et **déployer** un système **Deep Synergy Learning (DSL)**, il est nécessaire de s'appuyer sur un **environnement logiciel** robuste, flexible et (idéalement) performant. Contrairement à un pipeline d'apprentissage profond strictement hiérarchique (où l'on peut se cantonner à TensorFlow ou PyTorch pour la rétropropagation), le DSL requiert un traitement plus **personnalisé** de la **dynamique** des entités et de leurs liens ω . Cette sous-section (1.9.3) présente :

Les **langages** les plus fréquemment utilisés (Python, C++, etc.) pour leurs avantages respectifs,

Des **bibliothèques** déjà existantes, potentiellement réutilisables ou adaptables pour le DSL,

Les **critères** à prendre en compte (performance, modularité, support GPU, etc.),

Des pistes pour **architecturer** un projet DSL en s'appuyant sur ces outils.

1.9.3.1. Choix du Langage : Python vs. C++ (et Autres)

Dans la mise en œuvre d'un **réseau** Deep Synergy Learning (DSL) et de ses mécanismes d'**auto-organisation**, la **langue** de programmation retenue influence à la fois la **facilité** de prototypage, l'**écosystème** de bibliothèques, et la **performance** potentielle. Il est donc crucial d'évaluer ces différents critères en fonction de l'objectif poursuivi, qu'il s'agisse d'une preuve de concept rapide ou d'un module temps réel plus exigeant.

Un **premier** choix très répandu consiste à développer en **Python**, qui jouit d'une communauté IA extrêmement large. Les bibliothèques **NumPy**, **SciPy**, **scikit-learn** et, surtout, **PyTorch** et **TensorFlow** permettent de manipuler aisément des tenseurs, de déployer des modèles d'apprentissage et de tirer parti du **GPU** sans écrire soi-même de code C/C++. Le **prototypage** rapide constitue un atout fort : il est aisé de coder les règles de mise à jour $\omega_{i,j}(t+1) = \omega_{i,j}(t) + \dots$ ou de tester divers calculs de **synergie** $S(\mathcal{E}_i, \mathcal{E}_j)$, et d'analyser les **clusters** formés grâce à l'écosystème "data science" (Pandas pour la manipulation de tables, Matplotlib ou Seaborn pour la visualisation, etc.). Cependant, Python présente parfois un **frein** en termes de performance brute, en particulier pour des mises à jour massives d'un graphe de grande taille, à moins de recourir à des modules compilés (via NumPy/Cython) ou d'exploiter les GPU (PyTorch, CuPy), ce qui exige une structuration plus attentive du code.

Un **second** langage privilégié dans l'**industrie** robotique et pour des applications **temps réel** est le **C++**, qui apporte davantage de **contrôle** bas niveau sur la gestion mémoire et un gain de **performance** appréciable si l'on souhaite manipuler un **gros** volume de liaisons ω . L'inconvénient réside dans la **complexité** et la **longueur** du temps de développement : le prototypage d'une nouvelle fonction de synergie ou la création de routines d'**inhibition** peut s'avérer plus laborieux. L'écosystème data science, moins foisonnant qu'en Python, impose souvent de jongler avec des bibliothèques de plus bas niveau (Eigen, Armadillo, ou des frameworks plus confidentiels). Toutefois, l'intégration avec des **simulateurs** en C++ (Gazebo, Bullet) ou avec des systèmes embarqués peut être plus naturelle, et l'**optimisation** fine du temps d'exécution ou de l'usage mémoire devient plus directe.

D'autres langages suscitent un intérêt croissant. **Julia**, par exemple, se positionne comme un compromis entre la **rapidité** (grâce à sa compilation Just-in-Time) et la **simplicité** syntaxique, tout en offrant un écosystème scientifique grandissant. **Rust** se distingue par sa sûreté (ownership) et ses performances, bien qu'il existe pour l'instant peu de bibliothèques IA de grande ampleur comparées à Python. **Java** reste présent dans certaines infrastructures industrielles, mais se montre moins répandu pour la recherche IA récente, hormis certains frameworks (Weka, Deeplearning4j).

Au total, le **choix** du langage s'inscrit dans un **équilibre** entre :

- La **communauté** (bibliothèques existantes pour la synergie, la visualisation, l'optimisation)
- La **culture** de l'équipe (Python est souvent prisé pour la recherche, C++ pour l'embarqué)
- Le **niveau** de performance requis (implémentations CPU ou GPU, besoin de parallélisme intensif).

Dans de nombreux cas, une **approche mixte** s'avère pratique : un **prototypage** rapide en Python (afin de tester l'auto-organisation du DSL sur des petits datasets et vérifier la validité de la fonction S) puis, s'il est nécessaire de déployer un module temps réel ou d'en traiter la **scalabilité**, un **portage** partiel des routines critiques en C++ ou la mise en place d'interfaces GPU. Cette **modularité** concilie la richesse de l'écosystème Python et la performance d'une implantation bas niveau.

1.9.3.2. Bibliothèques Réutilisables pour le DSL

La **conception** d'un **réseau** Deep Synergy Learning (DSL) implique la manipulation d'un **graphe** d'entités $\{\mathcal{E}_i\}$ et de **pondérations** $\omega_{i,j}$ mises à jour selon la synergie détectée (sections 1.4.5 et 1.5.4). Pour éviter de tout développer à partir de zéro, on peut exploiter plusieurs **bibliothèques** existantes, qu'elles visent la gestion de graphes, l'usage du **GPU**, ou le déploiement de systèmes complexes. Les sous-sections qui suivent décrivent les ressources disponibles et leur complémentarité avec l'**auto-organisation** du DSL.

1.9.3.2.1. Gestion des Graphes

Dans un réseau DSL, la structure $\Omega(t)$ correspond à une **matrice** (ou une **liste**) de liaisons $\omega_{i,j}$. De nombreuses bibliothèques facilitent la représentation et l'**analyse** de graphes :

- **NetworkX** (Python) est très pratique pour manipuler les **objets** graphe (liste d'adjacence, matrice d'adjacence) et calculer rapidement des **mesures** (centralités, modularité, chemins). Cette bibliothèque propose également des fonctionnalités de **visualisation** rudimentaires. Son inconvénient réside dans des performances modestes pour des graphes très volumineux, mais elle demeure excellente pour un **prototypage** rapide.
- **igraph** (C/C++/R/Python) se veut plus **optimisée** et peut traiter des graphes de taille moyenne ou élevée de manière plus performante. Elle offre aussi divers algorithmes (détection de communautés, mesures de connectivité) utiles pour évaluer la formation de **clusters** dans un DSL.
- **Graph-tool** (Python/C++), **SNAP** (Stanford Network Analysis Platform, en C++), ou encore la **Boost Graph Library** (C++) sont conçus pour traiter des graphes de plus grande **ampleur** et mettre en œuvre des opérations rapides (parallélisées) d'analyse topologique.

Même si ces bibliothèques ne proposent pas, par défaut, de **fonction** gérant la mise à jour auto-organisée $\omega_{i,j}(t+1) = \omega_{i,j}(t) + \dots$, elles fournissent des **structures** de données (listes d'adjacence, tableaux, etc.) et des **algorithmes** (détection de communautés, MST, shortest path) pouvant servir à observer ou à mesurer l'**évolution** du graphe au fil des itérations. Elles facilitent également la **visualisation** des liens $\omega_{i,j}$, ce qui est précieux pour **comprendre** la dynamique d'un DSL et repérer la naissance ou la disparition de **clusters** (sections 1.5.3 et 1.5.4).

1.9.3.2.2. Bibliothèques IA Générales (PyTorch, TensorFlow)

Les **frameworks** IA tels que **PyTorch** ou **TensorFlow** ciblent initialement les architectures neuronales classiques (CNN, RNN, Transformers) optimisées par rétropropagation. Le **DSL**, lui, suit une logique de **mise à jour** différente de la simple descente de gradient sur une fonction de coût globale (section 1.7.3). Néanmoins, ces frameworks peuvent apporter plusieurs avantages majeurs :

- Ils gèrent l'**accélération GPU** (ou TPU) pour des opérations vectorielles (matrices Ω) et permettent d'exécuter des **milliers** d'opérations en parallèle. Dans un DSL volumineux, où la **matrice** $\omega_{i,j}$ peut être grande, la capacité à exécuter les calculs de $\Delta\omega$ ou de **co-information** sur GPU est cruciale pour la **scalabilité**.
- Ils offrent des **opérations** numériques (produits matriciels, sommes, exponentiations) déjà **vectorisées**, facilitant l'**implémentation** des règles de mise à jour auto-organisée. On peut, par exemple, traiter des blocs de $\omega_{i,j}$ en batch, appliquer une formule $\omega_{i,j} \leftarrow \omega_{i,j} + f(\omega_{i,j}, S_{i,j})$ de manière simultanée, puis limiter la croissance ou imposer une **sparsification** au besoin.
- Ils s'intègrent aux pipelines **d'apprentissage** plus classiques. On peut imaginer un bloc DSL travaillant sur les embeddings extraits d'un CNN ou d'un Transformer déjà existant,

tout en réutilisant l'infrastructure de PyTorch ou TensorFlow pour la supervision (mixte) ou la liaison avec d'autres modules.

L'implémentation du **DSL** sous PyTorch se distingue d'un entraînement standard, puisqu'il ne s'agit pas de reculer un gradient sur Ω , mais de **modifier** localement $\omega_{i,j}$ en suivant les règles de synergie. Les **tenseurs** de PyTorch restent utiles pour la manipulation vectorielle et la migration vers le GPU. Le loop d'auto-organisation (sections 1.4.5, 1.5.4) s'exprime alors sous forme d'un script Python employant les opérateurs PyTorch, sans passer par la rétropropagation classique.

1.9.3.2.3. Bibliothèques Spécialisées en Systèmes Complexes

Enfin, pour **simuler** des environnements dynamiques ou multi-agents, plusieurs bibliothèques plus spécialisées existent :

- **MASON, RePast, NetLogo** : plutôt centrées sur des simulations **socio-écologiques** ou **multi-agents** (Java ou Python). Elles permettent de lancer des expériences où chaque entité \mathcal{E}_i peut représenter un agent, et la pondération $\omega_{i,j}$ ses relations avec d'autres agents. On insère alors la logique DSL pour faire évoluer les liens selon la synergie détectée (coopération, compétition), dans une boucle de simulation pas à pas.
- **OpenAI Gym, PyBullet, DeepMind Control Suite** : orientées **renforcement learning** et robotique. On peut y brancher un DSL comme un "cerveau" auto-organisé, qui entretient des pondérations entre modules perceptifs (caméras, capteurs) et modules moteurs, mis à jour éventuellement par un **signal** de récompense (sections 1.8.3.1 et 1.8.3.2).
- **Frameworks** plus confidentiels ou développements maison, permettant un **prototype** flexible si l'on vise un type de simulation très spécifique (modèles éco-industriels, robotique souterraine, etc.).

Ces **bibliothèques spécialisées** fournissent des **environnements** où la dynamique du DSL peut être **invoquée** en continu, le système devant réagir à des événements, des flux de données, ou des signaux de performance. Cela met en évidence la **valeur** de l'**auto-organisation** : face à un contexte évolutif, le DSL reconfigure ω sans devoir repasser par un entraînement intégral (sections 1.5.4, 1.6.3).

Conclusion sur les Bibliothèques et Outils

Selon l'ambition du **projet DSL**, on sélectionnera des **bibliothèques** plus ou moins bas niveau. Pour la **représentation** de graphes et la **visualisation** de clusters, NetworkX ou igraph restent de bons points de départ. Si la **performance** est critique ou si l'on manipule un **graphe** volumineux, on se tournera vers Graph-tool ou SNAP en C++. Pour **tirer profit** du GPU et de l'écosystème IA, PyTorch ou TensorFlow sont utiles, même si on doit **implémenter** la mise à jour locale hors de la mécanique de descente de gradient. Les **simulateurs** (MASON, NetLogo, RLlib, etc.) ou environnements (OpenAI Gym, PyBullet) procurent enfin des **contextes** dynamiques pour éprouver la flexibilité du DSL en conditions proches de la robotique ou de la socio-écologie. Le

choix final dépend des **besoins** (prototypage vs. production, taille des graphes, couplage robotique vs. socio-économique) et du **niveau** d'optimisation ou d'interaction logicielle requis.

1.9.3.3. Critères de Sélection d'un Framework

Le choix d'un **framework** pour implémenter un **réseau** Deep Synergy Learning (DSL) et ses mécanismes d'auto-organisation dépend de plusieurs **dimensions**. Un **premier** aspect concerne la **performance**, en particulier si l'on envisage un nombre d'entités n suffisamment élevé pour que les liaisons $\omega_{i,j}$ excèdent des dizaines ou centaines de millions. Dans ce cas, il s'avère crucial de disposer d'une **accélération GPU** ou d'un fonctionnement **parallèle**, accompagné d'une structure de données (par exemple une liste éparse) gérant efficacement la mise à jour massive des pondérations $\omega_{i,j}(t)$. Les bibliothèques de graphes orientées performance (par exemple Graph-tool, SNAP, ou des solutions internes en C++) deviennent alors pertinentes.

Un **deuxième** critère est la **facilité d'implémentation**. Si l'objectif initial est de réaliser une **preuve de concept** ou un prototype de **R&D**, des outils en **Python** (par exemple, **NetworkX** pour la gestion de graphes, combiné à quelques opérations vectorielles GPU via **PyTorch** ou **CuPy**) peuvent suffire. Ce type de solution permet de coder rapidement la logique de synergie, de tester différents scénarios et de visualiser l'évolution des clusters. En revanche, si l'on se heurte à des **goulots d'étranglement** dans l'exécution de l'algorithme (par exemple une boucle Python pure sur des millions de paires (i, j)), il faudra recourir à des modules compilés ou migrer vers un framework plus bas niveau.

Un **troisième** facteur tient à l'**intégration** avec d'autres briques logicielles. Si le **DSL** doit coexister ou interagir avec un **modèle** de vision par **CNN** (Convolutional Neural Network), la synergie s'en trouvera grandement facilitée si l'on reste au sein d'un même environnement (par exemple, **PyTorch** ou **TensorFlow**). Dans un tel cas, les entités \mathcal{E}_i peuvent correspondre aux **embeddings** extraits d'un CNN, et l'on peut employer les opérations GPU du framework pour calculer la **distance** ou la **similarité** entre embeddings. Cela évite une passerelle laborieuse entre deux codes distincts et permet de tirer parti des primitives d'accélération déjà disponibles.

Un **quatrième** critère se rapporte à l'**évolutivité** et au caractère modulaire. Le **DSL** peut nécessiter l'implémentation de fonctionnalités avancées, comme la **synergie conditionnelle** (dépendant d'une variable de contexte) ou la **synergie n-aire**. Il se peut aussi qu'on veuille intégrer des composants symboliques (règles logiques) ou des mécanismes de **régulation** non linéaires (inhibition compétitive, saturation synaptique). Il est donc judicieux de choisir un framework autorisant l'ajout de **modules** ou de **couches** spécialisées. Une architecture modulaire accélère également l'itération : on peut expérimenter différents calculs de synergie ou diverses mises à jour $\omega(t + 1)$ sans devoir remanier toute la structure.

Dans l'ensemble, la **sélection** d'un framework (NetworkX + Python, PyTorch, C++ pur, etc.) est donc dictée par :

- La **dimension** et la **densité** du réseau Ω ,
- Le **temps** ou les **ressources** disponibles pour développer,

- Le **couplage** recherché avec d’autres pans d’un pipeline (vision, RL, symbolique),
- L’**orientation** : simple démonstration de faisabilité ou futur module de production (haut débit, temps réel).

Ainsi, il n’existe pas de solution unique : un **projet** de recherche initial peut tout à fait débiter dans un environnement Python (NetworkX, PyTorch) pour évaluer la pertinence du DSL, puis migrer, si besoin, vers un écosystème C++ plus performant ou un framework GPU mieux adapté.

1.9.3.4. Schéma d’Architecture Logicielle

La mise en place d’un prototype **Deep Synergy Learning (DSL)** peut s’articuler autour de quelques **blocs** logiciels, conçus pour refléter la structure conceptuelle d’un **Synergistic Connection Network (SCN)** et l’**auto-organisation** qui l’anime :

Un **premier** bloc correspond à un module “**Entités**” pour la définition de la classe Entity. Chaque instance \mathcal{E}_i possède un **identifiant** (index i) et des attributs propres. On peut distinguer des sous-classes selon la **nature** de l’entité : sensorielle (caméra, capteur inertiel...), symbolique (règle, concept), ou tout autre type. Les entités peuvent stocker un **état** interne $\mathbf{s}_i(t)$, décrit par un vecteur, un LSTM local ou un simple accumulateur de statistiques.

Un **deuxième** bloc gère la structure du **graphe** SCN, par exemple nommé “**SCNNetwork**”. Celui-ci stocke les pondérations $\omega_{i,j}(t)$ dans une **matrice** (dense ou clairsemée) ou dans une **liste** d’arêtes $((i, j), \omega_{i,j})$. On y définit les opérations usuelles d’initialisation, d’ajout ou de suppression de liens, et d’accès rapide à $\omega_{i,j}$.

La **routine** de mise à jour constitue le **troisième** bloc clé : un **processus** qui, à chaque “tick” ou itération, parcourt (i) le voisinage de chaque entité \mathcal{E}_i (ou éventuellement toutes les paires si le graphe n’est pas trop grand), (ii) calcule la **synergie** $S(\mathcal{E}_i, \mathcal{E}_j)$ pour chaque lien actif, et (iii) met à jour $\omega_{i,j}$ selon la règle

$$\omega_{i,j}(t+1) = \omega_{i,j}(t) + \eta[S(\mathcal{E}_i, \mathcal{E}_j) - \tau \omega_{i,j}(t)].$$

Cette procédure s’exprime en **pseudo-code** ou dans un langage particulier (Python, C++, Julia), et peut tirer parti de parallélisation (threading, GPU).

Des **modules** auxiliaires assurent ensuite plusieurs fonctions transversales. Un **module** de **sparsité** supprime les liens $\omega_{i,j}$ trop faibles (ou en-dessous d’un certain ω_{\min}), ce qui évite l’explosion combinatoire et assure la stabilité numérique. Un **module** de **clustering** ou d’**analyse** (via BFS, composantes connectées, modularité...) permet de **repérer** la formation de **macro-clusters** ou la fusion de sous-groupes, contribuant à l’**évaluation** du système (quels ensembles sont apparus ? combien de temps durent-ils ?). Un **module** de **visualisation** s’appuie éventuellement sur **NetworkX** ou d’autres bibliothèques (Graph-tool) pour dessiner le graphe $\Omega(t)$ à intervalles réguliers, montrant l’évolution des poids.

Enfin, il est souvent nécessaire d’assurer un **cinquième** bloc : les **interfaces** de données. Le DSL doit recevoir en continu ou par batch les **informations** issues de sources multiples (images, logs,

capteurs, règles). On peut intégrer un **connecteur** avec PyTorch si l'on veut exploiter des embeddings générés par un CNN, ou interfacier un module symbolique (par ex. Prolog, base RDF) si l'on manipule des règles. Cette couche d'**import/export** orchestre la **réception** des entités (ou leur apparition) et la transmission des résultats finaux (clusters, pondérations).

De cette manière, l'architecture globale du **DSL** se dote d'une **structure** relativement modulaire, évitant de tout entremêler dans un seul script, et facilitant les **expérimentations** ou l'extension vers différents scénarios (multimodal, flux continu, etc.). Cette organisation par blocs (entités, graphe SCN, routine de mise à jour, modules auxiliaires, interfaces) s'adapte aisément aux projets variant en taille, en complexité ou en domaine applicatif.

1.9.3.5. Conclusion

Le **choix** de **frameworks** et de **langages** pour implémenter un **projet DSL** dépendra :

- Du **contexte** (prototype de R&D vs. déploiement industriel, besoin de GPU ou non, etc.),
- De la **taille** du graphe (petit, moyen, énorme),
- Des **ressources** disponibles (équipe familière de Python, ou contrainte de performance demandant C++).

En pratique, **Python** constitue la **solution** la plus courante pour la **recherche** et le **prototypage**, s'appuyant sur NetworkX, igraph, ou des bibliothèques de deep learning (PyTorch, TensorFlow) pour bénéficier du GPU. Pour des cas extrêmes (graphes géants, temps réel robotique), un **noyau** C++ (avec wrappers Python pour la convivialité) peut être optimal. Enfin, des **librairies** spécialisées en systèmes complexes ou en simulation multi-agents permettent d'**intégrer** la logique DSL dans un **environnement** déjà prêt à gérer des scénarios dynamiques, de sorte à focaliser la recherche sur la **dynamique synergiques** plutôt que sur la configuration du monde virtuel.

1.9.4. Environnements de Simulation et d'Évaluation

Dans la pratique du **Deep Synergy Learning (DSL)**, un aspect crucial est de **mettre** le modèle à l'épreuve dans des **scénarios** réalistes et **dynamiques**, afin de voir comment l'**auto-organisation** se comporte face à des flux de données, des incertitudes, ou des environnements multi-agents. Les **environnements de simulation** fournissent un cadre contrôlé où l'on peut rapidement **itérer**, injecter des perturbations (bruit, pannes) et **mesurer** la façon dont le DSL réagit. Parallèlement, il faut des **protocoles** d'évaluation pour **quantifier** la performance, la stabilité, la résilience, etc. Cette sous-section (1.9.4) présente divers types d'environnements et de méthodes d'évaluation, en soulignant leur intérêt pour tester les mécanismes d'auto-organisation.

1.9.4.1. Typologie des Environnements

La mise en œuvre concrète du **Deep Synergy Learning (DSL)** dépend en partie de la **nature** des environnements dans lesquels on souhaite l'évaluer. On peut distinguer plusieurs paramètres déterminant la complexité et le type d'**interaction**, le caractère statique ou dynamique (section 1.9.4.1.1) et le fait de se placer dans un scénario mono-agent ou multi-agents (section 1.9.4.1.2).

Certains systèmes sont essentiellement **statiques**, il s'agit souvent de **datasets** figés, comme un lot d'images, de documents texte, ou de relevés sensoriels traités a posteriori. Dans ce cas, on alimente le DSL avec l'ensemble des entités $\{\mathcal{E}_i\}$ et l'on observe la **formation** de clusters, la **convergence** des pondérations $\omega_{i,j}$, voire une tâche de **classification** ou de **clustering**. Ces environnements statiques sont particulièrement appropriés pour **valider** les règles de mise à jour $\omega_{i,j}(t+1) = \dots$, tester différentes mesures de **synergie** $S(\mathcal{E}_i, \mathcal{E}_j)$, ou comparer la **performance** à celle d'approches plus classiques. En revanche, les scénarios statiques ne sollicitent pas pleinement la **plasticité** du DSL, car on n'y retrouve pas de flux temporel où la distribution et les entités évoluent.

À l'inverse, d'autres environnements sont **dynamiques**, on y fait face à des **flux** en temps réel, à des **événements** réguliers (ou aléatoires) modifiant la distribution, ou à l'**arrivée** de nouvelles entités (capteurs, utilisateurs, règles). Dans ce cadre, le DSL peut exprimer toute sa **dimension** d'auto-adaptation. Il arrive qu'un capteur tombe en panne, qu'un contexte change, ou qu'un nouveau module symbolique se connecte. La **mise à jour** des liens ω en continu permet de **reconfigurer** la structure du réseau, révélant ainsi la force du DSL face au **concept drift** ou à l'**incomplétude** des données (sections 1.5.3 et 1.5.4). Ces environnements dynamiques exigent parfois l'utilisation de **simulateurs** (OpenAI Gym, simulateurs robot, etc.) ou de **pipelines** de streaming, pour observer l'évolution $\omega(t)$ sur un horizon temporel.

Une autre dimension de la typologie réside dans le nombre d'**agents** considérés dans l'environnement. Dans un scénario **mono-agent**, le DSL se contente de structurer l'information interne (capteurs, actionneurs, modules symboliques) rattachée à cet agent unique. On peut ainsi modéliser la **cohésion** ou la **synergie** entre différents flux sensoriels, ou la **coordination** entre la vision et la commande motrice dans un robot. L'enjeu repose sur la mise à jour des liens $\omega_{\text{cam, moteur}}$ en réaction à la performance de l'agent, permettant la **fusion** adaptative de diverses sources.

Dans une situation **multi-agents**, plusieurs acteurs (robots, agents économiques, acteurs sociaux) partagent un **environnement** commun. Chaque agent peut représenter une **entité** du réseau DSL ou regrouper plusieurs entités internes. Les **liaisons** ω traduisent la coopération, la compétition ou la co-information entre agents, et s'adaptent suivant les bénéfices mutuels. On peut ainsi observer la **co-organisation** d'un ensemble de robots collaborant pour transporter des objets, ou la formation de **coalitions** dans un jeu socio-économique (sections 1.6.3 et 1.8.3). Dans ces environnements, la synergie se déploie non seulement entre différentes sources informationnelles, mais aussi entre **stratégies** d'agents, soulignant le caractère de **systèmes complexes**.

Conclusion sur la Typologie

Le choix d'un **environnement** dépend de la finalité : une première validation peut se faire sur des **datasets statiques** et un **mono-agent** (ex. un robot unique ou un lot d'images), afin de vérifier le fonctionnement du DSL. Pour exposer la **puissance** réelle de l'auto-organisation et de la plasticité, on préférera ensuite un **milieu dynamique** (streaming, pannes, concept drift) et/ou **multi-agents**, qui met en lumière la capacité du DSL à se **reconfigurer** et à **gérer** simultanément plusieurs entités et flux.

1.9.4.2. Exemples de Simulateurs pour le DSL

Les **simulateurs** et **plates-formes** de test jouent un rôle essentiel pour éprouver la logique d'**auto-organisation** propre au Deep Synergy Learning (DSL) dans des **environnements dynamiques** ou hétérogènes. Plusieurs catégories se distinguent en fonction des domaines d'application et du niveau de complexité recherché.

Une première catégorie concerne la **robotique** et le **contrôle**, où des simulateurs tels que **Gazebo**, **Webots** ou **CoppeliaSim** offrent un environnement 3D réaliste pour des drones, des robots mobiles ou des bras manipulateurs. Dans ces contextes, on peut **brancher** un réseau DSL entre les capteurs (caméras, LIDAR, IMU, etc.) et les effecteurs (roues, pinces), en laissant la **synergie** déterminer quels capteurs coopèrent pour optimiser la tâche. Cette configuration permet d'évaluer la **plasticité** du DSL face à des pannes de capteurs, à des changements de terrain ou d'objectifs, et de comparer la réactivité du réseau auto-organisé à des approches plus classiques (contrôle PID, architectures fixes). Des outils comme **PyBullet** ou les environnements de **OpenAI Gym** dédiés à la locomotion ou à la navigation facilitent l'implémentation d'algorithmes de **renforcement learning**. Il devient possible de substituer ou de compléter la logique de politique RL par une **dynamique** de pondérations $\omega_{i,j}$, mettant ainsi en évidence la capacité d'**auto-adaptation** face à des situations non stationnaires.

Une seconde famille de simulateurs est liée aux **systèmes complexes** ou **scénarios socio-économiques**. Des plates-formes comme **NetLogo**, **RePast** ou **MASON** permettent de modéliser des agents en interaction (population d'insectes, individus humains, entreprises) selon divers mécanismes (coopération, concurrence). Dans ces environnements, on peut intégrer un **réseau** DSL où chaque agent (ou groupe d'agents) devient une **entité** \mathcal{E}_i , tandis que les liaisons $\omega_{i,j}$ captent la **coopération** ou la **compétition** entre agents. On observe alors la **naissance** et l'**évolution** de clusters sociaux, d'alliances, de phénomènes de coalition ou de ségrégation, ce qui illustre la **dimension d'auto-organisation** globale dans un système multi-agents. Ces expériences recoupent les enjeux de l'écologie (section 1.8.6) ou de la modélisation socio-économique, montrant comment un DSL peut simuler des dynamiques émergentes en modifiant localement les liens synergiques.

Une troisième approche s'intéresse à des **frameworks** de **data streaming** en temps réel, comme **Apache Kafka** ou **Flume**, ou d'autres plates-formes de micro-batches. Cette orientation se prête particulièrement bien aux cas où l'on reçoit des **flux** de capteurs industriels, de transactions ou de logs, et où l'on souhaite que le DSL, mis à jour par blocs successifs, reflète la **variation** continue du contexte. On injecte alors régulièrement des **paquets** de données, chaque entité \mathcal{E}_i pouvant symboliser un acteur (capteur, utilisateur, client) ou un concept, tandis que la pondération $\omega_{i,j}(t)$ évolue à chaque arrivée de données. On mesure la robustesse face aux changements brusques de distribution (concept drift), la formation de **clusters** transitoires, et la stabilité du système lorsqu'un volume important de nouvelles entités ou de nouvelles informations se présente.

Chacun de ces cadres permet de mettre en avant une **facette** différente de la puissance auto-organisée du DSL. La **robotique** illustre la fusion capteur-actionneur et la résilience aux pannes, les **simulateurs** socio-économiques ou écologiques soulignent la dynamique multi-agents et la structure émergente de communautés, et les **flux** de data streaming insistent sur la flexibilité temporelle et l'adaptation continue à des environnements hautement évolutifs. Dans tous les cas, le DSL tire profit d'une **auto-organisation** permanente, reconfigurant les liaisons ω pour s'ajuster

aux signaux reçus, en cohérence avec les principes de plasticité et de synergie qui le définissent (sections 1.4.5, 1.5.4).

1.9.4.2. Exemples de Simulateurs pour le DSL

Les **simulateurs** et **plates-formes** de test jouent un rôle essentiel pour évaluer la logique d'**auto-organisation** propre au **Deep Synergy Learning (DSL)** dans des **environnements dynamiques** et éventuellement hétérogènes. Les sections précédentes (1.9.2 et 1.9.3) ont souligné l'intérêt de mettre en œuvre le DSL dans des cadres concrets, qu'ils soient statiques ou évolutifs (section 1.9.4.1). Les simulateurs suivants permettent d'exploiter pleinement le potentiel de la **synergie** et de la **plasticité** du DSL.

A. Robotique et Contrôle

Plusieurs **simulateurs** en robotique (Gazebo, Webots, CoppeliaSim) proposent un environnement 3D réaliste pour des drones, des robots mobiles ou des bras manipulateurs. Il devient alors possible de **brancher** un réseau DSL pour gérer la coopération entre des entités \mathcal{E}_i représentant les **capteurs** (caméras, LIDAR, IMU) et les **actionneurs** (roues, bras, pinces). Les **liaisons synergiques** $\omega_{i,j}$ s'adaptent localement en fonction de la pertinence ou de la fiabilité des signaux. Cette démarche met en évidence la **plasticité** du DSL : si un capteur se dégrade ou qu'un moteur change de comportement, les connexions pertinentes se renforcent ou se rompent selon le gain mutuel. Il est ainsi envisageable de comparer la **réactivité** d'un DSL auto-organisé face à d'autres approches plus classiques, telles que des architectures fixes ou des contrôleurs PID.

Des environnements plus orientés **renforcement learning** comme PyBullet ou **OpenAI Gym** (cadres de locomotion, robotique basique) permettent de substituer ou de compléter la politique RL (ex. DQN, PPO) par un **mécanisme** d'auto-organisation. À chaque itération ou épisode, le DSL met à jour les $\omega_{i,j}$ selon un **signal** de récompense, illustrant la fusion entre **synergie** (sections 1.4.5, 1.5.4) et **apprentissage par renforcement** (section 1.8.3). On peut alors mesurer la capacité du DSL à **s'auto-adapter** face à un concept drift, ou à des changements dans la dynamique de l'environnement.

B. Systèmes Complexes et Scénarios Socio-Économiques

D'autres simulateurs, tels que **NetLogo**, **RePast** ou **MASON**, se concentrent sur des **environnements multi-agents** où des individus ou des groupes interagissent. Dans ce cadre, chaque agent (ou ensemble d'agents) peut devenir une **entité** \mathcal{E}_i dans le DSL. Les **liaisons** $\omega_{i,j}$ reflètent alors la **coopération** ou la **compétition** entre agents, la **communication** ou l'**échange** de ressources, voire la **complémentarité** de leurs compétences. Cette configuration autorise l'étude de la **naissance** et de l'**évolution** des **clusters** (ex. alliances, coalitions, communautés) selon les principes d'auto-organisation du DSL. Il devient possible d'observer comment se forment des **regroupements** stables ou comment se dissolvent certaines communautés selon l'apport mutuel de chaque agent.

Ce type de simulateur intéresse également les champs de l'**écologie** (section 1.8.6) ou de la **sociologie**, car la structure DSL capture spontanément les liens forts et faibles selon les **gains** ou

pertes de chaque interaction, illustrant un **mécanisme** d'émergence analogues à ceux des écosystèmes naturels ou des réseaux sociaux humains.

C. Approches Data Streaming

Une troisième catégorie vise les **flux** de données réels ou simulés, via des **frameworks** de streaming (Apache Kafka, Flume) ou d'autres solutions micro-batch. On y modélise un **flux** continu : capteurs industriels, logs de transactions, flux de clics web. Le DSL opère comme un **moteur** auto-organisé, recevant périodiquement des **lots** de données et mettant à jour la synergie entre entités \mathcal{E}_i . Cela permet de :

- **Évaluer la robustesse du DSL** face aux variations soudaines (concept drift),
- **Observer la formation de clusters transitoires** lorsqu'un événement survient (par exemple, une panne partagée par plusieurs capteurs ou un pic anormal de transactions),
- **Contrôler la stabilité globale du système** lorsqu'un nombre significatif de nouvelles entités apparaissent (capteurs, utilisateurs, variables...).

En combinant la **logique d'auto-organisation** (section 1.4.5) et la **gestion** d'un flux en temps réel, on obtient un comportement **adaptatif** qui ne nécessite pas de phase de réentraînement global.

D. Conclusion

Chaque **simulateur** ou **plate-forme** met l'accent sur un aspect distinct de la **force** du DSL. Les simulateurs robotiques (Gazebo, Webots, CoppeliaSim) démontrent la **flexibilité** sensorimotrice, tandis que NetLogo ou RePast illustrent la **formation** de **clusters** dans des réseaux multi-agents, et les frameworks de streaming montrent la **capacité** à gérer le concept drift. Dans tous les cas, le DSL se distingue par sa **mise à jour distribuée** des pondérations $\omega_{i,j}$, reflétant le principe selon lequel la **synergie** se crée ou se défait localement, pour engendrer un **réseau** pouvant se **reconfigurer** en fonction du contexte.

1.9.4.4. Étapes d'un Protocole de Simulation Typique

Pour mettre en œuvre un **Deep Synergy Learning (DSL)** et analyser son comportement au sein d'un environnement donné, on procède généralement selon un **scénario** standard, composé de différentes phases conduisant à l'évaluation de la qualité de l'**auto-organisation**. Le protocole présenté ci-après dépeint les étapes essentielles, qu'il s'agisse d'une simulation **stochastique**, d'une **robotique** virtuelle ou d'un environnement **multi-agents** (sections 1.9.4.1 et 1.9.4.2).

A. Initialisation

Il s'agit d'abord de définir un **ensemble** d'entités $\{\mathcal{E}_i\}$ susceptibles de coopérer. Ces entités peuvent correspondre à des **capteurs** (caméra, LIDAR, microphone), des **features** extraits d'images ou de signaux audio, des **règles symboliques**, ou encore des **agents** (si l'on traite d'un scénario multi-agents). Chaque entité \mathcal{E}_i se voit associer un **état interne** $\mathbf{s}_i(0)$ ou un vecteur initial \mathbf{x}_i . Un graphe (ou une matrice) $\Omega(0)$ correspondant aux pondérations $\omega_{i,j}$ est ensuite créé. Ce graphe peut être **dense** (tous les liens initialisés à une petite valeur), **sparse** (certains liens non nuls, d'autres nuls), ou **aléatoire** (distribution uniforme ou gaussienne des poids). De plus, on paramètre

les **constantes** de mise à jour η , τ , ainsi que la définition de la **synergie** $S(\mathcal{E}_i, \mathcal{E}_j)$ (section 1.4.4) et d'éventuels seuils (ω_{\min} , saturations).

B. Cycle de Simulation (Itérations)

La simulation s'échelonne ensuite en **plusieurs itérations** ou **pas de temps** :

Observation de l'environnement. Les données sont lues, soit sous forme d'un dataset statique, soit en flux (cf. 1.9.4.1) via un simulateur (robotique, systèmes complexes). Chaque entité peut mettre à jour son **état** $\mathbf{s}_i(t)$ en fonction des entrées, ou conserver un historique local (voir 1.8.4 pour mémoire/attention).

Calcul de la synergie $S(\mathcal{E}_i, \mathcal{E}_j)$ pour toutes les paires (i, j) ou pour un **sous-ensemble** jugé pertinent (voisinage direct, liens actifs). Cette étape peut s'appuyer sur une **distance** euclidienne, une **similarité** cosinus, un **score** de co-information, ou toute autre mesure (sections 1.4.4 et 1.7.3).

Mise à jour des pondérations $\omega_{i,j}$. On applique la règle :

$$\omega_{i,j}(t+1) = \omega_{i,j}(t) + \eta[S(\mathcal{E}_i, \mathcal{E}_j) - \tau \omega_{i,j}(t)].$$

- On peut également intégrer un **mécanisme** d'inhibition compétitive, d'auto-limitation, ou des variantes hebbiennes (sections 1.5.4, 1.7.3).

Sparsification et autres **règles** : si $\omega_{i,j}$ tombe sous un certain seuil ω_{\min} , on supprime le lien pour éviter un graphe trop dense. D'autres systèmes de régulation (contraintes, saturation) peuvent aussi être appliqués.

Action ou Décision : si c'est un contexte **robotique** ou **RL**, le DSL peut orienter le choix d'actions en se basant sur les **clusters** formés ou l'état de quelques entités pivot.

Enregistrement : on logge les **évolutions** (matrice $\Omega(t)$ ou partiellement), la **performance** (reward, accuracy...) et l'état des **clusters**. Cette étape est cruciale pour l'**analyse** a posteriori.

C. Validation et Analyse

Après plusieurs itérations (ou une période définie), on analyse les **clusters** (ex. composantes connectées, communautés) détectés dans le graphe $\Omega(t)$. On évalue la **performance** (section 1.9.5) : classification, reward cumulé, robustesse aux changements. On confronte le **DSL** à des **baselines** (réseaux neuronaux traditionnels, approches de clustering standard). L'évolution temporelle ($t = 0, 1, \dots$) révèle la **capacité** d'adaptation du DSL, la **vitesse** de convergence, et la résilience aux événements perturbateurs (pannes, drifts).

D. Boucle d'Affinement

Si la performance reste insuffisante ou si le système n'atteint pas un comportement stable, on ajuste des **paramètres** (taux η , facteur τ , fonction de synergie) ou on ajoute de nouvelles entités/règles symboliques. On peut aussi implémenter des **mécanismes** (inhibition compétitive, synergie n-aire)

pour accroître la pertinence des **clusters**. De petits ajustements localisés conduisent à une **itération** de l'expérimentation.

Conclusion

Le schéma présenté ci-dessus constitue un **protocole** général applicable à de multiples contextes : un dataset figé (on parcourt plusieurs époques), un simulateur robotique (cycles de perception-action), ou un flux continu (mise à jour par batch). L'architecture mise en œuvre sert à **faire ressortir** le comportement auto-organisé du DSL, ainsi que ses bénéfices en termes d'**adaptation** et d'**émergence** de clusters. Cette méthodologie expérimentale, associée à des **scénarios** pertinents (section 1.9.4.1) et à des **simulateurs** appropriés (section 1.9.4.2), permet de mesurer la **flexibilité**, la **robustesse** et la **compréhension** potentielle qu'offre un système DSL face à la simple exécution d'un pipeline statique.

1.9.5. Protocoles de Validation : Qualitatifs et Quantitatifs

Après avoir présenté (1) les **méthodes de recherche** (1.9.1), (2) les **ressources** de données et de simulation (1.9.2, 1.9.3, 1.9.4), il reste à définir **comment** on évalue concrètement la performance et la pertinence d'un **projet DSL**. Contrairement à un pipeline d'apprentissage classique, où l'on se contente souvent de mesurer une **précision** (accuracy) ou un **F1-score** sur un dataset de test, le **Deep Synergy Learning** (DSL) soulève d'autres dimensions :

- Qualité de l'**auto-organisation** (formation de clusters ou macro-clusters cohérents),
- **Adaptation** face à des changements (pannes, drift, modifications structurelles),
- **Stabilité** ou, au contraire, capacité à se reconfigurer rapidement,
- **Explicabilité** et **interprétabilité** de la structure des liens ω .

Cette sous-section (1.9.5) propose un **cadre** de validation composé de **protocoles** à la fois **quantitatifs** (métriques numériques, mesures de performance) et **qualitatifs** (analyse de la cohérence, inspection de la configuration du réseau), visant à offrir une vue d'ensemble sur l'efficacité du DSL.

1.9.5.1. Évaluation Quantitative

Les expérimentations menées sur un réseau **Deep Synergy Learning** (DSL) visent à quantifier, d'une part, la **performance** du modèle pour diverses tâches (classification, détection d'anomalies, recommandation, contrôle, etc.) et, d'autre part, sa **capacité** d'adaptation et de résilience, qui reflète la nature **auto-organisée** de son architecture. Les sections ci-dessous (1.9.5.1.1, 1.9.5.1.2, 1.9.5.1.3) exposent trois catégories principales de métriques et d'indicateurs, chacun s'attachant à un **aspect** spécifique de l'évaluation.

1.9.5.1.1. Mesures de Performance sur des Tâches Spécifiques

Lorsqu'un **DSL** est appliqué à une **tâche** concrète, on peut employer les **métriques** standard de la littérature afin de confronter son résultat à un **gold standard** ou à un **feedback** de référence. Parmi ces tâches, on retrouve :

Classification ou Clustering.

En classification supervisée, on mesure la précision (accuracy), le F1-score, ou l'AUC s'il s'agit d'une tâche binaire ou multi-classes. Dans un cadre non supervisé (clustering), des indices comme la **NMI** (Normalized Mutual Information), l'**ARI** (Adjusted Rand Index) ou la **Purity** comparent le regroupement auto-organisé aux vraies catégories lorsqu'elles sont disponibles pour une évaluation hors-ligne.

Recommandation.

On se réfère à des métriques usuelles, par exemple le **MAP** (Mean Average Precision) ou la **NDCG** (Normalized Discounted Cumulative Gain), qui évaluent la qualité des contenus recommandés aux utilisateurs.

Détection d'Anomalies.

Les mesures de précision/rappel, la courbe PR ou la ROC permettent de jauger la capacité à repérer efficacement les exemples anormaux. On se fixe souvent un seuil sur le score d'anomalie ou sur la distance par rapport aux clusters habituels.

Contrôle / Apprentissage par Renforcement.

On s'intéresse alors à la **récompense** cumulative ou au temps nécessaire pour atteindre un certain palier de performance. Le **DSL** se substitue à une politique RL classique ou la complète, et l'on compare la somme de récompenses ($\sum r_t$), la stabilité, ou le délai de convergence.

Dans chacun de ces cas, le **DSL** doit aboutir à une **sortie** (cluster, choix d'action, liste de recommandations), qu'on confronte aux labels ou à un signal de feedback, à l'instar d'une approche classique. La **difficulté** en pratique vient parfois de la nécessité de relier l'**état** du réseau $\Omega(t)$ à l'**issue** souhaitée (par exemple, associer un cluster émergent à une classe connue), mais des stratégies d'interprétation ou d'étiquetage automatique (section 1.9.5.2) pallient ce problème.

1.9.5.1.2. Mesures de Robustesse et d'Adaptation

La **plasticité** et l'**auto-organisation** (sections 1.5.4 et 1.7.1) constituent la signature du DSL. Pour **évaluer** ces propriétés, on crée des **scénarios** perturbés (panne de capteur, drift de distribution, insertion de nouvelles entités) et on examine :

Temps de réadaptation.

On évalue le nombre d'itérations ou la période nécessaire pour que la **performance** (ex. classification ou reward) revienne à un niveau proche de l'état initial avant la perturbation. Un DSL réellement adaptatif devrait raccourcir le temps de convergence ou maintenir une performance stable malgré le changement.

Stabilité transitoire.

On peut quantifier la **distance** entre $\Omega(t)$ et $\Omega(t+1)$ (ou Ω^* un état de référence) à chaque itération, mesurant à quel point le réseau oscille ou se réorganise rapidement. Une trop grande variabilité peut signifier une difficulté à converger ; une trop faible variabilité peut signaler un manque de plasticité.

Taux de survie des liens ou clusters.

Si l'on suit l'évolution de certains liens $\omega_{i,j}(t)$ dans le temps, on peut voir combien persistent (survivent) et combien sont recréés ou réorientés. De même, la proportion des micro-clusters qui se maintiennent ou se scindent renseigne sur la **cohésion** (ou l'instabilité) du réseau.

Ces **indicateurs** spécifiques (vitesse de reconfiguration, variance de Ω , résilience globale) différencient le DSL de méthodes rigides (sections 1.5.1 et 1.6.1), lesquelles exigeraient un réapprentissage complet en cas de concept drift.

1.9.5.1.3. Indicateurs de la Qualité Structurale du Graphe

De manière plus **interne**, on peut évaluer la **configuration** même du **réseau** Ω sans viser une tâche supervisée :

Densité du graphe.

On calcule le ratio $\frac{\text{Nombre de liens actifs}}{\binom{n}{2}}$ ou la proportion de $\omega_{i,j}$ au-dessus d'un seuil. Une trop forte densité entraîne un coût en calcul et un mélange indiscriminé, tandis qu'une densité trop faible risque de fragmenter la structure.

Modularité ou coefficient de clustering.

Ces mesures, empruntées à la **théorie des réseaux** (Network Science), renseignent sur la **segmentation** du graphe en communautés internes. Un réseau DSL réussi, dans un certain contexte, affichera souvent une **modularité** non triviale, suggérant la formation de **macro-clusters** cohérents.

Énergie ou Coût global.

Si on a explicitement défini une fonction $J(\Omega)$ (cf. 1.7.3) du type

$$J(\Omega) = - \sum_{i,j} \omega_{i,j} S_{i,j} + R(\Omega),$$

on peut observer la **trajectoire** de J au fil des itérations pour vérifier que le réseau s'approche d'un minimum local (ou global) et ne dérive pas vers une configuration explosive ou incohérente. Cette approche s'apparente à un suivi d'**énergie libre** dans la physique statistique.

Synthèse

Les **métriques** et **indicateurs** décrits se répartissent donc en trois **niveaux** :

- Des **mesures de performance** sur la tâche ciblée (accès à l'évaluation via des labels ou un reward).
- Des **mesures de robustesse** (test de la plasticité, résilience, vitesse de réadaptation).
- Des **indicateurs** internes sur la **structure** du graphe Ω (densité, modularité, énergie).

Cette combinaison de critères fournit une **vision** complète de la qualité du DSL : à la fois son aptitude à produire un résultat pertinent, et sa capacité à **s’auto-réorganiser** intelligemment dans un environnement plus ou moins changeant.

1.9.5.2. Évaluation Qualitative

En plus des mesures quantitatives (section 1.9.5.1), l’analyse **qualitative** joue un rôle important pour juger la **cohérence**, la **lisibilité** et l’**applicabilité** du Deep Synergy Learning (DSL) dans un contexte particulier. Deux approches complémentaires se dégagent : l’inspection visuelle et conceptuelle des **clusters** ou sous-réseaux (1.9.5.2.1), et la **validation** par un expert métier (1.9.5.2.2).

1.9.5.2.1. Inspection de la Formation de Clusters

Il s’agit d’examiner la **structure** du réseau Ω que le DSL fait émerger, afin de vérifier si les **macro-clusters** détectés possèdent une **cohérence** ou un **sens** pour la tâche ciblée. Cette inspection peut passer par des **visualisations** de graphes, réalisées à différents instants temporels pour repérer l’évolution des liaisons $\omega_{i,j}$. Les points essentiels concernent la **pertinence** et la **stabilité** de ces regroupements :

- Lorsqu’un cluster englobe plusieurs **capteurs** possédant une information similaire ou des données corrélées, on peut conclure que le DSL a spontanément réuni des entités “**redondantes**” ou “**complémentaires**”, ce qui témoigne d’une auto-organisation légitime.
- Si un cluster rassemble des **objets** ou des **documents** portant le même label (par exemple, un groupe d’images classées “chats”), on confirme qu’il existe une **signification** partagée, gage d’une mise en commun cohérente.
- La **dynamique** du cluster dans le temps peut être observée : un regroupement stable au fil de multiples itérations suggère une **robustesse** de la synergie, tandis qu’un cluster éphémère (qui disparaît aussitôt) révèle peut-être une coïncidence passagère ou un bruit local.

Dans des scénarios complexes (robotique multimodale, systèmes multi-agents), on peut produire des **cartes** ou des diagrammes du réseau Ω , annotés pour montrer comment certaines entités coopèrent fortement. On peut aussi calculer des **indices** de modularité (section 1.9.5.1.3) et mettre en avant les “communautés” du graphe, puis interpréter chacune de ces communautés à la lumière des données. Cette approche fournit un **retour** qualitatif sur la façon dont le DSL “perçoit” la répartition des entités et si cette répartition s’aligne sur des catégories connues ou pertinentes (type de capteur, fonctionnalité, classe d’images, etc.).

1.9.5.2.2. Études de Cas et Validation Experte

Dans certains domaines (notamment le **médical** ou l’**industriel**), la **validation** la plus décisive s’effectue par des **experts** humains : un médecin, un ingénieur, un manager. Cette évaluation s’éloigne des simples scores globaux et porte sur la **compréhension** et la **fiabilité** des solutions que le DSL propose.

On peut ainsi présenter au médecin les **groupements** de patients que le DSL a générés, en indiquant les **variables** (imagerie, analyses, symptômes) qui ont constitué les liaisons synergiques. L'expert examine alors la **cohérence** médicale des clusters, vérifie si un groupe correspond par exemple à une pathologie connue ou à un sous-type de maladie. Il juge la **valeur** diagnostique de ce sous-réseau et peut estimer dans quelle mesure ces regroupements pourraient enrichir ou accélérer la prise de décision.

De même, dans le contexte industriel, on peut montrer comment le DSL a réparti des **machines**, des **ordres** de production ou des **flux** logistiques en différents macro-clusters, et demander à un ingénieur de vérifier la compatibilité pratique de ces regroupements ou leur pertinence opérationnelle.

Cette procédure d'**étude de cas** s'avère cruciale pour la **crédibilité** du DSL : même si celui-ci obtient un certain score numérique en classification ou en détection d'anomalies, il est indispensable de s'assurer que l'ensemble du réseau ne résonne pas selon des associations arbitraires. Une bonne **cohérence** empirique, confirmée par un observateur expert, renforce la confiance dans la méthode et prépare le terrain pour une adoption plus large au sein des applications critiques.

1.9.5.3. Validation en Continu

Le **Deep Synergy Learning (DSL)** se distingue par sa **mise à jour** permanente des pondérations $\omega_{i,j}$ (sections 1.4.5 et 1.7.1), ce qui appelle une approche de **validation** plus proche du flux **temps-réel** que d'une simple évaluation ponctuelle. Les sections suivantes (1.9.5.3.1 et 1.9.5.3.2) décrivent deux modalités complémentaires : le suivi itératif de la performance et de la structure, et la mise en place d'un **monitoring** susceptible de déclencher des alertes ou des ajustements.

1.9.5.3.1. Suivi de l'Évolution Itérative

Le **DSL** s'échelonne par mises à jour successives : à chaque itération, on incrémente $\omega(t)$ vers $\omega(t + 1)$. Une évaluation **en continu** consiste alors à :

(a) Mesurer la performance courante.

Si le DSL vise une **tâche** (classification, contrôle robotique, recommandation), on calcule la métrique de référence (accuracy, reward, F1-score, etc.) sur un lot de validation ou un flux test. Cela offre une **courbe** de performance au fil des itérations, identifiant si le système converge vers une solution stable, ou s'il dérive.

(b) Analyser la structure du graphe.

On peut observer la **densité** du réseau Ω (nombre de liens actifs), la **modularité** (clusters bien séparés ou non), la stabilité interne (combien de liens conservent une valeur élevée). Une forte fluctuation entre $\omega(t)$ et $\omega(t + 1)$ peut signaler un système encore loin d'un état stationnaire. À l'inverse, une quasi-constance indique une situation de quasi-convergence.

(c) Enregistrer et tracer la courbe d'évolution.

Chaque itération (ou chaque bloc d'itérations) est loggée : on stocke la valeur de la performance, de certains indicateurs structurels (taille moyenne des clusters, énergie $\mathcal{J}(\Omega)$, etc.). Cette **traçabilité** est cruciale pour repérer quand le DSL a atteint un plateau ou si la performance se dégrade subitement (concept drift).

(d) Critère d'arrêt ou de poursuite.

On peut décider de stopper l'itération si la variation entre $\omega(t)$ et $\omega(t+1)$ devient négligeable (convergence), ou si la **performance** ne progresse plus au-delà d'un certain seuil. Dans certains cas, on maintient le DSL actif indéfiniment (scénarios industriels, robotique), réagissant aux modifications de l'environnement.

Cette boucle itérative prévient d'éventuels phénomènes de sur-adaptation (réseau devenant excessivement dense) ou de sous-adaptation (faible densité liée à un paramétrage trop timide). Une **analyse** des logs au fil du temps met en évidence la vitesse de convergence et la **résilience**.

1.9.5.3.2. Monitoring et Alertes

Dans une application critique (médicale, industrielle, décisionnelle), une simple observation n'est pas toujours suffisante : un **monitoring** plus formel veille à la **cohérence** et la **sécurité** du réseau Ω (voir 1.7.6). Ce monitoring inclut plusieurs indicateurs :

Stabilité de la structure.

On calcule la variance de ω entre deux instants (par exemple $\|\Omega(t+1) - \Omega(t)\|$) ou d'autres métriques signalant un réseau trop instable.

Performance "de garde".

Si le DSL doit maintenir un certain niveau d'efficacité (taux de bonne détection, ou de reward dans un RL), un déclenchement d'alerte se produit si cette mesure chute sous un seuil critique.

Explicabilité ou lisibilité.

Dans des domaines réglementés, on peut surveiller le **degré** d'interprétabilité des clusters (proportion de clusters ayant un label clair, composition stable, etc.). Une dérive vers des regroupements ininterprétables peut exiger une intervention ou un recalibrage.

Lorsque le **monitoring** constate une dérive, un **module** hiérarchique ou un **expert** humain peut intervenir : ajuster certains paramètres η , τ , forcer la coupure de liens jugés incohérents, ou ajouter une pénalisation de densité. Cette supervision légère assure que le DSL ne bascule pas dans des configurations indésirables tout en conservant son **auto-organisation** locale (sections 1.7.4 et 1.7.6).

Conclusion partielle (1.9.5.3)

La **validation en continu** du DSL, alliant un **suivi itératif** (performance et structure au fil des mises à jour) et un **monitoring** plus formel (détection de dérives, alertes) complète la démarche expérimentale. Elle convient parfaitement à des environnements évolutifs (sections 1.9.4.1 et 1.9.4.2), où l'on veut attester, à la fois, de la **robustesse** du réseau et de sa **capacité** à se **reconfigurer** face aux changements. Cette évaluation en ligne se révèle cruciale pour maintenir la

confiance dans le DSL, notamment dans des secteurs sensibles, et pour exploiter pleinement ses propriétés de **plasticité** et de **résilience**.

1.9.5.4. Comparaisons et Ablations

Au-delà de l'analyse spécifique (sections 1.9.5.1 à 1.9.5.3), il est souvent instructif de mener des expériences dites d'**ablation** ou de **comparaison** avec d'autres méthodes. Ces deux approches renforcent la compréhension de la dynamique d'**auto-organisation** du **Deep Synergy Learning (DSL)**, en explicitant son apport quant à la souplesse, la robustesse ou l'efficacité globale.

Un **protocole d'ablation** consiste à retirer, un à un, certains éléments constitutifs du DSL et à observer la dégradation (ou non) des performances. On peut notamment désactiver la **sparsification** (par exemple en n'appliquant plus le seuil ω_{\min}) pour constater si le réseau, alors très dense, perd en stabilité ou en temps de calcul. De même, on peut supprimer la **synergie n-aire** (sections 1.4.7 et 1.7.3.3) pour vérifier à quel point la coopération strictement binaire suffit ou, au contraire, omet des effets émergents. On peut enfin restreindre des mécanismes d'inhibition compétitive (s'ils ont été introduits), pour déterminer si le DSL s'emballe lorsqu'il n'existe plus de limitation sur la somme des pondérations sortantes. Chaque ablation révèle la sensibilité du DSL à un composant particulier et met en évidence la **valeur** précise de ce composant pour la stabilité, la plasticité ou la précision finale.

On pratique également des **comparaisons** face à d'autres **algorithmes**. Dans un scénario de **clustering**, on confronte le DSL à k-means ou DBSCAN, afin de voir si la formation de **clusters** auto-organisés procure un gain ou une flexibilité supplémentaire. Dans un cadre plus "réseau de neurones", on peut aligner le DSL contre un **autoencodeur** (pour la recherche d'une représentation non supervisée) ou un **Graph Neural Network (GNN)**, et vérifier si la **mise à jour** $\omega_{i,j}(t+1) = \omega_{i,j}(t) + \dots$ du DSL excelle en termes d'adaptation continue par rapport aux GNN entraînés de façon plus classique. Enfin, lorsqu'il s'agit de **classification supervisée**, un **réseau CNN** ou un **Transformeur** sert souvent de référence : on examine la précision sur un dataset labellisé, mais l'on note également la souplesse d'adaptation en flux, critère dans lequel un DSL peut se révéler supérieur.

La **conclusion** d'un tel dispositif d'expérimentation apporte un **bilan** sur la **valeur ajoutée** du DSL. En règle générale, on met en avant la **gestion flexible** de l'hétérogénéité et l'**adaptation** en flux (1.5.4 et 1.9.4), ainsi que la **capacité** à fusionner différents modes de données ou à incorporer des règles symboliques (1.5.7), aspects qui font parfois défaut aux algorithmes de clustering strict ou à un pipeline neuronal figé. Toutefois, on peut aussi constater les **limites** du DSL, comme la **complexité** potentiellement élevée ou la sensibilité à certains paramètres (η, τ , mécanismes d'inhibition), ce qui amène souvent à conseiller une hybridation avec des méthodes existantes ou un usage parcimonieux. Au final, ces expériences de comparaison et d'ablation confirment dans quelles conditions l'**auto-organisation** synergiques (sections 1.4.5 et 1.7.1) se montre réellement avantageuse par rapport aux solutions standards, et dans quelles circonstances elle doit être associée à d'autres approches.

Conclusion partielle (1.9.5)

La **validation** du **Deep Synergy Learning** requiert une **méthodologie** adaptée :

- **Quantitative** : mesurer la performance sur des tâches (classification, recommandation...), la robustesse (adaptation à la perturbation), la cohérence structurelle (modularité, densité...).
- **Qualitative** : observer l'**émergence** de clusters, l'**interprétabilité** des regroupements, la **cohérence** avec un expert métier.
- **Continu** : suivre l'évolution temporelle, détecter la stabilité ou la dérive, éventuellement déclencher un **monitoring** ou un **contrôle** externe.
- **Comparatif** : confronter le DSL aux approches traditionnelles (clustering k-means, autoencodeur, CNN supervisé...) pour mettre en évidence ses avantages (auto-organisation, plasticité) et ses faiblesses.

Ce **protocole** de validation (statique vs. dynamique, quantitatif vs. qualitatif, supervisé vs. non supervisé) constitue le **socle** empirique garantissant que l'**auto-organisation** défendue par le DSL se traduit en **résultats** concrets, compréhensibles et robustes.

1.9.6. Collaboration et Partage de Ressources (Open Source)

Dans l'univers du **Deep Synergy Learning (DSL)**, la mise en commun des progrès, des outils et des expériences revêt une importance considérable. L'**auto-organisation** propre au DSL, qui nécessite une variété de données et de scénarios pour faire ses preuves, tire un large bénéfice de la mutualisation des travaux, sous la forme de codes sources, de jeux de données, de retours pratiques et de bonnes pratiques diffusées. Cette ouverture s'ancre généralement dans une démarche **Open Source**, profitable à la fois à la communauté académique et au secteur industriel.

1.9.6.1. Logique de Partage et de Convergence

Le **Deep Synergy Learning (DSL)** s'étend sur de multiples domaines (robotique, recommandation, fusion multimodale, raisonnement symbolique) et s'appuie sur des mécanismes d'**auto-organisation** (voir la dynamique de mise à jour de ω en section 1.4.5). Cette **variété** de terrains d'application favorise une collaboration étroite entre laboratoires de recherche, équipes industrielles et développeurs indépendants, dès lors que la logique d'**open source** est privilégiée.

Un **socle commun** de bibliothèques et de scripts peut faciliter la gestion du **Synergistic Connection Network**, en automatisant notamment le **stockage** et la **mise à jour** de Ω , ainsi que le calcul de la **synergie** $S(\mathcal{E}_i, \mathcal{E}_j)$ (sections 1.7.3, 1.9.3). Par exemple, il est possible de définir une interface unifiée pour :

- (i) L'insertion d'entités (\mathcal{E}_i) ou de nouveaux flux,
- (ii) Le calcul partiellement parallèle de $S(\mathcal{E}_i, \mathcal{E}_j)$,

(iii) La gestion des pondérations

$\omega_{i,j}(t)$, avec options de sparsification ou d'inhibition compétitive.

Cette mise en commun évite de réécrire, dans chaque équipe, toutes les routines nécessaires à la mise en place du DSL, et garantit une **cohérence** méthodologique. Elle contribue également à renforcer la **reproductibilité** : les chercheurs peuvent employer les **mêmes** scripts de base pour déployer des expérimentations, ce qui rend les comparaisons plus fiables et plus justes (sections 1.9.5.4 et 1.9.6.2).

Une telle **architecture partagée** profite à chacun. Les laboratoires peuvent se concentrer sur l'**innovation** propre, comme la définition de nouvelles **fonctions** de synergie (co-information avancée, synergie n-aire contextuelle), l'**extension** au renforcement distribué (section 1.8.3), ou l'**implémentation** de la fusion symbolique (section 1.5.7). Les industriels et ingénieurs peuvent expérimenter ces développements dans des contextes concrets (usine, data streaming, systèmes complexes) sans réinventer le framework. Les contributions open source, sous forme de *pull requests*, enrichissent alors le noyau DSL, étoffant progressivement les fonctionnalités (contrôle de la stabilité, logs de performance, routines de visualisation, etc.).

Ce **partage** systématique de code, de protocoles expérimentaux et de retours d'expérience suscite un mouvement de **convergence** : plus le socle DSL est **collectivement** éprouvé et amélioré, plus il gagne en maturité et en **fiabilité**. Cette confiance accrue facilite l'adoption dans des contextes délicats (diagnostic, robotique critique), car le code se révèle maintenu, testé et documenté, s'alignant ainsi sur le souci de **pérennité** et de **lisibilité** qui traverse l'ensemble de la logique d'auto-organisation.

1.9.6.2. Ressources Open Source et Espaces Collaboratifs

Pour favoriser un **écosystème** dynamique autour du **Deep Synergy Learning (DSL)**, il est généralement souhaitable de s'appuyer sur des **outils** et **plates-formes** facilitant la contribution et la mutualisation des efforts. Le déploiement d'un **dépôt central** et la mise en place d'espaces d'échanges entre développeurs, chercheurs et industriels constituent alors des atouts majeurs.

A. Dépôts de Référence

Un premier élément clé consiste à héberger le code source de base, les **scripts** et la **documentation** sur un ou plusieurs dépôts publics (GitHub, GitLab, ou autre). On y stocke :

(i) Un “noyau” DSL

qui comprend la représentation des **entités** (\mathcal{E}_i), la **matrice** ou liste de liaisons $\omega_{i,j}$, la **règle** de mise à jour

$$\omega_{i,j}(t+1) = \omega_{i,j}(t) + \eta [S(\mathcal{E}_i, \mathcal{E}_j) - \tau \omega_{i,j}(t)]$$

(ou ses variantes), et éventuellement des modules pour l'**inhibition compétitive**, la **synergie n-aire**, la **parsimonie** (seuil ω_{\min}), etc.

(ii) Des “Exemples” concrets

montrant, par exemple, un petit prototype en Python reliant des entités d'imagerie à des entités symboliques, ou un mini-scénario de recommandation. On peut également inclure des scripts C++ de démonstration pour la robotique (cf. sections 1.9.3 et 1.9.4).

(iii) De la documentation

présentée sous forme de wiki ou de site statique, expliquant comment **installer** la bibliothèque, configurer les paramètres η, τ , lancer une **simulation** de référence, etc. Cette partie est essentielle pour encourager la participation et diminuer la courbe d'apprentissage.

B. Processus de Collaboration

Pour encourager une **communauté** à s'agréger autour du DSL, il est utile d'établir :

(i) Un workflow de type “pull request” et “issue tracker”

afin que tout contributeur puisse proposer du code (nouvelles fonctions de synergie, correctifs sur la mise à jour des poids) et recueillir des retours. Les “issues” permettent d'**organiser** les tâches (bogues signalés, demandes de fonctionnalités) et leur priorisation.

(ii) Des conventions de contribution

(coding style, test coverage minimum, documentation des nouvelles classes) qui uniformisent le projet et simplifient la revue de code.

C. Espaces d'Échange et de Discussion

En complément, l'ouverture d'un **forum** (Discourse, forum GitHub) ou d'un **canal** (Slack, Discord, mailing list) facilite les **discussions** plus informelles : aide à l'installation, optimisation de performances, retours d'expérience sur des expérimentations menées. C'est souvent dans ces canaux que naissent :

- Des **retours** d'utilisateurs rencontrant des problèmes concrets,
- Des **idées** d'extension (ex. prise en compte de la synergie conditionnelle, intégration avec un module RL),
- Des **retours** de performance sur différents dataset (voir section 1.9.2).
-

Conclusion sur l'Ouverture (1.9.6.2)

En centralisant le **noyau** DSL, les **exemples** et la **documentation** dans un **dépôt public**, et en offrant un **processus** de collaboration clair, la communauté peut consolider un **socle** solide, évolutif et reproductible. Des **espaces d'échange** conviviaux renforcent la mutualisation des idées, permettant à chaque domaine (vision, robotique, symbolique, recommandation) de **bénéficier** des avancées réalisées ailleurs. Cette dynamique open source est un levier essentiel pour accélérer le développement du DSL, accroître la **qualité** des implémentations et structurer les efforts de recherche vers une **convergence** méthodologique.

1.9.6.3. Partage de Données et Scénarios de Test

Dans la logique d’une **dynamique auto-organisée** (sections 1.4.5 et 1.5.4), la flexibilité du **Deep Synergy Learning (DSL)** s’apprécie pleinement lorsqu’il est confronté à des **situations** diverses, combinant parfois plusieurs modalités (flux sensoriels, données textuelles, logs industriels, etc.) ou évoluant en continu (scénarios streaming, concept drift). Pour mettre à l’épreuve cette caractéristique, il s’avère crucial que la **communauté** partage ouvertement des **jeux de données**, ainsi que des **scénarios** ou **pipelines** illustrant l’intégration de ces données dans un contexte DSL.

A. Jeux de Données Spécialisés

Le **DSL** n’a de sens que si l’on peut tester sa capacité à **fusionner** différentes entités et à s’**auto-réorganiser**. Les bases de données monomodales traditionnelles (MNIST, CIFAR, etc.) fournissent un point de départ utile (section 1.9.2), mais pour démontrer la **polyvalence** du DSL :

(i) Données multimodales ou multi-sensorielles

pour la robotique (caméras, LIDAR, IMU), la recommandation (profils utilisateurs, attributs de contenus, historique de navigation), ou des flux audio–texte (transcription).

(ii) Données multi-agents

(par exemple, en sociologie ou en économie) permettant de mettre en évidence la formation de **clusters** auto-organisés entre acteurs, ressources, règles symboliques.

(iii) Données industrielles ou logs

(ex. relevés de capteurs, machines, alertes), parfois anonymisées ou synthétiques, pour respecter la confidentialité.

Pour chaque jeu de données, il importe de fournir un **descriptif** clair (entités présentes, types de variables), afin de faciliter la configuration des entités $\{\mathcal{E}_i\}$ et de la fonction de synergie $S(\mathcal{E}_i, \mathcal{E}_j)$.

B. Pipelines et Protocoles de Test

Au-delà de la simple distribution d’un **dataset** statique, l’**auto-organisation** du DSL se révèle surtout dans des **scénarios** plus dynamiques :

(i) Simulateurs ou environnements “streaming”

(voir section 1.9.4.2) qui injectent des paquets de données selon une chronologie, permettent de provoquer des pannes (capteurs, modules) ou d’introduire de nouvelles entités, etc.

(ii) Scripts d’automatisation

définissant comment on “alimente” le DSL, les paramètres η, τ ou l’architecture de calcul (CPU, GPU). Cette standardisation augmente la **reproductibilité** et autorise la comparaison directe des résultats entre équipes.

(iii) Mesures de performance et d’adaptabilité

(section 1.9.5) explicitant la façon dont on évalue la qualité du réseau $\Omega(t)$, la précision si c’est un problème de classification, la robustesse si on modifie la distribution, ou la vitesse de convergence.

Les **pipelines** peuvent inclure un format de configuration (fichier YAML, JSON) listant les hyperparamètres, la nature des entités, les modes de calcul de la synergie. On assure ainsi que d'autres chercheurs puissent répliquer l'expérience avec une autre implémentation du DSL.

C. Communication sur les Configurations et Paramètres

Les résultats d'une expérimentation DSL dépendent souvent de la **forme** de la fonction de synergie, des choix de **synergie n-aire** ou binaire, de l'éventuelle compétition inhibitrice, etc. Pour favoriser la **transparence** et la **comparabilité**, il s'avère opportun de joindre à chaque partage de scénarios :

(i) La liste précise de (η, τ) , ainsi que les constantes de régularisation (p. ex. α, ω_{\min}).

(ii) Le dimensionnement en entités :

combien de nœuds initiaux, mode de création ou d'insertion au cours du temps, critère d'arrêt ou d'itérations maximales.

(iii) Les détails de l'infrastructure matérielle :

CPU/GPU utilisés, bibliothèques (versions Python, C++).

En combinant ces **informations**, on garantit une **reproductibilité** qui, au fil du temps, crée un socle de confiance dans les performances du DSL. Cela s'apparente à la tradition du deep learning (ImageNet, COCO) : chaque publication fournit un protocole de formation, la taille des batchs, etc. De la même manière, le DSL, en perpétuel mouvement (mise à jour continue de Ω), tire un grand profit de ce partage de scénarios dynamiques et de configurations standardisées.

Conclusion (1.9.6.3)

L'émergence d'un **corpus** de jeux de données, de pipelines streaming et de protocoles simulant des pannes ou des évolutions de distribution, fait office de **benchmark** pour le DSL. Les chercheurs et industriels peuvent ainsi confronter leur implémentation, vérifier la **solidité** de leurs résultats, et affiner la **dynamique** du réseau synergiques. Ce partage contribue à forger un **écosystème** commun, à la fois riche, transparent et propice à l'innovation autour de l'auto-organisation.

1.9.6.4. Organisation de la Communauté

Dans une optique de pérenniser et de développer le **Deep Synergy Learning (DSL)**, la constitution d'une communauté active et ouverte apparaît essentielle. L'expérience des projets open source montre que la **vie** de ce réseau d'utilisateurs et de contributeurs dépend autant des **échanges** réguliers que de la disponibilité d'un socle technique commun. Les rencontres périodiques, la publication d'un changelog structuré et la mise en place de groupes de travail stratégiques sont autant de facteurs qui soutiennent une dynamique collaborative à long terme.

Il se révèle d'abord crucial de faciliter des **rencontres** ponctuelles, comme des workshops ou hackathons dédiés au DSL, au cours desquels ingénieurs, chercheurs et étudiants échangent autour de leurs implémentations. Ces sessions constituent l'opportunité de présenter des **retours d'expérience** à la fois sur les déploiements réussis et sur les limites rencontrées. Elles offrent aussi

l'occasion de mettre en lumière des projets pilotes dans différents domaines (robotique, recommandation, traitement multimodal) et de dégager de nouvelles pistes de recherche ou d'extension. Les échecs ou les résultats négatifs y ont toute leur place, car ils contribuent à une compréhension plus fine des mécanismes d'**auto-organisation** et informent la communauté sur les pièges à éviter.

Un autre point important consiste à maintenir un **changelog** décrivant de manière transparente l'évolution du noyau DSL. Chaque introduction de fonctionnalité, chaque correction d'erreur, chaque modification de la formule de synergie ou du module d'inhibition compétitive doit y être consignée. Cette clarté historique facilite l'adoption des dernières versions, la résolution de problèmes de compatibilité et la validation des nouveaux apports. Les équipes qui s'appuient sur le DSL peuvent alors choisir en connaissance de cause de rester sur une version stable ou d'expérimenter avec la plus récente.

Il est tout aussi déterminant de former des **groupes de travail** qui se spécialisent dans des problématiques données, comme l'implémentation GPU, la gestion de la **synergie n-aire**, ou l'intégration de composantes symboliques (voir la section 1.5.7). Chaque groupe peut définir son plan d'action, mutualiser le code et s'accorder sur des normes de contribution, assurant la cohérence dans la progression des fonctionnalités critiques. Cette forme d'organisation permet à la communauté de répartir efficacement les efforts sur des points stratégiques et de garantir que l'évolution d'un module (par exemple la fusion multimodale) n'entre pas en conflit avec d'autres pans du DSL.

La réussite de ce dispositif repose souvent sur une équipe ou un consortium central ayant l'initiative de lancer et de coordonner le **dépôt principal**, de modérer les discussions sur le forum, ainsi que de fusionner les contributions au noyau. Ce noyau principal gagne en stabilité et en visibilité au fur et à mesure que de nouveaux utilisateurs l'adoptent, créant ainsi une base de plus en plus robuste. Les projets satellites, plugins ou extensions peuvent alors se greffer en conservant un rattachement clair au socle commun. Grâce à ce mécanisme, un véritable *écosystème DSL* peut émerger, à l'image de ce que l'on observe dans d'autres communautés open source, enrichissant en continu les possibilités d'application et la solidité du modèle d'**auto-organisation**.

1.9.6.5. Bénéfices sur le Long Terme

Le fait de privilégier une **démarche open source** et de mutualiser les outils, les protocoles et les retours d'expérience dans la mise en œuvre du **Deep Synergy Learning (DSL)** se traduit par plusieurs avantages structurants pour la communauté et la technologie elle-même.

Un premier **bénéfice** réside dans l'**amélioration** de la **confiance**. La disponibilité du code source, le partage d'expériences et l'ouverture sur les scénarios d'évaluation diminuent la défiance liée à une potentielle "boîte noire" : le fonctionnement du **réseau Ω** , son initialisation, la mise à jour des poids ω et les paramètres η, τ peuvent être examinés en détail, ce qui rassure à la fois les chercheurs, les développeurs et les industriels. Cette transparence favorise l'adoption du DSL dans des milieux sensibles (industrie, médical, infrastructures critiques), où l'on exige une traçabilité et une lisibilité des mécanismes d'apprentissage.

Un second **bénéfice** découle de l'**accélération** de l'**innovation**. Les équipes de recherche n'ont plus à repartir de zéro pour implémenter la structure du **Synergistic Connection Network** ou la logique d'**auto-organisation** (voir sections 1.7.3 et 1.9.3). Elles peuvent s'appuyer sur un socle commun, éprouvé sur plusieurs scénarios, et se concentrer sur l'ajout de nouvelles fonctions de **synergie** $S(\mathcal{E}_i, \mathcal{E}_j)$ (corrélations avancées, co-information n-aire, etc.), sur l'intégration symbolique (section 1.5.7), ou encore sur la mise en place de synergies conditionnelles. Cette mutualisation accélère le **cycle de développement** et assure une qualité plus homogène, puisque tout le monde profite des correctifs et optimisations déjà validés.

La **couverture** de différents domaines s'en trouve **étendue**. En mettant en commun leurs jeux de données (section 1.9.6.3) et leurs scripts de simulation, les divers acteurs identifient plus vite les **limites** du DSL (complexité potentiellement élevée, instabilité en l'absence de mécanismes d'inhibition, etc.). Ils signalent également quels correctifs ou quelles extensions sont urgents, par exemple la nécessité d'une version distribuée pour grande échelle, ou la gestion de la synergie n-aire dans un cadre plus sophistiqué. Cette boucle vertueuse amène une augmentation du nombre de cas d'utilisation reconnus et un renforcement progressif de l'infrastructure.

De plus, on **favorise l'interopérabilité** en adoptant un format unifié pour décrire la **matrice** Ω et les **entités** $\{\mathcal{E}_i\}$. Un tel standard facilite l'**enchâssement** direct d'un module CNN ou d'un transformeur pour extraire des features sub-symboliques (section 1.8.2), la connexion à un bloc symbolique (section 1.5.7), voire l'implémentation d'un schéma d'apprentissage par renforcement distribué (section 1.8.3). Cette capacité à s'**intégrer** facilement dans d'autres pipelines IA ou dans des frameworks simulant des environnements complexes suscite un engouement croissant et assure l'évolution continue du paradigme DSL. Les chercheurs et industriels y trouvent une base solide d'expérimentation et de développement, tout en sachant que chaque progrès effectué profite à la communauté dans son ensemble.

Conclusion sur la Collaboration et le Partage de Ressources

La démarche de **collaboration en open source** constitue un atout majeur pour l'adoption, la validation et la diffusion du **Deep Synergy Learning**. En publiant du code, des scénarios de test, des benchmarks et des retours d'expérience, les communautés académiques et industrielles créent un **écosystème** qui, à l'image de ce qui s'est construit autour du deep learning, soutient un cycle d'innovation collective. Dans ce processus, le DSL profite non seulement d'une visibilité accrue, mais également d'une capitalisation rapide des solutions aux problèmes de complexité, de stabilité, de multimodalité, etc. En retour, chaque utilisateur potentiel dispose d'une base solide pour tester et adapter le DSL à ses propres défis, créant une dynamique d'enrichissement mutuel où la **philosophie** d'auto-organisation du DSL trouve un écho dans la *co-organisation* de la communauté autour du partage open source.

1.9.7. Gestion du Cycle de Vie d'un Projet DSL

Mettre en œuvre le **Deep Synergy Learning (DSL)** ne consiste pas seulement à développer un prototype ou un algorithme : c'est un **processus** continu, jalonné d'étapes depuis la conception initiale jusqu'à la maintenance, en passant par le prototypage, l'intégration et l'évolution du

système. Cette section propose une vue d'ensemble de la **progression** typique d'un projet DSL, en soulignant les spécificités liées à l'auto-organisation et à la dynamique des liens $\omega_{i,j}$.

1.9.7.1. Identification des Objectifs et Faisabilité

Il est essentiel, avant d'engager un **projet** autour du **Deep Synergy Learning (DSL)**, de déterminer avec précision les **objectifs** ciblés et d'estimer la **faisabilité** d'une mise en œuvre. On peut, dans un premier temps, répertorier les scénarios d'usage dans lesquels on anticipe une plus-value notable de l'**auto-organisation** (cf. sections 1.5.4 et 1.9.4). Il s'agit de vérifier si l'on souhaite prioriser la **fusion** de plusieurs **modalités** (vision, audio, texte), la gestion d'un **flux** non stationnaire (dérive de distribution, arrivée de nouvelles entités) ou encore l'**inclusion** d'un composant symbolique (règles, concepts abstraits) à l'intérieur du Synergistic Connection Network.

Dans le cas d'une application robotique, on s'interroge sur la manière dont le DSL profitera à la **plasticité** sensorimotrice. Si l'on se trouve plutôt dans une problématique de recommandation, on évalue la **capacité** du DSL à organiser simultanément un grand nombre d'entités (utilisateurs, contenus, contextes) sans retomber dans une explosion combinatoire (voir la discussion sur la parcimonie en section 1.7.1). Dans le domaine du **diagnostic médical**, on estime, avant de lancer un projet conséquent, si les données disponibles et les **contraintes** réglementaires (exigence d'explicabilité, confidentialité) sont compatibles avec l'approche **auto-organisée**.

Une fois ces scénarios précisés, il est judicieux d'établir un **inventaire** des ressources. On vérifie la disponibilité de **jeux de données** (ou de flux de capteurs), ainsi que la présence de simulateurs (cf. section 1.9.4.2) ou d'experts métier pour valider les configurations émergentes. On s'assure que les contraintes de **performance** (temps de calcul, déploiement éventuel sur GPU ou en cluster) et de **qualité** (robustesse, convergence) puissent être satisfaites avec un noyau DSL. Si des restrictions de confidentialité existent, on prévoit des mécanismes pour anonymiser ou agréger certaines entités (section 1.7.6).

Ces étapes initiales aboutissent à un **protocole** de validation, dans lequel on fixe si l'on compte évaluer le DSL sur un **dataset statique** (détecter la formation de clusters ou la qualité d'une tâche supervisée) ou dans un **cadre dynamique** (arrivée de nouvelles entités, perturbations). Il arrive qu'on adopte un protocole partiellement supervisé, où seulement quelques labels sont disponibles et où la **synergie** auto-organise la majorité des entités (section 1.5.5). Les conditions d'évaluation et les métriques correspondantes (sections 1.9.5.1 et 1.9.5.2) sont ainsi établies pour déterminer clairement le **rôle** de l'auto-organisation et la **valeur** ajoutée, comparativement à un algorithme plus classique (réseau neuronal fixe, clustering standard). Lorsque la feuille de route s'arrête à ce point, on dispose déjà d'une **faisabilité** claire, point de départ pour les phases de conception concrète du DSL.

1.9.7.2. Prototypage Initial et Paramétrage

Lorsque les objectifs et la **faisabilité** (section 1.9.7.1) sont clarifiés, on entreprend la **conception** d'un prototype qui traduira, dans le concret, les fondements du **Deep Synergy Learning (DSL)**. Dans une première phase, il importe de choisir le **langage** et le **framework** adaptés : on peut opter pour Python si le projet met l'accent sur la **prototypage rapide** (bénéficiant des bibliothèques

NetworkX, PyTorch, etc.), ou privilégier C++ afin de viser des **performances** supérieures, notamment pour des systèmes temps réel ou des graphes de grande envergure (section 1.9.3).

Une fois la pile logicielle définie, la **mise en œuvre** s'orchestre autour de quelques briques essentielles. Il s'agit tout d'abord de décrire le **Synergistic Connection Network (SCN)**, où chaque **entité** \mathcal{E}_i peut être stockée sous forme d'objets ou de structures, et où les **liaisons** $\omega_{i,j}$ peuvent être représentées par une **matrice** Ω de dimension $n \times n$ (ou une **liste d'arêtes** si l'on souhaite davantage de parcimonie). La **fonction de synergie** $S(\mathcal{E}_i, \mathcal{E}_j)$ s'implémente comme un composant modulaire, qu'il s'agisse d'une similarité, d'une distance, ou d'un calcul plus évolué basé sur une co-information (sections 1.4.4 et 1.5.4). On code ensuite la **règle de mise à jour** locale qui réalise l'incrément :

$$\omega_{i,j}(t+1) = \omega_{i,j}(t) + \eta [S(\mathcal{E}_i, \mathcal{E}_j) - \tau \omega_{i,j}(t)],$$

éventuellement accompagnée de mécanismes d'**inhibition compétitive** ou de **sparsification** (sections 1.7.3 et 1.7.1).

Pour **valider** les fondements, il est judicieux de commencer par un **jeu de données** ou un **environnement** minimaliste : un dataset à basse dimension (par exemple quelques vecteurs synthétiques) ou un micro-simulateur. Cette étape de test répond à plusieurs interrogations. D'abord, on cherche à savoir si la **mise à jour** des pondérations ω aboutit à une **configuration** stable ou oscillatoire. On surveille également la **formation** de clusters cohérents, indicatrice de la bonne mise en place de la logique d'auto-organisation. Enfin, on peut introduire une légère perturbation (modification de quelques données, bruit aléatoire) pour juger la **robustesse** du système.

Au cours de ce **prototypage**, on procède à des réglages **empiriques** sur les **paramètres** η (taux d'apprentissage) et τ (terme de régulation ou d'oubli), ainsi que sur la façon de gérer la **parsimonie** (seuil ω_{\min} , normalisation locale...). Des **métriques internes** (ex. densité du graphe, modularité) guident l'optimisation pour éviter l'explosion du nombre de liens ou pour forcer la convergence des clusters. Des **métriques externes** (ex. exactitude d'un cluster vis-à-vis d'un label, temps de réadaptation lors d'une perturbation) éclairent la qualité de la solution par rapport à la tâche ciblée (classification, détection d'anomalies, etc.).

C'est souvent grâce à ces **itérations** successives — allant d'un jeu de données simple vers un usage plus complexe — que l'on obtient un prototype **fiable**, prêt à être étendu à des scénarios plus ambitieux (multimodaux, dynamiques, ou à grande échelle).

1.9.7.3. Passage à l'Échelle et Validation Approfondie

Après avoir démontré la **cohérence** du prototype sur un cas réduit (voir la section 1.9.7.2), il devient possible de l'étendre à un **dataset** ou un **simulateur** de taille plus importante. Cette montée en échelle amène toutefois des **enjeux** de complexité, de validation et d'intégration avec d'autres composants, qu'il convient de gérer avec méthodologie.

Un premier aspect concerne la **scalabilité**. Dans le **Deep Synergy Learning (DSL)**, la quantité de liaisons potentielles entre entités peut en principe croître de manière quadratique $O(n^2)$, dès que n

augmente, où n est le nombre d'entités $\{\mathcal{E}_i\}$. Pour limiter cet écueil, les chercheurs ou développeurs mettent généralement en place des **heuristiques** de sparsification (seuil ω_{\min}), des **voisinages** (on autorise la synergie uniquement pour des paires (i, j) spatialement ou sémantiquement proches), ou un **échantillonnage** partiel des paires à chaque itération (voir sections 1.7.1 et 1.7.3). On peut aussi segmenter le réseau en **sous-groupes** si le domaine s'y prête, permettant de répartir le calcul en différents blocs. L'objectif est de **contenir** le coût en calcul et mémoire, tout en préservant l'essence de la mise à jour auto-organisée.

En parallèle, la **validation** se déploie selon les protocoles décrits en section 1.9.5. Sur le plan **quantitatif**, des métriques comme la précision (accuracy), le F1-score, l'ARI (Adjusted Rand Index) ou encore l'AUC sont utilisées si la tâche est reliée à un objectif supervisé ou semi-supervisé. Pour le **clustering** non supervisé, on peut calculer la NMI (Normalized Mutual Information) ou la modularité du graphe pour quantifier la qualité de l'organisation interne. Dans un cadre **dynamique**, on observe aussi comment le **Synergistic Connection Network (SCN)** se comporte lorsqu'on introduit de nouvelles entités, ou lorsque la distribution se modifie (concept drift), en relevant notamment le temps d'adaptation. On peut pousser plus loin la **validation qualitative** en inspectant la formation de **clusters** importants, en interrogeant des experts pour juger leur cohérence ou leur utilité pratique (sections 1.9.5.1 et 1.9.5.2).

On pratique ensuite une **comparaison** avec d'autres méthodes pour mesurer la plus-value de l'auto-organisation. Dans des scénarios statiques, on peut mettre le DSL en regard de réseaux neuronaux classiques (CNN, MLP) ou d'algorithmes de clustering (k-means, DBSCAN). Dans un environnement évolutif ou multimodal, on peut tester la plasticité du DSL en le confrontant à des pipelines où chaque modalité est traitée de façon indépendante et fusionnée tardivement. C'est l'occasion de voir si le DSL gère mieux les perturbations (pannes de capteurs, arrivée d'utilisateurs inconnus en recommandation, etc.) grâce à sa mise à jour locale et continue. De plus, lorsque l'usage d'un **module** de renforcement ou de règles symboliques fait partie de la feuille de route (sections 1.5.7 et 1.8.3), on peut progressivement **intégrer** ces briques additionnelles afin de vérifier que la dynamique du **réseau** Ω conserve sa stabilité tout en donnant accès à des fonctionnalités avancées (apprentissage de politiques, raisonnement logique local).

Cette **phase** de montée en échelle et de **validation approfondie** est donc le moment de consolider l'architecture du DSL, de prouver sa robustesse dans des contextes d'application variés, et d'obtenir une vision claire des conditions dans lesquelles la synergie adaptative surpasse ou complète favorablement les solutions existantes. Si les résultats se montrent convaincants, il devient possible d'envisager un déploiement plus large, ou de contribuer à l'effort communautaire (sections 1.9.6.2 et 1.9.6.4) afin de partager les améliorations et les leçons issues de cette expérience d'intégration à grande échelle.

1.9.7.4. Intégration dans un Système Existant

Lorsque l'on souhaite exploiter le **Deep Synergy Learning (DSL)** dans un environnement industriel ou dans une architecture déjà déployée, il est crucial de concevoir l'**insertion** du DSL à l'intérieur d'un **pipeline** plus vaste. Dans un premier temps, il convient de définir les **interfaces** par lesquelles le réseau d'entités $\{\mathcal{E}_i\}$ va recevoir des données nouvelles (capteurs, événements) et restituer ses décisions ou regroupements. Cette interface se matérialise le plus souvent par un **bus**

de messages (streaming en temps réel) ou par l'appel d'une **API** spécifique, selon que l'application se situe dans un système de robotique, de recommandation ou d'analyse de données.

Une fois les points d'entrée et de sortie identifiés, il faut régler la **fréquence** et la **logique** selon lesquelles la mise à jour des pondérations $\omega_{i,j}$ sera déclenchée. Dans certains scénarios critiques (par exemple un contrôle robotique temps réel), on peut opter pour une mise à jour en **continu**, réalisée en parallèle et soumise à des contraintes de latence. Dans d'autres usages plus batch, comme un traitement périodique de logs ou de données marketing, on procédera à une itération de l'**auto-organisation** toutes les heures ou tous les jours, en accumulant préalablement de nouveaux exemples. L'important est de veiller à ce que la boucle d'**adaptation** (où l'on calcule la synergie $S(\mathcal{E}_i, \mathcal{E}_j)$ et met à jour ω) n'entre pas en conflit avec d'autres modules, en particulier si des contraintes temps réel ou de cohérence globale sont imposées.

Il est également essentiel de mettre en place un mécanisme de **surveillance** et de suivi, afin de détecter rapidement les dérives ou difficultés éventuelles. Un tableau de bord (monitoring) peut fournir des **indicateurs** tels que la densité moyenne du graphe, la part de liens saturés, l'éventuelle oscillation des pondérations ou un score de performance sur un sous-ensemble de validation. Si certains seuils sont dépassés (par exemple si la densité $\text{dens}(\Omega)$ devient trop élevée, ou si la qualité d'un cluster chute subitement), un **module superviseur** intervient et peut influencer sur les paramètres η , τ ou forcer la suppression de liens obsolètes. Il s'agit d'éviter la survenue de boucles chaotiques ou de saturation excessive, comme expliqué dans les sections sur la stabilité et la parcimonie (1.7.4 et 1.7.1). Dans un cadre d'entreprise, ce superviseur peut être un opérateur humain, un service DevOps ou une couche logique plus hiérarchique (1.5.7).

Cette **approche** collaborative, où le DSL vit au cœur d'un système plus large, engage souvent plusieurs services et départements : ingénierie de la donnée, experts métier, équipes chargées de la supervision logicielle. L'**auto-organisation** propre au DSL ne doit pas rester isolée, car elle impacte la façon dont les flux de données sont traités et dont les décisions (ou les regroupements) influent sur d'autres processus en aval. L'architecture globale bénéficie alors de la **plasticité** adaptative du DSL, tout en conservant un pilotage central ou semi-centralisé pour garantir la cohérence et la sécurité du système d'ensemble.

1.9.7.5. Maintenance, Évolution et Ajustements Continus

Une particularité fondamentale du **Deep Synergy Learning (DSL)** réside dans son **caractère évolutif** : le réseau Ω ne demeure pas figé une fois l'entraînement initial achevé, mais peut continuer à se **reconfigurer** de manière plus ou moins permanente, suivant les données ou flux rencontrés. Cette situation implique une **maintenance** d'un genre différent de celle d'un **réseau neuronal** classique, dont les poids sont souvent considérés comme définitifs après la phase d'entraînement. On peut distinguer plusieurs volets critiques dans la **sustainability** d'un projet DSL :

Un premier volet touche au **cycle d'évolution** du SCN. Tant que de nouvelles données parviennent (capteurs, utilisateurs, contextes inédits), le mécanisme d'**auto-organisation** ne s'arrête pas. Il est alors utile de prévoir des **processus de nettoyage** et d'archivage pour éviter qu'au fil des itérations, le **Synergistic Connection Network** ne gonfle trop (accumulation de liens $\omega_{i,j}$ obsolètes), n'explose en complexité, ou ne s'égare dans des configurations contradictoires. Cela se traduit

couramment par l'application périodique de **règles** de parcimonie ou d'inhibition, qui suppriment les liaisons de force inférieure à ω_{\min} (section 1.7.1) ou coupent les nœuds inactifs.

Un second volet a trait au **réglage** de la **plasticité**. Dans un contexte où la distribution des données peut changer de manière brutale (concept drift, nouvelle population d'utilisateurs, conditions de capteurs modifiées), on doit contrôler le degré d'adaptabilité du réseau. Si les paramètres η (taux d'apprentissage) et τ (terme de régulation) ne sont pas ajustés, on risque que le DSL ne s'adapte pas assez vite à un changement majeur (réseau "trop rigide"), ou qu'au contraire il vire dans un **état instable** (chaotique, oscillatoire). La bonne pratique consiste à surveiller des **indicateurs** de stabilité (variance de Ω au fil du temps, proportion de clusters qui se recomposent subitement) et de **performance** (scores sur un flux de validation, si disponible). Selon ces retours, on rehausse la valeur de η pour accélérer l'oubli d'anciens liens ou on resserre la régulation τ pour freiner les changements.

Un troisième volet a trait à l'**ajout** ou au **retrait** d'entités. Dans le DSL, chaque **nouveau capteur** (ou tout autre module) est introduit comme une entité inédite $\mathcal{E}_{\text{nouvelle}}$. On doit alors concevoir un **mode opératoire** pour l'**insertion** : on connecte l'entité $\mathcal{E}_{\text{nouvelle}}$ à un petit voisinage initial (ex. un certain ensemble d'entités proches selon une distance ou un critère symbolique), puis la **dynamique** $\omega_{i,\text{nouvelle}}$ s'occupe de renforcer ou d'affaiblir les liens. À l'inverse, la **déconnexion** d'un capteur ou d'un module obsolète exige la suppression de l'entité associée et de toutes ses liaisons actives, en vérifiant l'impact éventuel sur les clusters restants. Dans certains domaines, il est bon de purger régulièrement les entités dépassées ou inactives, qui n'apportent plus de synergie mais pourraient encombrer la structure.

Enfin, il existe des cas où on pratique des **phases de réinitialisation partielle** du réseau. Lorsque le **SCN** semble saturé, trop lourd ou confus, on peut planifier une **opération** de recuit simulé (section 1.7.3.2) ou de re-sparsification générale, faisant office d'**"événement de restructuration"**. Cette procédure ressemble à la notion de **"sommeil"** ou de **"réorganisation"** dans la métaphore biologique : on diminue temporairement η , on augmente la pénalité ou la température d'un recuit, ce qui détruit certains clusters stériles et stabilise les synergies essentielles. L'objectif, dans le cadre d'une exploitation industrielle ou d'un cycle de vie long, est de **préserver** la réactivité et la lisibilité du réseau DSL, en conjuguant un apprentissage continu avec une politique proactive d'entretien et de rééquilibrage.

1.9.7.6. Documentation, Capitalisation et Partage

- Au fur et à mesure que le **projet DSL** progresse, il génère un ensemble de **matériaux précieux** : configurations paramétriques, historiques de performance, codes et scripts, notes concernant la stabilité et la scalabilité, ainsi que des **ensembles** de règles ou de synergies n-aires spécifiques à un certain domaine. Il est essentiel d'organiser ces informations de manière méthodique afin de permettre une **capitalisation** à long terme. Dans une approche de type **"Ingénierie"** ou **"DataOps"**, on encourage :
- La **tenue** d'un journal de modifications (un **changelog**) recensant les modifications majeures apportées au Synergistic Connection Network (SCN), aux fonctions de synergie ou aux paramètres $\{\eta, \tau\}$. Cette traçabilité facilite la reproduction d'expériences passées et

l'explicitation des gains (ou régressions) qui surviennent quand on modifie un composant clé.

- L'élaboration d'un **guide d'utilisation**, sous forme de documentation technique ou d'un wiki, détaillant le fonctionnement du prototype DSL. On y décrit la **structure** du code (où est géré le graphe Ω , quelle est la procédure de mise à jour des liens, comment lancer les tests sur un dataset, etc.), les **principaux** pièges (risque d'explosion du nombre de liens si on n'active pas la sparsification) et les **méthodes** de monitoring (visualisation des clusters, vérification de la stabilité). Les nouveaux membres de l'équipe, ou d'autres structures (internes ou externes), peuvent ainsi **reprendre** les travaux sans tout réapprendre par tâtonnements.
- La **communication** des retours d'expérience sous forme de rapports ou de **publications** (blogs techniques, articles de conférences, documents internes). Ces supports expliquent les objectifs initiaux, les réussites, les difficultés rencontrées (mise à l'échelle, réglages de la plasticité, insertion de règles symboliques), ainsi que les solutions adoptées. Dans l'esprit du partage **open source** (voir section 1.9.6), cet effort de diffusion profite à la **communauté DSL** : les utilisateurs extérieurs gagnent en confiance et en motivation pour expérimenter, tout en bénéficiant d'un "modèle" de déploiement.

En définitive, cette démarche de **documentation** et de **partage** assure qu'on ne perde pas la **connaissance** accumulée au fil des itérations, et qu'on s'inscrive dans un cycle vertueux : la **consolidation** des acquis mène à une communauté plus robuste et stimulante, améliorant simultanément la fiabilité et l'implémentation du **Deep Synergy Learning** dans divers secteurs.

Conclusion sur la Gestion du Cycle de Vie d'un Projet DSL

La création et l'exploitation d'un **SCN** auto-organisé ne se limitent pas à une phase d'entraînement ponctuelle : elles exigent un **cycle** complet, depuis l'**idéation** (pourquoi opter pour le DSL ?), le **prototypage** (valider la logique de base), la **mise à l'échelle** (passage à des datasets plus vastes, intégration avec d'autres modules), jusqu'à la **maintenance** continue (monitoring, adaptation aux évolutions de l'environnement, gestion des entités nouvelles ou obsolètes). Chaque étape réclame un ensemble de bonnes pratiques et d'outils, ainsi qu'une collaboration étroite avec les experts métier et l'équipe de R&D. En fin de parcours, la **documentation** et la **capitalisation** (éventuellement partagée en open source) garantissent que le savoir-faire accumulé ne se perd pas et que d'autres projets pourront s'en inspirer, contribuant à leur tour au **développement** d'un écosystème DSL pérenne et dynamique.